

การยับยั้งแบคทีเรียแกรมลบโดยใช้อุ่นภาชนะในชุดไขมันแข็งที่บรรจุในชินร่วมกับ
กรดแลคติก

นางสาวพิมลพร ศรีราชา

วิทยานิพนธ์นี้เป็นส่วนหนึ่งของการศึกษาตามหลักสูตรปริญญาวิทยาศาสตรมหาบัณฑิต
สาขาวิชาจุลชีววิทยาทางอุตสาหกรรม ภาควิชาจุลชีววิทยา¹
คณะวิทยาศาสตร์ จุฬาลงกรณ์มหาวิทยาลัย
ปีการศึกษา 2553
ลิขสิทธิ์ของจุฬาลงกรณ์มหาวิทยาลัย

ANTI-GRAM NEGATIVE BACTERIA USING NISIN-LACTIC ACID LOADED SOLID-LIPID
NANOPARTICLES

Miss Pimonporn Sriraj

A Thesis Submitted in Partial Fulfillment of the Requirements
for the Degree of Master of Science Program in Industrial Microbiology

Department of Microbiology

Faculty of Science

Chulalongkorn University

Academic Year 2010

Copyright of Chulalongkorn University

หัวข้อวิทยานิพนธ์

โดย

สาขาวิชา

อาจารย์ที่ปรึกษาวิทยานิพนธ์หลัก

อาจารย์ที่ปรึกษาวิทยานิพนธ์ร่วม

การยับยั้งแบคทีเรียแกรมลบโดยใช้อนุภาคนาโนชนิดไอกันแม็กซ์ที่บรรจุ

ในชิ้นร่วงกับกรดแลคติก

นางสาวพิมลพร ศรีราชา

จุลชีววิทยาทางอุตสาหกรรม

ผู้ช่วยศาสตราจารย์ ดร. สุพัฒน์ เจริญพรวัฒนา

ดร. ณัฐพันธุ์ ศุภากา

คณะวิทยาศาสตร์ จุฬาลงกรณ์มหาวิทยาลัย อนุมัติให้นบวิทยานิพนธ์ฉบับนี้เป็น
ส่วนหนึ่งของการศึกษาตามหลักสูตรปริญญาบัณฑิต

..... คณบดีคณะวิทยาศาสตร์

(ศาสตราจารย์ ดร. สุพจน์ หวานองบัว)

คณะกรรมการสอบบวิทยานิพนธ์

..... ประธานกรรมการ

(รองศาสตราจารย์ ดร. สุเทพ ชนียวน)

..... อาจารย์ที่ปรึกษาวิทยานิพนธ์หลัก

(ผู้ช่วยศาสตราจารย์ ดร. สุพัฒน์ เจริญพรวัฒนา)

..... อาจารย์ที่ปรึกษาวิทยานิพนธ์ร่วม

(ดร. ณัฐพันธุ์ ศุภากา)

..... กรรมการ

(รองศาสตราจารย์ ดร. ไฟเราะ ปีนพานิชกุล)

..... กรรมการภายนอกมหาวิทยาลัย

(ดร. อิศรา สรามาลา)

พิมพ์พร. ศรีราช : การยับยั้งแบคทีเรียแกรมลบโดยใช้ออนุภาคนาโนชนิดไข่มันแข็งที่บรรจุในชิ้นร่วมกับกรดแลคติก (ANTI-GRAM NEGATIVE BACTERIA USING NISIN-LACTIC ACID LOADED SOLID-LIPID NANOPARTICLES) อ. ที่ปรึกษาวิทยานิพนธ์ หลัก: ผศ.ดร. สุพัฒน์ เจริญพรวัฒนา, อ. ที่ปรึกษาวิทยานิพนธ์ร่วม: ดร.ณัฐพันธุ์ ศุภากา, 116 หน้า.

การทดลองนี้ เตรียมอนุภาคนาโนชนิดไข่มันแข็งที่ไม่บรรจุสารออกฤทธิ์ บรรจุในชิ้น กรดแลคติก และในชิ้นร่วมกับกรดแลคติก ด้วยวิธีขอกโมเจียนเขียนความดันสูงแบบร้อน และวัดขนาด ด้วยเครื่องนาโนไซซ์เซอร์ พบร่วมอนุภาคที่เตรียมได้มีขนาดเฉลี่ย 52.27 ± 0.43 , 113.80 ± 1.63 , 528.53 ± 7.19 และ 362.86 ± 28.05 นาโนเมตร ตามลำดับ ($PDI < 0.5$) และมีค่าความต่างศักย์ไฟฟ้าที่ผิวเฉลี่ยเท่ากับ -15.56 ± 0.81 , -6.12 ± 0.11 , -3.83 ± 0.30 และ -2.07 ± 0.02 มิลลิโวลต์ ตามลำดับ อนุภาคดังกล่าวมีลักษณะสัมผัสฐานวิทยาเป็นผลึกไข่มัน พื้นผิวเรียบ 裾ร่วงคล้ายเกล็ด เสือดเมื่อดูด้วยกล้องจุลทรรศน์อิเล็กตรอนแบบส่องการดู และประสิทธิภาพการบรรจุในชิ้น และกรดแลคติกในอนุภาคนาโนชนิดไข่มันแข็งที่บรรจุในชิ้น และกรดแลคติก ที่เตรียมได้พบร่วมมีค่าเท่ากับ ร้อยละ 66.20 และ 58.62 ตามลำดับ ส่วนอนุภาคนาโนชนิดไข่มันแข็งที่บรรจุในชิ้นร่วมกับกรดแลคติกจะมีประสิทธิภาพในการบรรจุในชิ้นร้อยละ 65.86 และประสิทธิภาพในการบรรจุกรดแลคติกร้อยละ 59.57 และพบร่วมความเป็นกรด-เบสและความเข้มข้นของเกลือต่ออนุภาคมีผลต่อขนาดและค่าความต่างศักย์ไฟฟ้าที่ผิวของอนุภาคทั้ง 4 ชนิด ส่วนในชิ้นและกรดแลคติกถูกปลดปล่อยออกจากอนุภาคนาโนชนิดไข่มันแข็งประมาณวันที่ 30 ของการทดลอง นอกจากรักษาอย่างพบร่วมอนุภาคที่บรรจุในชิ้นและกรดแลคติกสามารถยับยั้ง *Listeria monocytogenes* DMST 17303 และ *Escherichia coli* ATCC 25922 ได้ดีที่ 4 องศาเซลเซียส และการทดสอบในนมพบว่า สามารถยับยั้งเชื้อทดสอบได้ประมาณ 3 ถึง 5 logCFU ต่อมิลลิลิตร และพบร่วมไข่มันในนมจึงไม่มีผลต่อการทำงานของอนุภาคนาโนชนิดไข่มันแข็ง

ภาควิชา จุลชีววิทยา	ลายมือชื่อนิสิต.....
สาขาวิชา จุลชีววิทยาทางด้านสหารกรรม	ลายมือชื่อ อ. ที่ปรึกษาวิทยานิพนธ์หลัก.....
ปีการศึกษา 2553	ลายมือชื่อ อ. ที่ปรึกษาวิทยานิพนธ์ร่วม.....

5172386623 : MAJOR INDUSTRIAL MICROBIOLOGY

KEYWORDS: nisin / lactic acid / solid lipid nanoparticles

PIMONPORN SRIRAJ: ANTI-GRAM NEGATIVE BACTERIA USING NISIN-LACTIC ACID LOADED SOLID-LIPID NANOPARTICLES ADVISOR: ASST. PROF. SUPAT CHAREONPORNWATTANA, Ph.D., CO-ADVISOR: NUTTAPUN SUPAKA, Ph.D., 116 pp.

Unloaded, nisin, lactic acid and nisin-lactic acid loaded solid lipid nanoparticles (SLN) was prepared by hot high pressure homogenization. Dynamics light scattering (DLS) analysis showed particle sizes average were 52.27 ± 0.43 , 113.80 ± 1.63 , 528.53 ± 7.19 and 362.86 ± 28.05 nm (PDI < 0.5), respectively. and zeta potential average were -15.56 ± 0.81 , -6.12 ± 0.11 , -3.83 ± 0.30 and -2.07 ± 0.02 mV. The scanning electron micrographs demonstrated that platelet shape SLN with smooth surface was produced. The entrapment efficiency of nisin and lactic acid loaded SLNs were 66.20% and 58.62%, respectively. And nisin and lactic acid in nisin-lactic acid loaded SLN was 65.86% and 59.57%, respectively. The difference in pH and salt concentrations also affected size and zeta-potential averages of SLN. Nisin-lactic acid loaded SLN was initially tested for antimicrobial activity in PYG medium and found to confer inhibitory effect on the growth of both indicator strains, *Listeria monocytogenes* DMST 17303 and *Escherichia coli* ATCC 25922, at 4°C . Nisin-lactic acid loaded SLN was also tested in whole and skim milk. It was found that the presence of such a SLN could result in the reduction of 3–5 logCFU/ml in *L. monocytogenes* DMST 17303 or *E. coli* ATCC 25922 counts. And fat in whole milk not affected to SLNs.

Department: Microbiology Student's Signature.....

Field of Study: Industrial Microbiology Advisor's Signature.....

Academic Year: 2010 Co-advisor's Signature.....

กิตติกรรมประกาศ

วิทยานิพนธ์ฉบับนี้สำเร็จได้ด้วยความช่วยเหลืออย่างดีของผู้ช่วยศาสตราจารย์ ดร. สุพัฒน์ เจริญพรวัฒนา อาจารย์ที่ปรึกษาวิทยานิพนธ์ และ ดร.ณัฐพันธุ์ ศุภกาน อาจารย์ที่ปรึกษา ร่วม ที่กรุณายังความรู้ คำแนะนำ และข้อเสนอแนะต่าง ๆ ทุกขั้นตอน ตลอดจนตรวจแก้ไขต้นฉบับ วิทยานิพนธ์จนเสร็จสมบูรณ์ ผู้วิจัยขอกราบขอบพระคุณอย่างสูงไว้ ณ ที่นี้ด้วย

กราบขอบพระคุณรองศาสตราจารย์ ดร.สุเทพ ชนียวน รองศาสตราจารย์ ดร.ไพรี ไพรี ปันพาณิชการ และ ดร. อิศรา สรามาลา ที่กรุณารับเป็นประธานกรรมการ และกรรมการสอบ วิทยานิพนธ์ ที่ได้ให้ความรู้ คำแนะนำต่าง ๆ แก่ผู้วิจัย ตลอดจนช่วยตรวจทานแก้ไขวิทยานิพนธ์ให้มีความสมบูรณ์ยิ่งขึ้น

ขอขอบคุณคุณอุดหนุนวิทยานิพนธ์สำหรับนิสิต ที่ให้ความสนับสนุนค่าวิจัยในการ ทดลองครั้งนี้

ขอขอบคุณนักวิจัย และเจ้าหน้าที่ทุกท่านในศูนย์นานาชาติ ในการ สนับสนุน สำหรับการใช้เครื่องมือต่างๆ แก่ผู้วิจัย ตลอดจนให้คำปรึกษาแนะนำเป็นอย่างดีมาโดยตลอด

กราบขอบพระคุณอาจารย์ทุกท่านในภาควิชาจุลชีววิทยาที่กรุณายังความรู้และ คำแนะนำต่างๆ แก่ผู้วิจัย และขอขอบคุณเจ้าหน้าที่ในภาควิชาจุลชีววิทยาทุกท่านที่ช่วยเหลือและ เอื้ออำนวยความสะดวกตลอดระยะเวลาการศึกษา

ขอขอบคุณนางสาวหยกฤทัย กุลวัฒนาศิล นางสาวดาวิกา ลาสุตตา และนางสาวนิโอล แหลกຄม ตลอดจนพี่ฯ เพื่อนๆ และน้องๆ ห้อง 449 ทุกคน สำหรับคำแนะนำเกี่ยวกับงานวิจัย ขอบคุณสำหรับทุกความช่วยเหลือ และขอบคุณสำหรับทุกความห่วงใยและกำลังใจที่มีให้ตลอด มา

สุดท้ายขอกราบขอบพระคุณคุณพ่อ คุณแม่ และครอบครัวที่ให้การสนับสนุนและ ความช่วยเหลือตลอดจนให้กำลังใจแก่ผู้วิจัยเสมอมา

สารบัญ

	หน้า
บทคัดย่อภาษาไทย	๑
บทคัดย่อภาษาอังกฤษ	๑
กิตติกรรมประกาศ	๒
สารบัญ	๓
สารบัญตราสาร	๔
สารบัญภาพ	๕
คำย่อและสัญญาลักษณ์	๖
บทที่	
1. บทนำ	1
2. วารสารบริหัศน์	4
2.1 การอนุรักษ์อาหารและปัจจัยต่อการเจริญของจุลินทรีย์.....	4
2.2 แบคเทอเรียชีน.....	9
2.3 ไนชิน.....	15
2.4. ข้อจำกัดการใช้ไนชิน.....	25
2.5 กรดแลคติก.....	30
2.6 อนุภาคนาโนไฮมันชนิดแข็ง.....	37
3. อุปกรณ์และวิธีดำเนินงานวิจัย.....	43
3.1 อุปกรณ์ที่ใช้ในการทดลอง.....	43
3.2 เคมีภัณฑ์.....	45
3.3 เครื่องมือเชิงทดลอง.....	45
3.4 วิธีดำเนินงานวิจัย.....	46
4. ผลการทดลอง	53
4.1 ผลการศึกษาลักษณะทางสัณฐานวิทยาของอนุภาคนาโนชนิดไฮมันแข็ง...	54
4.2 ทดสอบประสิทธิภาพการบรรจุไนชิน กรดแลคติก หรือไนชินร่วมกับกรดแลคติกด้วยอนุภาคนาโนชนิดไฮมันแข็ง.....	56

หน้า

4.3 ศึกษาผลของ pH ความเข้มข้นของเกลือ และอุณหภูมิต่อลักษณะทางสัณฐานวิทยาและความคงตัว ของอนุภาคนาโนชนิดไขมันแข็งที่ไม่บรรจุสารในชิน กรดแลคติก หรือในชินร่วมกับกรดแลคติก.....	57
4.4 หาระยะเวลาที่ในชินและกรดแลคติกออกจากอนุภาคนาโนชนิดไขมันแข็งบรรจุในชิน กรดแลคติก หรือในชินร่วมกับกรดแลคติก.....	73
4.5 ทดสอบประสิทธิภาพในการยับยั้งแบคทีเรียของอนุภาคนาโนชนิดไขมันแข็งที่บรรจุในชิน กรดแลคติก หรือในชินร่วมกับกรดแลคติกในอาหารเลี้ยงเชื้อ PYG.....	79
4.6 ทดสอบประสิทธิภาพในการยับยั้งแบคทีเรียของอนุภาคนาโนชนิดไขมันแข็งที่บรรจุในชิน กรดแลคติก หรือในชินร่วมกับกรดแลคติกในนม UHT ชนิดจีดหรือนมพร่องมันเนย.....	84
5. สรุปและวิจารณ์ผลการทดลอง	89
รายการอ้างอิง	93
ภาคผนวก	108
ภาคผนวก ก	109
ภาคผนวก ข	110
ภาคผนวก ค.....	112
ภาคผนวก ง.....	113
ภาคผนวก จ.....	114
ประวัติผู้เขียนวิทยานิพนธ์.....	116

สารบัญตาราง

ตารางที่	หน้า
2.1 การเปรียบเทียบความแตกต่างระหว่างแบบเทอริโอดิจินและสารปฏิชีวนะ.....	10
2.2 ตัวอย่างแบบเทอริโอดิจินในกลุ่มต่าง ๆ	13
2.3 ตัวอย่างผลิตภัณฑ์อาหารที่ใช้ในชิ้นเป็นสารสนомอาหาร	24
2.4 ปริมาณการใช้ในชิ้นเป็นสารสนомอาหารในประเทศต่างๆ.....	25
2.5 ตัวอย่างการเสริมฤทธิ์การยับยั้งแบบที่เรียกของในชิ้น.....	29
3.1 ปริมาณสารที่ใช้เตรียมอนุภาคนาโนชนิดไอกมันแข็งเพื่อบรรจุ ในชิ้นกรด และติก หรือในชิ้นร่วมกับกรดแลคติก.....	47
3.2 ปริมาณสารและความเข้มข้นสุดท้ายของสารที่ใช้ในการทดสอบประสิทธิภาพใน การยับยั้งแบบที่เรียกของอนุภาคนาโนชนิดไอกมันแข็งที่บรรจุในชิ้นร่วมกรดแลคติก....	52
4.1 ประสิทธิภาพการบรรจุในชิ้น กรดแลคติก และในชิ้นและกรดแลคติกด้วย อนุภาคนาโนชนิดไอกมันแข็ง.....	57
6.1 การคำนวณค่าต่างๆ.....	114

สารบัญภาพ

ข้อปฏิ	หน้า
2.1 ลำดับกรดอะมิโนของไนชิน A Z และ Q	17
2.2 กลไกของไนชินในการทำให้เกิดรูปนิ่อหุ้มเซลล์ของแบคทีเรียแกรมบวก.....	22
2.3 อนุภาคนาโนชนิดต่างๆ.....	35
2.4 ลักษณะการกระจายตัวของสารออกฤทธิ์ในอนุภาคนาโนชนิดไขมัน	38
3.1 เครื่องข้อมูลจีโนไซร์ความเร็วสูง และเครื่องข้อมูลจีโนไซร์ความดันสูง.....	46
3.2 เครื่องงานไไซเซอร์.....	49
4.1 อนุภาคนาโนชนิดไขมันแข็ง ที่เตรียมได้จากเครื่องข้อมูลจีโนไซร์ความดันสูง.....	53
4.2 ลักษณะทางสัณฐานวิทยาของอนุภาคชนิดต่างๆ ที่ได้จากล้องจุลทรรศน์โดยเล็กตอนแบบส่องกราด.....	54
4.3 ขนาดเฉลี่ยและความต่างศักย์ไฟฟ้าที่ผิวของอนุภาคนาโนวิเคราะห์ด้วยเครื่องนาโนไไซเซอร์.....	55
4.4 ขนาดเฉลี่ยและความต่างศักย์ไฟฟ้าที่ผิวของอนุภาคที่ไม่บรรจุสารออกฤทธิ์ บ่มที่ภาวะต่างๆ ที่ 4 องศาเซลเซียส.....	59
4.5 ขนาดเฉลี่ยและความต่างศักย์ไฟฟ้าที่ผิวของอนุภาคที่ไม่บรรจุสารออกฤทธิ์ บ่มที่ภาวะต่างๆ ที่อุณหภูมิห้อง.....	60
4.6 ขนาดเฉลี่ยและความต่างศักย์ไฟฟ้าที่ผิวของอนุภาคไนชิน บ่มที่ภาวะต่างๆ ที่ 4 องศาเซลเซียส.....	62
4.7 ขนาดเฉลี่ยและความต่างศักย์ไฟฟ้าที่ผิวของอนุภาคไนชิน บ่มที่ภาวะต่างๆ ที่อุณหภูมิห้อง.....	63
4.8 ขนาดเฉลี่ยและความต่างศักย์ไฟฟ้าที่ผิวของอนุภาคกรดแลคติก บ่มที่ภาวะต่างๆ ที่ 4 องศาเซลเซียส.....	65
4.9 ขนาดเฉลี่ยและความต่างศักย์ไฟฟ้าที่ผิวของอนุภาคกรดแลคติก บ่มที่ภาวะต่างๆ ที่อุณหภูมิห้อง.....	66
4.10 ขนาดเฉลี่ยและความต่างศักย์ไฟฟ้าที่ผิวของอนุภาคไนชินร่วมกับกรดแลคติก บ่มที่ภาวะต่างๆ ที่ 4 องศาเซลเซียส.....	68

ข้อที่	หน้า
4.11 ขนาดเฉลี่ยและความต่างศักย์ไฟฟ้าที่ผิวของอนุภาคในชิ้นร่วมกับกรดแลคติก บ่มที่ ภาวะต่างๆ ที่อุณหภูมิห้อง	69
4.12 อนุภาคนาโนชนิดไขมันแข็งที่บรรจุในชิ้นร่วมกับกรดแลคติกบ่มที่ 4 องศาเซลเซียส ในสารละลายฟอกสเปตบัฟเฟอร์ 0.02 มิลลาร์ ในภาวะต่างๆ.....	71
4.13 อนุภาคนาโนชนิดไขมันแข็งที่บรรจุในชิ้นร่วมกับกรดแลคติกบ่มที่ อุณหภูมิห้อง ในสารละลายฟอกสเปตบัฟเฟอร์ 0.02 มิลลาร์ ในภาวะต่างๆ.....	72
4.14 ระยะเวลาที่ในชิ้นและกรดแลคติกออกจากอนุภาคนาโนชนิดไขมันแข็งบรรจุสารออก ฤทธิ์เทียบกับสารออกฤทธิ์อิสระ ทดสอบกับ <i>L. monocytogenes</i> DMST 17303 ที่ 4 องศาเซลเซียส และที่อุณหภูมิห้อง	77
4.15 ระยะเวลาที่ในชิ้นและกรดแลคติกออกจากอนุภาคนาโนชนิดไขมันแข็งบรรจุสารออก ฤทธิ์เทียบกับสารออกฤทธิ์อิสระ ทดสอบกับ <i>E. coli</i> ATCC 25922 ที่ 4 องศาเซลเซียส และที่อุณหภูมิห้อง	78
4.16 การยับยั้ง <i>L. monocytogenes</i> DMST 17303 ของอนุภาคนาโนชนิดไขมันแข็ง บรรจุสารออกฤทธิ์เทียบกับสารออกฤทธิ์อิสระ ที่ 4 องศาเซลเซียส และ ที่อุณหภูมิห้อง.....	82
4.17 การยับยั้ง <i>E. coli</i> ATCC 25922 ของอนุภาคนาโนชนิดไขมันแข็งบรรจุสารออกฤทธิ์ เทียบกับสารออกฤทธิ์อิสระ 4 องศาเซลเซียส และที่อุณหภูมิห้อง.....	83
4.18 การยับยั้ง <i>L. monocytogenes</i> DMST 17303 และ <i>E. coli</i> ATCC 25922 ของ อนุภาคนาโนชนิดไขมันแข็งบรรจุสารออกฤทธิ์เทียบกับสารออกฤทธิ์อิสระในนม UHT ชนิดจีดี.....	87
4.19 การยับยั้ง <i>L. monocytogenes</i> DMST 17303 และ <i>E. coli</i> ATCC 25922 ของ อนุภาคนาโนชนิดไขมันแข็งบรรจุสารออกฤทธิ์เทียบกับสารออกฤทธิ์อิสระในนม UHT ชนิดพร่องมันเนย.....	88
5.1 โครงสร้างโมเลกุลของไขมันแข็งชนิดอิมิเตอร์ 900 หรือกลีเซอริลไมโนสเตียเรต	90
6.1 ภาพมาตราฐานแสดงค่าการดูดกลืนแสงที่ 280 นาโนเมตร กับไนซินความเข้มข้น 0 - 1 กรัม ต่อลิตร.....	113
6.2 ภาพมาตราฐานแสดงค่าการดูดกลืนแสงที่ 258 นาโนเมตร กับกรดแลคติกความ เข้มข้น 0-1 กรัมต่อลิตร.....	113

คำย่อและสัญญาลักษณ์

มล.	=	มิลลิลิตร
มก.	=	มิลลิกรัม
%	=	ร้อยละ
IU	=	International Unit
MIC	=	minimum inhibitory concentration
a_w	=	Water Activity

บทที่ 1

บทนำ

ความปลอดภัยของอาหารเป็นสิ่งที่ผู้บริโภคให้ความสำคัญอย่างมากเนื่องจากเกี่ยวข้องกับ สุขภาพโดยตรง การเจ็บป่วยเนื่องจากจุลินทรีย์ที่ทำให้อาหารเป็นพิษก่อให้อันตรายต่อสุขภาพ ถึงแม้ว่าผลิตภัณฑ์อาหารจะผ่านกระบวนการแปรรูปอย่างถูกสุขลักษณะ แต่การปนเปื้อนของเชื้อโรค อาจเกิดขึ้นได้ระหว่างการขนส่งที่ไม่เหมาะสมการเก็บ รวมทั้งในระหว่างการวางแผนภายในร้านค้า เพื่อให้อาหารมีความปลอดภัยมากขึ้น จึงได้มีการใช้วัตถุกันเสียชนิดต่างๆ เพื่อยับยั้งการเจริญเติบโตของจุลินทรีย์ที่เป็นสาเหตุให้อาหารเน่าเสีย และเป็นการถนอมอาหาร ให้เก็บรักษาไว้ให้ได้นาน โดยไม่ทำให้อาหารนั้นเกิดการเน่าเสีย และยังคงอยู่ในสภาพที่เป็นที่ยอมรับของผู้บริโภค การถนอมอาหาร เช่น การใส่วัตถุกันเสีย การใช้ความเย็น การใช้ความร้อน เป็นต้น (สุมณฑา วัฒนสินธุ์, 2545)

อย่างไรก็ตามปัจจุบันผู้บริโภคให้ความสำคัญกับผลข้างเคียงที่เกิดขึ้นจากการบริโภควัตถุกันเสียสังเคราะห์หากใช้ในปริมาณที่มากเกินไป จะทำให้เกิดสารเคมีตกค้างซึ่งจะมีผลต่อผู้บริโภค จึงมีผู้พยายามคิดค้นวัตถุกันเสียจากธรรมชาติที่มีความปลอดภัยมากขึ้น เพื่อลดความเสี่ยงของผู้บริโภคในเรื่องผลข้างเคียงของสารต่อสุขภาพ ในขณะเดียวกันยังคงสามารถเชื่อมั่นในความปลอดภัยของอาหาร และผลิตภัณฑ์ก็ยังคงมีอายุการเก็บที่เหมาะสม ตัวอย่างวัตถุกันเสียจากธรรมชาติตั้งกล่าว ได้แก่ แบคТЕอโริโโซชินซึ่งสร้างขึ้นโดยจุลินทรีย์หลายชนิด (Aasen และคณะ, 2004) ซึ่งปัจจุบันเป็นที่ยอมรับว่า มีความปลอดภัยต่อผู้บริโภคและนำมาใช้ในผลิตภัณฑ์อาหารอย่างแพร่หลาย (Seppo และคณะ, 2004)

แบคТЕอโริโโซชิน เป็นเพปไทด์ขนาดเล็กซึ่งมีฤทธิ์ยับยั้งการเจริญของแบคทีเรียแกรมบวกและแกรมลบบางชนิดที่ก่อให้เกิดโรคและทำให้อาหารบูดเน่า เช่น *Bacillus cereus*, *Clostridium botulinum*, *Listeria monocytogenes* และ *Staphylococcus aureus* ปกติแบคทีเรียที่สร้างแบคТЕอโริโโซชินจะมีภูมิคุ้มกันต่อแบคТЕอโริโโซชินที่สร้างขึ้นมา ดังนั้นจึงทำให้มีภูมิคุ้มกันยังจากแบคТЕอโริโโซชินที่สร้างขึ้นมา ซึ่งการสร้างแบคTEอโริโโซชินของแบคทีเรียนั้น เกิดจากการปรับตัวเพื่อความอยู่รอดในสภาพแวดล้อมที่มีเชื้อหลายชนิดที่เจริญอยู่ร่วมกัน ทำให้เชื้อที่สร้างแบคTEอโริโโซชินสามารถแย่งอาหารและพื้นที่เพื่อใช้ในการเจริญ ส่วนเชื้อชนิดอื่นที่ไม่สามารถสร้างแบคTEอโริโโซชินได้ก็จะตายลงในที่สุด แบคTEอโริโโซชินจัดเป็นสารชีวภาพที่มีความแตกต่างจากยาปฏิชีวนะ โดยแบคTEอโร

โควินจะทำให้เกิดรูทีบิเวนเยื่อหุ้มเซลล์ ส่งผลให้เกิดการเสียสมดุลขององค์ประกอบต่างๆ ภายในเซลล์แบคทีเรียเป็นอย่างมาก แบคเทอโรโควินถูกสร้างจากแบคทีเรียหลายชนิดแต่ที่ได้รับการศึกษากันมากคือ กลุ่มแบคทีเรียกรดแลคติก เนื่องจากเป็นแบคทีเรียที่ได้รับการยอมรับว่ามีความปลอดภัยและใช้ประโยชน์ในทางอุตสาหกรรมอาหารนานนาน

ในชิน เป็นแบคเทอโรโควินชนิดหนึ่งที่สร้างจาก *Lactococcus lactis* sp. *lactis* จะมีผลทำลายแบคทีเรียคลึงกับแบคทีเรียนิดที่สร้างมันขึ้นมา ไม่สามารถสังเคราะห์ทางเคมีได้ โครงสร้างของในชินมีส่วนประกอบของแลนไธโอนีน จึงจัดในชินอยู่ในกลุ่มแลนติไบโอดิติก และประกอบด้วยกรดอะมิโนที่ไม่พบในธรรมชาติ ได้แก่ แลนไธโอนีน (Lanthionine), บีตาเมธิลแลนไธโอนีน (β -methyl-lanthionine), ดีไฮดรอบิวไทริน (dehydrobutyryne; Dhb) และดีไฮดรออลานีน (dehydroalanine; Dha) (Hoover และ Steenson, 1993) ซึ่งมีฤทธิ์ยับยั้งเฉพาะแบคทีเรียแกรมลบ เช่น *Clostridium*, *Staphylococcus*, *Bacillus* และ *Listeria* species (Brewer และคณะ, 2002) ในชินจะสามารถยับยั้งเชื้อแบคทีเรียได้กว้างเมื่อเทียบกับแบคเทอโรโควินชนิดอื่นๆ แต่ยังมีขอบเขตที่แคบกว่าเมื่อเทียบกับสารปฏิชีวนะ โดยในชินจะจำกัดพิพิธ ที่อยู่บิเวนเยื่อหุ้มเซลล์ของแบคทีเรีย โดยใช้ปลายอะมิโน จากนั้นจะส่งผ่านปลายทางด้านคาร์บอฟิล์เซ็ชเชียสูญเสียหุ้มเซลล์ ทำให้เกิดรูขึ้น ของเหลวภายในเซลล์จะเกิดการรั่วไหลออกมาม เป็นสาเหตุทำให้เซลล์ตาย แต่ไม่มีผลต่อแบคทีเรียแกรมลบ ยีสต์ และเชื้อร้า อย่างไรก็ตาม ขอบเขตของการทำลายเชื้อต่อแบคทีเรีย แกรมลบอาจเพิ่มขึ้นได้เมื่อใช้ในชินร่วมกับสารคิเลตและสารปฏิชีวนะธรรมชาติ โดยสารคิเลต ได้แก่ โซเดียมพอลิฟอสเฟต และ EDTA เป็นต้น ซึ่งสารคิเลตจะมีผลต่อเยื่อหุ้มชั้นนอกของแบคทีเรียแกรมลบ โดยนำ Ca^{2+} และ Mg^{2+} cation ออกจากໄลโพลิแซ็กคาไรด์ของเยื่อหุ้มเซลล์ (Gill และคณะ, 2003) ส่วนสารปฏิชีวนะตามธรรมชาติ ได้แก่ กรดแลคติก เพดิโควิน โมโนลอรีน คาร์วาครอլ ญี่ปุ่นอล ไธมอล ชินนามอน ໄลโซไซน์ และแลคโตเฟอริnin มีฤทธิ์ในการยับยั้งแบคทีเรียแกรมลบโดยสารปฏิชีวนะตามธรรมชาติแต่ละชนิดจะมีผลในการยับยั้งแตกต่างกัน ในปัจจุบันในชินได้รับการยอมรับในด้านความปลอดภัยจาก FDA และ FAO/WHO และมีแนวโน้มสำหรับการนำไปพัฒนาเพื่อใช้ประโยชน์ในการถนอมอาหารตัวยังวิธีการทางชีวภาพ จึงเป็นอีกทางเลือกหนึ่งนอกเหนือจากการใช้สารเคมี (McEntire และคณะ, 2003)

กรดแลคติก เป็นกรดที่สร้างจากแบคทีเรียกรดแลคติก (Lactic acid bacteria) เช่น *Lactobacillus*, *Pediococcus*, *Streptococcus* และ *Leuconostoc* ซึ่งใช้น้ำตาลกลูโคสและน้ำตาลแลคโตสเป็นแหล่งคาร์บอนได้ผลิตภัณฑ์หลักเป็นกรดแลคติก ซึ่งกรดแลคติกนี้ยังมีผลในการยับยั้งการเจริญ และทำลายจุลินทรีย์ที่ทำให้อาหารเน่าเสียร่วมทั้งจุลินทรีย์ที่ก่อโรค จึงมีความสนใจในการนำกรดแลคติกมาใช้เป็นสารกันบูดในอาหาร ซึ่งกรดแลคติกสามารถยับยั้งแบคทีเรียแกรมลบได้ เช่น

Escherichia coli (Cutter และคณะ, 2001) และ *Salmonella* spp. (Eswaranandam และคณะ, 2004) กรดแลคติกจะทำลายเยื่อหุ้มชั้นนอกของแบคทีเรียแกรมลบ ซึ่งกรดแลคติกมีสมบัติเป็นกรด เมื่ออยู่ข้างนอกเซลล์แบคทีเรียจะไม่แตกตัวเป็นไอโอกอน แต่เมื่อเข้าสู่เซลล์แบคทีเรียแกรมลบแล้วทำให้เซลล์มีสภาพเป็นกรดจะมีการแตกตัวเป็นไอโอกอนและกำจัดได้โดยเนียมไอโอกอนภายในเซลล์ ทำให้ชั้นของเพปติโดไกලแคนไม่เสถียร ผลให้เยื่อหุ้มชั้นนอกไม่เสถียร จากนั้นในเชิงจะเข้าบริเวณเป้าหมายของแบคทีเรียแกรมลบต่อ (Nykanen และคณะ, 1998) แต่อย่างไรก็ตามการใช้ในเชิงยังมีข้อจำกัด หลายประการ ได้แก่ ในเชิงจะมีความเสถียรและสามารถทนต่อได้ที่ pH ต่ำ และเอนไซม์ต่างๆ ในอาหาร เช่น โปรตีอีส สามารถย่อยสลาย ในเชิงได้ โดยเฉพาะอาหารที่ไม่ได้ผ่านความร้อน (Inga และคณะ, 2003)

เทคโนโลยีการประดิษฐ์อนุภาคนาโนนั้นสามารถทำได้หลายวิธีขึ้นอยู่กับความเหมาะสมใน การนำไปใช้งานจึงทำให้เกิดอนุภาคนาโนหลายรูปแบบขึ้น เช่น นาโนอิมัลชัน ไลโพโซม โนโอดิเม สารแขวนลอยอนุภาคนาโน และอนุภาคนินิตนาในชีวภาพ เป็นต้น (Benech และคณะ, 2002) ในการใช้ในเชิงเป็นสารต้านทานอาหารจึงควรคำนึงถึงความปลอดภัยของผู้บริโภคเป็นหลัก จึงกิดแนวคิดที่จะนำในเชิงบรรจุลงในอนุภาคนาโนที่ทำมาจากไขมันแข็ง (solid lipid nanoparticle) ซึ่งไขมันแข็งที่นำมาใช้นั้นมีข้อดีหลายประการ เช่น ปลดปล่อยต่อผู้บริโภคเนื่องจากไม่ใช้สารละลายอินทรีย์ในอนุภาคนาโนสามารถบริโภคได้ มีความคงตัวของอนุภาคนาโนสูง สามารถบรรจุสารเสริมฤทธิ์ได้ในปริมาณมาก วิธีการเติมไม่ได้ใช้ตัวทำละลายอินทรีย์ และการขยายส่วนการผลิตทำได้จ่าย (Wolfgang และคณะ, 2001) ขณะที่วิธีนาโนอิมัลชัน ไลโพโซม โนโอดิเม และสารแขวนลอยอนุภาคนาโน ไม่เหมาะสมในการนำไปใช้และกรดแลคติกไปใช้งาน เนื่องจากใช้สารละลายอินทรีย์ในอนุภาคนาโนจะเป็นอันตรายต่อผู้บริโภค และวิธีการเติมที่ค่อนข้างซับซ้อน (Salmaso และคณะ, 2004)

พินิจพล พรมมนูตร (2550) ศึกษาการเติมอนุภาคนาโนชนิดไขมันแข็งที่บรรจุในเชิงพบว่า การใช้การใช้ความดันของเครื่องวิธีซอมอจีไนเซอร์ที่ 1500 บาร์ 3 รอบ อนุภาคนี้ได้มีขนาดเล็ก และมีการกระจายตัวดี และการใช้ในเชิงร้อยละ 5 สามารถยับยั้ง *Listeria monocytogenes* DMST 2871 และ *Lactobacillus platarum* TISTR 850 ได้นาน 20 วัน

หยกฤทัย กล่าวตนศาลา (2551) ศึกษาการทำงานของในเชิงร่วมกับเซทิลไฟฟิติเนียมคลอไรด์ โดยบรรจุลงในอนุภาคนาโนชนิดไขมันแข็ง พบร่วมกับ *Salmonella* spp. DMST 17303 และ *E. coli* ATCC 25922 ได้ดีที่สุดที่ 4 องศาเซลเซียส

ดังนั้นงานวิจัยนี้จึงมีจุดมุ่งหมายที่จะศึกษาการทำงานของกรดแลคติกร่วมกับในเชิง เพื่อยับยั้งแบคทีเรียแกรมลบร่วมกับนาโนเทคโนโลยี มาประยุกต์ใช้เพื่อเพิ่มความเสถียรของในเชิงและกรด

แลคติค และป้องกันการสูญเสียแอกทิวิตีชีวภาพของไนซินและกรดแลคติกจากการทำปฏิกิริยาจากองค์ประกอบต่างๆ ในอาหาร และควบคุมให้มีการลดปล่อยออกจากรากในชนิดไขมันแข็งได้อย่างต่อเนื่อง โดยคาดว่าจะทำให้แอกทิวิตีทางชีวภาพของไนซินและกรดแลคติกคงอยู่ได้นานในอาหารเลี้ยงเชื้อและในนม UHT

บทที่ 2

สารสารปริทัศน์

2.1 การถอนอาหาร

2.1.1 ปัจจัยที่มีอิทธิพลต่อการเจริญของจุลินทรีย์

ปัจจัยที่จุลินทรีย์ใช้ในการเจริญเพื่อเพิ่มจำนวนของจุลินทรีย์ แบ่งได้เป็น 2 ประเภท คือ 1. ปัจจัยภายในที่มีผลต่อการเจริญของจุลินทรีย์โดยตรง (intrinsic factors) 2. ปัจจัยภายนอกอันเป็นผลมาจากการสิ่งแวดล้อมที่เกี่ยวข้องกับการเจริญของจุลินทรีย์ (extrinsic factors) ซึ่งปัจจัยภายในและปัจจัยภายนอกมีอิทธิพลต่อการเจริญและการควบคุม

1. ปัจจัยภายในที่มีผลต่อการเจริญของจุลินทรีย์โดยตรง

ปัจจัยภายในเป็นปัจจัยที่สัมพันธ์กับการเจริญเติบโตของจุลินทรีย์โดยตรง ได้แก่ สารอาหาร ความชื้น ความเป็นกรด-เบสของอาหาร สารยับยั้งการเจริญเติบโตของจุลินทรีย์ และโครงสร้างของอาหารตามธรรมชาติที่เป็นอุปสรรคในการเจริญของจุลินทรีย์

1.1 สารอาหาร เช่น ธาตุคาร์บอน ธาตุไนโตรเจน วิตามิน น้ำ

1.2 ความชื้นของอาหาร

เป็นปัจจัยสำคัญในการควบคุมการเจริญของจุลินทรีย์ในอาหาร ซึ่งจุลินทรีย์แต่ละชนิดต้องการ a_w ใน การเจริญเติบโตต่างกัน โดยแบคทีเรียต้องการ a_w ใน การเจริญเติบโตสูงกว่าราและยีสต์ แม้แต่ในกลุ่มแบคทีเรียด้วยกัน ก็ยังต้องการ a_w ใน การเจริญเติบโตต่างกัน คือ แบคทีเรียแกรมลบต้อง a_w สูงกว่าแบคทีเรียแกรมบวก แบคทีเรียที่ทำให้อาหารเน่าเสียส่วนมากจะไม่เจริญถ้า a_w ต่ำกว่า 0.91 ในขณะที่เชื้อราซึ่งทำให้อาหารเน่าเสียสามารถเจริญได้ในอาหารที่มีค่า a_w เพียง 0.80 (Jay, 1996)

1.3 pH ของอาหาร

ตามปกติอาหารที่มี pH เป็นกลาง (ประมาณ 6.6 – 7.5) จุลินทรีย์มักจะเจริญได้ดีที่ pH ของสิ่งแวดล้อมมีผลต่อเอกติวิตีและความคงตัวของสารประกอบไม่เลกูลใหญ่ เช่น เอนไซม์ การเจริญเติบโตของจุลินทรีย์ต้องอาศัยเอกติวิตีของเอนไซม์ในการย่อยและการดูดซึมสารอาหาร เพื่อผลิตพลังงาน

2. ปัจจัยภายนอกที่มีผลต่อการเจริญของจุลินทรีย์โดยตรง

ปัจจัยภายนอก หมายถึง ปัจจัยทางสิ่งแวดล้อมที่มีผลทางข้อมต่อการเจริญเพิ่มจำนวนของจุลินทรีย์ คือ อุณหภูมิ ความชื้นสัมพัทธ์ในการเก็บอาหาร และการเก็บรักษาอาหารในสภาพดัดแปลงบรรจุภัณฑ์

2.1 อุณหภูมิในการเก็บรักษาอาหาร

มีความสำคัญเจริญเพิ่มจำนวนของจุลินทรีย์ คือ จุลินทรีย์ต้องการอุณหภูมิที่เหมาะสมในการเจริญเพิ่มจำนวน ทำให้แบ่งจุลินทรีย์ออกได้เป็น 4 กลุ่ม คือ กลุ่มที่ชอบอุณหภูมิต่ำ (Psychrophile) กลุ่มที่เจริญได้ทั้งที่อุณหภูมิต่ำและอุณหภูมิปานกลาง (Psychrotrophs) กลุ่มที่ชอบอุณหภูมิปานกลาง (Mesophiles) และกลุ่มที่ชอบอุณหภูมิสูง (Thermophiles) สำหรับยีสต์และราเจริญได้ที่อุณหภูมิปานกลาง คือ 25 องศาเซลเซียส

2.2 ความชื้นสัมพัทธ์ในการเก็บรักษาอาหาร

ความชื้นในบรรจุภัณฑ์ควบรวมสมดุลของความชื้นในอาหารเพรำความชื้นในบรรจุภัณฑ์ค่าเป็น 100 เท่า ของค่า a_w ดังนั้นถ้าทราบค่า a_w หรือค่าความชื้นในบรรจุภัณฑ์ค่าใดค่าหนึ่ง ถ้านำอาหารไปอบเพื่อลดอุ่นการทำให้ค่า a_w ของอาหารเปลี่ยนแปลง หลักการนี้นับว่ามีประโยชน์ในการประยุกต์มาใช้พัฒนาผลิตภัณฑ์อาหารโดยโดยเติมสารที่มีสมบัติในการดูดความชื้นไว้ เป็นผลให้ค่า a_w ของผลิตภัณฑ์อาหารลดลง เช่น เกลือ น้ำตาล กลีเซอรอล กัม เป็นต้น เป็นการปรับค่า a_w ของอาหารให้ต่ำกว่าค่า a_w ต่ำสุดที่แบคทีเรียต้องการในการเจริญเติบโต

2.3 การเก็บอาหารโดยการการดัดแปลงบรรจุภัณฑ์

ปัจจัยที่เกี่ยวกับการถ่ายเทอิเล็กตรอนของอาหาร ซึ่งมีผลต่อการเจริญเติบโตของแบคทีเรียที่ต้องการและไม่ต้องการอากาศ ซึ่งในอากาศมีออกซิเจนอยู่ประมาณร้อยละ 21 เมื่อสลายตัวทำให้เกิดความต่างศักย์ หรือมีการให้รับอิเล็กตรอนเกิดขึ้น ดังนั้นจึงมีการจำกัดออกซิเจนในการเก็บรักษาอาหาร โดยการดูดออกซิเจนออกไประดับความชื้นแทน เช่น แก๊สคาร์บอนไดออกไซด์ (CO_2) และแก๊สไนโตรเจน (N_2) เรียกว่าการเก็บรักษาแบบควบคุมบรรจุภัณฑ์ เช่น การใช้ CO_2 บรรจุในเครื่องดื่มน้ำผลไม้ น้ำอัดลม เปียร์และน้ำโซดา (นราพร ล้ำเลิศกุล, 2549)

2.1.2 หลักการถนอมอาหาร

ค.ศ. 1810 Nicolas Appert พ่อค้าชาวฝรั่งเศสสามารถเก็บน้ำต้มเนื้อไว้ในขวดแก้วที่ใส่อากาศออก เขาอธิบายว่า อาหารเป็นตัวการสำคัญที่ทำให้อาหารเสีย เขายื่อว่าการเก็บรักษา้น้ำต้มเนื้อไว้ได้เป็นเพราะเข้าต้มน้ำในภาชนะกับทุกภูมิภาคป้องกันที่ย้อมรับกันอย่างกว้างขวางในยุโรปสมัยนั้น ต่อมา Louis Pasteur นักวิทยาศาสตร์ชาวฝรั่งเศสได้ค้นพบจุลินทรีย์และสามารถนำมาระบุปัจจัยที่ทำให้อาหารเสียได้ว่าไม่ได้เกิดจากอาหารแต่เป็นจุลินทรีย์จากน้ำ ความเชื่อในเรื่องทุกภูมิภาคป้องกันที่มีการทำลาย ยับยั้ง และป้องกันการปนเปื้อนของจุลินทรีย์ประกอบด้วย วิธีการ ดังนี้

1. การใช้ความร้อน

ความร้อนจำแนกออกตามระดับของการใช้เพื่อฆ่าจุลินทรีย์เป็น 2 เทคนิค คือ Pasteur และ Appert ดังนี้

1.1 พาสเจอไรเซชัน (Pasteurization)

เป็นการใช้ความร้อนที่อุณหภูมิระหว่าง 60-80 องศาเซลเซียส คงไว้เป็นระยะเวลาหนึ่ง การถนอมอาหารเทคนิคนี้จำแนกออกเป็น 2 วัตถุประสงค์ คือ

1. ใช้เพื่อทำลายจุลินทรีย์ที่ทำให้เกิดโรค ในผลิตภัณฑ์อาหารอาจมีจุลินทรีย์ที่ทำให้เกิดโรค ซึ่งเป็นอันตรายต่อผู้บริโภค เพราะทำให้เกิดโรคอาหารเป็นพิษขึ้น ความร้อนในระดับพาสเจอไรซ์นั้นออกแบบมาเพื่อมุ่งทำลายจุลินทรีย์ที่ทำให้เกิดโรคซึ่งไม่สร้างสปอร์ฟในผลิตภัณฑ์อาหารที่มีความเสี่ยงสูง เช่น นมสด ไข่เหลว ส่วนผสมไอกซ์กรีม และอาหารที่ต้องการความปลอดภัยจากการพาสเจอไรซ์

2. ใช้เพื่อลดจำนวนจุลินทรีย์ที่ทำให้อาหารเสีย ในอาหารอาจมีจุลินทรีย์อยู่เป็นจำนวนมาก จุลินทรีย์เหล่านี้ทำให้อาหารเสีย การใช้ความร้อนในระดับพาสเจอไรซ์เพื่อทำลายจุลินทรีย์จำนวนหนึ่งหรือทำให้จุลินทรีย์ bardet-jérib ลดลงหรือไม่สามารถเพิ่มจำนวนได้อาหารที่ผ่านการพาสเจอไรซ์จะสามารถเก็บไว้ได้นานกว่าอาหารที่ไม่ได้ผ่านการพาสเจอไรซ์ เช่น นมสด โดยทั่วไปความร้อนไม่สูงมากเหมือนกับความร้อนที่ใช้ในข้อ 1 ดังนั้นอาหารที่เหมาะสมกับกรรมวิธีนี้จึงได้แก่ อาหารที่เป็นกรด เช่น เปเปอร์ น้ำผลไม้ อาหารหมักดอง และซีอิ๊วต่างๆ เนื่องจากความเป็นกรดของอาหารจะช่วยควบคุมจุลินทรีย์ที่ทำให้เกิดโรคอาหารเป็นพิษที่รอดชีวิตจากความร้อนที่ใช้ในการพาสเจอไรซ์ออกทางหนึ่ง

1.2 แอปเพอไทเชชัน (Appertization)

เป็นกระบวนการใช้ความร้อนเพื่อมุ่งทำลายจุลทรีทุกชนิด ไม่ให้เจริญในขณะที่เก็บรักษาผลิตภัณฑ์อาหารไว้ในภาวะปกติ ดังนั้นอาหารที่ผ่านกระบวนการนี้จึงสามารถเก็บรักษาในอุณหภูมิห้องได้ กระบวนการใช้ความร้อนในการถนอมอาหารที่มีความปลอดภัย มีหลักการทำงานว่า จะต้องเข้าถึงภาวะปลอดเชื้อเชิงการค้า โดยการทำลายแบคทีเรียที่มีอันตรายถึงแก่ชีวิต ซึ่งเจริญได้ในภาวะไร้อากาศ เช่น *Clostridium botulinum*

2. การอบรังสี (Irradiation)

การแร่รังสีจากแม่เหล็กไฟฟ้าที่ความยาวคลื่นและความถี่ต่างๆ ทำให้เกิดพลังงานสามารถนำมาใช้ในการถนอมอาหารได้ รังสีที่ใช้ถนอมอาหารประกอบด้วย

2.1. รังสีไมโครเวฟ (Microwave radiation) ช่วงความถี่ของรังสีไมโครเวฟอยู่ระหว่าง 10^9 ถึง 10^{12} เฮิรตซ์ (Hz) แต่คลื่นความถี่ที่นำมาใช้ถนอมอาหารมีอยู่ 2 ช่วง คือ ช่วงระหว่าง 2450 เมกะเฮิรตซ์และ 915 เมกะเฮิรตซ์ คลื่นไมโครเวฟทำให้เกิดความร้อนซึ่งเป็นอันตรายต่อจุลทรี โดยอาศัยน้ำในอาหารเมื่ออยู่ในสนามไมโครเวฟ โมเดกูลของน้ำจะแสดงความเป็นขี้ข้นสองตัวแห่ง เป็นผลให้โมเดกูลของน้ำเกิดการสั่นสะเทือน พลังงานจลน์ที่เกิดขึ้นจากการสั่นสะเทือนจะส่งต่อๆไปยังโมเดกูลใกล้เคียงทำให้เกิดความร้อนขึ้น

2.2. รังสีอัลตราไวโอเลต (UV radiation) รังสี UV มีความยาวคลื่นตั้งแต่กว่า 450 นาโนเมตร (ประมาณ 10^{15} เฮิรตซ์) ซึ่งจะทำลายโครงไมโครไมโซมของจุลทรี รังสี UV มีอำนาจในการทะลุทะลวงต่ำจึงไม่มีประโยชน์ในการนำมาใช้ในการถนอมอาหาร เนื่องจากรังสี UV จะถูกตัวกลางที่รังสีผ่านดูดไว้ เช่น รังสี UV ที่ผ่านน้ำใสๆ ที่ลึกเพียง 5 เซนติเมตร

2.3. รังสีที่แตกตัวได้ (Ionizing radiation) เป็นรังสีที่มีช่วงความถี่สูงกว่า 10^{18} เฮิรตซ์ มีพลังงานสูงจนสามารถปลดปล่อยอิเล็กตรอนอิสระออกจากโมเดกูลได้ การนำรังสีประเภทนี้มาใช้จำแนก ออกเป็น 3 ชนิด คือ

1. อิเล็กตรอนพลังงานสูง สามารถทะลุทะลวงของอนุภาคบีตาต่ำกว่ารังสีที่แตกตัวได้ อีนๆ จึงมีข้อจำกัดในการนำมาใช้กับการถนอมอาหาร

2. รังสีเอกซ์ รังสีเอกซ์มีอำนาจทะลุทะลวงสูงกว่าอนุภาคบีตาแต่ไม่สามารถผ่านแต่จะกันได้ นิยมใช้ในทางการแพทย์มากกว่าจะนำมาใช้ในการถนอมอาหาร

3. รังสีแกรมมา ได้จากการถลายตัวของสารกัมมันต์รังสี โดยเฉพาะโคบอลต์ 60 และซีซีเอ็ม 137 รังสีแกรมมากถูกนำมาใช้ในการถนอมอาหารซึ่งการใช้รังสีสามารถควบคุมจุลทรีได้

มากกว่าการใช้ความร้อน เนื่องจากจังสีสามารถแทรกเข้าไปในเนื้ออาหารของอาหารได้ดีและสม่ำเสมอ กว่าโดยที่ผลิตภัณฑ์อาหารยังมีความสด (สุมาลี เหลืองสกุล, 2541)

3. การใช้อุณหภูมิต่ำในการเก็บรักษาอาหาร

การเก็บแบบแช่เย็น อาหารแช่เย็นเป็นอาหารเก็บที่อุณหภูมิเหนือจุดเยือกแข็ง โดยทั่วไปนิยมเก็บอาหารหลายชนิดไว้ที่อุณหภูมิประมาณ 0 ถึง 5 องศาเซลเซียส

แม้ว่าแบบที่เรียกตามภาษาไทยปัจจุบันได้ที่อุณหภูมิต่ำ แต่การเจริญกิจยังเป็นไปอย่างช้าๆ การเน่าเสียจึงเกิดขึ้นช้าๆ อุณหภูมิที่ใช้เก็บรักษาอาหารและปัจจัยอื่นๆ เช่น ชนิดและปริมาณของจุลินทรีย์ เริ่มต้น สามารถนำมาระบุเพื่อประเมินอายุการเก็บรักษาของผลิตภัณฑ์อาหารได้ จุลินทรีย์ที่เจริญได้ในอุณหภูมิต่ำเนื่องจากองค์ประกอบของไขมันในเยื่อหุ้มเซลล์ส่วนมากประกอบด้วยกรดไขมันชนิดไม่อิมตัวและกรดไขมันโมเลกุลสั้น ซึ่งกรดไขมันเหล่านี้มีจุดหลอมเหลวต่ำเป็นผลให้เยื่อหุ้มเซลล์ทำงานได้และยอมให้สารอาหารและเอนไซม์บางชนิดผ่านเข้าสู่เซลล์ ทำให้แบบที่เรียกที่เจริญในอุณหภูมิต่ำเจริญได้

4. การใช้สารเคมี

แม้ว่าสารเคมีในอาหารจะทำให้ปั่นเปื้อน แต่สารเคมีก็ยังมีความจำเป็นต่อกรรมวิธีการผลิตอาหารบางอย่าง เช่น การใช้เพื่อปรับปรุงลักษณะเนื้อสัมผัส กลิ่น-รส คุณค่าทางโภชนาการและศีลของอาหาร เป็นต้น

วัตถุกันเสีย (preservative) คือ เป็นสารที่ยับยั้ง ชะลอ หรือหยุดยั้งการเจริญของจุลินทรีย์ หรือป้องกันการเน่าเสียของอาหารสีบเนื่องมาจากจุลินทรีย์ในอาหารหรือสารที่ใช้เพื่อป้องกันการเสียของอาหาร ทั้งนี้ไม่รวมสารที่ยับยั้งการเกิดปฏิกิริยาทางเคมีที่นำไปสู่การจำกัดอายุการเก็บรักษา เช่น กันน้ำ และป้องกันการเปลี่ยนสี เป็นต้น วัตถุกันเสียอาจเป็นสารที่มีผลทำลายจุลินทรีย์และมีผลป้องกันการเจริญเติบโตของจุลินทรีย์ไม่ให้เพิ่มจำนวนขึ้นก็ได้ ผลการยับยั้งหรือทำลายจุลินทรีย์โดยส่วนใหญ่จะขึ้นอยู่กับปริมาณที่ใช้ ถ้าใช้ในปริมาณสูงจุลินทรีย์จะถูกทำลายมาก แต่การใช้กับอาหารมักจะถูกจำกัดปริมาณที่ค่อนข้างต่ำ จึงมีผลเพียงควบคุมไม่ให้จุลินทรีย์เพิ่มจำนวนมากขึ้น ด้วยเหตุผลนี้สารเคมีที่ใช้เป็นวัตถุกันเสีย จึงมีประโยชน์ในเรื่องการควบคุมอาหารที่มีปั่นเปื้อนจุลินทรีย์ไม่สูงมากนัก ตั้งนั้นจึงนำสารกันเสียตามธรรมชาติตามใช้ เช่น น้ำมันหอมระ夷จากเครื่องเทศ และระบบเอนไซม์แลคโตเพอร์ออกซิเดส (lactoperoxidase) ได้รับความสนใจที่จะนำมาใช้แทนวัตถุกันเสียกันมากขึ้น รวมทั้งการใช้แบบที่เรียกแลคติกในการหมัก ทำให้เกิดสารยับยั้งที่เรียกว่าแบคเทอโริโคซิน (bacteriocin) (สุมนatha วัฒนสินธุ, 2545)

2.2 แบคเทอโริโธซิน

แบคเทอโริโธซิน (bacteriocin) เป็นสารเพปไทด์ขนาดเล็กซึ่งมีฤทธิ์ยับยั้งการเจริญของแบคทีเรียแกรมบวก และแกรมลบบางชนิดที่ก่อให้เกิดโรคและทำให้อาหารเน่าเสีย เช่น *B. cereus*, *C. botulinum*, *L. monocytogenes* และ *S. aureus* ปกติแบคทีเรียที่สร้างแบคเทอโริโธซินจะมีภูมิคุ้มกันต่อแบคเทอโริโธซินที่สร้างออกมานั้นเองทำให้มีฤทธิ์ยับยั้งจากแบคเทอโริโธซินที่สร้างขึ้นมา การสร้างแบคเทอโริโธซินของแบคทีเรียเกิดจากการปรับตัวเพื่อความอยู่รอดในสภาพแวดล้อมที่มีเชื้อหลาญชนิดเจริญอยู่ร่วมกัน ทำให้เชื้อที่สร้างแบคเทอโริโธซินสามารถแย่งอาหาร และพื้นที่เพื่อใช้ในการเจริญเติบโต ส่วนเชื้อชนิดอื่นที่ไม่สามารถสร้างแบคเทอโริโธซินได้ก็จะตายลงในที่สุด แบคเทอโริโธซินจัดเป็นสารชีวภาพที่มีความแตกต่างจากยาปฏิชีวนะ (antibiotic) ดังตารางที่ 2.1 ซึ่งแบคเทอโริโธซินจะมีฤทธิ์ในการยับยั้งการเจริญของเชื้อแบคทีเรีย ซึ่งแบคเทอโริโธซินถูกสร้างจากแบคทีเรียหลาญชนิด แต่ที่ได้รับการศึกษา กันมากคือในแบคทีเรียกรดแลคติก เนื่องจากเป็นแบคทีเรียที่ได้รับการยอมรับว่ามีความปลอดภัย และใช้ประโยชน์ในทางอุตสาหกรรมอาหารเป็นเวลานาน ในปัจจุบันแบคเทอโริโธซินได้รับการยอมรับในด้านความปลอดภัยจาก FDA และ FAO/WHO โดยถูกนำไปใช้ในคุณภาพรวมอาหารชนิดต่างๆ

ตารางที่ 2.1 การเปรียบเทียบความแตกต่างระหว่างแบคเทอโริโธซินและสารปฏิชีวนะ (Cleveland และคณะ, 2001)

ลักษณะและสมบัติ	แบคเทอโริโธซิน	สารปฏิชีวนะ
การนำไปใช้งาน	ทางอาหาร	ทางการแพทย์
กระบวนการสังเคราะห์	ผลิตจากไนโตรไซด์	เป็นเมแทบอไลต์ทุติยภูมิ
ฤทธิ์ในการยับยั้งแบคทีเรีย	กว้าง	แคบ
ความสามารถในการยับยั้ง	น้อย	มาก
แบคทีเรียเป้าหมาย		
การสร้างระบบภูมิคุ้มกันตนเอง	มี	ไม่มี
ของเชลล์ผู้ผลิต		
กลไกในการต่อต้านของเชลล์ เป้าหมาย	โดยปรับสภาพองค์ประกอบของเยื่อหุ้มเชลล์	โดยการเปลี่ยนแปลงทางพันธุกรรม
ลักษณะของปฏิกิริยาบนเชลล์ เป้าหมาย	ทำให้เกิดรูที่เยื่อหุ้มเชลล์	ทำลายเยื่อหุ้มเชลล์หรือโครงสร้างภายในเชลล์
ความเป็นพิษหรือผลข้างเคียง	ปัจจุบันรายงาน	มี

จากการศึกษาที่ผ่านมาพบว่าแบคเทอโริโธซินที่สร้างจากแบคทีเรียแกรมลบจะมีไม่เลกุณนาดใหญ่และมีฤทธิ์ในการยับยั้งแบคทีเรียได้น้อยกว่าที่สร้างจากแบคทีเรียแกรมบวก (Jack และคณะ, 1995) โดยแบคเทอโริโธซินที่สร้างจากแบคทีเรียแกรมลบได้มีการศึกษากันในด้านต่างๆ ได้แก่ โครงสร้างของโปรตีน แรกทิวติในการยับยั้งการเจริญของแบคทีเรียเป้าหมาย กระบวนการสังเคราะห์ภายในเชลล์ที่ผลิต กลไกการเข้าทำลายและตำแหน่งของการเข้าทำลายเชลล์เป้าหมาย รวมถึงระบบภูมิคุ้มกันของเชลล์เป้าหมาย ตัวอย่างเช่น colicins ซึ่งผลิตโดย *E. coli* และมีผลในการยับยั้งแบคทีเรียงค์ Enterobacteriaceae ชนิดอื่นๆ หรือ microcins ซึ่งผลิตโดยแบคทีเรียในวงศ์ Enterobacteriaceae และมีผลในการยับยั้งแบคทีเรียแกรมลบชนิดต่างๆ ส่วนแบคเทอโริโธซินที่ผลิตโดยแบคทีเรียแกรมบวก พบว่ามีสมบัติที่น่าสนใจกว่าที่ผลิตจากแบคทีเรียแกรมลบ คือ มีสมบัติในการทำลายแบคทีเรียที่แตกต่างกันได้หลายชนิด รวมทั้งเชลล์เป้าหมายจะมีการต้านทานน้อย และไม่ต้องการทำหน่งเฉพาะเจาะจงบนเชลล์เป้าหมายเพื่อการเข้าทำลาย นอกจากนี้การควบคุมการผลิตภายในเชลล์ถูกควบคุมได้ทั้งจากพลาสมิดและโครโมโซมโดยในกลุ่มของแบคทีเรียแกรมบวก พบว่า

แบคทีเรียกรดแลคติกมีบทบาทสำคัญในการสร้างสาร ซึ่งมีสมบัติในการยับยั้งการเจริญของแบคทีเรียกลุ่มต่างๆ ได้หลายชนิดโดยแบคเทอโริโธซิน ซึ่งพบว่าสารดังกล่าวเป็นสารเพปไทด์หรือโปรตีนขนาดเล็ก และในบางครั้งอาจพบกรดอะมิโนที่ไม่ค่อยพบในโปรดีนปกติทั่วไป เช่น ดีไฮดรอะลานีน ดีไฮดรอ บิวเทอเริน ที่พบในไนซิน โดยแบคเทอโริโธซินแต่ละชนิดจะมีจำนวนและชนิดของกรดอะมิโนภายในไม่เลกุลที่แตกต่างกัน และสามารถถูกทำลายได้ด้วยเอนไซม์อยஸลายโปรดีน (proteolytic enzymes) (Kleinkauf และ Von Dohrem, 1987) ชนิดของแบคทีเรียแกรมบวกและแบคทีเรียแกรมลบที่สามารถสร้างแบคเทอโริโธซิน ได้แก่ *Acetobacter, Actinobacillus, Bacillus, Brevibacterium, Clostridium* เป็นต้นโดย (Montville และ Kaiser, 1993)

2.2.1 การจำแนกประเภทของแบคเทอโริโธซิน

แบคเทอโริโธซินที่ผลิตโดยแบคทีเรียกรดแลคติก โดยทั่วไปมีสมบัติเป็นไมเลกุลที่ไม่ชอบน้ำ (hydrophobic molecule) และมีประจุบวก ประกอบไปด้วยกรดอะมิโน 20-60 หมู่ โดยสามารถแบ่งชนิดของแบคเทอโริโธซินตามน้ำหนักโมเลกุล และโครงสร้างทางเคมี ทางเดียว (ตารางที่ 2) ได้เป็น 3 กลุ่ม (Chen และ Hoover, 2003) ได้แก่

1. แلنติไบโอติก (Lantibiotics)

แบคเทอโริโธซินกลุ่มนี้เป็นสายเพปไทด์สายสั้นๆ ประกอบด้วยกรดอะมิโนประมาณ 19-50 หมู่ มีมวลโมเลกุลต่ำกว่า 5 กิโลดัลตัน ทนความร้อน และมีกรดอะมิโนที่ถูกดัดแปลงเป็นองค์ประกอบหลักนิด เช่น แلنไธโอนีน (lanthionine) บีตาเมทธิลแلنไธโอนีน (β -methyl-lanthionine) ดีไฮดรอบิวทิรีน (dehydrobutyryne; Dhb) และดีไฮดรออะลานีน (dehydroalanine; Dha) ดังนั้นแบคเทอโริโธซิน กลุ่มนี้จึงต้องมีกระบวนการดัดแปลงหลังการแปลงรหัสเพื่อให้ได้กรดอะมิโนที่สามารถใช้งานได้ ปฏิกิริยาเคมีของการดัดแปลงนี้เกี่ยวข้องกับการขจัดน้ำ (dehydration) ที่ปลายเชือก และธีโอนีน ได้เป็น Dh_a และ Dh_b ตามลำดับ หลังจากนั้นหมุนชัลฟไฮดรอย (sulphydryl) ของปลายชิสเตอีน จะเกิดปฏิกิริยากับ Dh_a และ Dh_b สร้างเป็นสะพานชัลฟิลด์ของแلنไธโอนีน (Ala-s-Ala) หรือวงแหวนเมทธิลแلنไธโอนีน (Ala-s-Aba) นอกจากนี้เมื่อมีการขจัดแบคเทอโริโธซินชนิดนี้ด้วยวิธี ABC transport system ออกจากเซลล์จะมีการทำจัดเพปไทด์สายนำด้วยโปรดีอีส

แบคเทอโริโธซินชนิดต่างๆ ในกลุ่มแلنติไบโอติกยังมีความแตกต่างทางโครงสร้างทางเคมีอย่างมาก ได้ออกเป็น 2 กลุ่มย่อย คือ

1.1 แلنติไบโอติกที่มีโครงสร้างสายเพปไทด์เป็นเส้นตรงบิดเป็นเกลียว มีสมบัติไม่ชอบน้ำ และมีประจุบวก แلنติไบโอติกในกลุ่มนี้ที่ถูกค้นพบเป็นครั้งแรก คือไนซิน (nisin) ซึ่งปัจจุบันมี

ความสำคัญในเบื้องต้นของการเป็นสารถนอมในอุตสาหกรรมอาหาร เนื่องจากมีฤทธิ์การยับยั้งแบคทีเรียค่อนข้างขาว

1.2 แบคทีเรียโบทิกที่มีโครงสร้างสายเพปไทด์เป็นรูปร่างกลม (globular) ไม่มีประจุหรือมีประจุลบ และมีฤทธิ์การยับยั้งแบคทีเรียค่อนข้างทำให้เป็นที่สนใจและในอนาคตอาจเป็นสารต้านจุลทรรศพที่เป็นจุดเด่นของแบคทีเรียแลคติกที่สำคัญในอุตสาหกรรมอาหาร

2. แบคเทอโริโอซินที่มีโมเลกุลขนาดเล็กและทนต่อความร้อน

แบคเทอโริโอซินกลุ่มนี้เป็นสายเพปไทด์ที่ไม่มีการดัดแปลง มีมวลโมเลกุลต่ำกว่า 10 กิโลดัลตัน และทนความร้อนได้ 60-100 องศาเซลเซียส หากกว่า 30 นาที แบคเทอโริโอซินกลุ่มนี้สามารถแบ่งเป็น 3 กลุ่มย่อยคือ

2.1 กลุ่มแบคเทอโริโอซินที่มีลักษณะคล้ายเพปไทด์เพดิโอซิน (pediocin-like peptide)

2.2 กลุ่มแบคเทอโริโอซินที่ประกอบด้วยเพปไทด์ที่แตกต่างกัน 2 ส่วน (two peptide bacteriocins) ซึ่งแบคเทอโริโอซินกลุ่มนี้จะทำงานได้ก็ต่อเมื่อเพปไทด์ทั้ง 2 ส่วนนี้ทำงานร่วมกัน

2.3 กลุ่มแบคเทอโริโอซินที่ต้องการโปรตีน sec ในการส่งแบคเทอโริโอซินชนิดนี้ออกเซลล์ แบคทีเรียที่สร้างแบคเทอโริโอซิน (sec dependent secreted bacteriocin)

นอกจากนั้นยังพบแบคเทอโริโอซินใหม่อีก 2 กลุ่มที่มีโมเลกุลขนาดเล็กและทนต่อความร้อน กลุ่มแรกเป็นแบคเทอโริโอซินที่ประกอบด้วยซิสเตอีนหนึ่งหรือสองชิ้นส่วน คือ ไฮโอลไบโอดิติก (thiolbiotics) และซิสติไบโอดิติก (cystibiotics) ตามลำดับ แบคเทอโริโอซินในกลุ่มนี้ ได้แก่ แลคโตโคคซิน เอ (lactococcin A) และอีกกลุ่มคือแบคเทอโริโอซินที่ไม่มีส่วนประกอบของซิสเตอีน ได้แก่ แลคโตโคคซิน บี (lactococcin B) (Oscariz และ Pisabarro, 2001)

3. แบคเทอโริโอซินที่มีโมเลกุลขนาดใหญ่แต่ไม่ทนต่อความร้อน

แบคเทอโริโอซินกลุ่มนี้เป็นโปรตีนที่มีขนาดใหญ่มีมวลโมเลกุลมากกว่า 30 กิโลดัลตัน ใหญ่เสียไปสิทธิภาพการทำงานเมื่อถูกความร้อน 100 องศาเซลเซียส เป็นเวลา 30 นาที หรือมากกว่า นั้น โดยแบคเทอโริโอซินกลุ่มนี้ทั้งหมดจะผลิตจาก *Lactobacillus* sp.

ตารางที่ 2.2 ตัวอย่างแบคเทอโริโนซินในกลุ่มต่าง ๆ (Chen และ Hoover, 2003)

แบคเทอโริโนซิน	จุลทรรศ์ที่สร้าง	เอกสารอ้างอิง
กลุ่ม 1 แลนตีโนไซดิก		
กลุ่ม 1.1		
ไนซิน (nisin)	<i>Lactococcus lactis</i>	Hurst 1981
แลคติซิน เอส (lactocin S)	<i>Lactobacillus sakei</i>	Mortvedt และ คณะ 1991
เอกพิเดอร์มิน (epidermin)	<i>Staphylococcus epidermidis</i>	Allgaier และ คณะ 1986
กอลลิเดอร์มิน (gallidermin)	<i>Staphylococcus gallinarum</i>	Kellner และ คณะ 1988
แลคทิซิน 481 (lacticin 481)	<i>Lactococcus lactis</i>	Piard และ คณะ 1992
กลุ่ม 1.2		
เมอร์ชาซิดิน (mersacidin)	<i>Bacillus subtilis</i>	Altena และ คณะ 2000
ซีนนามัยซิน (cinnamycin)	<i>Streptomyces cinnamoneus</i>	Sahl และ Bierbaum 1998
แคนโคลเวนิน (ancovenin)	<i>Streptomyces</i> ssp.	Sahl และ Bierbaum 1998
ดูรามัยซิน (duramycin)	<i>Streptomyces cinnamoneus</i>	Sahl และ Bierbaum 1998
แอคทาการ์ดิน (actagardin)	<i>Actinoplanes</i> ssp.	Sahl และ Bierbaum 1998

ตารางที่ 2.2 ตัวอย่างแบคเทอโริโนซินในกลุ่มต่างๆ (ต่อ)

แบคเทอโริโนซิน	จุลินทรีย์ที่สร้าง	เอกสารอ้างอิง
กลุ่ม 2 (ไม่เลกูลาขนาดเล็ก และทนต่อความร้อน)		
กลุ่ม 2.1		
เพดิโอซิน PA-1 (pediocin PA-1)	<i>Pediococcus acidilactici</i>	Motlagh และคณะ, 1992
ชาคาซิน A (sakacin A)	<i>Lactobacillus sake</i>	Holck และคณะ, 1992
ชาคาซิน P	<i>Lactobacillus sake</i>	Tichaczek และคณะ, 1992
ลิวโคซิน A-UAL187 (leucocin A-UAL 187)	<i>Leuconostoc gelidum</i>	Hastings และคณะ, 1991
เมเซนเตอริซิน Y105 (mesentericinY105)	<i>Leuconostoc mesenteroides</i>	Hechard และคณะ, 1992
เอนเทอโรซิน A (enterocin A)	<i>Enterococcus faecium</i>	Aymerich และคณะ, 1996
ไดเวอร์ซิน V41 (divercin V41)	<i>Carnobacterium divergens</i>	Metivier และคณะ, 1998
แลคโตโคกซิน MMFII (lactococcin MMFII)	<i>Lactobacillus lactis</i>	Ferchichi และคณะ, 2001
กลุ่ม 2.2		
แลคโตโคกซิน G (lactococcin G)	<i>Lactobacillus lactis</i>	Nissen-Meyer และคณะ, 1992
แลคโตโคกซิน M (lactococcin M)	<i>Lactobacillus lactis</i>	van Belkum และคณะ, 1991
แลคทาซิน F (lactacin F)	<i>Lactobacillus johnsonii</i>	Allison และคณะ, 1994
แพลนทาริซิน A (plantaricin A)	<i>Lactobacillus plantarum</i>	Nissen-Meyer และคณะ, 1993
แพลนทาริซิน EF (plantaricin EF)	<i>Lactobacillus plantarum</i>	Jimenez-Diaz และคณะ, 1995
แพลนทาริซิน JK (plantaricin JK)	<i>Lactobacillus plantarum</i>	Anderssen และคณะ, 1998
กลุ่ม 2.3		
อะซิโดซิน B (acidocin B)	<i>Lactobacillus acidophilus</i>	Leer และคณะ, 1995
คาร์โนไนแบคเทอโริโนซิน (carnobacteriocin)	<i>Carnobacterium piscicola</i>	Worobo และคณะ, 1994
ไดเวอร์ซิน A (divergicin A)	<i>Carnobacterium divergens</i>	Worobo และคณะ, 1995
เอนเทอโรซิน P (enterocin P)	<i>Enterococcus faecium</i>	Cintas และคณะ, 1997
เอนเทอโรซิน B (enterocin B)	<i>Enterococcus faecium</i>	Nes และ Holo, 2000
กลุ่ม 3 (ไม่เลกูลาขนาดใหญ่ไม่ทนความร้อน)		
ไฮล์เวทิซิน J (helveticin J)	<i>Lactobacillus helveticus</i>	Joerger และ Klaenhammer, 1986
ไฮล์เวทิซิน V-1829 (helveticin V-1829)	<i>Lactobacillus helveticus</i>	Vaughan และคณะ, 1992

แบปค์เทอโริโอกินที่นำมาใช้ทางการค้า คือ ไนซิน (nisin) จำหน่ายโดยใช้ชื่อว่า Nisaplin™ (สร้างจาก *Lactococcus lactis* subsp. *lactis*) และเพดดิโอกิน (pediocin PA-1) จำหน่ายโดยใช้ชื่อว่า ALTA™ 2431 (สร้างจาก *Pediococcus acidilactic*) ไนซินมีการใช้แพร่หลายมากกว่า 48 ประเทศ โดยองค์กรอาหารและยา (FDA) ได้ยอมรับว่า Nisaplin™ สามารถจำหน่ายในรูปของสารป้องกันการเน่าเสียที่มาจากธรรมชาติ ไนซินมีประสิทธิภาพในการยับยั้งแบปค์ที่เรียกคุ้มแกรมบวกได้หลายสปีชีส์ รวมทั้ง *Listeria monocytogenes* ซึ่ง Nisaplin™ นิยมใช้ในนม ผลิตภัณฑ์จากนม และอาหารกระป๋อง (Jeevaratnam และคณะ, 2005) นอกจาก Nisaplin™ แล้วยังมีผลิตภัณฑ์ของแบปค์เทอโริโอกินที่นำมาใช้ทางการค้า เช่น แลคซิทิน 3147 และ แลคซิทิน 481 ซึ่งมีประสิทธิภาพในการใช้ถนอมอาหาร และช่วยเพิ่มรสชาติด้วย ดังนั้น แบปค์เทอโริโอกินจึงน่าจะมีศักยภาพในการเป็นสารถนอมอาหารทางเลือกที่ปลอดภัย

2.3 ไนซิน

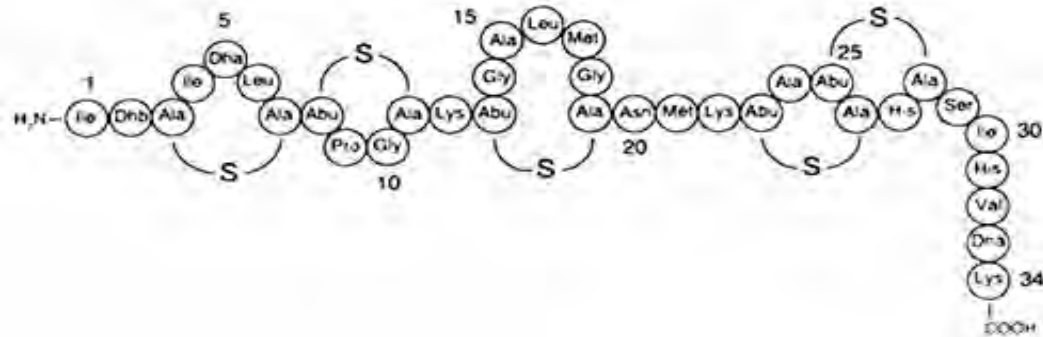
ไนซินเป็นแบปค์เทอโริโอกินชนิดหนึ่ง ซึ่งสร้างได้จาก *Lactococcus lactis* sp. *lactis* จะมีผลทำลายแบปค์ที่คล้ายคลึงกับแบปค์ที่เรียชนิดที่สร้างมันขึ้นมาเท่านั้น ไม่สามารถสังเคราะห์ทางเคมีได้ ในปี ค.ศ. 1928 ไนซินถูกค้นพบครั้งแรกในประเทศอังกฤษโดย Rogers และคณะ พบร่วมกับแบปค์ที่เรียกคุ้ม *Lactococcus* มีความสามารถในการยับยั้งการเจริญของแบปค์ที่เรียแลคติกนิดอื่นๆ แต่ยังไม่ทราบว่าเป็นผลเนื่องจากการทำงานของไนซิน ในปี ค.ศ. 1933 Whitehead และ Ribbet พบร่วมกับแบปค์ที่เรียกคุ้ม เป็นผลของการเจริญของแบปค์ที่เรียแลคติกนิดอื่นๆ ซึ่งสามารถสังเคราะห์ทางเคมีได้ แต่ยังไม่ทราบว่าเป็นผลเนื่องจากการทำงานของไนซิน ในปี ค.ศ. 1947 Mattick และ Hirsch ได้ศึกษาแบปค์ที่เรียกคุ้ม *Lactococcus* ที่สร้างสารยับยั้งมีลักษณะทางเชื้อรุ่มวิทยาจัดอยู่ในกลุ่ม N ซึ่งมีสมบัติในการยับยั้งแบปค์ที่เรียกคุ้มโดยตรง และให้เรียกสารต้านจุลชีพนี้ว่า ไนซิน ซึ่งมาจาก “Group N Inhibitory Substance” ดังนั้นคำจำกัดความของไนซินก็คือ สารต้านจุลชีพที่ผลิตจากเชื้อในกลุ่ม *Lactococcus* ซึ่งมีลักษณะทางเชื้อรุ่มวิทยาตามการจัดกลุ่มแบบ Lancefield ในกลุ่ม N (De Vuyst และ Vandamme, 1994)

ไนซินได้ถูกนำมาใช้ในอุตสาหกรรมอาหารและเครื่องดื่ม ในฐานะของวัตถุกันเสียสำหรับอาหารในหลายประเทศตั้งแต่ปี ค.ศ. 1950 และในปี ค.ศ. 1988 องค์กรอาหารและยาแห่งสหราชอาณาจักร (FDA) ได้อนุมัติให้ใช้ไนซินในอุตสาหกรรมการทำเนย โดยได้รับการรับรองจากองค์กร

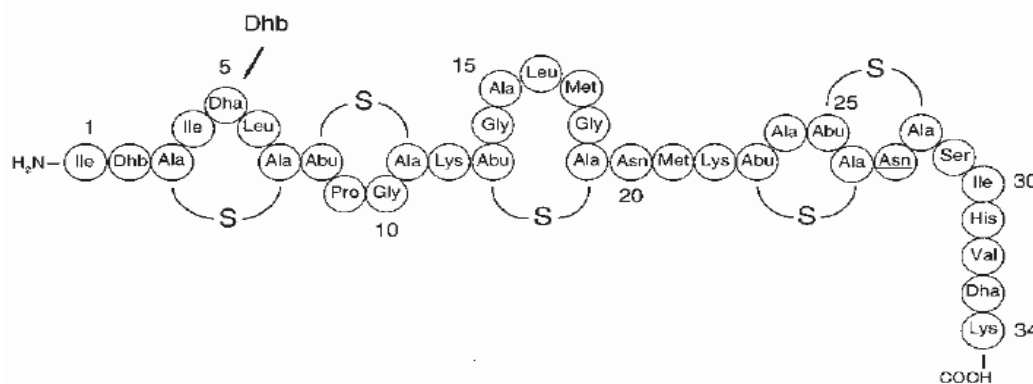
อาหารและยาแห่ง สหรัฐอเมริกาให้เป็นสารที่ปลอดภัย ที่เรียกว่า GRAS (generally recognized as safe) เนื่องจากได้มีการพิสูจน์ว่าไม่มีผลข้างเคียงที่เป็นอันตรายใดๆ ต่อผู้บริโภคเมื่อนำมาใช้ในอาหาร ทำให้มีการนำไนซินไปประยุกต์ใช้ในอุตสาหกรรมอาหารอื่นๆ ตามมาในภายหลัง (Federal Register, 1988)

ในปัจจุบันไนซินยังคงจัดเป็นแบคเทอโรไซน์ที่มีความสำคัญในเชิงการค้าในอุตสาหกรรมอาหารมากที่สุดเนื่องจากเป็นที่ยอมรับกันในอุตสาหกรรมอาหารในฐานะของวัตถุกันเสียที่ทั่วโลกให้การยอมรับและอนุมัติให้ใช้ในอาหารได้ นอกจากนี้ไนซินยังมีความเป็นพิษต่ำมากทำให้ไม่เคยมีการเตือนถึงอันตรายของการใช้ในชีน (Chikindas และ Montville, 2002) ไนซินแบ่งออกได้เป็นสามชนิดโดยอาศัยความแตกต่างของกรดอะมิโน ได้แก่ ไนซิน A ไนซิน Z และไนซิน Q (รูปที่ 2.1) โดยไนซิน A เป็นไนซินชนิดแรกที่ถูกค้นพบ ซึ่งแยกมาจาก *Lactobacillus lactis* subsp. *lactis* ไนซิน A มีมวลโมเลกุลประมาณ 3.35 กิโลดัลตัน (De Vuyst and Vandamme, 1994) ต่อมาในปี ค.ศ. 1991 ได้มีการค้นพบไนซินที่มีความแตกต่างจากไนซิน A โดยมีกรดอะมิโนตำแหน่งที่ 27 เป็นแอสพาราเจน ขณะที่ไนซิน A เป็นอีสทิดีน ไนซิน Z มีมวลโมเลกุลเท่ากับ 3.33 กิโลดัลตัน ซึ่งแยกได้จาก *Lactobacillus lactis* subsp. *lactis* NIZO 22186, *Lactobacillus lactis* subsp. *lactis* N8 และสายพันธุ์อื่นๆ ซึ่งมีสมบัติการละลายที่ค่าความเป็นกรด-เบสที่เป็นกลางได้ดีกว่าไนซิน A และมีสมบัติในการทำลายแบคทีเรียแกรมบวกได้หลายชนิดเหมือนกัน ในปี ค.ศ. 2003 Zendo และคณะ ได้ค้นพบไนซิน Q ซึ่งเป็นไนซินชนิดใหม่ที่มีกรดอะมิโนแตกต่างจากไนซิน A โดยในส่วนของเพปไทด์สายหลักมีกรดอะมิโนแตกต่างจากไนซิน A 4 หมู่ ได้แก่ กรดอะมิโนเจลีน ในตำแหน่งที่ 15 กรดอะมิโนลิวชีนในตำแหน่งที่ 21 กรดอะมิโนแอสพาราเจน ในตำแหน่งที่ 27 และกรดอะมิโนเจลีน ในตำแหน่งที่ 30 และในส่วนของเพปไทด์สายนำมายังโมเลกุลของไนซินก่อนการตัดแปลงจะมีกรดอะมิโนแตกต่างจากไนซิน A 2 ตัว ได้แก่ ทริปโตเฟนและไทโรสิน ในไนซิน Q สังเคราะห์จาก *Lactobacillus lactis* สายพันธุ์ 61-14 ซึ่งแยกจากแม่น้ำในประเทศไทยปูน มีขนาดมวลโมเลกุล 3.32 กิโลดัลตัน

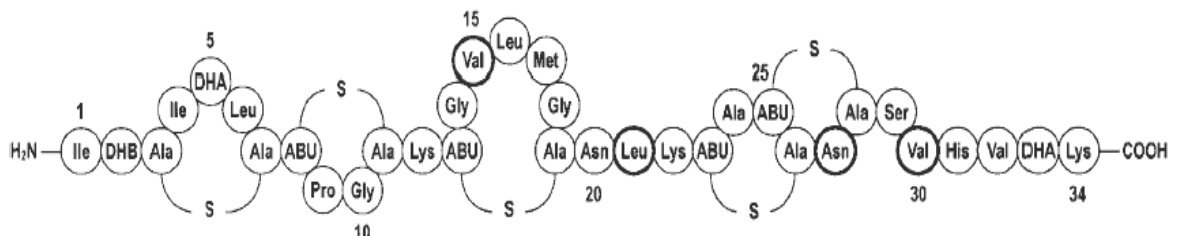
ก.



ก.



ก.



รูปที่ 2.1 ลำดับกรดอะมิโนของไนซิน A Z และ Q โดย ก. แสดงลำดับกรดอะมิโนของไนซิน A จาก *Lactobacillus lactis* subsp *lactis* (De Vuyst และ Vandamme, 1994) ข. และลำดับกรดอะมิโนของไนซิน Z จาก *Lactobacillus lactis* subsp *lactis* (De Vuyst และ Vandamme, 1994) ค. แสดงลำดับกรดอะมิโนของไนซิน Q *Lactobacillus lactis* (Zendo และคณะ, 2003)

2.3.1 สมบัติของไนซิน

1. ความสามารถในการละลาย

ไนซินสามารถละลายได้ดี ในภาวะที่เป็นกรด และความสามารถในการละลายจะลดลง เมื่อมี pH เพิ่มมากขึ้น โดยจากงานวิจัยพบว่าที่ pH 2.5 ไนซินสามารถละลายได้ 12% และการละลายจะลดลงเหลือ 4% ที่ pH 5.0 ส่วนที่ pH เป็นกลาง หรือเป็นเบส ความสามารถในการละลายของไนซินลดลงใกล้ศูนย์ และที่ pH มากกว่า 7.0 โครงสร้างของไนซินมีการเปลี่ยนแปลงแบบผันกลับไม่ได้ และสูญเสียความสามารถในการยับยั้งการเจริญของจุลินทรีย์อย่างไรก็ตาม การเก็บไนซินไว้ที่อุณหภูมิตู้เย็น หรือแช่แข็ง จะคงความสามารถของไนซินอยู่ได้เป็นเวลานาน (Delves-Broughton, 1990) อย่างไรก็ตามเนื่องจากการใช้ไนซินในอาหาร จะใช้ไนซินในปริมาณเล็กน้อยเท่านั้น ทำให้การละลายไม่จำเป็นปัญหาสำคัญ เมื่อนำไนซินไปประยุกต์ใช้ในอุตสาหกรรมอาหาร

2. ความเสถียร

ไนซินจะมีความเสถียรที่ pH ต่ำ โดยจะมีความเสถียรมากสุดที่ pH เท่ากับ 3 ทั้งอุณหภูมิที่ 37 และ 75 องศาเซลเซียส (Liu และ Hansen, 1990) แต่เมื่อสารละลายมี pH เป็นกลางมากขึ้น ความเสถียรของไนซินจะลดลง โดยในภาวะที่เป็นเบส พบว่าความเสถียรของไมเลกุลที่ลดลงเป็นผลเนื่องมาจากการลดลงของประสิทธิภาพในการเปลี่ยนแปลงทางเคมีของโครงสร้างไมเลกุล

ไนซินเป็นไมเลกุลซึ่งทนความร้อนได้ดีจนถึง 121 องศาเซลเซียส เมื่อยกอยู่ในภาวะ pH ต่ำ แต่ความสามารถในการทนร้อนจะลดลงเมื่อ pH เป็นกลางมากขึ้น (Hurst และ Hoover, 1993) พบว่าสารละลายไนซินสามารถผ่านการนึ่งไฟเชื้อตัวโดยความร้อน (121 องศาเซลเซียส นาน 15 นาที) ที่ pH 3.0-3.5 โดยสูญเสียเอกสารทิวิตี้เล็กน้อย (น้อยกว่าร้อยละ 10) แต่ที่ pH ต่ำ พบว่าไนซินจะสูญเสียเอกสารทิวิตี้เพิ่มมากขึ้น (มากกว่าร้อยละ 90 ที่ pH 1 หรือ 7) ทั้งนี้ยังพบว่าในกระบวนการพาสเจอร์ไซซ์ในไนซินสูญเสียเอกสารทิวิตี้เพียงเล็กน้อยเท่ากัน (ประมาณร้อยละ 20 ที่ pH 5.6-5.8)

เอนไซม์ที่อยู่อยู่ในไนซินโดยพบว่าแพนค्रีอีติน (pancreatin), แอลฟ้าไคโมทริปซิน (α -chymotrypsin) และพิซิน (ficin) สามารถย่อยสลายไมเลกุลของไนซินได้ ในขณะที่ทริปซิน (trypsin), เพปซิน (pepsin), อิริปซิน (erepsin), อีลัสเทส (elastase) และคาร์บอคซิเพปทิเดส (carboxypeptidase) จะไม่สามารถย่อยสลายไมเลกุลของไนซินได้ (Hurst และ Hoover, 1993)

จากการศึกษาพบว่าการสูญเสียเอกสารทิวิตี้ของไนซินในอุตสาหกรรมอาหาร จะเกิดขึ้นได้ 2 ช่วงคือ ช่วงการผลิต และช่วงการเก็บรักษาผลิตภัณฑ์

สำหรับช่วงการผลิต ความเสถียรของไนซินจะขึ้นอยู่กับค่า pH ของผลิตภัณฑ์ อุณหภูมิที่ใช้ในการผลิตและจากเชื้อ ดังที่ได้กล่าวในข้างต้น นอกจากนี้ยังขึ้นอยู่กับการใช้สารปัจจุบันแต่งอาหาร ซึ่งพบว่าสารบางอย่างจะส่งผลในเชิงลบเมื่อทำงานร่วมกับไนซิน เช่น ไทเทเนียมไดออกไซด์ (titanium dioxide) และสำหรับอุตสาหกรรมอาหารที่ไม่ผ่านกระบวนการใช้อุณหภูมิสูง เอ็นไซม์ย่อยสลายโปรตีน (proteolytic enzymes) ก็สามารถส่งผลต่อความเสถียรของไนซินได้เช่นกัน

สำหรับช่วงการเก็บรักษาผลิตภัณฑ์ อาหารที่มีระยะเวลาการเก็บรักษา การสูญเสียเอกสารทิวติจะขึ้นอยู่กับ 3 ปัจจัย ได้แก่ pH ของอาหาร อุณหภูมิที่ใช้ในการเก็บ ตลอดจนระยะเวลาในการเก็บรักษา เช่น การเก็บรักษาซีสเป็นเวลา 30 สัปดาห์ ประมาณร้อยละ 80 ที่ 20 องศาเซลเซียส ร้อยละ 60 ที่ 25 องศาเซลเซียส และร้อยละ 40 ที่ 30 องศาเซลเซียส จะเห็นว่าการสูญเสียเอกสารทิวติของไนซินจะเกิดขึ้นน้อยเมื่อใช้อุณหภูมิตามในการเก็บรักษาอาหาร ดังนั้นมีต้องการเก็บรักษาอาหารในภาวะที่มีอุณหภูมิสูงขึ้นจึงจำเป็นต้องเพิ่มระดับการใช้ไนซิน

2.3.2 การวิเคราะห์หาปริมาณไนซินและหน่วยในการวัด

1. การวิเคราะห์หาปริมาณไนซิน

การวิเคราะห์หาปริมาณไนซินสามารถทำได้หลายวิธี โดยวิธีที่ง่ายที่สุดคือ วิธีวัดความ浑浊 (turbidimetric assay, photometric assay) หรือวิธีแพร์ซึมในอาหารแข็ง (agar diffusion assay) ซึ่งเป็นวิธีที่ใช้ทดสอบแบคทีเรียที่สร้างไนซิน โดยอาศัยสมบัติความเป็นสารต้านจุลชีพที่มีฤทธิ์ในการยับยั้งแบคทีเรียชนิดอื่น

1.1 วิธีวัดความ浑浊 (turbidimetric assay, photometric assay)

เป็นวิธีที่ใช้ในการหาปริมาณไนซิน โดยเปรียบเทียบความ浑浊ของอาหารเลี้ยงเชื้อที่มีแบคทีเรียตัวอย่างที่จะทดสอบการยับยั้งแบคทีเรียที่ไวต่อไนซิน กับไนซินมาตรฐาน ซึ่งสามารถเตรียมในรูปหลอดทดลองหรือในปั๊มจุบันนิยมใช้ในรูปไมโครเตอร์เพลท (microtiter plate) ซึ่งมีความสะดวกและสามารถเตรียมได้หลายตัวอย่าง วิธีนี้เป็นวิธีที่รวดเร็ว สามารถประยุกต์ใช้ในการหาปริมาณไนซินในผลิตภัณฑ์ต่าง ๆ ได้ แต่สารที่จะใช้ทดสอบหรืออาหารเลี้ยงเชื้อต้องใส่แล้วไม่มีตะกอน (Flores และคณะ, 2003)

1.2 วิธีแพร์ซึมในอาหารแข็ง (agar diffusion assay)

การทดสอบการสร้างไนซินด้วยวิธีแพร์ซึมในรูปเป็นวิธีวิเคราะห์ที่ง่าย และมีต้นทุนต่ำ ดังนั้นจึงเป็นวิธีที่นิยมใช้ แต่มีข้อจำกัดหลักอย่างโดยเฉพาะในการวิเคราะห์หาปริมาณไนซินที่ต้อง

วิเคราะห์จากขนาดเส้นผ่าศูนย์กลางของโซนเป็นสำคัญ ซึ่งหากมีความคลาดเคลื่อนก็จะทำให้เกิดความผิดพลาดในการวิเคราะห์ปริมาณ (Pongtharangkul และ Demirci, 2004)

2. หน่วยในการวัดในชิน

1. หน่วยในการวัดปริมาณของในชิน

เป็นหน่วยที่แสดงถึงปริมาณในชิน เพื่อบอกปริมาณมาก-น้อย นิยมใช้ในเชิงการค้า และอุตสาหกรรมอาหาร แบ่งได้เป็น 2 หน่วย คือ (Hawley, 1957)

1.1 Reading Unit (RU) เป็นหน่วยที่แสดงถึงปริมาณในชินในเชิงเบรี่บเทียบ น้ำหนัก โดยที่ 1 ไมโครกรัมของในชินบริสุทธิ์ จะมีค่าเท่ากับ 40 RU ซึ่งการใช้ในชินในอาหารควรอยู่ในระดับ 100-400 RU/กรัมของอาหาร

1.2 International unit of nisin (IU) เป็นหน่วยที่นิยมใช้ในเชิงการค้า ซึ่งได้รับความนิยมอย่างมากในภายหลัง เนื่องในคุณสมบัติในการผลิตในชิน พบว่าการทำในชินให้บริสุทธิ์นั้นทำได้ยาก การผลิตในชินในลักษณะที่มีองค์ประกอบอื่นปนเปื้อนเจิงเป็นที่นิยมมากกว่า อย่างไรก็ตามการบอกปริมาณในชินในเชิงเบรี่บเทียบน้ำหนักมักมีความคลาดเคลื่อน เนื่องจากมีน้ำหนักขององค์ประกอบอื่นรวมเข้ามาด้วย จึงต้องทำการบอกปริมาณในชินในเชิงเบรี่บเทียบประสิทิกภาพการทำงาน หรือเอกทิวิตี้ โดยปริมาณในชินที่มีประสิทิกภาพการทำงานเทียบเท่ากับในชินบริสุทธิ์ 0.025 ไมโครกรัม หรือในชินมาตรฐาน เช่น Nisaplin 1 ไมโครกรัม จะมีค่าเท่ากับ 1 IU

2. หน่วยในการวัดแยกทิวิติของในชิน

เป็นหน่วยที่แสดงถึงประสิทิกภาพการทำงานของในชิน แบ่งได้เป็น 2 แบบ คือ

2.1 Arbitrary unit (AU) หมายถึง ค่าความเจือจากที่สูงสุดซึ่งได้จากการทำเจือจากอนุกรมแบบ 2 เท่า ที่สามารถยับยั้งการเจริญของแบคทีเรียที่เรียกว่าต่อในชิน โดยสังเกตจากความชุนของเชื้อไม่เพิ่มขึ้น หน่วยนี้นิยมใช้เบรี่บเทียบเอกทิวิตี้ หรือฤทธิ์ในการยับยั้งของในชินที่ไม่ผ่านการทำให้บริสุทธิ์

2.2 International unit (IU) ตั้งที่ได้กล่าวแล้วข้างต้น IU เป็นหน่วยที่แสดงถึงค่าเอกทิวิติของในชิน โดยเทียบกับในชินมาตรฐาน เช่น เทียบกับ Nisaplin (Nisaplin 1 กรัม มี เอกทิวิตี้ที่แน่นอน 10^6 IU) (De Vuyst และ Vandamme, 1994)

2.4 กลไกในการผ่าหรือยับยั้งการเจริญของแบคทีเรียของในชิน (Mode of action)

กลไกในการผ่าหรือยับยั้งการเจริญของแบคทีเรียของในชิน สามารถแบ่งออกได้เป็นสองส่วน หลักๆ ดังนี้ คือ

1. กลไกในการยับยั้งการสร้างสปอร์

ในชินจะไปเปลี่ยนแปลงหมู่ชัลฟ์ไซด์ของโปรตีนที่อยู่ในส่วนประกอบของเยื่อหุ้ม สปอร์ซึ่งอยู่ในระยะสร้างสปอร์ ทำให้ไม่สามารถเกิดเป็นสปอร์ที่สมบูรณ์ได้ (De Vuyst และ Vandamme, 1994)

2. กลไกในการยับยั้งแบคทีเรียของในชิน

กลไกในการยับยั้งแบคทีเรียของในชินมีเป้าหมายอยู่ที่การทำลายเยื่อหุ้มเซลล์ของแบคทีเรีย ซึ่งการอธิบายในการทำลายเยื่อหุ้มเซลล์ของแบคทีเรียโดยในชินนั้น สามารถอธิบายในการอ้างอิงจากแบบจำลอง 2 แบบ ได้แก่

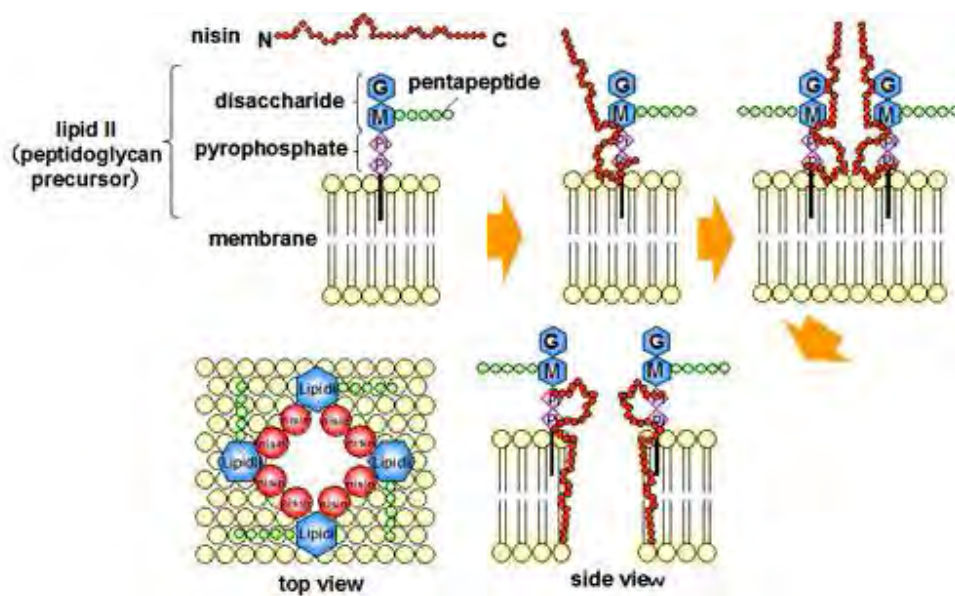
1. Wedge-model (Driesssen และคณะ 1995)

กลไกนี้คล้ายกับการทำลายของดีเทอร์เจนต์ โดยในชินจะเข้าจับกับเยื่อหุ้มเซลล์ของแบคทีเรีย โดยใช้ปลายสายคาร์บอคซี (C-terminus) ของในชินซึ่งมีประจุบวกทำอันตรกิริยาทางไอโอน (ionic interaction) กับประจุลบของฟอฟอลิพิด (phospholipids) จากนั้นในชินจะใช้ส่วนที่ขอบน้ำหรือประจุบวกที่บริเวณปลายอะมิโน (N-terminal) ทำอันตรกิริยากับส่วนที่เป็นประจุลบที่อยู่บนเยื่อหุ้มเซลล์ เช่น กรดไทโคอิก (teichoic acid) กรดไลโพไทโคอิก (lipoteichoic acid) และฟอฟอลิพิด (phospholipids) ทำให้เกิดการแทรกตัวของปลายกรดอะมิโนเข้าสู่เยื่อหุ้มเซลล์ เป็นผลทำให้เยื่อหุ้มเซลล์มีลักษณะถูกงัด (wedgelike) และทำให้เกิดการของพื้นผิวติด (lipid surface) ที่เยื่อหุ้มเซลล์ ส่งผลให้เกิดเป็นรูที่ไม่จำเพาะ (non-specific pore) ขึ้นที่เยื่อหุ้มเซลล์ ซึ่งยังผลทำให้บริเวณเยื่อหุ้มเซลล์สูญเสียสภาพไป 送ผลให้สารที่มีมวลโมเลกุลต่ำ เช่น โปแทสเซียม, กรดอะมิโน, นิวคลีโอไทด์, โปรตอน รั่วออกมานอกเซลล์ และเกิดการสูญเสียความต่างศักย์บนเยื่อหุ้มเซลล์ ทำให้ไม่สามารถสร้างพลังงานได้ กระบวนการสังเคราะห์เชิงโมเลกุลต่างๆ ก็จะหยุด เป็นสาเหตุให้เซลล์ตายในที่สุด

2. Lipid II model (Wiedemann และคณะ 2001)

สำหรับกลไกที่สองนอกจากในชินจะทำให้เกิดรูปนัยเยื่อหุ้มเซลล์ เช่นเดียวกับกลไกแรกนั้นแล้ว ยังสามารถยับยั้งการสังเคราะห์ผนังเซลล์ของแบคทีเรียได้อีกด้วย เนื่องจากในชินจะเข้าจับกับลิพิด II คอมเพลกซ์ (Lipid II-complex) ที่เยื่อหุ้มเซลล์ ซึ่งเป็นโมเลกุลที่จะนำหน่วยอยู่ peptide ได้ก่อและแคนเปลี่ยนเป็นสังเคราะห์เป็นผนังเซลล์ พบร่วมโมเลกุลในชินจะเข้ามาใกล้บริเวณเยื่อหุ้มเซลล์

จากนั้นจะใช้ส่วนปลายอะมิโนที่มีโครงสร้างเป็นวงจับกับลิพิด II คอมเพลกซ์ แล้วแทรกตัวลงไปในเยื่อหุ้มเซลล์ โดยในชิ้น 2 มोเลกุลจะจับกับลิพิด II คอมเพลกซ์ 1 มोเลกุล ทำให้เกิดรูปนี้ของเยื่อหุ้มเซลล์ นอกจาจนีลิพิด II คอมเพลกซ์ ซึ่งถูกไขนิชันจับอยู่นั้น จะไม่สามารถนำหน่วยย่อย peptide ได้ไกลแคนไปสังเคราะห์เป็นผนังเซลล์ได้ ดังในรูปที่ 2.2



รูปที่ 2.2 กลไกของไขนิชันในการทำให้เกิดรูปนี้ของเยื่อหุ้มเซลล์ของแบคทีเรียแกรมบวก

สำหรับการที่แบคทีเรียแกรมลบมีความต้านทานต่อไขนิชัน เนื่องจากผนังเซลล์มีความต้านทานต่อการซึมผ่านมากกว่าผนังเซลล์ของแบคทีเรียแกรมบวก โดยด้านนอกของเยื่อหุ้มเซลล์ของแบคทีเรียแกรมลบมีชั้นของไอก็อกฟอสฟอลิพิด และไลโพโพลิแซ็กคาไรด์หุ้มอยู่ ไลโพโพลิแซ็กคาไรด์ซึ่งอยู่ด้านนอกมีสมบัติชอบน้ำ (hydrophilic property) ทำหน้าที่กันมोเลกุลที่มีสมบัติไม่ชอบน้ำและมีขนาดใหญ่ไม่ให้ผ่านเข้าไปได้ ในชิ้นซึ่งมีมोเลกุลใหญ่และมีสมบัติไม่ชอบน้ำ จึงไม่สามารถแทรกผ่านชั้นไลโพโพลิแซ็กคาไรด์ เข้าสู่เยื่อหุ้มเซลล์ของแบคทีเรียแกรมลบ (Ray, 1992; Helander และ Mattila-sandholm, 2000; Delves-Broughton, 2005) แม้ว่าไขนิชันไม่มีผลในการยับยั้งเชื้อแบคทีเรียชนิดแกรมลบ แต่เมื่อใช้ไขนิชันร่วมกับสาร EDTA หรือใช้ร่วมกับกระบวนการอื่นๆ เช่น การแช่แข็ง การให้ความร้อน และการลดความเป็นกรด-เบส พบร่วมกับความสามารถยับยั้งแบคทีเรียแกรมลบบางชนิด เช่น *Salmonella* sp., *Escherichia coli*, *Pseudomonas* sp., *Actinobacillus* spp.

Klesiella sp. *Yersinia* sp. และ *Aeromonas* sp. (Stevens และคณะ, 1991) ทั้งนี้ เนื่องจากกระบวนการดังกล่าวทำให้ผนังเซลล์ด้านนอกเกิดบาดแผลขึ้น ทำให้ในชิ้นสามารถเข้าไป และทำให้กระบวนการทำงานของเยื่อหุ้มเซลล์ประสิทธิภาพของไนซิน โดยทั่วไปกล่าวได้ว่า หากในระบบมีปริมาณจุลินทรีย์มากขึ้น จะต้องใช้ปริมาณไนซินมากขึ้นด้วยเพื่อยับยั้งการเจริญของเชื้อเหล่านั้น (Delves-Broughton, 2005)

2.5 ประโยชน์ของไนซิน และการประยุกต์ใช้ในชิ้น

ไนซินเป็นสารต้านจุลชีพชนิดแรกที่ใช้เป็นวัตถุกันเสียในอาหาร โดยใช้ครั้งแรกในปี ค.ศ. 1950 เพื่อป้องกันการเน่าเสียที่เกิดจาก *Clostridium butyricum* ในเนย ในปี ค.ศ. 1969 องค์กรอนามัยโลก (WHO) รับรองว่าไนซินมีความปลอดภัยและอนุญาตให้ใช้ในชิ้นเติมในอาหารเพื่อก่อนอุ่นอาหารได้ ปัจจุบันได้มีการใช้ในชิ้นอย่างแพร่หลายในอุตสาหกรรมอาหารมาก กว่า 50 ประเทศทั่วโลก เนื่องจากไนซินมีสมบัติที่ดี ได้แก่

1. เป็นสารที่จัดอยู่ในบัญชีสารที่จัดว่ามีความปลอดภัย (Generally recognized as safe; GRAS)
2. ไม่เป็นพิษต่อเซลล์สัตว์ เนื่องจากถูกย่อยลายได้ด้วยเอนไซม์ในน้ำย่อยอาหาร
3. สามารถยับยั้งแบคทีเรียก่อโรคที่ป่นเปื้อนมาในอาหารได้
4. ทนความร้อนได้ดี

จากสมบัติที่กล่าวมาข้างต้น ไนซินจึงถูกนำมาใช้เป็นวัตถุกันเสียเพื่อ

1. เก็บรักษาและยืดอายุผลิตภัณฑ์อาหาร เช่น เบียร์ ไวน์ และอาหารกระป๋อง
2. ลดปัญหาการก่อโรคจากจุลชีพที่ป่นเปื้อนมาในอาหาร
3. คงคุณค่าและรสชาติอาหารไว้ให้เสียไปจากการกระบวนการถนอมอาหารด้วยความร้อน
4. หลีกเลี่ยงการใช้สารเคมีอันตรายเป็นสารถนอมอาหาร

การใช้ไนซินในอาหารจะมีประสิทธิภาพมากน้อยเพียงใดนั้นขึ้นอยู่กับประเภทของอาหาร จุลินทรีย์เป้าหมาย และความเข้มข้นของไนซิน (Cleveland และคณะ, 2001) ซึ่งประเภทของอาหารนั้นจะขึ้นอยู่กับส่วนประกอบทางเคมีและฟิสิกส์ของอาหารนั้นๆ ตัวอย่างในการประยุกต์ใช้ในชิ้นแสดงในตารางที่ 2.3

ตารางที่ 2.3 ตัวอย่างผลิตภัณฑ์อาหารที่ใช้ในชินเป็นสารกอนอาหาร (Cleveland และคณะ, 2001)

ประเภท อาหาร	จุลทรรศ์ เป้าหมาย	ความเข้มข้นของในชิน (IE/มิลลิลิตร)	เอกสารอ้างอิง
ชีส	<i>Listeria monocytogenes</i>	2,000	Ferreira และ Lund, 1996
ชีส	<i>Listeria monocytogenes</i>	100	Davies และคณะ, 1997
นมขาดมันเนย	สปอร์ <i>Bacillus cereus</i>	4,000	Wandling และคณะ, 1999
ไส้กรอก	<i>Lactobacillus sake</i> และ <i>Lactobacillus curvatus</i>	1,000	Davies และคณะ, 1999
เนื้อรักษา	<i>Brochothrix thermosphacta</i>	400	Cutter และ Siragusa, 1998
กิมจิ	<i>lactobacilli</i>	100	Choi และ Park, 2000

ในหลายประเทศมีการประยุกต์ใช้ในชินในการป้องกันการเน่าเสียของอาหารกระปองจากแบคทีเรียที่ทนความร้อน และเก็บรักษาผลิตภัณฑ์ที่มาจากนม นอกจากนั้นยังพบว่ามีการเติมไนซินลงในเบียร์ และไวน์เพื่อลดการปนเปื้อนจากแบคทีเรียแคลคติกที่ทำให้เกิดกรดในผลิตภัณฑ์เบียร์ และไวน์ (Jay, 2000) ตัวอย่างในการประยุกต์ใช้ในชินแสดงในตารางที่ 2.4 ซึ่งลักษณะการประยุกต์ใช้ในชินในอุตสาหกรรมอาหารส่วนใหญ่จะเป็นการเติมผงในชินที่ถูกทำให้บริสุทธิ์จากเชื้อผู้ผลิตเป็นส่วนประกอบของอาหาร ในปริมาณที่ก咽喉易于吞咽ในแต่ละประเทศกำหนด

ตารางที่ 2.4 ปริมาณการใช้ในชีนเป็นสารสนومอาหารในประเทศต่างๆ (Cleveland และคณะ, 2001)

ประเทศ	อาหารที่มีการยอมรับให้ใช้ในชีน	ระดับในชีนสูงที่สุด (IU/กรัม)
อาร์เจนตินา	ชีสแฝ่น (processed cheese)	500
ออสเตรเลีย	ชีสแฝ่น ชีส มะเขือเทศกระป่อง	ไม่จำกัด
เบลเยียม	ชีส	100
ไซปรัส	ชีส ผักกระป่อง	ไม่จำกัด
ฝรั่งเศส	ชีสแฝ่น (processed cheese)	ไม่จำกัด
อิตาลี	ชีส	500
เม็กซิโก	ไม่จำกัดประเภทอาหาร	500
เนเธอร์แลนด์	ชีส ชีส滂	800
เปรู	ไม่จำกัดประเภทอาหาร	ไม่จำกัด
รัสเซีย	ชีสแฝ่น ผักกระป่อง	8,000
อังกฤษ	ชีส, อาหารกระป่อง, ครีม	ไม่จำกัด
สหรัฐอเมริกา	ชีสพลาสเจอร์ไวร์	10,000

2.5.1 ข้อจำกัดในการใช้ในชีนเป็นสารสนอมอาหาร

การนำไปใช้ในอุตสาหกรรมอาหารและเครื่องดื่ม พบว่าในชีนมีข้อจำกัดอยู่ 3 ประการหลักคือ

1. อาหารจะต้องอยู่ในสภาพเป็นกรด

เนื่องจากในชีนจะมีความเสถียรและสามารถละลายได้ดีในอาหารที่สภาพเป็นกรด และพบว่าความเสถียรและการละลายจะลดลงเมื่ออาหารมีสภาพเป็นกลางมากขึ้น ทำให้ในชีนมีประสิทธิภาพสูงสุดในอาหารที่มีความเป็นกรดเท่านั้น

2. การสูญเสียเอกสารที่ชีวภาพของในชีน

การสูญเสียเอกสารที่ชีวภาพของในชีน ซึ่งเป็นผลเนื่องมาจากการที่ไม่เกลุของในชีนมีทั้งประจุบวกและลบ (amphiphilic molecule) และมีโครงสร้างไม่เกลุบางส่วนที่ไม่ชอบน้ำ ทำให้ในชีนสามารถจับกับส่วนไม่มีประจุและส่วนที่ไม่ชอบน้ำของแม่โคโรนากลุ ซึ่งเป็นองค์ประกอบของอาหาร เช่น โปรตีน และไขมันได้ (Dongsu และคณะ, 1992) นอกจากนี้การสูญเสียเอกสารที่ชีวภาพในอาหาร อาจมีสาเหตุมาจากเอนไซม์ต่างๆ ที่สามารถย่อยสลายในชีนได้ (Inga และคณะ, 2003) เช่น

เคนไชร์กูลต้าไฮโอน S-ทรานสเฟอเรส (Rose และคณะ, 1999) ทำให้การควบคุมปริมาณแบคทีเรียก่อโรคในอาหารต้องใช้ในชินในปริมาณมาก ซึ่งอาจก่อให้เกิดการดื้อต่อในชินตามมาได้

3. จุลินทรีย์ที่ก่อให้เกิดอาหารเน่าเสีย หรือจุลินทรีย์ในอาหารที่ต้องการจะใช้ในชิน เป็นตัวควบคุมต้องเป็นแบคทีเรียแกรมบวกเท่านั้น ทำให้ในชินไม่สามารถยับยั้งแบคทีเรียแกรมลบซึ่งจัดเป็นกลุ่มแบคทีเรียที่ก่อให้เกิดโรคทางเดินอาหารได้ ตัวอย่างแบคทีเรียในกลุ่มดังกล่าวได้แก่ *Yersinia enterocolitica*, *Shigella* sp., *Salmonella* sp., *Escherichia coli*, *Vibrio cholerae*, *Vibrio parahaemolyticus* และ *Campylobacter jejuni* เป็นต้น

สาเหตุที่ในชินไม่สามารถยับยั้งแบคทีเรียแกรมลบได้ เนื่องมาจากแบคทีเรียแกรมลบมีส่วนของเยื่อหุ้มชั้นนอกล้อมรอบเยื่อหุ้มเซลล์ และ เพปติโดไกลแคนซึ่งเป็นบริเวณออกฤทธิ์ของในชิน โดยเยื่อหุ้มชั้นนอกประกอบด้วย กลีเซอโรฟอสฟอลิพิด และ ไลโพพอลิแซ็คคาไรด์ทำให้เยื่อหุ้มชั้นนอกมีสมบัติป้องกันโมเลกุลที่ไม่ชอบน้ำ และโมเลกุลที่มีขนาดใหญ่ไม่ให้ผ่านเข้าโมเลกุลได้ ในชินจัดเป็นโมเลกุลที่ไม่ชอบน้ำที่มีขนาดใหญ่ ($MW = 3.35$ กิโลดัลตัน) ทำให้ไม่สามารถผ่านไปยังเยื่อหุ้มชั้นนอกไปยังบริเวณออกฤทธิ์เพื่อทำงานได้ (Helander และ Sandholm, 2000)

2.5.2 การเสริมฤทธิ์การทำงานของในชิน (Antonio และคณะ, 2007)

การที่ในชินไม่สามารถยับยั้งแบคทีเรียแกรมลบ ซึ่งเป็นกลุ่มแบคทีเรียที่ก่อให้เกิดโรคทางเดินอาหารที่สำคัญได้ ส่งผลให้ในชินมีข้อจำกัดในการใช้งานในอุตสาหกรรมอาหาร จากเหตุผลดังกล่าว ทำให้มีการศึกษาวิจัยอย่างต่อเนื่องในเรื่องการเสริมฤทธิ์การทำงานของในชินเพื่อให้สามารถยับยั้งแบคทีเรียแกรมลบได้ ต้องให้ในชินทำงานร่วมกับสารชนิดอื่นๆ หรือวิธีการทำงานต่างๆ ซึ่งการเสริมฤทธิ์การทำงานของในชินเพื่อให้ในชินสามารถยับยั้งแบคทีเรียแกรมลบสามารถแบ่งออกเป็น 3 วิธีหลัก (Antonio และคณะ, 2007)

1. การใช้ในชินร่วมกับสารต้านจุลชีพอื่น คือ วิธีที่อาศัยการทำงานของสารต้านจุลชีพมาทำให้แบคทีเรียแกรมลบที่เคยต้านทานในชินมีความไวต่อการถูกยับยั้งด้วยในชินได้ดีขึ้น โดยสารดังกล่าวมีหลายชนิด

แลคโตเฟอริน (lactoferrin) เป็นสารต้านจุลชีพที่ได้จากการทำงานของสารต้านจุลชีพที่ได้จากการธรรมชาติ พบรูปในสารคัดหลั่งจากสัตว์เลี้ยงลูกด้วยนม เช่น น้ำนม น้ำตา น้ำลาย และซีรัม แลคโตเฟอรินเป็นโปรตีนก้อนกลมที่มีน้ำหนักโมเลกุล 78 กิโลดัลตัน ซึ่งแลคโตเฟอรินสามารถจับกับประจุบวกได้เหมือนเป็นตัวคีเลต (chelator) ส่งผลให้แลคโตเฟอรินสามารถปลดปล่อยไลโพพอลิแซ็คคาไรด์ ออกจากเยื่อหุ้มชั้นนอก

ของแบคทีเรียแกรมลบ ทำให้เยื่อหุ้มชั้นนอกของแบคทีเรียแกรมลบเสียสภาพจึงเป็นการเปิดโอกาสให้ในเชินผ่านเข้าไปยังบริเวณเซลล์เป้าหมาย เป็นผลให้ในเชินออกฤทธิ์ยับยั้งแบคทีเรียแกรมลบได้

เซทิลไพริดิเนียมคลอไรด์ (cetylpyridiniumchloride) เป็นอนุพันธ์ของสารประกอบกลีโคไซด์ ไม่นิยมใช้เป็นสารต้านจุลชีพในอุตสาหกรรมสัตว์ปีก เซทิลไพริดิเนียมคลอไรด์มีประจุบวกทำให้สามารถจับกับฟอสเฟตซึ่งมีประจุลบของเยื่อหุ้มชั้นนอกของแบคทีเรียแกรมลบได้ ทำให้เยื่อหุ้มชั้นนอกของแบคทีเรียแกรมลบเสียสภาพ ส่งผลให้ในเชินสามารถผ่านเข้าสู่บริเวณเซลล์เป้าหมาย เป็นผลให้ในเชินออกฤทธิ์ยับยั้งแบคทีเรีย

แกรมลบได้

โพแทสเซียมซอร์บेट (potassium sorbate) เป็นอนุพันธ์สารประกอบกลีโคไซด์ ของ กรดซอร์บิก นิยมใช้เป็นสารวัตถุกันเสีย เนื่องจากมีความเสถียรสูง ใช้ในอุตสาหกรรมเนื้อและสัตว์ปีกอย่างแพร่หลาย โพแทสเซียมซอร์บेट เมื่อเข้าสู่เซลล์แบคทีเรียจะอยู่ในสภาพแตกตัว ทำให้ปริมาณประจุภายในเซลล์เกิดการเปลี่ยนแปลง หนึ่งวนทำให้เยื่อหุ้มชั้นนอกของแบคทีเรียแกรมลบ เยื่อหุ้มเซลล์ เสียเสถียรภาพ เป็นผลให้ในเชินออกฤทธิ์ที่บริเวณเป้าหมายยับยั้งแบคทีเรียแกรมลบได้

คาร์vacrol (carvacrol) เป็นสารประกอบพีโนลิกในน้ำมันหอมระเหยสกัดได้จากพืช นิยมแต่งกลิ่นในอุตสาหกรรมอาหาร และมีสมบัติเป็นสารต้านจุลชีพ ซึ่งคาร์vacrol จะไปทำลายบริเวณเยื่อหุ้มเซลล์ชั้นนอกของแบคทีเรียแกรมลบเป็นผลให้ในเชินออกฤทธิ์ที่บริเวณเป้าหมายยับยั้งแบคทีเรียแกรมลบได้

2. การใช้ในเชินร่วมกับการใช้ความร้อน คือ ความร้อนสามารถเสริมฤทธิ์การทำงานของแบคทีเรีย โดยเฉพาะอย่างยิ่งในแบคทีเรียแกรมลบ เนื่องจากการใช้ความร้อนจะทำให้เยื่อหุ้มเซลล์ของเซลล์เป้าหมายมีความไม่เสถียรส่งผลให้ในเชินเข้าสู่บริเวณเซลล์เป้าหมายได้ง่ายมากขึ้น

3. การใช้ในเชินร่วมกับสารคีเลต คือ การสารคีเลตสามารถเสริมฤทธิ์การทำงานของในเชินได้ ซึ่งจะรบกวนเซลล์ที่บริเวณเยื่อหุ้มเซลล์และผนังเซลล์ส่งผลให้บริเวณเยื่อหุ้มเซลล์และผนังเซลล์ไม่เสถียรส่งผลให้ในเชินเข้าสู่บริเวณเซลล์เป้าหมายได้ง่ายมากขึ้น

อย่างไรก็ตาม พบว่าการใช้ในเชินร่วมกับสารต้านจุลชีพอื่น จะมีข้อดีมากกว่าการใช้ในเชินร่วมกับความร้อนหรือสารคีเลต เนื่องจากใช้ต้นทุนต่ำ มีกระบวนการทั้งเครื่องมือไม่ยุ่งยาก และไม่ก่อให้เกิดการเปลี่ยนแปลงคุณภาพของอาหาร และยังสามารถตอบสนองต่อความต้องการของผู้ผลิต และผู้บริโภคได้เป็นอย่างดี

ตารางที่ 2.5 ตัวอย่างการเสริมฤทธิ์การยับยั้งแบคทีเรียของไนซิน (Chen และ Hoover, 2003)

การเสริมฤทธิ์การยับยั้ง แบคทีเรียของไนซิน	ผลที่ได้	อ้างอิง
ไนซินทำงานร่วมกับสารต้านจุลชีพอื่น		
แอลกอโบทีฟอร์วิน	เมื่อใช้ในชิน (250 IUต่อมล.) และแอลกอโบทีฟอร์วิน (500 ไมโครกรัมต่อมล.) ร่วมกัน จะสามารถเสริมฤทธิ์ และเพิ่มประสิทธิภาพในการยับยั้ง <i>E. coli</i> และเมื่อใช้ในชิน (10IU/ml.) และแอลกอโบทีฟอร์วิน (250 ไมโครกรัม/ml.) ร่วมกัน จะสามารถเสริมฤทธิ์ และเพิ่มประสิทธิภาพในการยับยั้ง <i>L. monocytogenes</i>	Murdock และ คณะ, 2007
เซทิลไพริดีเนียมคลอไรด์	เมื่อใช้ในชิน (4,000 IU/ml.) และเซทิลไพริดีเนียมคลอไรด์ (500 ไมโครกรัม/ml.) ร่วมกัน จะสามารถเสริมฤทธิ์ และเพิ่มประสิทธิภาพในการยับยั้ง <i>Salmonella Typhimurium S36</i>	Thongbai และ คณะ, 2005
กรดแลคติก	เมื่อใช้ในชิน (0.04 กรัม/ลิตร/กิโลกรัม) และกรดแลคติก (5%) ร่วมกัน จะเพิ่มประสิทธิภาพในการยับยั้ง <i>Pseudomonas spp.</i>	Gogus และ คณะ, 2006
โปแทสเซียมซอร์เบต	เมื่อใช้ในชิน (400 IU/มิลลิลิตร) และโปแทสเซียมซอร์เบต (0.3%) สามารถยับยั้งการเจริญของ <i>L. monocytogenes</i>	Buncic และ คณะ, 1995
ซูโคราสแฟตตีแอซิดे�อส เทอโร	เมื่อใช้ในชิน ร่วมกับซูโคราสแฟตตีแอซิดे�อสเทอโร สามารถยับยั้งการเจริญของแบคทีเรียแกรมบวก	Thomas และ คณะ, 1998
คาร์วอคราอล	เมื่อใช้ในชิน (6 IUต่อมิลลิลิตร) ร่วมกับคาร์วอคราอล (0.3 มิลลิมล/ลิตร) สามารถลดการเจริญของ <i>B. cereus</i>	Periago และ คณะ, 2001
ไมโนลอรีน	เมื่อใช้ในชิน (100 IU/มิลลิลิตร) ร่วมกับไมโนลอรีน (0.25 มิลลิกรัม/ลิตร) สามารถยับยั้ง <i>Bacillus sp.</i> ในน้ำนมได้อย่างมีประสิทธิภาพ	Mansour และ Millière, 2001

ตารางที่ 2.5 ตัวอย่างการเสริมฤทธิ์การยับยั้งแบคทีเรียของไนซิน (ต่อ)

การเสริมฤทธิ์การยับยั้ง แบคทีเรียของไนซิน	ผลที่ได้	อ้างอิง
ไนซินทำงานร่วมกับการใช้ความร้อน		
	ไนซิน (1000 IU/กรัม) เมื่อใช้ความร้อนปานกลาง (60 ถึง 65 องศาเซลเซียส) จะลดการเจริญเติบโตของ <i>L. monocytogenes</i> ในกุ้งลوبสเทอร์	Budu-Amoako และคณะ, 1999
	ไนซิน (500 – 2500 IU/มล.) เมื่อลดความร้อน (55 องศาเซลเซียส) จะลดการเจริญเติบโตของ <i>Salmonella Enteritidis</i>	Boziaris และคณะ, 1998
ไนซินทำงานร่วมกับสารคีเลต		
	เมื่อใช้ไนซินร่วมกับ EDTA ซิเดรต หรือแคลคเทต ไนซิน (2,000 IU/มิลลิลิตร) ยับยั้งการเจริญของ <i>Samonella Typhimurium</i> และ <i>E. coli</i> O157:H7 อย่างมีประสิทธิภาพ	Cutter และ Siragusa, 1995

2.6 กรดแลคติก

กรดแลคติก มีชื่อ IUPAC 2-hydroxypropanoic acid สรุตรโนเมเกนูล $C_3H_6O_3$ และมีไอโซเมอร์อยู่ 2 ชนิด คือ S-(–)-lactic acid และ L-(+)-Lactic acid แต่จะพบโครงสร้างที่เป็น L-(+)-Lactic acid บ่อยและมีความสำคัญมากกว่า L-(+)-Lactic acid (Nykanen และคณะ, 1998) กรดแลคติก ผลิตได้จากธรรมชาติโดยกระบวนการหมัก และขบวนการสังเคราะห์ ซึ่งกรดแลคติกส่วนใหญ่จะเข้าในอุตสาหกรรมอาหาร สมบัติที่ทำให้กรดแลคติกมีความเหมาะสมในการใช้งานในอุตสาหกรรมอาหาร คือ มีรสเปรี้ยวที่นุ่มนวลกว่ากรดที่ใช้ในอาหารชนิดอื่นๆ ไม่บดบังกลิ่นสหомของอาหาร มีสมบัติในการถนอมอาหารและควบคุมจุลินทรีย์ ปัจจุบันกรดแลคติกนิยมนำมาใช้ในอุตสาหกรรมต่างๆ อย่างกว้างขวาง เนื่องจากได้รับการรับรองจากองค์กรอาหารและยา แห่งสหราชอาณาจักร ให้เป็นสารที่ปลอดภัย ที่เรียกว่า GRAS นิยมใช้ในอุตสาหกรรมเครื่องสำอาง อุตสาหกรรมยา (Elezi และคณะ, 2003) และผลิตภัณฑ์อาหารชนิดต่าง ๆ เช่น ผลิตภัณฑ์ชีส เนย เ洁ลลี่ ผลไม้ และขนมปัง (Katz, 1998)

กรดแลคติกสามารถสร้างได้จากแบคทีเรียกรดแลคติก เช่น *Lactobacillus*, *Pediococcus*, *Streptococcus* และ *Leuconostoc* ซึ่งแบคทีเรียดังกล่าวจะใช้น้ำตาลกลูโคสและน้ำตาลแลคโตส ซึ่งในปัจจุบันได้ใช้น้ำตาลหลาวยานิด รวมทั้ง เปล็อกไม้ และซังข้าวโพดเป็นแหล่งคาร์บอน (Elezi และคณะ, 2003) ได้ผลิตภัณฑ์หลักเป็นกรดแลคติก ซึ่งกรดแลคติกนี้ยังมีผลในการ

ยับยั้งการเจริญ และทำลายจุลินทรีย์ที่ทำให้อาหารเน่าเสียร่วมทั้งจุลินทรีย์ที่ก่อโรค ทำให้มีความสนใจในการนำสารมายับยั้งจากธรรมชาติตามไใช้เป็นสารกันเสียอาหาร

2.6.1 กลไกในการยับยั้งแบคทีเรียของในชีนและกรดแลคติก

ในชีนจะจับกับลิพิด ॥ ที่อยู่บริเวณเยื่อหุ้มเซลล์ของแบคทีเรีย โดยใช้ปลายทางด้านเอ็น จากนั้นจะเกิดการส่งผ่านปลายทางด้านซี่เข้าสู่เยื่อหุ้มเซลล์ ทำให้เกิดรูขึ้น ของเหลวภายในเซลล์ จะเกิดการรั่วไหลออกมมา เป็นสาเหตุทำให้เซลล์ตาย

กรดแลคติกสามารถยับยั้งเชื้อแบคทีเรียแกรมลบได้ เช่น *E. coli* (Cutter และคณะ, 2001) และ *Salmonella spp.* (Eswaranandam และคณะ, 2004) กรดแลคติกจะทำลายเยื่อหุ้มชั้นนอกของแบคทีเรียแกรมลบ เมื่ออยู่ข้างนอกเซลล์แบคทีเรียจะไม่แตกตัวเป็นไอคอน แต่เมื่อเข้าสู่เซลล์แบคทีเรียแกรมลบแล้ว ทำให้ภายในเซลล์มีสภาพเป็นกรด และมีการแตกตัวเป็นไอคอน ทำให้ชั้นของเพปติโดไกลแคนไม่เสถียร ส่งผลให้เยื่อหุ้มชั้นนอกไม่เสถียร จากนั้นในชีนจะ ออกฤทธิ์ที่บีริเวน เป้าหมายยับยั้งแบคทีเรียแกรมลบได้ (Nykanen และคณะ, 1998)

Nykanen และคณะ (1998) ศึกษาการลดจำนวนของ *Micrococcus luteus* ATCC9341, *Pseudomonas aeruginosa* ATCC9271 และ *Staphylococcus aureus* โดยใช้กรดแลคติก (ความเข้มข้น 0.5 1.5 และ 2.5 มิลลิลิตร/ลิตร) ร่วมกับหางนม โดยทดสอบด้วยวิธีแพร์ซีมในอาหารแข็ง พบร่วมกับกรดแลคติกร่วมกับหางนมสามารถยับยั้งเชื้อทดสอบทั้งหมด โดยที่ความเข้มข้น 2.5 มิลลิลิตร/ลิตร มีบีริเวนโซนใหญ่กว่าความเข้มข้น 0.5 และ 1.5 มิลลิลิตร/ลิตร

Phillips (1999) ศึกษาการลดปริมาณเชื้อ *Arcobacter butzleri* โดยใช้กรดแลคติกอย่างเดียวที่ความเข้มข้น 0.5% 1.0% และ 2.0%(v/v) พบร่วมกับกรดแลคติกความเข้มข้น 0.5%(v/v) สามารถลดจำนวน *A. butzleri* ได้ดีที่สุด

Gogus และคณะ (2006) ศึกษาการลดปริมาณเชื้อ *Pseudomonas spp.* ในเนื้อปลาโดยใช้ในชีน (0.04 กรัม/ลิตร/กิโลกรัม) ที่ pH 5.2 ร่วมกับกรดแลคติก (5%) ที่ pH 2.9 สามารถลดจำนวนเชื้อ *Pseudomonas spp.* ได้ ซึ่งวันที่ 7 ของการทดลองนับจำนวนเชื้อได้เท่ากับ log 5.95 cfu ต่อมิลลิลิตร($p<0.01$)

Shirazinejad และคณะ (2010) ศึกษาการลดปริมาณเชื้อ *Pseudomonas spp.* ในกุ้งแช่แข็ง โดยกรดแลคติกอย่างเดียว พบร่วมกับกรดแลคติกที่อุณหภูมิ 4 องศาเซลเซียส ซึ่งการใช้สารละลายน้ำกรดแลคติกที่ความเข้มข้น 1.0% และ 2.0% (v/v) จะสามารถลดปริมาณของ *Pseudomonas spp.* ได้เพียงเล็กน้อย ดังนั้น Shirazinejad และคณะ (2010) จึงศึกษาการทำงาน

ของกรดแลคติก (ความเข้มข้น 1.0% และ 2.0% (v/v)) ที่ใช้ร่วมกับไนซิน (0.04 กรัม/ลิตร/กิโลกรัม) พบว่าสามารถจำนวนของ *Pseudomonas* spp. ได้อย่างมีประสิทธิภาพ ($P \leq 0.05$)

แต่อย่างไรก็ตามการใช้ไนซินยังมีข้อจำกัด ได้แก่ โครงสร้างบางส่วนเป็นส่วนที่ไม่ชอบน้ำจึงทำให้จับกับบริเวณที่ไม่ชอบน้ำของโปรตีน ไขมันในอาหารและเอนไซม์ต่างๆ ในอาหารสามารถย่อยลายไนซินได้ (Inga และคณะ, 2003) ทำให้ประสิทธิภาพในการยับยั้งแบคทีเรีย เป้าหมายลดลง ซึ่งอาจก่อให้เกิดการต้านต่อไนซินขึ้น โดยจะทำให้เกิดการสูญเสียแอดพิทีชีวภาพ ของไนซิน ดังนั้นงานวิจัยนี้จึงสนใจที่จะนำ nanoเทคโนโลยี ซึ่งได้แก่ อนุภาคนาโน (Nanoparticles) มาประยุกต์ใช้ในการเพิ่มความคงตัวของไนซินและกรดแลคติก

2.7 การเพิ่มประสิทธิภาพด้วยอนุภาคนาโน

2.7.1 ชนิดของอนุภาคนาโน (Letchford และ Burt, 2007)

สามารถแบ่งออกได้เป็น 2 กลุ่ม ตามลักษณะของเมทริกซ์ (matrix) ที่ใช้ในการเตรียม ดังนี้

1. อนุภาคนาโนชนิดพอลิเมอร์ (polymeric nanoparticles)
2. อนุภาคนาโนชนิดไขมัน (lipid-base nanoparticle)

2.7.2 อนุภาคนาโนชนิดพอลิเมอร์ (polymeric nanoparticle)

อนุภาคนาโนชนิดพอลิเมอร์ คือ อนุภาคที่ประกอบขึ้นจากพอลิเมอร์ ซึ่งเตรียมด้วย การแตกตะกอนด้วยตัวทำละลายอินทรีย์ อนุภาคนาโนชนิดพอลิเมอร์สามารถแบ่งออกเป็น 2 ชนิด คือ

1. นาโนสเฟียร์ (Nanosphere) คือ อนุภาคที่ประกอบขึ้นโดยสารออกฤทธิ์ที่บรรจุอยู่ภายในจะเกาะอยู่รอบๆ แกนกลางซึ่งทำจากพอลิเมอร์ซึ่งเตรียมด้วยการแตกตะกอนด้วยตัวทำละลายอินทรีย์

2. พอลิเมอร์ไซม์ (Polymersome) คือ อนุภาคที่ประกอบด้วยพอลิเมอร์ชีวภาพซึ่งสามารถได้ทางชีวภาพ (biodegradable polymer) ซึ่งเตรียมด้วยการแตกตะกอนด้วยตัวทำละลายอินทรีย์ โดยสารออกฤทธิ์ที่บรรจุอยู่ภายในจะเก็บคุณภาพปลดปล่อยจากการสลายตัวของพอลิเมอร์

2.7.3 อนุภาคนาโนชนิดไขมัน (lipid-base nanoparticles)

อนุภาคนาโนชนิดไขมัน คือ อนุภาคที่มีองค์ประกอบไขมันทั้งที่เป็นไขมันชนิดเหลว และชนิดแข็งที่อุณหภูมิห้อง ซึ่งห่อหุ้มสารออกฤทธิ์ไว้ภายใน

1. ชนิดของอนุภาคนาโนชนิดไขมัน

อนุภาคนาโนชนิดไขมันสามารถแบ่งออกเป็น 4 ชนิด (Letchford และ Burt, 2007)

คือ

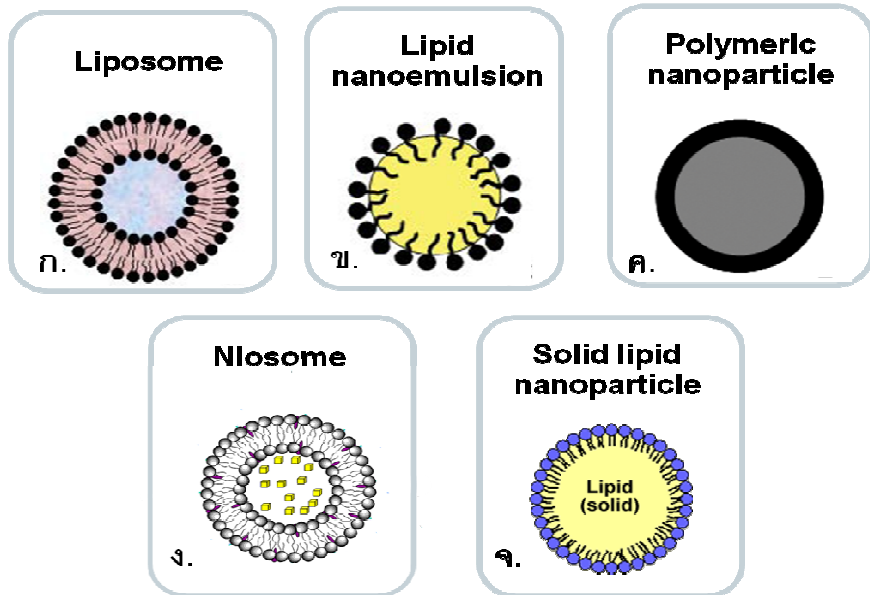
1. **ไมโครอิมลัชัน (microemulsion)** คือ อนุภาคที่เกิดจากการผสมและรวมตัวของสารลดแรงตึงผิวในเฟสของน้ำ โดยมีส่วนที่ขอบน้ำเรียงตัวอยู่รอบนอกอนุภาคและส่วนที่ไม่ขอบน้ำหันเข้าหากันในอนุภาค อนุภาคนิดนี้เหมาะสมสำหรับการเก็บสารออกฤทธิ์ที่ไม่ละลายน้ำ ซึ่งมักจะแทรกตัวกันอยู่ในส่วนที่ไม่ขอบน้ำภายในอนุภาค

2. **ไลโพโซม (liposome)** คือ อนุภาคที่มีลักษณะเป็นกลุ่มมีเยื่อหุ้ม 2 ชั้น ซึ่งเตรียมได้จากฟอฟอลิพิด (phospholipids) อนุภาคนิดนี้สามารถถักกีบสารออกฤทธิ์ได้ทั้งที่ละลายน้ำและไม่ละลายน้ำ โดยสารที่ละลายน้ำจะถูกบรรจุอยู่ในบริเวณระหว่างอนุภาค และอยู่ระหว่างเยื่อหุ้มซึ่งเป็นส่วนขอบน้ำของอนุภาค ส่วนสารที่ไม่ละลายน้ำจะถูกบรรจุอยู่ในบริเวณที่ไม่ขอบน้ำภายในอนุภาค

3. **นาโนอิมลัชัน (nanoemulsion)** คือ อนุภาคที่เกิดจากรวมตัวของน้ำและน้ำมันด้วยการบีบส่วนน้ำมันให้กระจายตัวไปในเฟสของน้ำและมีสารลดแรงตึงผิวเป็นตัวทำให้น้ำกับน้ำมันรวมตัวกันได้ ซึ่งสารลดแรงตึงผิวนี้จะล้อมรอบอยู่ที่ชั้นนอกของอนุภาค โดยสารออกฤทธิ์จะถูกถักกีบอยู่ในอนุภาคซึ่งขึ้นอยู่กับความสามารถในการละลายของสารนั้นกับน้ำมัน

4. **ไนโอลิซوم (niosome)** คือ อนุภาคที่สร้างขึ้นจากสารลดแรงตึงผิวชนิดไม่มีประจุ มีลักษณะเช่นเดียวกับไลโพโซม โดยมีลักษณะเป็นกลุ่มเล็กคล้ายกระเบาะกีบกักสารไว้ภายใน โครงสร้างเป็นแผ่น 2 ชั้นซึ่งเกิดจากการเรียงตัวของโมเลกุลที่มีข้าวและไม่มีข้าวอยู่ในโมเลกุลเดียวกัน

5. **อนุภาคนาโนไขมันชนิดแข็ง (solid lipid nanoparticle)** คือ อนุภาคนาโนชนิดไขมันแข็งเป็นอนุภาคนาโนที่แตกต่างจากอนุภาคนาโนชนิดไขมันชนิดอื่นๆ เนื่องจากเตรียมขึ้นจากไขมันแข็ง ลักษณะโครงสร้างของอนุภาคนาโนชนิดไขมันแข็งที่ได้จะมีชั้นที่ห่อหุ้มน้ำเรียงตัวกันชั้นเดียว และมีขนาดของอนุภาคอยู่ในช่วง 50 ถึง 1,000 นาโนเมตร ซึ่งที่อุณหภูมิห้องและอุณหภูมิร่างกายอนุภาคนาโนในดังกล่าวจะอยู่ในสถานะของแข็ง (รูปที่ 2.3)



รูปที่ 2.3 อนุภาคนาโนชนิดต่างๆ ก. ไลโพโซม (liposome) ข. ไมโครอิมัลชัน (microemulsion)
 ค. อนุภาคนาโนชนิดโพลิเมอร์ (polymeric nanoparticle) ง. ไนโอดิซิม (niosome)
 จ. อนุภาคนาโนชนิดไขมันแข็ง (solid lipid nanoparticle)

2.7.4 การประยุกต์ใช้อนุภาคนาโนเพิ่มความคงตัวของโมเลกุลในชีนและกรดแลคติก

จากที่ได้กล่าวแล้วว่าการสูญเสียแอกติวิตี้ชีวภาพของในชีนและกรดแลคติกในอาหารทำให้การเพิ่มความคงตัวของโมเลกุลในชีนจึงมีความสำคัญมาก ดังนั้นอนุภาคนาโนจึงเป็นทางเลือกหนึ่งที่ถูกนำมาประยุกต์ใช้ในการเพิ่มความคงตัวของในชีน

สำหรับการนำอนุภาคลาipoโซมมาประยุกต์ใช้นั้น มีผลงานของนักวิทยาศาสตร์ที่ได้ศึกษาเอกสารที่ใช้ในการยับยั้งเชื้อ *Listeria innocua* ของในชีนที่บรรจุในอนุภาคลาipoโซม เปรียบเทียบกับในชีโนิสระที่สร้างจากหัวเชื้อผสม (Mixed cultures) ในการหมักเซดดาร์ชีส เป็นเวลา 6 สัปดาห์ จากผลการทดลองพบว่า เอกสารที่ใช้ในการยับยั้งเชื้อของในชีนที่บรรจุภายใต้ claipoโซมลดลงเพียงร้อยละ 10 ในขณะที่ในชีนที่สร้างจากหัวเชื้อผสม (Mixed cultures) มีเอกสารที่ใช้ในการยับยั้งเชื้อลดลงถึงร้อยละ 88

ในปี ค.ศ. 2003 Benech และคณะ ได้ศึกษาสมบัติของไนซินที่ถูกบรรจุอยู่ในอนุภาคไลโพโซม พบร่วมกับไนซินจะถูกบรรจุภายในอนุภาคไลโพโซมโดยการเอาส่วนที่ไม่ชอบน้ำ ซึ่งเป็นส่วนสำคัญในการแสดงออกทิวิตี้ชีวภาพแทรกไว้ในผนังหุ้มไลโพโซมที่เป็นส่วนของฟอฟอลิพิด ดังนั้นจึงสามารถปกป้องไนซินจากเอนไซม์และการทำปฏิกิริยากับส่วนประกอบทางเคมีในอาหารทำให้ไนซินที่ถูกบรรจุมีความคงตัวมากขึ้น (Benech และคณะ, 2003) และจากการผลการศึกษาประสิทธิภาพการบรรจุไนซินลงในอนุภาคไลโพโซม (encapsulation efficiencies) พบร่วมกับการใช้อนุภาคไลโพโซมมีข้อจำกัดในการบรรจุในชิ้นลง เนื่องจากความคงตัวของไลโพโซม และการปลดปล่อยไนซินออกจากไลโพโซมจะขึ้นอยู่กับภาวะแวดล้อม แรงกระทำระหว่างบรรจุ และอันตริกิริยาของส่วนที่ไม่ชอบน้ำ (hydrophobic interaction) ระหว่างไนซินกับส่วนประกอบของ ไลโพโซมทำให้สมบัติของไลโพโซมไม่คงที่ (Laridi และคณะ, 2003)

นอกจากนี้ จากการศึกษาข้อมูลผลงานวิจัย พบร่วมได้มีการนำเทคนิคการบรรจุไนซินลงในพอลิเมอร์ที่ย่อยสลายได้ โดยการตกตะกอนให้เกิดอนุภาคระดับนาโนเมตรด้วยแอนติโซลเวนต์ (anti-solvent) ซึ่งข้อดีของการเตรียมอนุภาคนาโนด้วยวิธีนี้ คืออนุภาคที่ได้จะมีความคงตัวไม่เปลี่ยนแปลงสมบัติตามภาวะแวดล้อม อนุภาคที่เตรียมได้สามารถควบคุมขนาดและคุณภาพในการผลิตแต่ละครั้งให้คงที่ได้เนื่องจากมีการควบคุมตัวแปรในขบวนการผลิต เช่น อุณหภูมิ ความดัน อัตราการไหลของสารละลาย และขนาดเส้นผ่าศูนย์กลางของห่อน้ำสารละลาย เป็นต้น ในงานวิจัยนี้ อนุภาคนาโนนิดพอลิเมอร์ที่บรรจุไนซินมีขนาดระห่ำว่า 200-400 นาโนเมตร อนุภาคนี้มีรูปร่างทรงกลม ผิวเรียบ และสามารถบรรจุไนซินได้ในปริมาณร้อยละ 84 บรรจุจากปริมาณไนซินเริ่มต้น ผู้วิจัยได้ทำการศึกษาการปลดปล่อยไนซินจากอนุภาคนาโนพบว่า ร้อยละของการปลดปล่อยไนซินขึ้นอยู่กับค่าความเป็นกรด-เบส และความเข้มข้นของเกลือ โดยการเพิ่มค่าความเป็นกรด-เบสและความเข้มข้นของเกลือจะทำให้ร้อยละการปลดปล่อยไนซินจากอนุภาคนาโนลดลง เนื่องจากค่าความเป็นกรด-เบสและความเข้มข้นของเกลือที่เพิ่มขึ้นจะทำให้ความสามารถในการละลายของไนซินลดลง ทำให้ส่วนที่ไม่ชอบน้ำของไนซินจับกับพอลิเมอร์ได้ดีขึ้นทำ ให้การปลดปล่อยไนซินออกมานอกอนุภาคน้อยลง และเมื่อผู้วิจัยทำการทดสอบแยกทิวิตี้ทางชีวภาพในการยับยั้งเชื้อทดสอบ *Lactobacillus delbrueckii* ของไนซินที่บรรจุอยู่ในอนุภาคนาโน ปรากฏว่าไนซินที่ปล่อยออกมานอกอนุภาคนาโนนี้สามารถยับยั้งเชื้อทดสอบได้นานถึง 45 วัน ขณะที่ไนซินอิสระยับยั้งเชื้อทดสอบได้เพียง 5 วัน (Salmaso และคณะ, 2004) อย่างไรก็ตามวิธีการประดิษฐ์อนุภาคนาโนด้วยเทคนิคการตกตะกอนด้วยแอนติโซลเวนต์ มีข้อเสียคือ ต้องใช้เครื่องมือประดิษฐ์อนุภาคนาโนซึ่งต้องมีการควบคุมตัวแปรหลายตัว และต้องใช้

ตัวทำละลายอินทรีย์ในปริมาณมาก ซึ่งถ้าหากกำจัดออกจากผลิตภัณฑ์ได้ไม่หมดอาจทำให้มีสารพิษตกค้าง ซึ่งอาจเกิดอันตรายกับผู้บริโภคได้

Malheiros และคณะ (2010) จากผลการศึกษาประสิทธิภาพในชิบบรรจุในอนุภาคไอลิโซม (เตรียมจากเลซิทินของถั่วเหลือง) มีขนาดอนุภาค 140 นาโนเมตร จำนวนน้ำหนักการยับยั้ง *L. monocytogenes* ในอาหาร BHI ทดสอบที่อุณหภูมิ 30 องศาเซลเซียส เป็นเวลา 48 ชั่วโมง พบร่วมกับในชิบอิสระสามารถยับยั้งเชื้อทดสอบได้ดีกว่าในชิบที่บรรจุในอนุภาคไอลิโซม ส่วนในน้ำนมทดสอบที่อุณหภูมิตู้เย็น (7 ± 1 องศาเซลเซียส) เป็นเวลา 14 วัน พบร่วมกับในชิบอิสระสามารถยับยั้งเชื้อทดสอบได้ 3-4 log cfu ต่อมิลลิลิตร ส่วนในชิบที่บรรจุอนุภาคไอลิโซมน้ำนมสามารถยับยั้งเชื้อทดสอบได้ตั้งแต่วันที่ 5 ของการทดลองเป็นต้นไป

2.7.5 อนุภาคนาโนไซมันชนิดแข็ง (solid liquid nanoparticles)

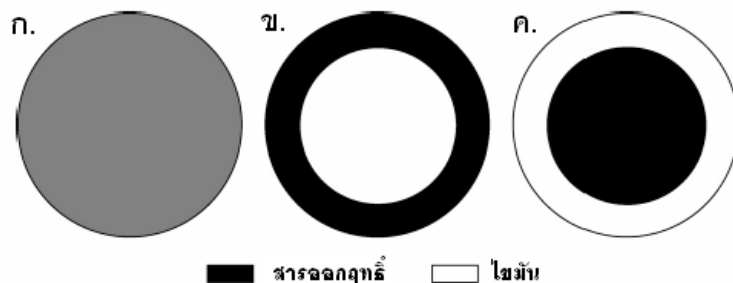
อนุภาคนาโนไซมันเดี้ยวมันแข็งเริ่มต้นพัฒนาตั้งแต่ปี ค.ศ.1990 เพื่อมาเป็นอีกทางเลือกหนึ่งนอกเหนือจากอนุภาคนาโนไซมันเดี้ยวมันที่กล่าวมาข้างต้น อนุภาคนาโนไซมันเดี้ยวมันแข็ง ซึ่งมีข้อดีกว่าไซมันอื่นๆ คือมีวิธีเตรียมที่ง่าย นอกจากนี้ไซมันแข็งยังเป็นสารที่易于อยู่สลายและเข้ากันได้ดีกับร่างกายทำให้มีความปลอดภัยสามารถนำมาใช้ในอาหารได้โดยใช้สารห่อหุ้มประเภทไซมัน เช่น ไตรกลีเซอโรไรด์และแอกทรี ปริมาณร้อยละ 0.1-30 (น้ำหนักโดยน้ำหนัก) เป็นต้น

นอกจากนี้การใช้ในชิบเป็นสารสนับสนุนอาหารต้องคำนึงถึงความปลอดภัยของผู้บริโภค เป็นหลัก เพราะจะน้ำหนักการเพิ่มความคงตัวของในชิบโดยใช้อนุภาคนาโนเจิงต้องเลือกอนุภาคที่มีความปลอดภัยต่อผู้บริโภคทั้งในแรงกรวยวิธีในการเตรียมและองค์ประกอบของตัวอนุภาคเอง โดยในแรงของกรวยวิธีในการเตรียมนั้นไม่ควรมีการใช้สารที่ก่อให้เกิดอันตรายต่อผู้บริโภค อีกทั้งกรวยวิธีในการเตรียมต้องทำได้ง่าย ราคาถูกเพื่อให้สามารถพัฒนาสรุปดับอุตสาหกรรมได้ จึงเกิดแนวคิดที่จะนำอนุภาคนาโนไซมันเดี้ยวมันแข็ง (solid liquid nanoparticles; SLN) มาเพิ่มความคงตัวของไม่เลกุลในชิบ เนื่องจากอนุภาคน้ำหนักนิดนึงวิธีการเตรียมที่ง่ายและสามารถถ่ายทอดเทคโนโลยีจากห้องปฏิบัติการสู่รับดับอุตสาหกรรมได้

1. ลักษณะการกระจายตัวของสารออกฤทธิ์ในอนุภาคนาโนชนิดไนมันแข็ง

ดังที่ได้กล่าวแล้วว่าอนุภาคนาโนชนิดไนมันแข็ง เป็นอนุภาคที่มีองค์ประกอบไนมันทั้งที่เป็นไนมันชนิดเหลวและชนิดแข็งที่ห่อหุ้มสารออกฤทธิ์ไว้ภายใน ซึ่งลักษณะของการห่อหุ้มนั้นสามารถแบ่งออกเป็น 3 แบบ (Pardeike และคณะ, 2009) ดังนี้

1. สารออกฤทธิ์กระจายตัวรวมเป็นเนื้อดียวกันกับไนมัน (homogeneous matrix) (รูปที่ 2.4ก.)
2. ไนมันทำหน้าที่เป็นแกนกลางให้สารออกฤทธิ์ยึดเกาะ (active-free lipid core with active-enriched shell) (รูปที่ 2.4ข.)
3. ไนมันทำหน้าที่เป็นเปลือกห่อหุ้มสารออกฤทธิ์ (active-free lipid shell) (รูปที่ 2.4ค.)



รูปที่ 2.4 ลักษณะการกระจายตัวของสารออกฤทธิ์ในอนุภาคนาโนชนิดไนมัน (Pardeike และคณะ, 2009)

2. วิธีการเตรียมอนุภาคนาโนชนิดไนมันแข็ง

การเตรียมอนุภาคนาโนชนิดไนมันแข็งมีวิธีหลักๆ 4 วิธี (Wolfgang และคณะ, 2010) ได้แก่

1. ชอมจีไนเซ็นความเร็วสูงและการใช้คลื่นเสียงความถี่สูง (High speed and Ultrasound homogenization) วิธีชอมจีไนเซ็นความเร็วสูงเป็นวิธีการเตรียมอนุภาคนาโนชนิดไนมันแข็งโดยการตีบี้นไนมันที่หลอมเหลวกับสารลดแรงตึงผิวด้วยความเร็วสูงเพื่อกระจายไนมันให้รวมตัวกัน形成เด่นอนุภาคนาโนชั้น การเตรียมอนุภาคนี้ด้วยวิธีนี้มีขั้นตอนการเตรียมที่ง่าย แต่อนุภาคที่ได้จะมีขนาดแตกต่างกัน โดยมีขนาดอยู่ระหว่าง 80-800 นาโนเมตร

2. การเตรียมอนุภาคนาโนชนิดไนมันแข็งด้วยกระบวนการทำให้เป็นเนื้อเดียวกันด้วยตัวทำละลายอินทรีย์ (SLN prepared by solvent emulsification) วิธีการเตรียมอนุภาคนาโนชนิดไนมันแข็งด้วยกระบวนการทำให้เป็นเนื้อเดียวกันด้วยตัวทำละลายอินทรีย์เริ่มจาก การละลายสารออกฤทธิ์ในตัวทำละลายอินทรีย์ที่ไม่สามารถรวมตัวกับน้ำได้ เช่น ไซโคลเอกเซน คลอโรฟอร์ม และ ไดเอทิลอะก્સેરોર เป็นต้น แล้วจึงเหลวส่วนของตัวทำละลายอินทรีย์ที่มีสารออกฤทธิ์ละลายอยู่ลงในสารละลายสารลดแรงตึงผิว ทำการผสมให้เป็นเนื้อเดียวกัน จากนั้นทำการระเหยเอาตัวทำละลายออกซึ่งในขั้นตอนนี้ไนมันจะเกิดการแตกตะกอนได้เป็นอนุภาคนาโนที่มีสารออกฤทธิ์บรรจุอยู่ภายใน อนุภาคนาโนที่เตรียมด้วยวิธีนี้จะมีขนาดอยู่ระหว่าง 30-100 นาโนเมตร และเป็นวิธีที่สามารถหลีกเลี่ยงการสลายตัวของสารออกฤทธิ์จากการความร้อนได้ดี แต่อย่างไรก็ตามอาจเกิดปัญหาการจำกัดตัวทำละลายออกไม่หมด ทำให้ผลิตภัณฑ์เกิดความเป็นพิษต่อผู้บริโภคได้

3. ไมโครอิมัลชัน (Microemulsion based SLN preparation)

วิธีไมโครอิมัลชันเป็นการเตรียมอนุภาคนาโนชนิดไนมันแข็งด้วยการเจือจางไมโครอิมัลชันในน้ำ เริ่มจากการละลายสารออกฤทธิ์ในไนมันหลอมเหลว และเทลงในสารลดแรงตึงผิวที่ละลายในน้ำร้อนซึ่งมีอุณหภูมิเดียวกันกับไนมันหลอมเหลว ทำการวนอย่างช้าๆ โดยควบคุมอุณหภูมิให้คงที่เท่ากับอุณหภูมิที่ใช้ในการหลอมเหลวไนมัน จากนั้นนำอิมัลชันที่ได้เทลงในน้ำเย็น (2-3องศาเซลเซียส) ทันที ในอัตราส่วน 1:25 หรือ 1:50 ซึ่งเหตุการณ์นี้จะทำให้เกิดการแตกตัวของไมโครอิมัลชันเป็นนาโนอิมัลชัน และเกิดการแข็งตัวทำให้สารออกฤทธิ์ถูกบรรจุอยู่ภายในอนุภาคน

4. ย้อมอ济ในเชื้นความดันสูง (High pressure homogenization)

วิธีย้อมอ济ในเชื้นความดันสูงเป็นวิธีที่นิยมใช้กันมากในการเตรียมอนุภาคนาโนชนิดไนมันแข็ง เนื่องจากเป็นวิธีที่มีประสิทธิภาพสูง ไม่มีการใช้ตัวทำละลายอินทรีย์ และสามารถขยายขนาดการผลิตได้ง่าย โดยอาศัยหลักการทำงานของเครื่องย้อมอ济ในเชอร์คความดันสูง คือ เครื่องจะอัดของเหลวด้วยแรงดัน 100-2,000 บาร์ ผ่านช่องขนาดเล็ก ของเหลวจะถูกกระแทกเป็นช่องไหลที่มีความเร็วสูง ทำให้เกิดแรงเฉือนอย่างมากจนไปลดขนาดอนุภาคนาโนที่ละลายอยู่ลงจนถึงระดับนาโนเมตร และพบว่าสามารถใช้ไนมันแข็งได้มากถึงร้อยละ 40 ในการเตรียมอนุภาคนาโนวิธีย้อมอ济ในเชื้นความดันสูง ยังแบ่งเป็น 2 แบบ ได้แก่ วิธีย้อมอ济ในเชื้นความดันสูงแบบร้อน และวิธีย้อมอ济ในเชื้นความดันสูงแบบเย็น

4.1 alomojinzeanchamdanlungbenboron (Hot homogenization)

วิธีalomojinzeanchamdanlungbenboron มีขั้นตอนการเตรียมอนุภาค คือ ละลายสารออกฤทธิ์ในไขมันที่ถูกหลอมเหลว จากนั้นเติมสารลดแรงตึงผิวซึ่งทำให้ละลายในน้ำร้อน ลงไปในไขมันหลอมเหลวที่มีสารออกฤทธิ์ละลายอยู่ แล้วนำไปตีปั่นด้วยเครื่องalomojinzeanchor ความเร็วสูงเพื่อทำให้ส่วนน้ำและไขมันเข้ากันได้เป็นอิมัลชันและเป็นการลดขนาดอนุภาคให้อยู่ในระดับ นาโนเมตร ซึ่งส่วนใหญ่จะผ่านเครื่องalomojinzeanchor ความดันสูงขึ้น 3-5 รอบ ที่ความดันประมาณ 500-1,500 บาร์ ขั้นกับชนิดของไขมันและสารออกฤทธิ์ที่ใช้ เมื่อเสร็จแล้วจะได้ผลิตภัณฑ์ในรูปของนาโนอิมัลชัน ตั้งทิ้งไว้ให้เย็นที่อุณหภูมิห้อง ไขมันที่อยู่ในรูปนาโนอิมัลชันจะเกิดการแข็งตัวทำให้สารออกฤทธิ์ถูกบรรจุเข้าสู่ภายในอนุภาคนาโน โดยในระหว่างขั้นตอนการเตรียมจะต้องรักษาอุณหภูมิในระบบให้สูงกว่าจุดหลอมเหลวของไขมันอยู่ตลอดเวลาเพื่อป้องกันการแข็งตัวของไขมันก่อนที่จะมีการบรรจุสารออกฤทธิ์ วิธีนี้จะให้ขนาดอนุภาคนาโนที่เล็กและมีขนาดในแต่ละอนุภาคใกล้เคียงกันแต่จะไม่เหมาะสมสำหรับการบรรจุสารออกฤทธิ์ที่ไม่ทนความร้อน เนื่องจากอาจเกิดการสลายตัวในระหว่างการเตรียมอนุภาคได้

4.2 alomojinzeanchamdanlungbenyenn (Cold homogenization)

วิธีalomojinzeanchamdanlungbenyenn ในขั้นตอนแรกจะเหมือนกับวิธีalomojinzeanchamdanlungbenboron แต่หลังจากนั้นจะทำให้เย็นลงทันทีด้วยไนโตรเจนเหลว ในช่วงนี้สารออกฤทธิ์จะแพร์เซ้าไปเป็นเนื้อเดียวกันกับไขมันเนื่องจากการให้ความเย็นโดยทันที จากนั้นทำการบดเพื่อให้ได้ออนุภาคขนาดเล็กลงและเติมสารลดแรงตึงผิวลงไป ความเย็นจะช่วยทำให้ออนุภาคแตกเป็นอนุภาคเล็กยิ่งขึ้น จากนั้นนำเข้าเครื่องalomojinzeanchor ความดันสูงที่อุณหภูมิห้อง ซึ่งวิธีalomojinzeanchamdanlungbenyenn จะมีข้อได้เปรียบ คือ ทำให้สารออกฤทธิ์สัมผัสกับความร้อนน้อยลงซึ่งเป็นการหลีกเลี่ยงการสลายตัวของสารออกฤทธิ์ แต่ด้วยวิธีนี้ขนาดอนุภาคนาโนที่ได้จะมีขนาดใหญ่กว่าวิธีalomojinzeanchamdanlungbenboron

1. ประโยชน์และการประยุกต์ใช้ออนุภาคนาโนชนิดไขมันแข็ง

จากที่ได้กล่าวมาแล้วข้างต้นจะเห็นได้ว่า ออนุภาคนาโนชนิดไขมันแข็งเป็นอนุภาคนาโนชนิดหนึ่ง ที่มีข้อดีกว่าอนุภาคนาโนชนิดอื่น คือ มีกรอมวิธีเตรียมที่ง่ายและต้นทุนต่ำทำให้สามารถถ่ายทอดเทคโนโลยีจากห้องปฏิบัติการไปสู่ระดับอุตสาหกรรมได้ง่าย นอกจากนี้อนุภาคดังกล่าวยังมีความปลดปล่อยต่อผู้บริโภค ทำให้สามารถนำมาใช้ในอุตสาหกรรมอาหารและเครื่องดื่มได้ และในด้านของประสิทธิภาพ พบร่วมกับอนุภาคนาโนชนิดไขมันแข็งสามารถควบคุมการปล่อยสารออกฤทธิ์ได้ดี

เนื่องจากอนุภาคนาโนที่อยู่ในสถานะของไขมันแข็งจะมีการสลายตัวที่ค่อนข้างช้า ทำให้สารออกฤทธิ์ค่อยๆถูกปล่อยออกมา ทำให้สารภัณฑ์ที่ดูดซึมน้ำมันเหลวที่มีการสลายตัวเร็วกว่า สาเหตุที่กล่าวมานี้จึงทำให้มีผู้วิจัยสนใจบูรณาการออกฤทธิ์ต่างๆทั้งที่ใช้ในอุตสาหกรรมเครื่องสำอาง และอุตสาหกรรมยาลงในอนุภาคนาโนชนิดไขมันแข็งอย่างแพร่หลาย

ข้อดีของรูปแบบอนุภาคนาโนชนิดนี้ คือ สามารถควบคุมการปลดปล่อยสารสำคัญ และช่วยเพิ่มระยะเวลาในการออกฤทธิ์ เพิ่มความคงตัวของสารสำคัญและผลิตภัณฑ์ เพิ่มการดูดซึมน้ำมันได้ดีกว่าอนุภาคนาโนที่ลักษณะเดียวกัน สามารถนำวิธีการไปผลิตในระดับอุตสาหกรรมได้ง่าย ปัจจุบันได้มีการจดสิทธิบัตรการเตรียมการใช้ high pressure homogenizer โดยบริษัท SkyePharma ประเทศอังกฤษ ส่วนการเตรียมด้วยเทคนิคไมโครอิมัลชัน ได้จดสิทธิบัตรโดยบริษัท Vectorpharma ประเทศอิตาลี

พินิพลด พราหมบุตร (2550) ศึกษาการเตรียมอนุภาคนาโนชนิดไขมันแข็งที่บูรณาการด้วยวิธีสอนอัจฉริย์ในเชิงน้ำมัน พบว่าการใช้การใช้การรีเซ็ตความดันของเครื่องวิธีสอนอัจฉริย์ที่ 1500 บาร์ 3 รอบ พอกล้องขนาด 188 ร้อยละ 5 และใช้เดี่ยมดีออกซิโคเลต ร้อยละ 0.125 เป็นสารลดแรงตึงผิว และเป็นสารลดแรงตึงผิวร่วม ตามลำดับ อนุภาคที่ได้มีขนาดเล็ก ทำการบูรณาการในร้อยละ 0.5-3 มีขนาดอยู่ระหว่าง 159-167 นาโนเมตร และมีค่าความต่างศักย์ไฟฟ้าอยู่ระหว่าง -28.3 ถึง -29.2 มิลลิโวลต์ ซึ่งการบูรณาการในร้อยละ 5 ลงในอนุภาคนาโนมีประสิทธิภาพการบูรณาการสูงสุด ถึงร้อยละ 73.6 จากนั้นศึกษาการรับยับยั้ง *Listeria monocytogenes* DMST 2871 และ *Lactobacillus platarum* TISTR 850 อนุภาคนาโนที่บูรณาการในร้อยละ 2 จะมีเอกตัวที่ทางวิชาภาพในการรับยับยั้งเชื้อทดสอบได้ที่สุดและคง效กติวิตีการรับยับยั้งเชื้อทดสอบได้นาน 20 วัน สำหรับ *Listeria monocytogenes* DMST 2871 และ 10 วัน สำหรับ *Lactobacillus platarum* TISTR 850

หยกฤทธิ์ กุลวัฒนาศล (2551) ศึกษาเพื่อคัดเลือกสารออกฤทธิ์ ได้แก่ เซทิลไพริดineymคลอไรด์ (CPC), กรดแลคติก และแลคโตเฟอริnin ที่เสริมฤทธิ์การทำงานของในเชิงในรายบั้ง *L. monocytogenes* DMST 17303 และ *E. coli* ATCC 25922 พบว่าเซทิลไพริดineymคลอไรด์และในเชิงสามารถทำงานร่วมกันแบบเสริมฤทธิ์บางส่วนได้ จากนั้นเตรียมอนุภาคนาโนชนิดไขมันแข็งที่บูรณาการด้วยวิธีสอนอัจฉริย์ในเชิงน้ำมัน พบว่าสารที่ได้มีขนาดอยู่ระหว่าง 129 ถึง 230 นาโนเมตร และมีค่าความต่างศักย์ไฟฟ้าอยู่ระหว่าง -14.53 มิลลิโวลต์ และศึกษาลักษณะทางสัณฐานวิทยาด้วยกล้องจุลทรรศน์แบบสองกราด พบว่า อนุภาคมีลักษณะเป็นผลึกไขมัน พื้นผิวเรียบ สำหรับ

ประสิทธิภาพในการยับยั้งเชื้อทดสอบของอนุภาคพบว่าอนุภาคสามารถยับยั้ง ยับยั้ง *L. monocytogenes* DMST 17303 และ *E. coli* ATCC 25922 ได้ดีที่สุดที่ 4 องศาเซลเซียส

จากเหตุผลข้างต้นที่ว่า การเสริมประสิทธิภาพการทำงานของไนซิน ควรต้องมีการเสริมฤทธิ์การทำงานของไนซินเพื่อให้สามารถยับยั้งแบคทีเรียแกรมลบได้ ในขณะเดียวกันก็ต้องเพิ่มความคงตัวให้กับโมเลกุลของไนซินไปพร้อมกันด้วย เพื่อให้การเสริมประสิทธิภาพการทำงานของไนซินเกิดได้ด้วยอย่างสมบูรณ์ จึงทำให้ผู้วิจัยมีแนวคิด ที่จะเลือกวิธีใช้สารต้านจุลชีพซึ่งมีสมบัติทำลายเยื่อหุ้มชั้นนอกของแบคทีเรียแกรมลบ หยกฤทธิ์ กุลวัฒนาสาล (2551) ศึกษาการทำงานของไนซินร่วมกับเซทิลไพรามิเดียมคลอไรด์ แลคโตเฟอร์วิน และกรดแลคติกในการยับยั้ง *L. monocytogenes* DMST 17303 และ *E. coli* ATCC 25922 พบว่า เซทิลไพรามิเดียมคลอไรด์และกรดแลคติกมีการเสริมฤทธิ์บางส่วนกับไนซินต่อเชื้อทดสอบ ส่วนแลคโตเฟอร์วินมีการเสริมฤทธิ์กับไนซินต่อเชื้อทดสอบ แต่แลคโตเฟอร์วินมีรากคั่วอนข้างสูง ดังนั้นสารออกฤทธิ์ที่ผู้วิจัยเลือกใช้คือ กรดแลคติกมาทำงานร่วมกับไนซิน เพื่อเสริมฤทธิ์การทำงานของไนซินให้สามารถยับยั้งแบคทีเรียแกรมลบได้ เมื่อจากการกรดแลคติกเป็นกรดที่สามารถรับประทานได้ หาจ่าย ราคาถูก ไม่ก่อให้เกิดการเปลี่ยนแปลงคุณภาพของอาหาร และมีรายงานว่าสามารถทำงานร่วมกับไนซินได้ และในด้านของการเพิ่มความคงตัวให้กับโมเลกุลของไนซินนั้น ทางผู้วิจัยมีแนวคิดที่จะเลือกใช้ออนุภาคนาโนชนิดไขมันแข็งมาใช้ในการบรรจุไนซินและกรดแลคติกเนื่องจากพบว่าอนุภาคดังกล่าวมี มีข้อได้เปรียบในการควบคุมการปลดปล่อยได้นานและมีความปลอดภัยสามารถนำมาใช้ในอาหารได้ตามที่ได้กล่าวมาข้างต้น

จุดประสงค์ของงานวิจัยคือ การเตรียมอนุภาคนาโนชนิดไขมันแข็งบรรจุไนซินร่วมกับกรดแลคติกด้วยวิธีขอมอเจี้ยนแบบร้อน เพื่อศึกษาลักษณะสัณฐานวิทยาของอนุภาคนาโนชนิดไขมันแข็งที่เตรียมได้ ศึกษาผลของอุณหภูมิ ความเป็นกรด-เบส และความเข้มข้นของเกลือที่มีผลต่อน้ำดื่มและประจุของอนุภาค และทดสอบแยกกิจวิธีชีวภาพในการยับยั้งแบคทีเรียแกรมลบในอาหาร เลี้ยงเชื้อและในน้ำดื่มน้ำของไนซินและกรดแลคติกที่เสริมฤทธิ์การยับยั้งแบคทีเรียแกรมลบของไนซินที่ถูกปล่อยออกมาระหว่างการประยุกต์ใช้ในอุตสาหกรรมอาหารต่อไป โดยคาดว่าอนุภาคนาโนชนิดไขมันแข็ง จะช่วยเพิ่มความคงตัวให้ไนซินมีความเสถียรมากขึ้น ช่วยเพิ่มประสิทธิภาพของไนซินให้สามารถนำไปใช้ในอาหารได้หลากหลายประเภทส่งผลให้เกิดการพัฒนาภาคอุตสาหกรรมอาหาร บนพื้นฐานของความปลอดภัยต่อผู้บริโภค

บทที่ 3

อุปกรณ์และวิธีการดำเนินงานวิจัย

3.1 อุปกรณ์ที่ใช้ในการทดลอง

1. เครื่องนึ่งอบฆ่าเชื้อ (Autoclave) รุ่น MLS3020 ของบริษัท Sanyo, ญี่ปุ่น
2. ตู้อบฆ่าเชื้อ (Hot air oven) รุ่น D06063 ของบริษัท Memmert, เยอรมนี
3. อ่างน้ำควบคุมอุณหภูมิพร้อมเครื่องเขย่า (Waterbath shaker) รุ่น PL-08 ของบริษัท Memmert, เยอรมนี
4. เครื่องชั่ง รุ่น PG2002-S และ AG285 ของบริษัท Mettler toledo, สวิสเซอร์แลนด์
5. เครื่องปั่นผสม (Vortex mixer) รุ่น G-560E ของบริษัท Scientific Industries, สหรัฐอเมริกา
6. ตู้บ่มเชื้อ (Incubator) รุ่น D06061 ของบริษัท Memmert, เยอรมนี
7. เครื่องปั่นเยื่องชนิดควบคุมอุณหภูมิ (Refrigerated centrifuge) รุ่น 1920 ของบริษัท Kubota, ญี่ปุ่น
 - หัวปั่นเยื่อง (Rotor) ขนาดเล็ก รุ่น RA50J
 - หัวปั่นเยื่อง (Rotor) ขนาดใหญ่ รุ่น RA228J
8. เครื่องปั่นเยื่องชนิดควบคุมอุณหภูมิ (Refrigerated centrifuge) รุ่น 6500 ของบริษัท Kubota, ญี่ปุ่น
 - หัวปั่นเยื่อง (Rotor) ขนาดกลาง รุ่น AG-506R
 - หัวปั่นเยื่อง (Rotor) ขนาดใหญ่ รุ่น AG-2506
9. ตู้เยี่ยงเชือรุ่น Clean model. V4 ของบริษัท LAB Service, ไทย
10. เครื่องวัดการดูดกลืนแสง (Spectrophotometer) รุ่น Lamda 25 ของบริษัท Perkin Elmer, สหรัฐอเมริกา
11. เครื่องขอมอจีไนเซอร์ความเร็วสูง (High speed homogenizer) รุ่น Ultra turrax T25 ของบริษัท IKA werke, สหรัฐอเมริกา
12. เครื่องขอมอจีไนเซอร์ความดันสูง (High pressure homogenizer) รุ่น Microfluidizer Processor M-110EH ของบริษัท Microfluidics, เยอรมนี

13. เครื่องนาโนไซเซอร์ (Nanosizer) รุ่น NanoZS ของบริษัท Malvern, สหราชอาณาจักร
14. กล้องจุลทรรศน์อิเล็กตรอนแบบส่องกราด (Scanning electron microscopy) รุ่น S-3400 N ของบริษัท Hitachi, ญี่ปุ่น

15. เครื่องแยกสารโดยมาโทกราฟีสมรรถนะสูง (High Performance Liquid Chromatography ; HPLC) รุ่น Water 1283 ของบริษัท Water, เยอรมนี
16. เครื่องกำเนิดคลื่นเสียงความถี่สูง (Sonicator) รุ่น SA203 ของบริษัท Misonix, สหรัฐอเมริกา
17. เครื่องวัดความเป็นกรด-เบส (pH meter) รุ่น 240 ของบริษัท Corning, สหรัฐอเมริกา
18. ไมโครพิเพ็ตเตอร์ (Micropipette) รุ่น P10, P20, P200 และ P1000 ของบริษัท Gilson, ฝรั่งเศส
19. ระบบอกจีดยาพลาสติก ขนาด 1 มิลลิลิตร และ 5 มิลลิลิตร ของบริษัท Nissho Nipro, ญี่ปุ่น
20. หลอดอัลตราฟิลเทอร์ชัน (Ultra-filtration tube) ที่สามารถตัดแยกโมเลกุลขนาดน้ำหนัก 100,000 ดัลตันได้ รุ่น Amicon Ultra 4 ของบริษัท Milipore, ไอร์แลนด์
21. ชุดกรองสำเร็จรูปชนิดไนโตรอนขนาดความกว้างรู 0.45 ไมโครเมตร เส้นผ่าศูนย์กลาง 47 มิลลิเมตร และ 25 มิลลิเมตร รุ่น DISMIC-25SC ของบริษัท Tokyo Roshi Kaisha, ญี่ปุ่น
22. ชุดกรองสำเร็จรูปชนิดเซลลูโลสอะซีเตต ขนาดความกว้างรู 0.2 และ 0.45 ไมโครเมตร เส้นผ่านศูนย์กลาง 25 มิลลิเมตร รุ่น DISMIC-25SC ของบริษัท Tokyo Roshi Kaisha, ญี่ปุ่น
23. จานเลี้ยงเชื้อพลาสติกปราศจากเชื้อ (Sterile petridish) Greiner bio-one, ออสเตรีย

3.2 เคมีภัณฑ์

1. ผงสกัดจากเยลลี่สต์ (yeast extract) ของบริษัท Difco Laboratories, สหรัฐอเมริกา
2. เพปป์ตัน (peptone) ของบริษัท Difco Laboratories, สหรัฐอเมริกา
3. น้ำตาลกลูโคส (glucose) ของบริษัท Merck, เยอรมนี
4. กรดไฮโดรคลอริก (HCl) ของบริษัท BDH Chemical, ออสเตรเลีย
5. โซเดียมไฮดรอกไซด์ (NaOH) ของบริษัท Merck, เยอรมนี
6. ไนโตรเจนฟอสเฟตไดเดคไซเดรต ($\text{Na}_2\text{HPO}_4 \cdot 12\text{H}_2\text{O}$) ของบริษัท Merck, เยอรมนี
7. โซเดียมไดไฮโดรเจนฟอสเฟต (NaH_2PO_4) ของบริษัท Merck, เยอรมนี
8. กรดฟอสฟอริก (H_3PO_4) ของบริษัท Merck, เยอรมนี
9. โซเดียมคลอไรด์ (NaCl) ของบริษัท Merck, เยอรมนี
10. ไนมันแย็งชันดิอมิวิเตอร์ 900 (Imwitor 900) ของบริษัท Sasol, เยอรมนี
11. พอลอกซามอร์ 188 (Poloxamer 188) ของบริษัท BASF, เยอรมนี
12. โซเดียมดีโอகซีโคลेट (Sodium deoxycholate) ของบริษัท Fluka, สวิสเซอร์แลนด์
13. กรดไทรฟลูโรอะซีติก (Trifluoroacetic acid) ของบริษัท Fluka, สวิสเซอร์แลนด์
14. อะซีโนไตรไนไตรอล (acetonitrile) ของบริษัท BDH Chemical, สหราชอาณาจักร
15. ไนซินผลิตจากเชื้อ *Lactococcus lactis* และทิวิตี้ชีวภาพ 1,168,000 IU ต่อกรัม (Nisin) ของบริษัท Sigma, สหราชอาณาจักร
16. กรดแลคติก (lactic acid) ของบริษัท Sigma, สหราชอาณาจักร

3.3 เชือที่ใช้ทดสอบ

1. *Escherichia coli* ATCC 25922
2. *Listeria monocytogenes* DMST17303

3.4 วิธีดำเนินการวิจัย

1. เตรียมอนุภาคนาโนชนิดไขมันแข็งบรรจุในชิ้น กรดแลคติก หรือไนซินร่วมกับกรดแลคติก ละลายในชิ้นและกรดแลคติกลงในไขมันแข็งชนิดอิมิเตอร์ 900 ที่หลอมเหลว เติมสารละลายน้ำลดแรงตึงผิวพอล์อกซามเออร์ 188 และใช้เดี่ยมดีออกซีโคลेटซึ่งเป็นสารลดแรงตึงผิวร่วมลงไป ปรับปริมาณตรด้วยน้ำร้อน ความเข้มข้น และปริมาณสารที่ใช้แสดงในตารางที่ 3.1 คนให้เป็นเนื้อเดียวกัน จากนั้นนำปั่นด้วยเครื่องข้อมอจีในเซอร์ความเร็วสูง(รูปที่ 3.1ก.) ที่ความเร็ว 6,500 รอบต่อนาที เป็นเวลา 1 นาที เพื่อให้มีลักษณะเป็นอิมัลชัน จากนั้นนำไปเข้าเครื่องเครื่องข้อมอจีในเซอร์ความดันสูง (รูปที่ 3.1ข.) ที่ความดัน 1,500 บาร์ ทำซ้ำ 3 รอบเพื่อลดขนาดอนุภาคที่อุณหภูมิ 90 องศาเซลเซียส และตั้งทิ้งไว้ให้เย็นที่อุณหภูมิห้อง สำหรับการเตรียมอนุภาคนาโนชนิดไขมันแข็งที่ไม่ได้บรรจุสาร อนุภาคนาโนชนิดไขมันแข็งที่บรรจุในชิ้น อนุภาคนาโนชนิดไขมันแข็งที่บรรจุกรดแลคติกและอนุภาคนาโนชนิดไขมันแข็งที่บรรจุ ในชิ้นร่วมกับกรดแลคติกเก็บใส่ขวดสีชา เพื่อทำการทดลองต่อไป



ก.
รูปที่ 3.1 ก. เครื่องข้อมอจีในเซอร์ความเร็วสูง (High speed homogenizer) รุ่น Ultra turrax T25 ของบริษัท IKA werke, สาธารณรัฐเยอรมนี ข. เครื่องข้อมอจีในเซอร์ความดันสูง (High pressure homogenizer) รุ่น Microfluidizer Processor M-110EH ของบริษัท Microfluidics, เยอรมนี

ตารางที่ 3.1 ปริมาณสารที่ใช้เตรียมอนุภาคนาโนชนิดไขมันแข็งเพื่อบรรจุ ในชินกรดแลคติก หรือในชินร่วมกับกรดแลคติก

ชนิดอนุภาคไขมันแข็ง	ในชิน (มิลลิกรัม)	กรดแลคติก (ไมโครลิตร)	อิมวิเตอร์ 900 (กรัม)	พอล์อกซามีอิร์ 188 (กรัม)	ไซเดียมดีออกซีโคเลต (มิลลิกรัม)	น้ำกลั่น (มิลลิลิตร)	ปริมาตรทั้งหมด (มิลลิลิตร)
อนุภาคไขมันแข็งที่ไม่ได้บรรจุสาร	-	-	50.0	25	650	424.35	500
อนุภาคไขมันแข็งบรรจุในชิน	2,500	-	47.5	25	650	424.35	500
อนุภาคไขมันแข็งบรรจุกรดแลคติก	-	125*	47.5	25	650	424.35	500
อนุภาคไขมันแข็งบรรจุในชินร่วมกับกรดแลคติก	1,670	41.8*	47.5	25	650	424.35	500

หมายเหตุ *ใช้จากสต็อกกรดแลคติก 10,000 มิลลิกรัมต่อลิตร

2. การเลี้ยง และเตรียมเชื้อเพื่อใช้ในการทดสอบ

2.1 การเลี้ยงเชื้อ

L. monocytogenes DMST 17303 และ *E. coli* ATCC 25922 เลี้ยงเชื้อในอาหารเลี้ยงเชื้อ PYG (ภาชนะกว้าง) ที่อุณหภูมิ 37 องศาเซลเซียส นาน 16-18 ชั่วโมง ในหลอดทดลอง ภาชนะไม่เขียว่าเก็บเชื้อตั้งต้นบนอาหารเลี้ยงเชื้อแข็ง PYG แบบเอียง (slant) ซึ่งทำได้โดยเยี่ยมโคลนีเดียวของเชื้อ

จากอาหารเลี้ยงเชื้อแข็ง PYG แบบเครื่อง นำไปปั่นที่อุณหภูมิ 37 องศาเซลเซียส นาน 24 ชั่วโมง จากนั้นนำไปเก็บที่ 4 องศาเซลเซียส

2.2 การเตรียมเชื้อเพื่อใช้ในการทดลอง

เมื่อต้องการนำเชื้อมาทดสอบ ให้นำเชื้อเก็บไว้ที่ 4 องศาเซลเซียส นำมาเขี่ยลงบนอาหารเลี้ยงเชื้อแข็ง PYG บ่มที่อุณหภูมิ 37 องศาเซลเซียส นาน 24 ชั่วโมง จากนั้นนำโคโลนีเดียร์ที่แยกได้ถ่ายลงสู่อาหารเลี้ยงเชื้อเหลว PYG ปริมาตร 5 มิลลิลิตร บ่มที่อุณหภูมิ 37 องศาเซลเซียส นาน 16-18 ชั่วโมง จากนั้นถ่ายเชื้อปริมาตร 1 มิลลิลิตร ลงในอาหารเลี้ยงเชื้อเหลว PYG ปริมาตร 50 มิลลิลิตร บ่มที่อุณหภูมิ 37 องศาเซลเซียส จนกว่าทั้งวดค่าดูดกลืนแสงที่ 600 นาโนเมตรได้เท่ากับ 0.179 สำหรับ *L. monocytogenes* DMST 17303 และ 0.2 สำหรับ *E. coli* ATCC 25922 จากนั้นให้นำมาทำการเจือจากอนุกรมแบบ 10 เท่า โดยเจือจากใน 0.85% NaCl จนได้ค่าการเจือจากเป็น 10^{-3} เท่า เมื่อเทียบกับหลอดเริ่มต้น จะได้เชื้อที่มีปริมาณอยู่ในช่วง 10^5 - 10^6 CFU ต่อมิลลิลิตร ซึ่งเป็นปริมาณที่เหมาะสมในการจำลองปริมาณเชื้อปนเปื้อนในอาหารซึ่งจะใช้เป็นต้นแบบในการทดลอง

3. ทดสอบประสิทธิภาพการบรรจุในชิ้น กรดแลคติก หรือในชิ้นร่วมกับกรดแลคติกด้วยอนุภาคนาโนชิ้นดิไซมันแข็ง

นำอนุภาคนาโนชิ้นดิไซมันแข็งที่ไม่ได้บรรจุสารออกฤทธิ์ที่บรรจุในชิ้น กรดแลคติก หรือในชิ้นร่วมกับกรดแลคติกที่เตรียมได้ นำไปปั่นเรียบด้วยความเร็ว 10,000 รอบต่อนาที ล้างอนุภาคนาโนด้วยน้ำกลั่น 2 ครั้ง จากนั้นซึ่งอนุภาคนาโนชิ้นดิไซมันแข็งที่ไม่ได้บรรจุสารออกฤทธิ์ที่บรรจุในชิ้น กรดแลคติก หรือในชิ้นร่วมกับกรดแลคติกอย่างละ 50 มิลลิกรัม สะกัด ในชิ้นและกรดแลคติกด้วยเมทานอล 1 มิลลิลิตร และตามด้วยกรดไฮดรคลอริกเข้มข้น 0.02 โมลาร์ ปริมาตร 1 มิลลิลิตร ลงไป และกรองด้วยชุดกรองที่มีขนาดของรู 0.45 ไมโครเมตร เก็บส่วนสารละลายใส่ปริมาตร 700 ไมโครลิตร นำมาวิเคราะห์ห้าในชิ้นและกรดแลคติกด้วยเครื่องแยกสารโดยรวมไฟ ภาพฟิล์มรองน้ำสูงแบบรีเวิร์สเฟส (reverse phase HPLC) คอลัมน์ตัวยึดเกาะ C-18 ซึ่งเทียบกับกราฟมาตรฐานของในชิ้น และกรดแลคติก คำนวณค่าประสิทธิภาพการบรรจุในชิ้นและกรดแลคติก (Encapsulation Efficiency) จากสมการ

$$\text{ประสิทธิภาพการบรรจุ} = \frac{\text{ปริมาณของสารเริ่มต้นที่ทำการทดลองที่คำนวนได้จากการฟามาตรฐาน} \times 100}{\text{ปริมาณของสารเริ่มต้นที่ทำการทดลองที่ใช้บรรจุลงในอนุภาค}}$$

4. ศึกษาลักษณะทางสัณฐานวิทยาและความคงตัวของอนุภาคนาโนชนิดไขมันแข็งบรรจุในชิ้นกรดแลคติก หรือในชิ้นร่วมกับกรดแลคติก ศึกษาลักษณะทางสัณฐานวิทยา ด้วยกล้องจุลทรรศน์อิเล็กตรอนแบบส่องกราด (Scanning Electron Microscope; SEM) ศึกษาความคงตัวของอนุภาคโดยการวัดขนาดและประจุบนผิวอนุภาคด้วยเทคนิค Dynamic Light Scattering (DLS) โดยใช้เครื่องนาโนไซเซอร์ซึ่งการเตรียมตัวอย่างเพื่อวิเคราะห์ได้แก่ นำอนุภาคนาโนชนิดไขมันแข็งที่ไม่ได้บรรจุสารที่บีบอัด ที่บรรจุในชิ้นกรดแลคติก หรือในชิ้นร่วมกับกรดแลคติก ศึกษาลักษณะทางสัณฐานวิทยา ด้วยกล้องจุลทรรศน์อิเล็กตรอนแบบส่องกราด (Scanning Electron Microscope; SEM) ศึกษาความคงตัวของอนุภาคโดยการวัดขนาดและประจุบนผิวอนุภาคด้วยเทคนิค Dynamic Light Scattering (DLS) โดยใช้เครื่องนาโนไซเซอร์ซึ่งการเตรียมตัวอย่างเพื่อวิเคราะห์ได้แก่ นำอนุภาคนาโนชนิดไขมันแข็งที่ไม่ได้บรรจุสารที่บีบอัด ที่บรรจุในชิ้นกรดแลคติก หรือในชิ้นร่วมกับกรดแลคติก อย่างละ 0.1 มิลลิลิตร เติมน้ำกลั่น 0.9 มิลลิลิตรจากนั้นนำไปทำให้กระจายตัวด้วยคลื่นเสียงความถี่สูง เป็นเวลา 30 นาที นำตัวอย่างที่เตรียมได้วัดขนาดและประจุบนผิวด้วยเครื่องนาโนไซเซอร์ (รูปที่ 3.2)



รูปที่ 3.2 เครื่องนาโนไซเซอร์ (Nanosizer) รุ่น NanoZS ของบริษัท Malvern, สาธารณนาจกร

5. ศึกษาผลของการเป็นกรด-เบส ความเข้มข้นของเกลือและอุณหภูมิต่อลักษณะทางสัณฐานวิทยาและความคงตัวของอนุภาคนาโนชนิดไขมันแข็งบรรจุในชิ้นกรดแลคติก หรือในชิ้นร่วมกับกรดแลคติก

นำอนุภาคนาโนชนิดไขมันแข็งที่ไม่ได้บรรจุสารออกฤทธิ์ที่บรรจุในชิ้นกรดแลคติก หรือในชิ้นร่วมกับกรดแลคติก อย่างละ 10 มิลลิกรัม ใส่ในสารละลายฟอสเฟตบัฟเฟอร์ 0.02 มิลลิลิตร ที่มี pH 4 ที่มีเกลือโซเดียมคลอไรด์ร้อยละ 0.5 และ 1.0 และสารละลายฟอสเฟตบัฟเฟอร์

0.02 มิลลิตร ที่มี pH 7 มีเกลือโซเดียมคลอไรด์ร้อยละ 0.5 และ 1.0 นำสารละลายแขวนลอยข้างต้นไปทำให้กระจายตัวด้วยคลื่นเสียงความถี่สูง (Ultrasonicated) เป็นเวลา 2 นาที แบ่งใส่ในขวดสีชาโดยแบ่งออกเป็น 2 ชุดการทดลอง ชิ้นชุดที่ 1 เก็บที่อุณหภูมิ 4 องศาเซลเซียสและชุดที่ 2 เก็บไว้ที่อุณหภูมิห้องเป็นเวลา 2 เดือน ทำการเก็บตัวอย่างวันที่ 0, 30 และ 60 ของการทดลอง เพื่อศึกษาลักษณะทางสัณฐานวิทยา ด้วยกล้องจุลทรรศน์อิเล็กtronแบบส่องกราด (Scanning Electron Microscope; SEM) และศึกษาความคงตัวของอนุภาคโดยการวัดขนาด และประจุบนผิวอนุภาคด้วยเทคนิค Dynamic Light Scattering (DLS) โดยใช้เครื่องนาโนไซซ์อร์ซึ่งการเตรียมตัวอย่างเพื่อวิเคราะห์ได้แก่ นำอนุภาคนาโนชนิดไอกัมแน็งที่ไม่ได้บรรจุสารที่บวบในชิ้นกรดแอลกอฮอล์หรือไนซินร่วมกับกรดแอลกอติกอย่างละ 0.1 มิลลิลิตร เติมน้ำกลั่น 0.9 มิลลิลิตร จากนั้นนำไปทำให้กระจายตัวด้วยคลื่นเสียงความถี่สูง เป็นเวลา 30 นาที นำตัวอย่างที่เตรียมได้วัดขนาดและประจุบนผิวด้วยเครื่องนาโนไซซ์อร์ (รูปที่ 3.2)

6. หาระยะเวลาที่ไนซินและกรดแอลกอติกออกจากอนุภาคนาโนชนิดไอกัมแน็งที่บวบในชิ้นกรดแอลกอติกหรือไนซินร่วมกับกรดแอลกอติก

นำอนุภาคนาโนชนิดไอกัมแน็งที่ไม่ได้บรรจุสารออกฤทธิ์ที่บวบในชิ้นกรดแอลกอติกหรือไนซินร่วมกับกรดแอลกอติก โดยนำอนุภาคนาโนชนิดไอกัมแน็งแต่ละชนิดมาผสมกับอาหาร PYG จากนั้นแบ่งใส่หลอดทดลอง และแบ่งการทดลองออกเป็น 2 ชุดการทดลอง โดยชุดที่ 1 นำไปบ่มที่อุณหภูมิ 4 องศาเซลเซียส และชุดที่ 2 นำไปบ่มที่อุณหภูมิห้อง (โดยสัดส่วนการเติมอนุภาคนาโนชนิดไอกัมแน็งและสารออกฤทธิ์อิสระ แสดงในตารางที่ 3.2) ทำการเก็บตัวอย่างทุกๆ 3 วันในช่วงแรก และทุกๆ 7 วันในช่วงหลัง บ่มเป็นเวลา 3 เดือน ทุกๆ ครั้งของการเก็บตัวอย่างจะเติม *L. monocytogenes* DMST 17303 หรือ *E. coli* ATCC 25922 เจริญใน PYG ที่มีอายุ 16-18 ชั่วโมง นำมา 50 ไมโครลิตร เจือจางใน 0.85% NaCl ปริมาตร 50 มิลลิลิตร จะได้ 10^5 - 10^6 CFU ต่อ มิลลิลิตร และบ่มเป็นเวลา 24 ชั่วโมงที่อุณหภูมิ 4 หรืออุณหภูมิห้อง ดูสารละลายตัวอย่าง 100 ไมโครลิตร ทำการเจือจางใน 0.85% NaCl ให้มีความเข้มข้นเจือจางเป็น 10^{-1} - 10^{-7} จากนั้นนำไปเกลี่ยเชือบบน PYG plate และบ่มที่อุณหภูมิ 37 องศาเซลเซียส 24 ชั่วโมง นับจำนวนเชื้อที่รอดชีวิตของ *L. monocytogenes* DMST 17303 หรือ *E. coli* ATCC 25922 โดยทำการเกลี่ยเชือข้า 3 ครั้ง ตามวิธีข้างต้น เพื่อยืนยันความถูกต้องของผลการทดลอง

7. ทดสอบประสิทธิภาพในการยับยั้งแบคทีเรียของอนุภาคนาโนชนิดไนโมันแข็งที่บรรจุในชิน กรดแลคติก หรือในชินร่วมกับกรดแลคติกในอาหารเลี้ยงเชื้อ PYG

นำอนุภาคนาโนชนิดไนโมันแข็งที่บรรจุในชิน กรดแลคติก ในชินร่วมกับกรดแลคติก ในชิน อิสระ กรดแลคติโคิสระ และกรดแลคติกร่วมกับกรดแลคติโคิสระ ผสมกับอาหารเลี้ยงเชื้อ PYG เติมเชื้อ *L. monocytogenes* DMST 17303 หรือ *E. coli* ATCC 25922 ที่มีจำนวนเซลล์ 10^5 - 10^6 CFU ต่อมิลลิลิตร ในอาหาร PYG (สัดส่วนการเติมอนุภาคนาโนชนิดไนโมันแข็งและสารออกฤทธิ์ อิสระ แสดงในตารางที่ 3.2) จากนั้นแบ่งใส่หลอดทดลองปลดล็อกเชื้อ หลอดละ 2.5 มิลลิลิตร แบ่งการทดลองเป็น 2 ชุด ชุดที่ 1 บ่มที่อุณหภูมิ 4 องศาเซลเซียส และชุดที่ 2 บ่มที่อุณหภูมิห้อง เป็นระยะเวลา 60 วัน ทำการเก็บตัวอย่างในวันที่ 0, 1, 3, 6, 9, 12, 15, 22, 29, 36, 43, 49, 56 และ 60 วันของการทดลอง เก็บตัวอย่างแต่ละครั้งจะทำการเจือจางใน 0.85% NaCl ให้มีความเข้มข้น เจือจางเป็น 10^{-1} - 10^{-7} โดยดูดสารละลายตัวอย่าง 100 ไมโครลิตร เกลี่ยเชื้อบนอาหารเลี้ยงเชื้อ PYG จากนั้นนำไปบ่มที่อุณหภูมิ 37 องศาเซลเซียส 24 ชั่วโมง นับจำนวนโคโลนีต่อมิลลิลิตร (CFU/ml) โดยทำการเกลี่ยเชื้อช้ำ 3 ครั้ง จากนั้นนำมาplotグラฟการยับยั้ง *L. monocytogenes* DMST 17303 หรือ *E. coli* โดยแกน Y คือ จำนวนเชื้อที่รอดชีวิต (\log CFU ต่อมิลลิลิตร) และแกน X คือ เวลาที่ทำการทดลอง (วัน)

8. ทดสอบประสิทธิภาพในการยับยั้งแบคทีเรียของอนุภาคนาโนชนิดไนโมันแข็งที่บรรจุในชิน กรดแลคติก หรือในชินร่วมกับกรดแลคติกในนมจีดและนมพร่องมันเนย

นำอนุภาคนาโนชนิดไนโมันแข็งที่บรรจุในชิน กรดแลคติก ในชินร่วมกับกรดแลคติก ในชิน อิสระ กรดแลคติโคิสระ และกรดแลคติกร่วมกับกรดแลคติโคิสระ ผสมในนม UHT ชนิดจีดหรือพร่องมันเนย เติมเชื้อ *L. monocytogenes* DMST 17303 หรือ *E. coli* ATCC 25922 ที่มีจำนวนเซลล์ 10^5 - 10^6 CFU ต่อมิลลิลิตร ผสมในนม UHT (สัดส่วนการเติมอนุภาคนาโนชนิดไนโมันแข็งและสารออกฤทธิ์ อิสระ แสดงในตารางที่ 3.2) จากนั้นแบ่งใส่หลอดทดลองปลดล็อกเชื้อ หลอดละ 2.5 มิลลิลิตร บ่มที่อุณหภูมิ 4 องศาเซลเซียส เป็นระยะเวลา 60 วัน ทำการเก็บตัวอย่างในวันที่ 0, 1, 3, 6, 9, 12, 15, 22, 29, 36, 43, 49, 56 และ 60 วันของการทดลอง เก็บตัวอย่างแต่ละครั้งจะทำการเจือจางใน 0.85% NaCl ให้มีความเข้มข้นเจือจางเป็น 10^{-1} - 10^{-7} โดยดูดสารละลายตัวอย่าง 100 ไมโครลิตร เกลี่ยเชื้อบนอาหารเลี้ยงเชื้อ PYG จากนั้นนำไปบ่มที่อุณหภูมิ 37 องศาเซลเซียส 24 ชั่วโมง นับจำนวนโคโลนีต่อมิลลิลิตร (CFU/ml) โดยทำการเกลี่ยเชื้อช้ำ 3 ครั้ง จากนั้นนำมาplotグラฟการ

ยับยั่ง *L. monocytogenes* DMST 17303 หรือ *E. coli* โดยแกน Y คือ จำนวนเชื้อที่รวมชีวิต (log CFUต่อมิลลิลิตร) และแกน X คือ เวลาที่ทำการทดลอง (วัน)

ตารางที่ 3.2 ปริมาณสารและความเข้มข้นสูดห้ายของสารที่ใช้ในการทดสอบประสิทธิภาพในการยับยั้งแบคทีเรียของอนุภาคนาโนชนิดไนมันเน็งที่บรรจุในชิ้นร่วงกรดแลคติก

ชุดการทดลอง	ปริมาณสารที่ต้องการทดสอบ (ไมโครลิตร)							ปริมาณเชือกที่ต้องการทดสอบ (มิลลิลิตร)	ปริมาณอาหารเหลว PYG (มิลลิลิตร)		
	ในชิ้น (กรัม)	กรดแลคติก (ไมโครลิตร)	อนุภาคนาโนชนิดไนมันเน็งอิมิวิเตอร์ 900								
			ไม่มีการบรรจุ	บรรจุในชิ้น	บรรจุ กรดแลคติก	บรรจุในชิ้น และ กรดแลคติก					
ชุดควบคุม	-	-	-	-	-	-	-	100	900		
ชุดการทดลองในชิ้นอิสระ	0.856	-	-	-	-	-	-	100	900		
ชุดการทดลองกรดแลคติกอิสระ	-	50	-	-	-	-	-	100	900		
ชุดการทดลองในชิ้นและกรดแลคติโคิสระ	0.856	50	-	-	-	-	-	100	900		
ชุดควบคุมลบ	-	-	25	-	-	-	-	100	900		
ชุดการทดลองอนุภาคนาโนในบรรจุในชิ้น	-	-	-	169	-	-	-	100	900		
ชุดการทดลองอนุภาคนาโนในบรรจุกรดแลคติก	-	-	-	-	50	-	-	100	900		
ชุดการทดลองอนุภาคนาโนในบรรจุในชิ้น ร่วงกับกรดแลคติก	-	-	-	-	-	-	21.09	100	900		

หมายเหตุ วิธีการคำนวนค่าต่างๆ อยู่ในภาคผนวก ๑

บทที่ 4

ผลการทดลอง

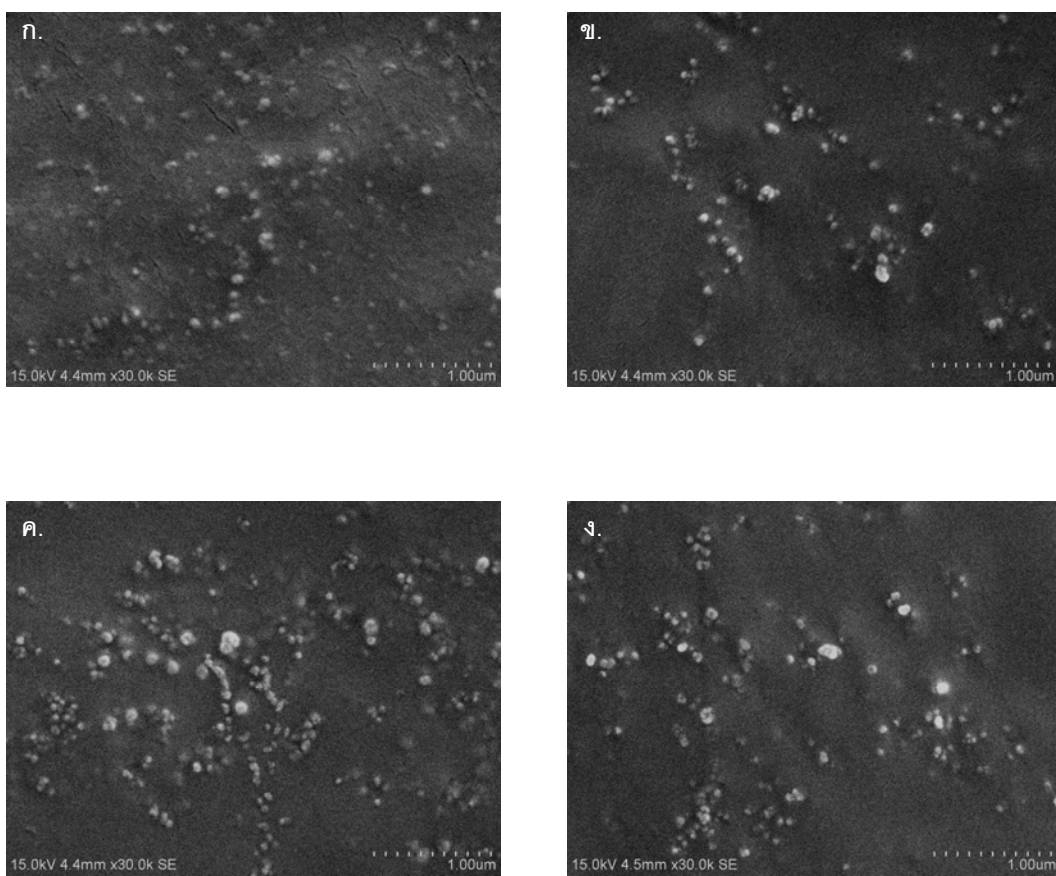
4.1 ผลการศึกษาลักษณะทางสัณฐานวิทยาของอนุภาคนาโนชนิดไข่มันแข็ง

จากการเตรียมอนุภาคนาโนชนิดไข่มันแข็งที่บรรจุในชิ้นกรวดแลคติก และในชิ้นร่วมกับกรวดแลคติก ด้วยเครื่องซ้อมอัจฉริยะความดันสูง โดยใช้พอล์อกซ่าเมอร์ 188 ร้อยละ 5.0 (น้ำหนัก/ปริมาตร) และโซเดียมดีออกซีโคเลตร้อยละ 0.125 (น้ำหนัก/ปริมาตร) เป็นสารลดแรงตึงผิวและสารลดแรงตึงผิวร่วม ตามลำดับ พบร่องรอยที่เตรียมได้นั้นมีลักษณะเป็นครีม สีขาวๆ นุ่ม (รูปที่ 4.1)



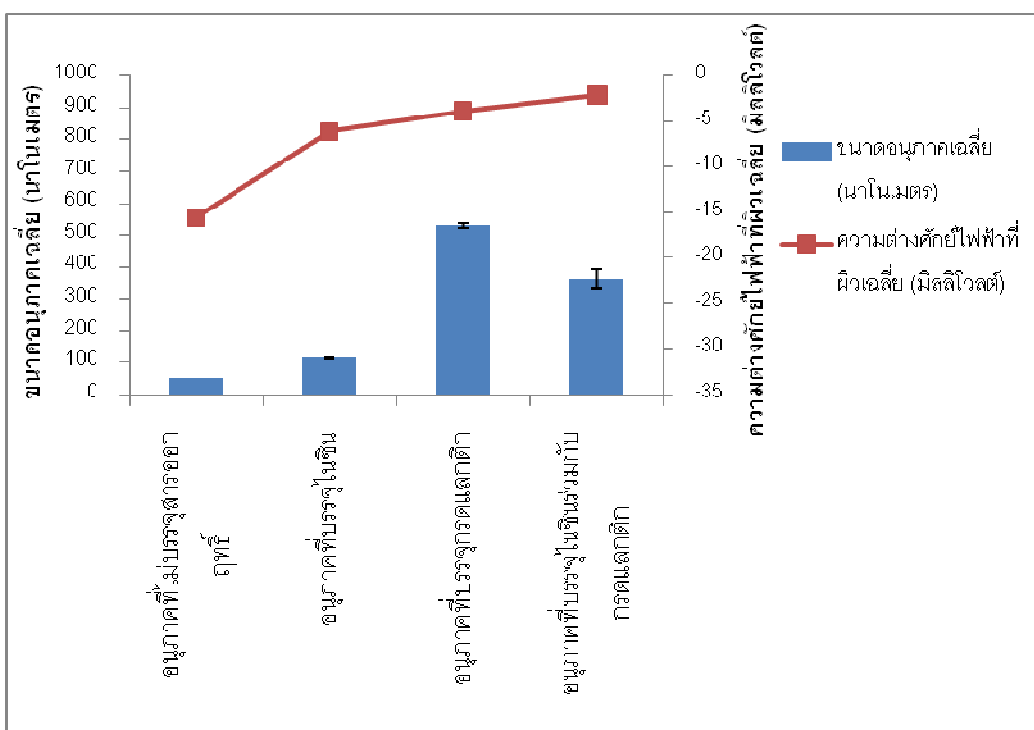
รูปที่ 4.1 อนุภาคนาโนชนิดไข่มันแข็ง ที่เตรียมโดยวิธีเครื่องซ้อมอัจฉริยะความดันสูง ก. อนุภาคนาโนชนิดไข่มันแข็งที่ไม่มีการบรรจุสารออกฤทธิ์ ข. อนุภาคนาโนชนิดไข่มันแข็งบรรจุกรวดแลคติก และ ง. อนุภาคนาโนชนิดไข่มันแข็งบรรจุในชิ้นร่วมกับกรวดแลคติก

เมื่อศึกษาด้วยกล้องจุลทรรศน์อิเล็กตรอนแบบส่องกราด พบร่วมกับลักษณะของอนุภาคนาโนชนิดไขมันแข็งที่เตรียมได้ทั้ง 4 ชนิด ได้แก่ อนุภาคนาโนชนิดไขมันแข็งที่ไม่มีการบรรจุสารออกฤทธิ์ (ก.) อนุภาคนาโนชนิดไขมันแข็งบรรจุในชิน (ข.) อนุภาคนาโนชนิดไขมันแข็งบรรจุกรดแลคติก (ค.) และ อนุภาคนาโนชนิดไขมันแข็งบรรจุในชินร่วมกับกรดแลคติก (ง.) จะมีลักษณะรูปร่างคล้ายกัน กล่าวคือ มีลักษณะรูปร่างเป็นผลึกไขมัน พื้นผิวเรียบ ลักษณะคล้ายเกล็ดเลือด มีขนาดอนุภาคอยู่ในช่วงประมาณ 52.27 ± 0.43 , 113.80 ± 1.63 , 528.53 ± 7.19 และ 362.86 ± 28.05 นาโนเมตร ตามลำดับ ดังที่แสดงในรูปที่ 4.2



รูปที่ 4.2 ลักษณะทางสัณฐานวิทยาของอนุภาคนาโนชนิดไขมันแข็ง ที่ได้จากกล้องจุลทรรศน์ อิเล็กตรอนแบบส่องกราด ก. อนุภาคนาโนชนิดไขมันแข็งที่ไม่มีการบรรจุสารออกฤทธิ์ ข. อนุภาคนาโนชนิดไขมันแข็งบรรจุในชิน ค. อนุภาคนาโนชนิดไขมันแข็งบรรจุกรดแลคติก และ ง. อนุภาคนาโนชนิดไขมันแข็งบรรจุในชินร่วมกับกรดแลคติก

เมื่อนำอนุภาคนาโนชนิดไขมันแข็งที่เตรียมได้มาวิเคราะห์ขนาดด้วยเครื่องนาโนไซเซอร์ พบร่วมกับอนุภาคนาโนชนิดไขมันแข็งที่ไม่มีการบรรจุสารออกฤทธิ์ อนุภาคนาโนชนิดไขมันแข็งบรรจุในชิ้นอนุภาคนาโนชนิดไขมันแข็งบรรจุกรดแลคติก และอนุภาคนาโนชนิดไขมันแข็งบรรจุในชิ้นร่วมกับกรดแลคติก พบร่วมกับอนุภาคนาโนชนิดไขมันแข็งที่มีขนาดเฉลี่ยเท่ากับ 52.27 ± 0.43 , 113.80 ± 1.63 , 528.53 ± 7.19 และ 362.86 ± 28.05 นาโนเมตร ตามลำดับ ส่วนค่าความต่างศักย์ไฟฟ้าที่ผิวเฉลี่ย (zeta-potential) เท่ากับ -15.56 ± 0.81 , -6.12 ± 0.11 , -3.83 ± 0.30 และ -2.07 ± 0.02 มิลลิโวลต์ ตามลำดับ โดยมีค่า PDI เท่ากับ 0.29, 0.22, 0.48 และ 0.01 (รูปที่ 4.3)



รูปที่ 4.3 ขนาดเฉลี่ยและความต่างศักย์ไฟฟ้าที่ผิวของอนุภาคนาโนชนิดต่างๆ ที่วิเคราะห์ด้วยเครื่องนาโนไซเซอร์

4.2 ทดสอบประสิทธิภาพการบรรจุในชิ้น กรดแลคติก หรือในชิ้นร่วมกับกรดแลคติกด้วย อนุภาคนาโนชนิดไขมันแข็ง

เมื่อนำอนุภาคนาโนชนิดไขมันแข็งทั้ง 4 ชนิดที่เตรียมได้ นำไปปั่นให้ว่อง และล้างอนุภาคนาโนด้วยน้ำกลัน จากนั้นซึ่งอนุภาคนาโนชนิดไขมันแข็งทั้ง 4 ชนิด อย่างละ 50 มิลลิกรัม สักด้านชิ้นและกรดแลคติกด้วยเมทานอล และตามด้วยกรดไฮโดรคลอริก จากนั้นคำนวณหาปริมาณในชิ้น และกรดแลคติกที่บรรจุในอนุภาคนาโนจากการฟอกมาตรฐาน พบร่วมกับการบรรจุในชิ้นลงในอนุภาคนาโน ประสิทธิภาพเดียวกับการบรรจุกรดแลคติกลงในอนุภาคนาโนชนิดไขมันแข็งบรรจุในชิ้นที่เตรียมได้นั้น มีประสิทธิภาพการบรรจุในชิ้น ได้ร้อยละ 66.20 ในขณะที่อนุภาคนาโนที่ทำการบรรจุกรดแลคติกมีประสิทธิภาพการบรรจุร้อยละ 58.62 และอนุภาคนาโนที่บรรจุในชิ้นร่วมกับกรดแลคติก พบร่วมกับมีประสิทธิภาพในการบรรจุในชิ้น ได้ร้อยละ 65.86 ในขณะมีประสิทธิภาพในการบรรจุกรดแลคติกได้ร้อยละ 59.57 (ตารางที่ 4.1)

ตารางที่ 4.1 ประสิทธิภาพการบรรจุในชิ้น กรดแลคติก และในชิ้นและกรดแลคติกในอนุภาคนาโนชนิดไขมันแข็ง

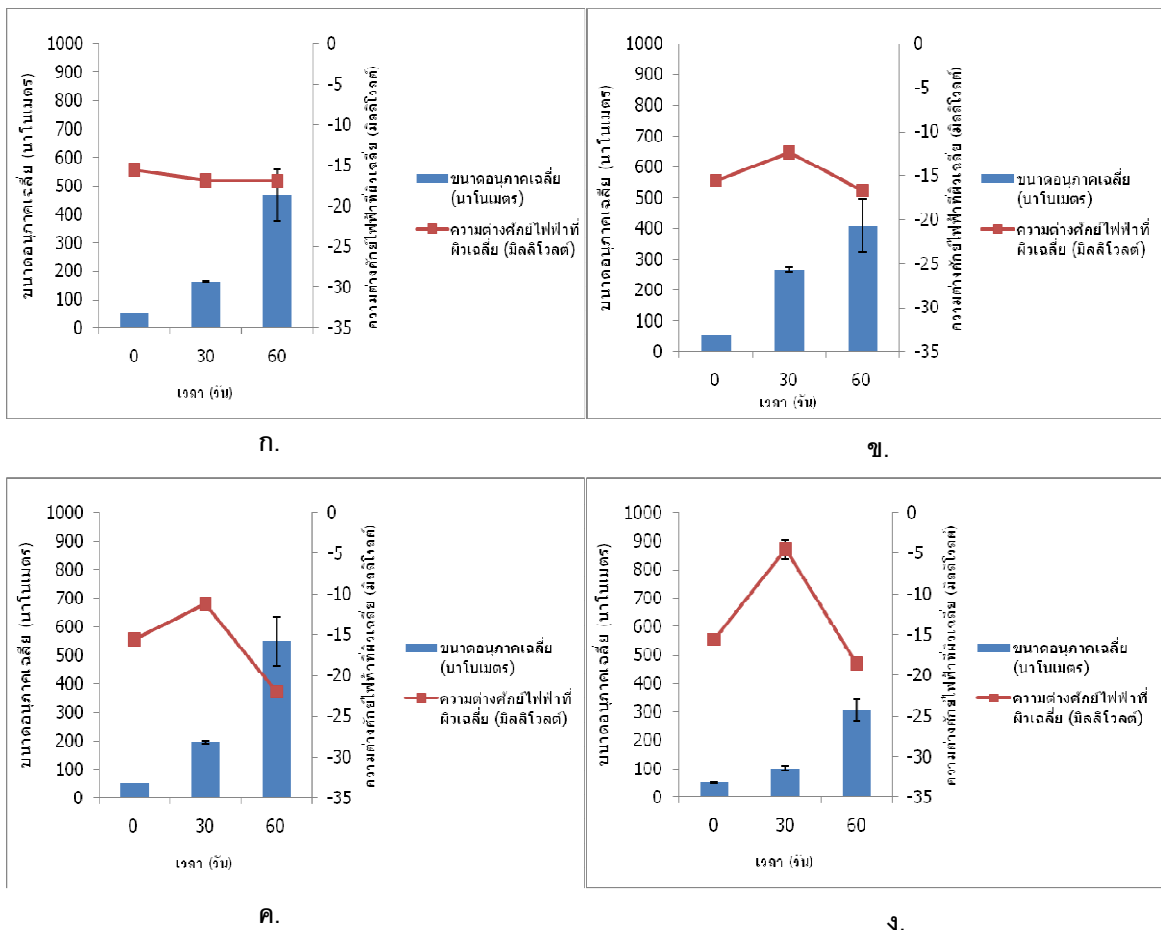
ชนิดอนุภาคนาโนชนิดไขมันแข็ง	สารออกฤทธิ์ที่บรรจุ	ปริมาณในชิ้นที่ใส่เริ่มต้น (กรัม)	ปริมาณกรดแลคติกที่ใส่เริ่มต้น (มิลลิกรัม)	ปริมาณในชิ้นเฉลี่ยตรวจจากเครื่อง HPLC (กรัม)	ปริมาณกรดแลคติกเฉลี่ยตรวจพบจากเครื่อง HPLC (มิลลิกรัม)	ประสิทธิภาพการบรรจุ (ร้อยละ)
ในชิ้น	ในชิ้น	2.5		1.65		66.20
กรดแลคติก	กรดแลคติก		62.5		36.64	58.62
ในชิ้นและกรดแลคติก	ในชิ้น	1.67		1.10		65.86
	กรดแลคติก		20.9		12.45	59.57

4.3 ศึกษาผลของ pH ความเข้มข้นของเกลือ และอุณหภูมิต่อลักษณะทางสัณฐานวิทยาและความคงตัวของอนุภาคนาโนชนิดไขมันแข็งที่ไม่บรรจุสารออกฤทธิ์ ที่บรรจุในชินกรดแลคติก หรือในชินร่วมกับกรดแลคติก

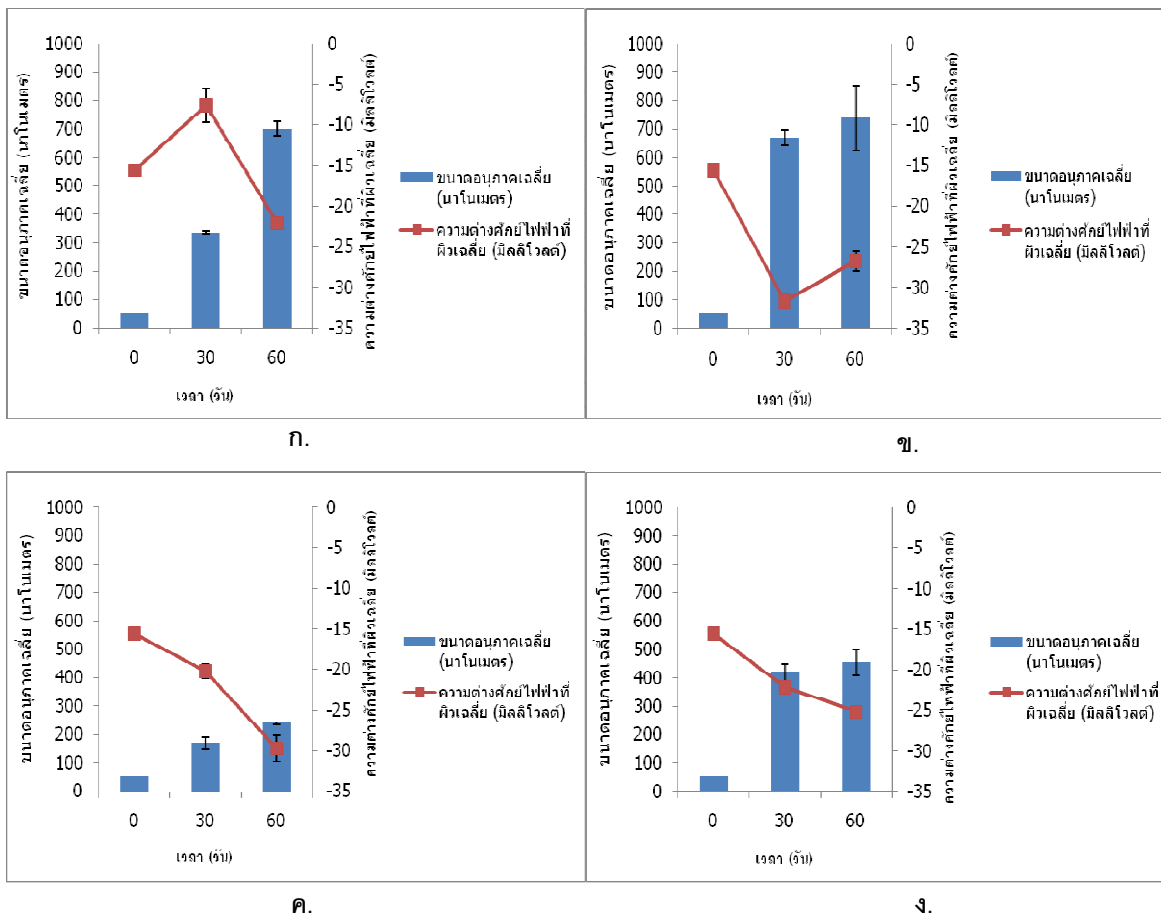
บ่มอนุภาคนาโนชนิดไขมันแข็งที่ไม่บรรจุสารออกฤทธิ์ ที่บรรจุในชิน กรดแลคติก หรือ ในชินร่วมกับกรดแลคติก ในสารละลายฟอสเฟตบัฟเฟอร์ 0.02 มิลลาร์ pH 4 ที่มีเกลือโซเดียมคลอไรด์ร้อยละ 0.5 และ 1.0 และสารละลายฟอสเฟตบัฟเฟอร์ 0.02 มิลลาร์ pH 7 ที่มีเกลือโซเดียมคลอไรด์ร้อยละ 0.5 และ 1.0 โดยแบ่งออกเป็น 2 ชุดการทดลอง ชุดที่ 1 เก็บที่อุณหภูมิ 4 องศาเซลเซียส และชุดที่ 2 เก็บที่อุณหภูมิห้อง เป็นเวลา 2 เดือน โดยเก็บตัวอย่างที่ 0, 30 และ 60 วันของการทดลอง วิเคราะห์ด้วยเครื่องนาโนไซซ์อร์ พบร่วมอนุภาคนาโนชนิดไขมันแข็งที่ไม่บรรจุสารออกฤทธิ์ ที่บรรจุในชิน กรดแลคติก หรือในชินร่วมกับกรดแลคติก จะมีการเปลี่ยนแปลงขนาด และความต่างศักย์ไฟฟ้าที่ผิวอนุภาคไปในลักษณะเดียวกัน คือ อนุภาคที่บ่มในบัฟเฟอร์ทุกภาวะจะมีขนาดใหญ่ขึ้น เมื่อเทียบกับวันที่ 0 ของการทดลอง ส่วนการเปลี่ยนแปลงค่าความต่างศักย์ที่ผิวอนุภาคพบว่ามีค่าเพิ่มขึ้นเมื่อเทียบกับวันที่ 0 ของการทดลอง

ผลของขนาดอนุภาคและความต่างศักย์ไฟฟ้าที่ผิวของอนุภาคนาโนชนิดไขมันแข็งที่ไม่บรรจุสารออกฤทธิ์ ชั่ววันที่ 0 ของการทดลองขนาดอนุภาคเท่ากับ 54.39 ± 34.52 นาโนเมตร ส่วนความต่างศักย์ไฟฟ้าที่ผิว เท่ากับ -11.21 ± 9.54 มิลลิโวลต์ เมื่อบ่มในสารละลายฟอสเฟตบัฟเฟอร์ 0.02 มิลลาร์ pH 4 ที่มีเกลือโซเดียมคลอไรด์ร้อยละ 0.5 ที่ 4 องศาเซลเซียสพบว่า ในวันที่ 30 และ 60 ของการทดลองขนาดของอนุภาคจะใหญ่เมื่อเทียบกับวันที่ 0 ของการทดลอง คือ 165.33 ± 2.59 และ 468.32 ± 91.53 นาโนเมตร สำหรับค่าความต่างศักย์ไฟฟ้าที่ผิวจะมีค่าใกล้เคียงกัน คือ -16.83 ± 0.37 และ -16.86 ± 0.15 มิลลิโวลต์ ในวันที่ 30 และ 60 ของการทดลอง ตามลำดับ (รูปที่ 4.4ก.) ที่อุณหภูมิห้อง พบร่วมขนาดอนุภาคจะมีขนาดใหญ่ขึ้น เมื่อเทียบกับวันที่ 0 ของการทดลองเท่ากับ 337.36 ± 4.40 และ 702.00 ± 25.57 นาโนเมตร สำหรับความต่างศักย์ไฟฟ้าที่ผิว เท่ากับ -7.59 ± 2.08 และ -22.10 ± 25.57 มิลลิโวลต์ ในวันที่ 30 และ 60 ของการทดลอง ตามลำดับ (รูปที่ 4.5ก.) เมื่อบ่มในสารละลายฟอสเฟตบัฟเฟอร์ 0.02 มิลลาร์ pH 4 ที่มีเกลือโซเดียมคลอไรด์ร้อยละ 1 ที่ 4 องศาเซลเซียส พบร่วมขนาดของอนุภาคจะมีขนาดใหญ่ขึ้น คือ 265.43 ± 6.21 และ 408.18 ± 44.1 นาโนเมตร ในขณะที่ค่าความต่างศักย์ไฟฟ้าที่ผิว คือ -12.36 ± 0.50 และ -16.7 ± 1.05 มิลลิโวลต์ ในวันที่ 30 และ 60 ของการทดลอง ตามลำดับ (รูปที่ 4.4ข.) ที่อุณหภูมิห้องขนาดอนุภาคจะมีขนาดใหญ่กว่าที่ 4 องศาเซลเซียส เท่ากับ 670.33 ± 25.79 และ 738.66 ± 114.65 นาโนเมตร สำหรับความต่างศักย์ไฟฟ้าที่ผิว เท่ากับ -31.70 ± 0.36 และ -26.76 ± 1.25 มิลลิโวลต์ ในวันที่ 30 และ 60

ของการทดลอง ตามลำดับ (รูปที่ 4.5ข.) ขนาดอนุภาคและความต่างศักย์ไฟฟ้าที่ผิว เมื่อบ่มในสารละลายฟอกสเปตบัฟเฟอร์ 0.02 มอลาร์ pH 7 ที่มีเกลือโซเดียมคลอไรด์ร้อยละ 0.5 ที่ 4 องศาเซลเซียส ในวันที่ 60 ของการทดลอง พบร่วมกับ ขนาดอนุภาคใหญ่ขึ้น คือ 549.13 ± 85.76 นาโนเมตร ในขณะที่อุณหภูมิห้อง อนุภาคใหญ่ขึ้นเท่ากับ 239.20 ± 3.73 นาโนเมตร ส่วนความต่างศักย์ไฟฟ้าที่ผิว ที่ 4 องศาเซลเซียส จะเพิ่มขึ้นจาก -11.20 ± 0.32 เป็น -21.96 ± 0.68 มิลลิโวลต์ และที่ อุณหภูมิห้องให้ผลคล้ายคลึงกับที่ 4 องศาเซลเซียส คือ ความต่างศักย์ไฟฟ้าที่ผิวเพิ่มสูงขึ้น จาก -20.20 ± 0.90 เป็น -29.73 ± 1.59 มิลลิโวลต์ ในวันที่ 30 และ 60 ของการทดลอง (รูปที่ 4.4ค. และ รูปที่ 4.5ค.) และเมื่อบ่มในสารละลายฟอกสเปตบัฟเฟอร์ ที่มีเกลือโซเดียมคลอไรด์ร้อยละ 1 ที่ 4 องศาเซลเซียส ขนาดของอนุภาคในวันที่ 30 ของการทดลองจะใหญ่ขึ้นประมาณ 2 เท่าจากวันที่ 0 ของการ ทดลองซึ่งมีการเปลี่ยนแปลงเพียงเล็กน้อยเมื่อเปรียบเทียบกับทุกภาวะการทดลอง คือ 101.20 ± 9.30 นาโนเมตร ส่วนวันที่ 30 ของการทดลอง พบร่วมกับความต่างศักย์ไฟฟ้าที่ผิวลดลงจากวันที่ 0 ของการ ทดลอง คือ -4.5 ± 1.21 มิลลิโวลต์ (รูปที่ 4.4จ.) สำหรับที่อุณหภูมิห้องนั้นให้ผลการทดลองไปใน ลักษณะเดียวกันกับ 4 องศาเซลเซียส ขนาดและความต่างศักย์ไฟฟ้า อนุภาคในวันที่ 30 และ 60 ของการทดลองจะมีขนาดที่ใกล้เคียงกัน คือ 419.60 ± 29.35 และ 453.70 ± 46.10 นาโนเมตร และ -22.16 ± 0.50 และ -25.16 ± 0.70 มิลลิโวลต์ ตามลำดับ (รูปที่ 4.5จ.)



รูปที่ 4.4 ขนาดเฉลี่ยและความต่างศักย์ไฟฟ้าที่ผิวของอนุภาคน้ำที่ไม่บรรจุสาร บ่มที่ภาวะต่างๆ ที่ 4 องศาเซลเซียส ก. สารละลายนอกสเปตบัฟเฟอร์ 0.02 มิลลิอาร์ pH 4 เกลือโซเดียมคลอไรด์ 0.5 กรัม. สารละลายนอกสเปตบัฟเฟอร์ 0.02 มิลลิอาร์ pH 4 เกลือโซเดียมคลอไรด์ 1 กรัม. สารละลายนอกสเปตบัฟเฟอร์ 0.02 มิลลิอาร์ pH 7 เกลือโซเดียมคลอไรด์ 0.5 กรัม. สารละลายนอกสเปตบัฟเฟอร์ 0.02 มิลลิอาร์ pH 7 เกลือโซเดียมคลอไรด์ 1 กรัม.

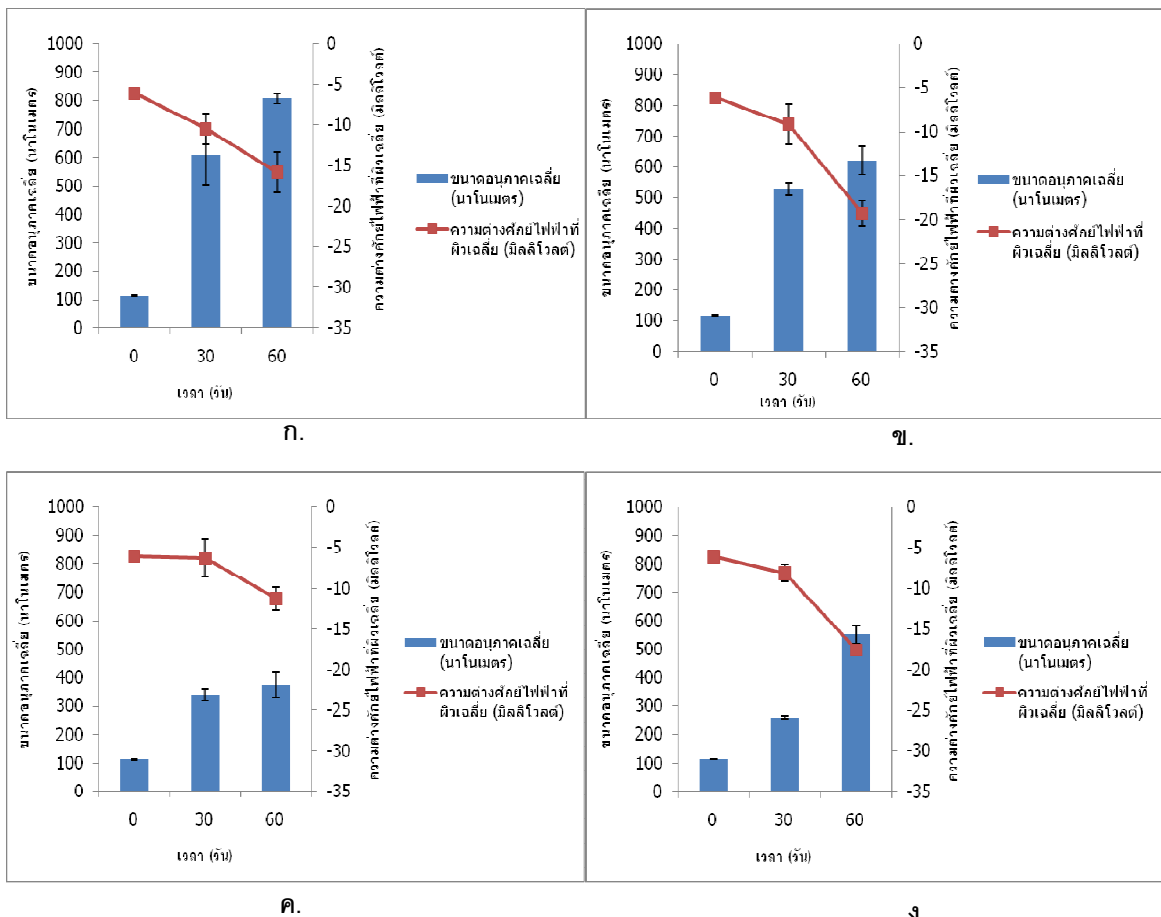


รูปที่ 4.5 ขนาดเฉลี่ยและความต่างศักย์ไฟฟ้าที่ผิวของอนุภาคที่ไม่บรรจุสาร บ่มที่ภาวะต่างๆ ที่อุณหภูมิห้อง

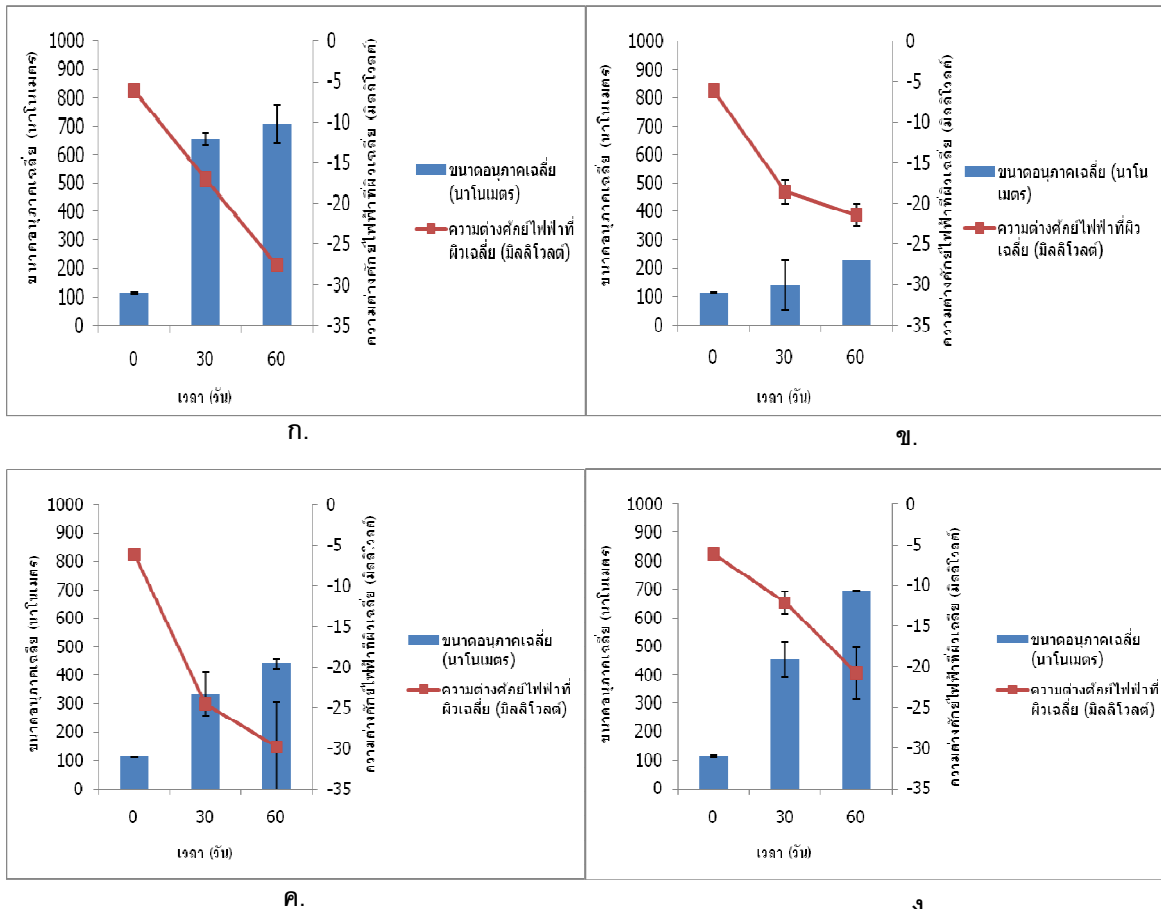
ก. สารละลายนอกสเปตบัฟเฟอร์ 0.02 มิลลาร์ pH 4 เกลือโซเดียมคลอไรด์ร้อยละ 0.5

ข. สารละลายนอกสเปตบัฟเฟอร์ 0.02 มิลลาร์ pH 4 เกลือโซเดียมคลอไรด์ร้อยละ 1 ค. สารละลายนอกสเปตบัฟเฟอร์ 0.02 มิลลาร์ pH 7 เกลือโซเดียมคลอไรด์ร้อยละ 0.5 ง. สารละลายนอกสเปตบัฟเฟอร์ 0.02 มิลลาร์ pH 7 เกลือโซเดียมคลอไรด์ร้อยละ 1

สำหรับขนาดอนุภาคและความต่างศักย์ไฟฟ้าที่ผิวของอนุภาคนาโนชนิดไขมันแข็งที่บรรจุในชิ้น ในวันที่ 0 ของการทดลองขนาดอนุภาค เท่ากับ 131.45 ± 3.67 นาโนเมตร ส่วนความต่างศักย์ไฟฟ้าที่ผิว เท่ากับ -8.85 ± 4.79 มิลลิโวลต์ เมื่อปั่นในสารละลายฟอสเฟตบัฟเฟอร์ 0.02 มอลาร์ pH 4 ที่มีเกลือโซเดียมคลอไรด์ร้อยละ 0.5 ที่ 4 องศาเซลเซียส พบว่ามีการเปลี่ยนแปลงของขนาดอนุภาคมากที่สุด เมื่อเปรียบเทียบกับภาวะอื่นๆ คือ 606.30 ± 101.92 และ 806.63 ± 16.45 นาโนเมตร และความต่างศักย์ไฟฟ้า คือ -10.48 ± 1.82 และ -15.82 ± 2.46 มิลลิโวลต์ ในวันที่ 30 และ 60 ของการทดลอง (รูปที่ 4.6ก.) ที่อุณหภูมิห้อง ขนาดอนุภาคจะมีการเปลี่ยนแปลง ซึ่งมีขนาดใหญ่ขึ้น คือ 654.46 ± 20.75 และ 706.56 ± 67.45 นาโนเมตร ค่าความต่างศักย์ไฟฟ้ามีค่าเพิ่มขึ้น คือ -17.03 ± 0.70 และ -27.56 ± 0.49 มิลลิโวลต์ (รูปที่ 4.7ก.) เมื่อปั่นในสารละลายฟอสเฟตบัฟเฟอร์ 0.02 มอลาร์ ที่มีเกลือโซเดียมคลอไรด์ร้อยละ 1 ที่ 4 องศาเซลเซียส พบว่า ขนาดของอนุภาคมีขนาดใหญ่ขึ้น คือ 528.16 ± 31.79 และ 620.00 ± 17.33 นาโนเมตร (รูปที่ 4.6ช.). ส่วนที่อุณหภูมิห้องนั้น พบว่า ขนาดของอนุภาคจะมีการเปลี่ยนแปลงน้อยที่สุด เมื่อเปรียบเทียบกับทุกภาวะ คือ 139.53 ± 88.3 และ 227.20 ± 0.95 นาโนเมตร ในวันที่ 30 และ 60 ของการทดลอง (รูปที่ 4.7ช.) และเมื่อปั่นในสารละลายฟอสเฟตบัฟเฟอร์ 0.02 มอลาร์ pH 7 ที่มีเกลือโซเดียมคลอไรด์ร้อยละ 0.5 ที่ 4 องศาเซลเซียส การเปลี่ยนแปลงขนาดของอนุภาคในวันที่ 30 และ 60 ของการทดลอง มีค่าไม่แตกต่างกันมากนัก คือ 340.33 ± 20.77 และ 375.03 ± 45.62 นาโนเมตร (รูปที่ 4.6ค.) เมื่อปั่นในสารละลายฟอสเฟตบัฟเฟอร์ pH 7 ที่มีเกลือโซเดียมคลอไรด์ร้อยละ 1 ที่ 4 องศาเซลเซียสขนาดอนุภาคมีการเปลี่ยนแปลงน้อยกว่าที่อุณหภูมิห้อง โดยที่ 4 องศาเซลเซียส ขนาดอนุภาค เท่ากับ 262.03 ± 5.94 และ 552.00 ± 31.73 นาโนเมตร ส่วนที่อุณหภูมิห้อง คือ 453.86 ± 62.44 และ 693.93 ± 1.93 นาโนเมตร (รูปที่ 4.6ง. และ 4.7ง.)

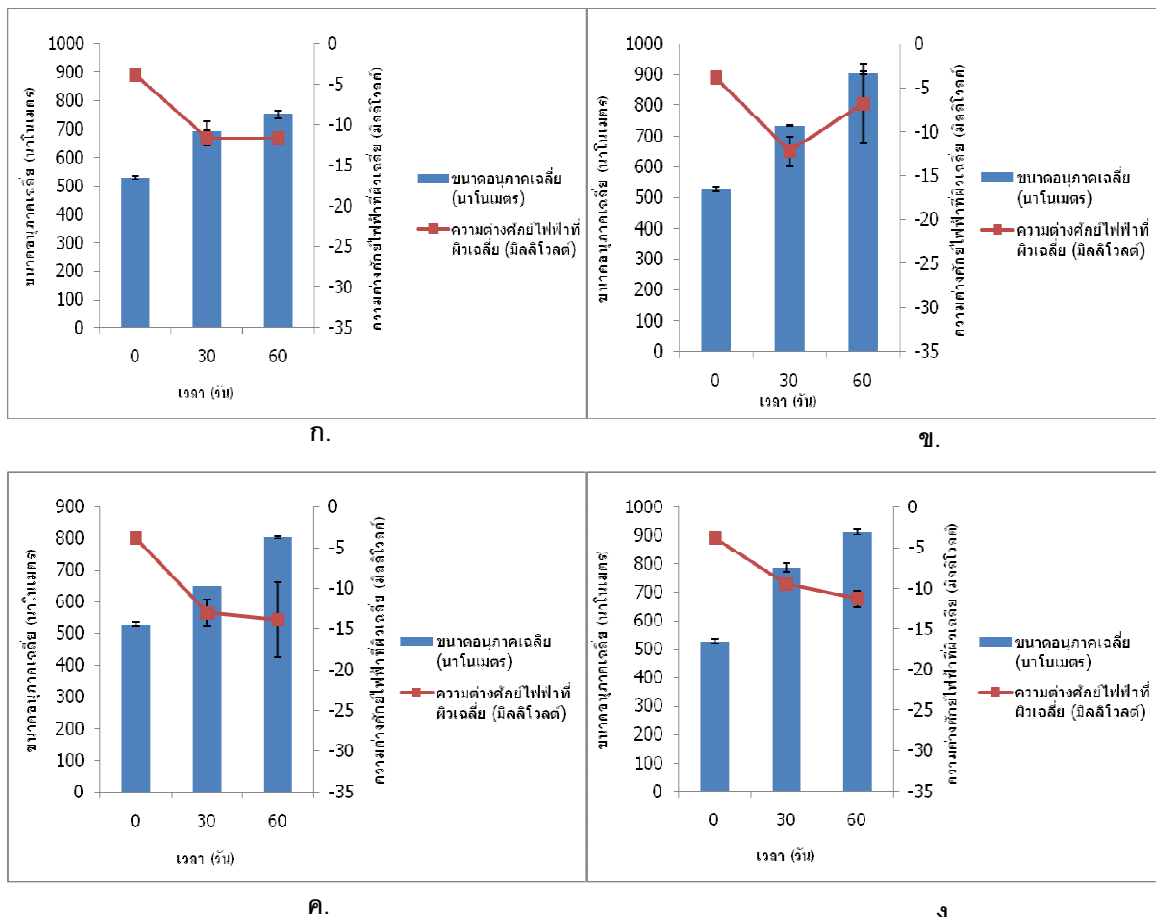


รูปที่ 4.6 ขนาดเฉลี่ยและความต่างศักย์ไฟฟ้าที่ผิวของอนุภาคในชิ้น ปมที่ 4 ภาวะต่างๆ ที่ 4 องศาเซลเซียส ก. สารละลายพอสเฟตบัฟเฟอร์ 0.02 มิลลาร์ pH 4 เกลือโซเดียมคลอไรด์ร้อยละ 0.5 ข. สารละลายพอสเฟตบัฟเฟอร์ 0.02 มิลลาร์ pH 4 เกลือโซเดียมคลอไรด์ร้อยละ 1 ค. สารละลายพอสเฟตบัฟเฟอร์ 0.02 มิลลาร์ pH 7 เกลือโซเดียมคลอไรด์ร้อยละ 0.5 ง. สารละลายพอสเฟตบัฟเฟอร์ 0.02 มิลลาร์ pH 7 เกลือโซเดียมคลอไรด์ร้อยละ 1

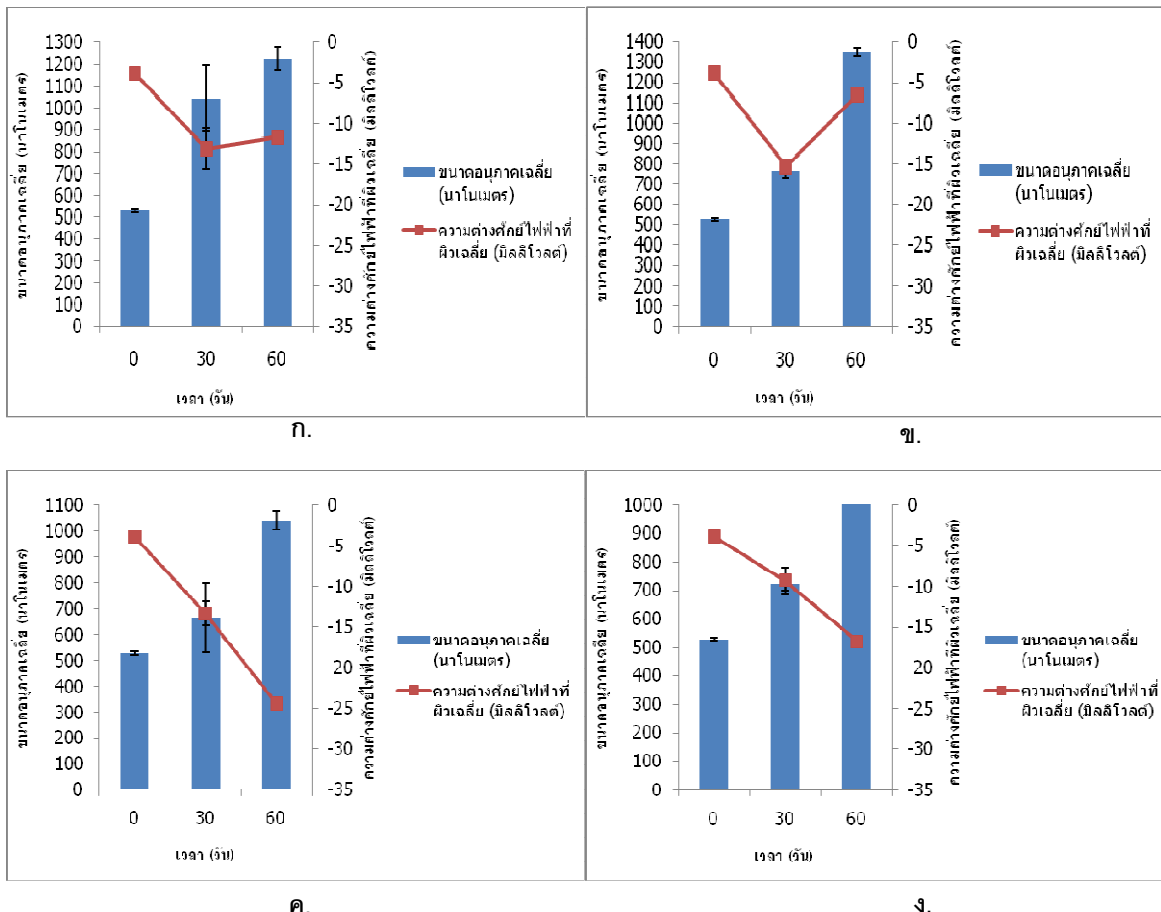


รูปที่ 4.7 ขนาดเฉลี่ยและความต่างศักย์ไฟฟ้าที่ผิวของอนุภาคในชิ้นบ่มที่ภาวะต่างๆ ที่อุณหภูมิห้อง ก. สารละลายน้ำฟอสเฟตบัฟเฟอร์ 0.02 มิลลาร์ pH 4 เกลือโซเดียมคลอไรด์ร้อยละ 0.5 ข. สารละลายน้ำฟอสเฟตบัฟเฟอร์ 0.02 มิลลาร์ pH 4 เกลือโซเดียมคลอไรด์ร้อยละ 1 ค. สารละลายน้ำฟอสเฟตบัฟเฟอร์ 0.02 มิลลาร์ pH 7 เกลือโซเดียมคลอไรด์ร้อยละ 0.5 ง. สารละลายน้ำฟอสเฟตบัฟเฟอร์ 0.02 มิลลาร์ pH 7 เกลือโซเดียมคลอไรด์ร้อยละ 1

สำหรับขนาดอนุภาคและความต่างศักย์ไฟฟ้าที่ผิวของอนุภาคนาโนชนิดไนโมันแข็งที่บรรจุกรดแลคติกในวันที่ 0 ของการทดลองขนาดอนุภาค เท่ากับ 537.58 ± 9.40 นาโนเมตร ส่วนความต่างศักย์ไฟฟ้าที่ผิว เท่ากับ -7.51 ± 5.01 มิลลิโวลต์ เมื่อปั่นในสารละลายฟอสเฟตบัฟเฟอร์ 0.02 มิลลาร์ pH 4 ที่มีเกลือโซเดียมคลอไรด์ร้อยละ 0.5 ที่ 4 องศาเซลเซียส ที่ 4 องศาเซลเซียส พบว่าในวันที่ 30 และ 60 ของการทดลอง ขนาดอนุภาคและความต่างศักย์ไฟฟ้าที่ผิว มีการเปลี่ยนแปลงไม่แตกต่างกันคือ 692.33 ± 33.13 และ 751.93 ± 13.41 นาโนเมตร ส่วนค่าความต่างศักย์ไฟฟ้าจะไม่แตกต่างกันคือ -11.60 ± 0.95 และ -11.63 ± 0.45 มิลลิโวลต์ (รูปที่ 4.8ก.) และที่อุณหภูมิห้องขนาดของอนุภาค จะเปลี่ยนแปลง เมื่อเปรียบเทียบกับวันที่ 0 ของการทดลอง คือ $1,043 \pm 150.51$ และ $1,226.23 \pm 51.31$ นาโนเมตร และค่าความต่างศักย์ไฟฟ้าที่ผิวจะมีค่าลดลง คือ -13.10 ± 2.52 และ -11.70 ± 0.75 มิลลิโวลต์ (รูปที่ 4.9ก.) สำหรับ ปั่นอนุภาคในสารละลายฟอสเฟตบัฟเฟอร์บัฟเฟอร์ 0.02 มิลลาร์ pH 4 ที่มีเกลือโซเดียมคลอไรด์ร้อยละ 1 ที่ 4 องศาเซลเซียส และอุณหภูมิห้องนั้น ขนาดอนุภาคจะมีการเปลี่ยนแปลงเพียงเล็กน้อย คือ มีขนาดใหญ่ขึ้น ส่วนค่าความต่างศักย์ไฟฟ้าที่ผิวพบว่า ที่ 4 องศาเซลเซียส มีค่าลดลง 2 เท่า คือ -12.23 ± 1.95 และ -6.83 ± 0.41 มิลลิโวลต์ ส่วนที่ อุณหภูมิห้องมีค่า เท่ากับ -15.33 ± 0.15 และ -6.48 ± 0.70 มิลลิโวลต์ ในวันที่ 30 และ 60 ของการทดลอง ตามลำดับ (รูปที่ 4.8ข. และรูปที่ 4.9ข.) ปั่นอนุภาคในสารละลายฟอสเฟตบัฟเฟอร์บัฟเฟอร์ 0.02 มิลลาร์ pH 7 ที่มีเกลือโซเดียมคลอไรด์ร้อยละ 0.5 พบร่วมกับขนาดอนุภาคในวันที่ 60 ของการทดลองจะแตกต่างกัน ระหว่างที่ 4 องศาเซลเซียส และอุณหภูมิห้อง โดยที่ 4 องศาเซลเซียส มีขนาดอนุภาค 804.16 ± 4.06 นาโนเมตร อุณหภูมิห้องมีขนาดอนุภาค $1,043.03 \pm 36.98$ นาโนเมตร (รูปที่ 4.8ค. และรูปที่ 4.9ค.) ปั่นอนุภาคในสารละลายฟอสเฟตบัฟเฟอร์บัฟเฟอร์ 0.02 มิลลาร์ pH 7 ที่มีเกลือโซเดียมคลอไรด์ร้อยละ 1 ขนาดอนุภาคจะมีขนาดใหญ่ขึ้น ที่ 4 องศาเซลเซียส และอุณหภูมิห้อง ส่วนค่าความต่างศักย์ไฟฟ้า จะมีค่าเพิ่มขึ้นทั้ง 2 อุณหภูมิ (รูปที่ 4.8ง. และรูปที่ 4.9ง.)



รูปที่ 4.8 ขนาดเฉลี่ยและความต่างศักย์ไฟฟ้าที่ผิวของอนุภาคกรดแลคติก บ่มที่ภาวะต่างๆ ที่ 4 ของสา เชลเชียส ก. สารละลายนอกสเปตบัฟเฟอร์ 0.02 มิลลาร์ pH 4 เกลือโซเดียมคลอไรด์ร้อยละ 0.5 ข. สารละลายนอกสเปตบัฟเฟอร์ 0.02 มิลลาร์ pH 4 เกลือโซเดียมคลอไรด์ร้อยละ 1 ค. สารละลายนอกสเปตบัฟเฟอร์ 0.02 มิลลาร์ pH 7 เกลือโซเดียมคลอไรด์ร้อยละ 0.5 ง. สารละลายนอกสเปตบัฟเฟอร์ 0.02 มิลลาร์ pH 7 เกลือโซเดียมคลอไรด์ร้อยละ 1

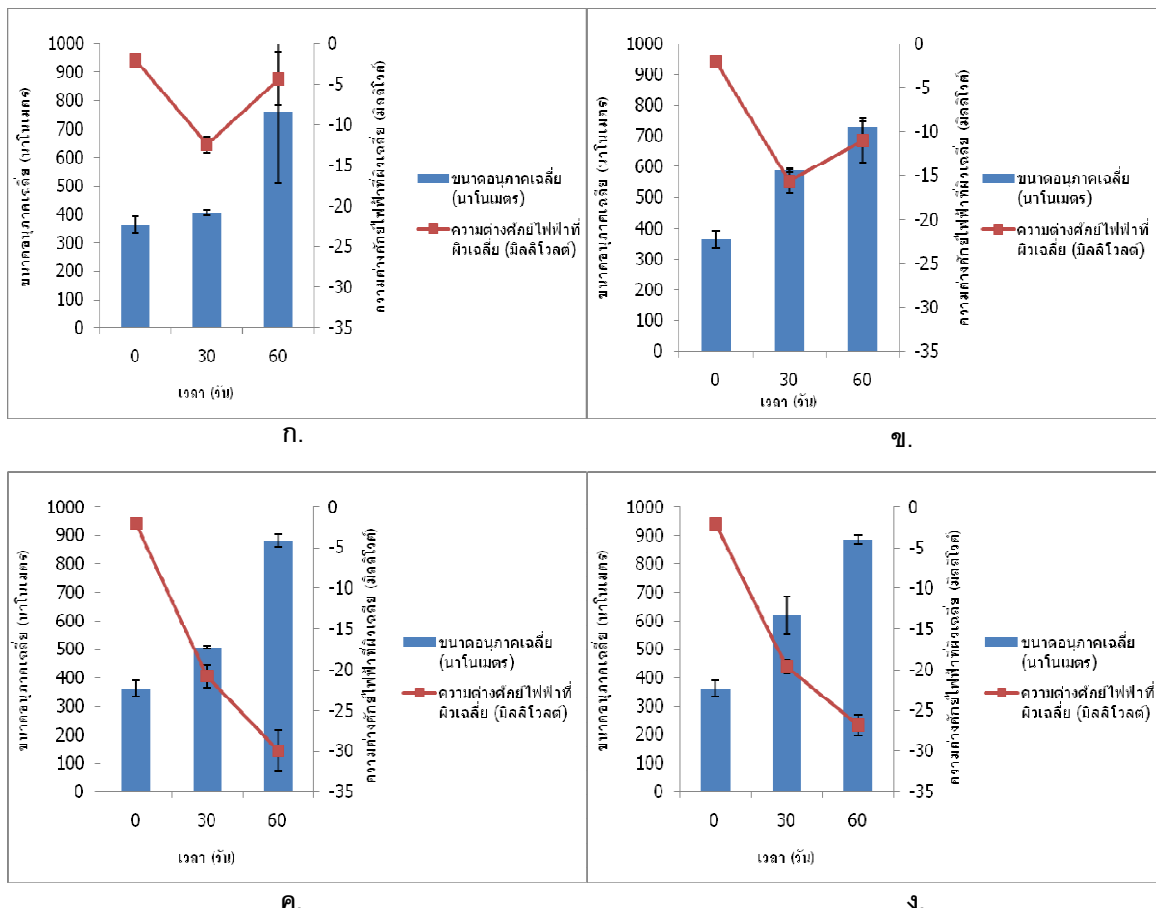


รูปที่ 4.9 ขนาดเจลลี่และความต้านทานต่อการหักดิบฟีฟายที่ผิวของอนุภาคกรดแลคติก บ่มที่ภาวะต่างๆ ที่อุณหภูมิห้อง.

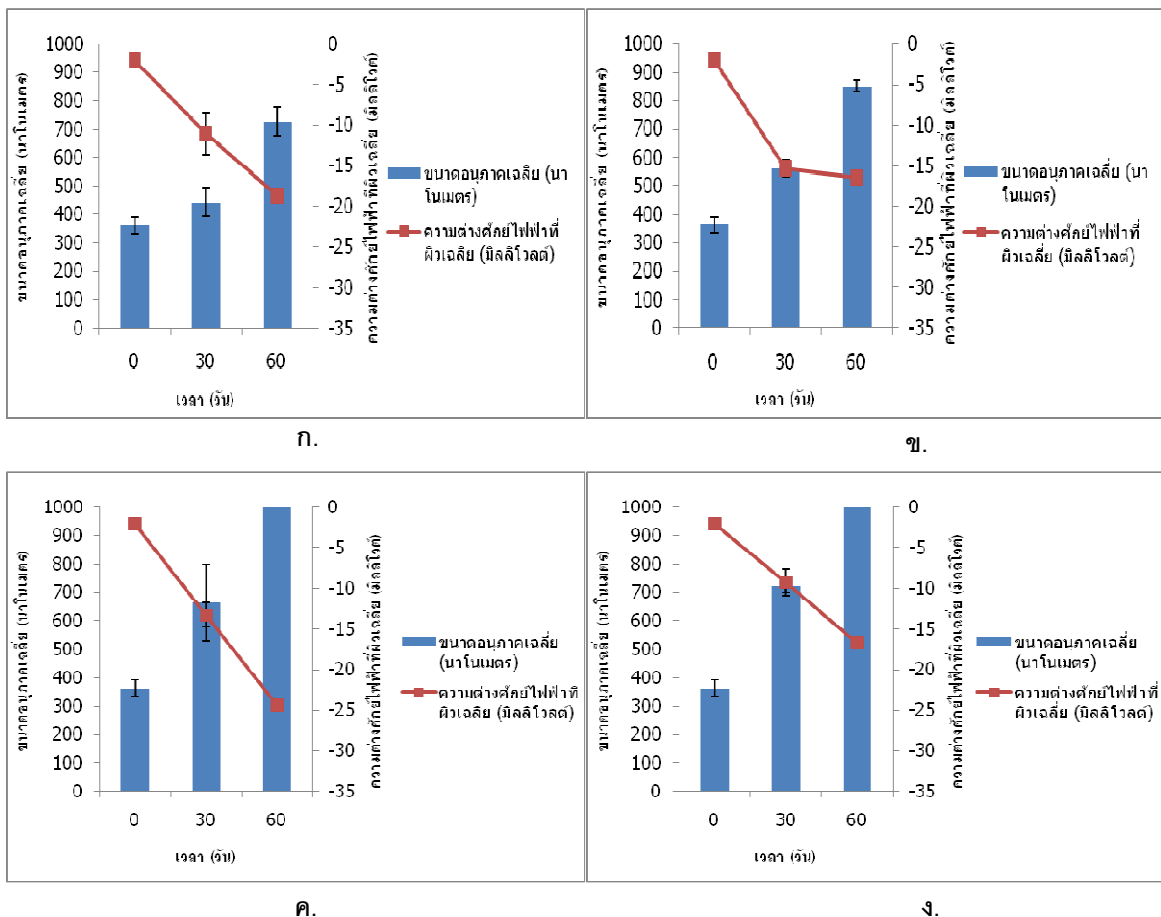
สารละลายนอกสเปตบัฟเฟอร์ 0.02 มิลลาร์ pH 4 เกลือโซเดียมคลอไรด์ร้อยละ 0.5 ช. สารละลายนอกสเปตบัฟเฟอร์ 0.02 มิลลาร์ pH 4 เกลือโซเดียมคลอไรด์ร้อยละ 1 ค. สารละลายนอกสเปตบัฟเฟอร์ 0.02 มิลลาร์ pH 7 เกลือโซเดียมคลอไรด์ร้อยละ 0.5 ง. สารละลายนอกสเปตบัฟเฟอร์ 0.02 มิลลาร์ pH 7 เกลือโซเดียมคลอไรด์ร้อยละ 1

ขนาดอนุภาคและความต่างศักย์ไฟฟ้าที่ผิวของอนุภาคนาโนชนิดไอกมันแข็งที่บรรจุในชินร่วมกับกรดแลคติกในวันที่ 0 ของการทดลองขนาดอนุภาค เท่ากับ 395.18 ± 14.53 นาโนเมตร ส่วนความต่างศักย์ไฟฟ้าที่ผิว เท่ากับ -5.49 ± 2.54 มิลลิโวลต์ เมื่อปั๊มอนุภาคนาโนชนิดไอกมันแข็งในสารละลายฟอสเฟตบัฟเฟอร์ 0.02 มิลาร์ pH 4 ที่มีเกลือโซเดียมคลอไรด์ร้อยละ 0.5 พบร่วมที่ 4 องศาเซลเซียส และที่อุณหภูมิห้อง ขนาดของอนุภาคจะมีขนาดใหญ่ขึ้นเพียงเล็กน้อยในวันที่ 30 ของการทดลอง คือ 405.83 ± 9.80 และ 443.10 ± 50.51 นาโนเมตร (รูปที่ 4.10ก. และรูปที่ 4.11ก.) เมื่อปั๊มอนุภาคร่วมกับสารละลายฟอสเฟตบัฟเฟอร์ 0.02 มิลาร์ pH 4 ที่มีเกลือโซเดียมคลอไรด์ร้อยละ 1 ให้ผลการทดลองที่คล้ายคลึงกันทั้งที่ 4 องศาเซลเซียส และที่อุณหภูมิห้อง พบร่วมมีขนาดใหญ่ขึ้น เมื่อเทียบกับวันที่ 0 ของการทดลอง ส่วนค่าความต่างศักย์ไฟฟ้าที่ผิว ที่ 4 องศาเซลเซียส จะพบร่วงจะมีค่าลดลง คือ -15.63 ± 1.10 และ -11.01 ± 2.17 มิลลิโวลต์ (รูปที่ 4.10ช. และรูปที่ 4.11ช.) และเมื่อเมื่อปั๊มอนุภาคในสารละลายฟอสเฟตบัฟเฟอร์ pH 7 ที่มีเกลือโซเดียมคลอไรด์ร้อยละ 0.5 และร้อยละ 1 ที่ 4 องศาเซลเซียส และที่อุณหภูมิห้อง พบร่วง ขนาดและค่าความต่างศักย์ไฟฟ้าที่ผิว จะมีค่าเพิ่มขึ้น เมื่อเทียบกับวันที่ 0 ของการทดลอง (รูปที่ 4.10ค. ถึง 4.11ค. ถึง)

ผลการทดลองทั้งหมดนี้จะเห็นได้ว่า ขนาดอนุภาคนาโนชนิดไอกมันแข็งทั้ง 4 ชนิด ในทุกวาระ จะมีขนาดใหญ่ขึ้นส่งผลทำให้ค่าความต่างศักย์ไฟฟ้าที่ผิวเพิ่มขึ้นนั้น จึงเป็นสาเหตุทำให้อนุภาคจับกลุ่มกันมากขึ้น

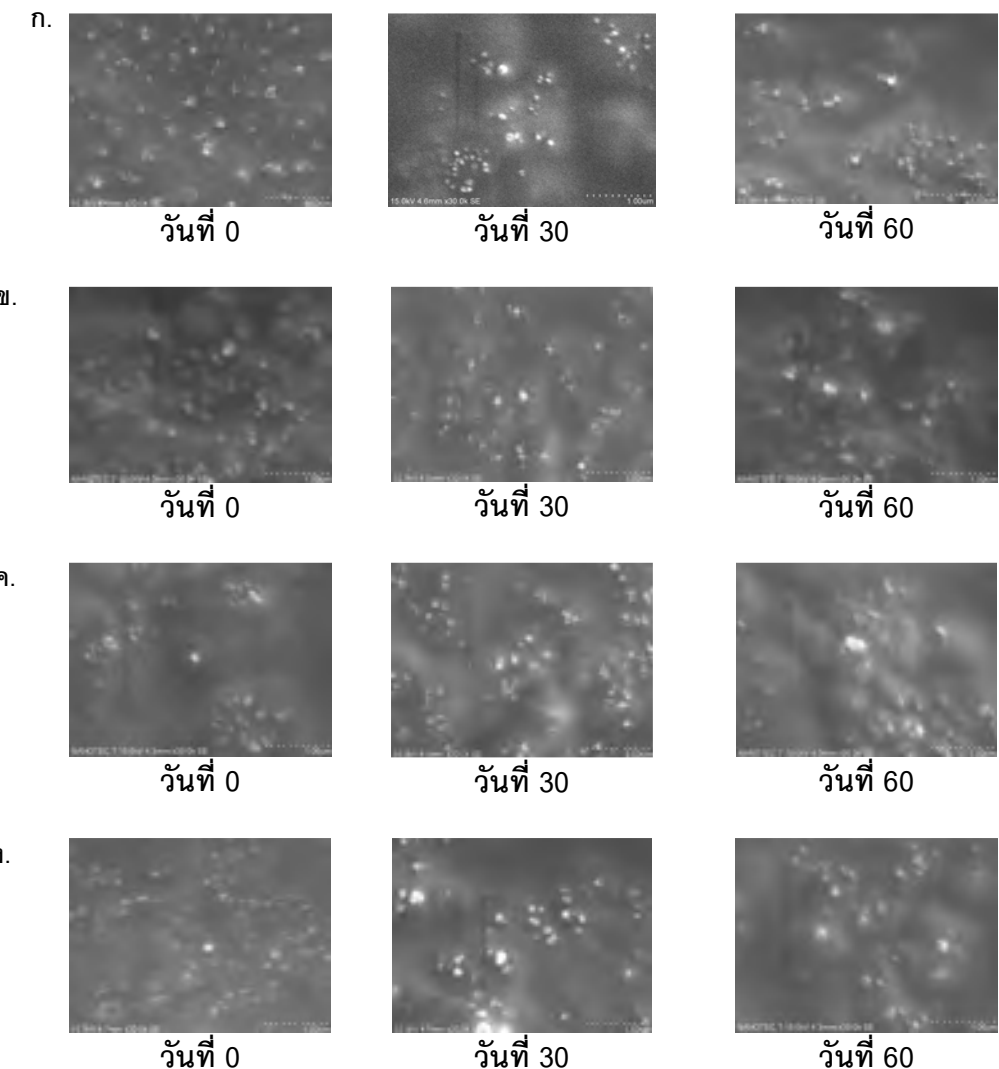


รูปที่ 4.10 ขนาดเฉลี่ยและความต่างศักย์ไฟฟ้าที่ผิวของอนุภาคนี้ในขั้นแรกและลดลง บ่มที่ภาวะต่างๆ ที่ 4 องค์การเชลเชียส ก. สารละลายนอกสเปตบัฟเฟอร์ 0.02 มิลลาร์ pH 4 เกลือโซเดียมคลอไรด์ร้อยละ 0.5 ช. สารละลายนอกสเปตบัฟเฟอร์ 0.02 มิลลาร์ pH 4 เกลือโซเดียมคลอไรด์ร้อยละ 1 ค. สารละลายนอกสเปตบัฟเฟอร์ 0.02 มิลลาร์ pH 7 เกลือโซเดียมคลอไรด์ร้อยละ 0.5 ง. สารละลายนอกสเปตบัฟเฟอร์ 0.02 มิลลาร์ pH 7 เกลือโซเดียมคลอไรด์ร้อยละ 1

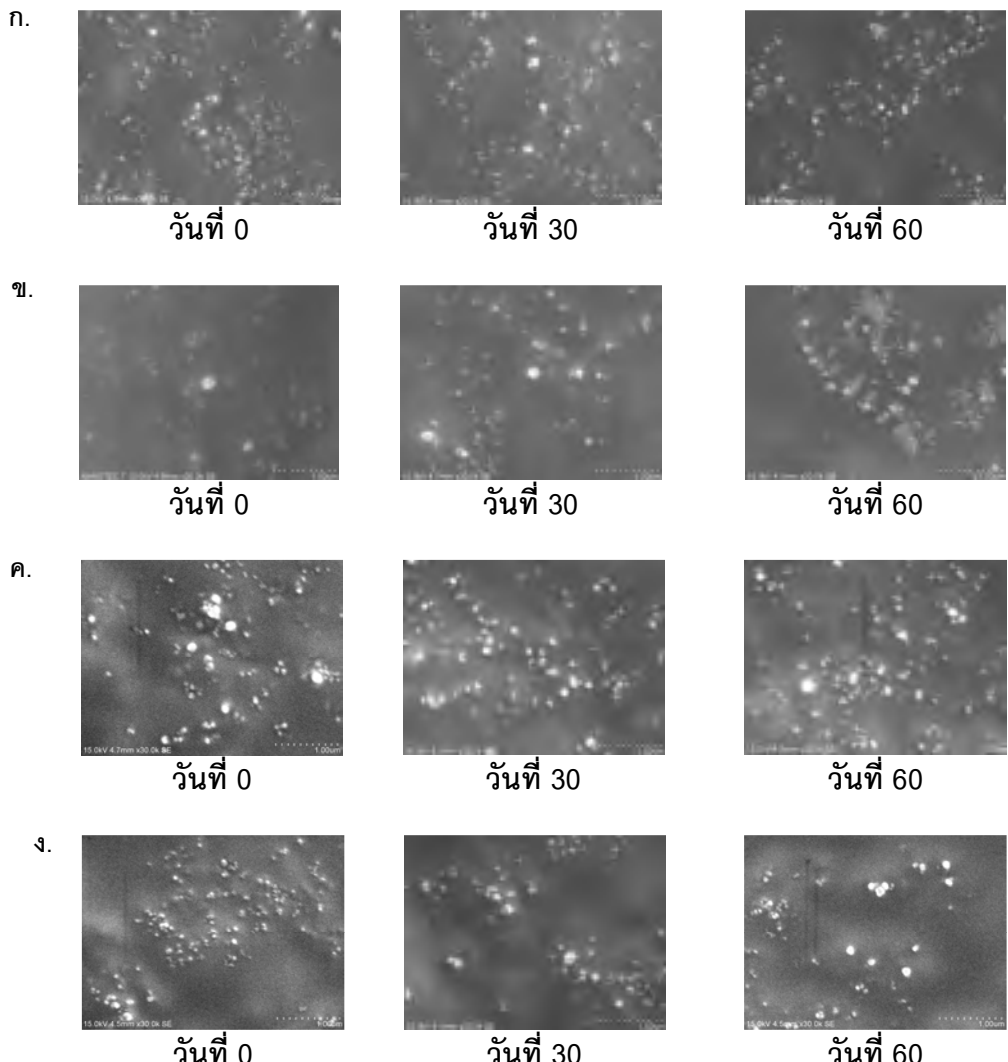


รูปที่ 4.11 ขนาดเดียวกันและความต่างศักย์ไฟฟ้าที่ผิวของอนุภาคไนโตรและกรดแลคติก บ่มที่ภาวะต่างๆ ที่อุณหภูมิห้อง ก. สารละลายนอกสเปตบัฟเฟอร์ 0.02 มิลลิอาร์ pH 4 เกลือโซเดียมคลอไรด์ร้อยละ 0.5 ข. สารละลายนอกสเปตบัฟเฟอร์ 0.02 มิลลิอาร์ pH 4 เกลือโซเดียมคลอไรด์ร้อยละ 1 ค. สารละลายนอกสเปตบัฟเฟอร์ 0.02 มิลลิอาร์ pH 7 เกลือโซเดียมคลอไรด์ร้อยละ 0.5 ง. สารละลายนอกสเปตบัฟเฟอร์ 0.02 มิลลิอาร์ pH 7 เกลือโซเดียมคลอไรด์ร้อยละ 1

จากผลการศึกษาลักษณะสัมฐานวิทยาของอนุภาคนาโนชนิดไขมันแข็งที่ไม่บรรจุสารออกฤทธิ์ ที่บรรจุในชิน กรดแลคติก หรือในชินร่วมกับกรดแลคติก ด้วยกล้องอิเล็กทรอนแบบส่องกราด พบว่าลักษณะรูปร่างของอนุภาคมีการเปลี่ยนแปลงขนาดอนุภาคเพียงเล็กน้อย ซึ่งผลการทดลองของอนุภาคทั้ง 4 ชนิด มีลักษณะการเปลี่ยนแปลงไปในทิศทางเดียวกัน คือ มีลักษณะรูปร่างกลมเป็นผลึกไขมัน พื้นผิวเรียบ ซึ่งขนาดของอนุภาคจะมีลักษณะใหญ่ขึ้นเมื่อบ่มถึงวันที่ 60 ของการทดลอง ยกตัวอย่าง เช่น อนุภาคนาโนชนิดไขมันแข็งที่บรรจุในชินร่วมกับกรดแลคติกในภาวะต่างๆ (รูปที่ 4.12 ถึง 4.13)



รูปที่ 4.12 อนุภาคนาโนชนิดไขมันแข็งที่บรรจุในชิ้นร่วมกับกรดแลคติกบ่มที่ 4 องศาเซลเซียส ก. สารละลายนอกสเปตบัฟเฟอร์ 0.02 มิลลาร์ pH 4 เกลือโซเดียมคลอไรด์ร้อยละ 0.5 ข. สารละลายนอกสเปตบัฟเฟอร์ 0.02 มิลลาร์ pH 4 เกลือโซเดียมคลอไรด์ร้อยละ 1 ค. สารละลายนอกสเปตบัฟเฟอร์ 0.02 มิลลาร์ pH 7 เกลือโซเดียมคลอไรด์ร้อยละ 0.5 ง. สารละลายนอกสเปตบัฟเฟอร์ 0.02 มิลลาร์ pH 7 เกลือโซเดียมคลอไรด์ร้อยละ 1



รูปที่ 4.13 อนุภาคนาโนชนิดไนโมันแข็งที่บรรจุในชิ้นร่วมกับกรดแลคติกบ่ม ที่อุณหภูมิห้อง ก. สารละลายนอกสเปตบัฟเฟอร์ 0.02 มิลลาร์ pH 4 เกลือโซเดียมคลอไรด์ร้อยละ 0.5 ข. สารละลายนอกสเปตบัฟเฟอร์ 0.02 มิลลาร์ pH 4 เกลือโซเดียมคลอไรด์ร้อยละ 1 ค. สารละลายนอกสเปตบัฟเฟอร์ 0.02 มิลลาร์ pH 7 เกลือโซเดียมคลอไรด์ร้อยละ 0.5 ง. สารละลายนอกสเปตบัฟเฟอร์ 0.02 มิลลาร์ pH 7 เกลือโซเดียมคลอไรด์ร้อยละ 1

4.4 หาระยะเวลาที่ในชิ้นและกรดแลคติกออกจากอนุภาคนาโนชนิดไขมันแข็งที่บรรจุในชิ้น กรดแลคติก หรือในชิ้นร่วมกับกรดแลคติก

นำอนุภาคนาโนชนิดไขมันแข็งที่ไม่ได้บรรจุสารที่บรรจุในชิ้น กรดแลคติก หรือในชิ้นร่วมกับกรดแลคติก นำมาผสานกับอาหาร PYG จากนั้นแบ่งใส่หลอดทดลองสำหรับอุณหภูมิ 4 และ 25 องศาเซลเซียส ที่มีอนุภาคนาโนชนิดไขมันแข็งละลายอยู่และสารออกฤทธิ์อิสระละลายอยู่ทำการเก็บตัวอย่างทุกๆ 3 วันในช่วง 14 วันแรก และทุกๆ 7 วันในช่วงหลังจากวันที่ 15 เป็นต้นไป บ่มเป็นเวลา 3 เดือน ทุกๆ ครั้งของการเก็บตัวอย่างจะเติม *L. monocytogenes* DMST 17303 หรือ *E. coli* ATCC 25922 ซึ่งการทดลองนี้เป็นการหาระยะเวลาที่ในชิ้นและกรดแลคติกถูกปลดปล่อยออกจากอนุภาคนาโนชนิดไขมันแข็งที่บรรจุในชิ้น กรดแลคติก หรือในชิ้นร่วมกับกรดแลคติกเปรียบเทียบกับการใช้ในชิ้น กรดแลคติก หรือในชิ้นร่วมกับกรดแลคติกอิสระต่อ *L. monocytogenes* DMST 17303 หรือ *E. coli* ATCC 25922 เป็นเวลานาน 93 วัน สำหรับอุณหภูมิ 4 องศาเซลเซียส และ 58 วัน สำหรับอุณหภูมิห้อง โดยชุดควบคุม คือ ชุดการทดลองที่ไม่ได้เติมอนุภาคนาโนชนิดไขมันแข็งที่ไม่บรรจุสารออกฤทธิ์ที่เติม *L. monocytogenes* DMST 17303 หรือ *E. coli* ATCC 25922

ผลการทดสอบแยกหิวตีชีวภาพในการยับยั้ง *L. monocytogenes* DMST 17303 ที่ 4 องศาเซลเซียส ในวันที่ 5 ของการทดลอง พบร้าในชิ้นอิสระ สามารถยับยั้งการเจริญของเชื้อทดสอบได้เป็นอย่างมีประสิทธิภาพ โดยสามารถลดปริมาณ *L. monocytogenes* DMST 17303 จนไม่สามารถตรวจพบเชื้อทดสอบได้ แต่ในชิ้นร่วมกับกรดแลคติกอิสระสามารถยับยั้งเชื้อได้ คือในวันที่ 15 ของการทดลองสามารถลดปริมาณเชื้อลงได้มากที่สุดประมาณร้อยละ 80 เมื่อเทียบกับชุดควบคุมในขณะที่กรดแลคติกอิสระนั้น ในช่วงวันที่ 1 ถึง 10 ของการทดลอง พบร้าสามารถลดปริมาณเชื้อได้ประมาณร้อยละ 60 แต่เมื่อเปรียบเทียบกับในชิ้น และในชิ้นร่วมกับกรดแลคติกอิสระ กรดแลคติก อิสระมีประสิทธิภาพในการยับยั้งเชื้อทดสอบได้น้อยที่สุด สำหรับการทดลองที่ใช้อนุภาคนาโนชนิดไขมันแข็งบรรจุในชิ้น กรดแลคติก หรือในชิ้นร่วมกับกรดแลคติกนั้น ในช่วง 30 วันแรกของการทดลอง พบร้าอนุภาคนาโนชนิดไขมันแข็งทั้ง 3 ชนิดจะลดการเจริญของเชื้อทดสอบ ซึ่งลดปริมาณลงประมาณร้อยละ 40 สำหรับช่วงจากวันที่ 30 ของการทดลองเป็นต้นไป พบร้าอนุภาคนาโนชนิดไขมันแข็งทั้ง 3 ชนิดสามารถลดปริมาณเชื้อทดสอบลงประมาณร้อยละ 40 ถึง 60 เมื่อเทียบกับชุดควบคุม โดยเฉพาะอนุภาคนาโนชนิดไขมันแข็งที่บรรจุในชิ้นเพียงอย่างเดียว สามารถยับยั้งการเจริญของ *L. monocytogenes* DMST 17303 ได้มากที่สุด คือร้อยละ 80 และให้เห็นว่าในชิ้นถูกปลดปล่อยออกจาكونุภาคนาโนชนิดไขมันแข็งได้อย่างต่อเนื่อง และสะสมเพิ่มมากขึ้นสามารถยับยั้งการเจริญของเชื้อทดสอบได้กว่าอนุภาคนาโนชนิดไขมันแข็งที่บรรจุกรดแลคติก และที่บรรจุในชิ้นร่วมกับกรด

แลคติก ซึ่งค่าความเข้มข้นของไนชินที่น้อยที่สุด (MIC) ที่สามารถยับยั้งการเจริญของ *L. monocytogenes* DMST 17303 ได้คือ 1,000 IU ต่อมิลลิลิตร (หยกฤทธิ์ กุลวัฒนาล, 2551) แสดงให้เห็นว่าไนชินอาจจะถูกปลดปล่อยออกจากอนุภาคนาโนชนิดไขมันแข็งใกล้เคียงกับค่า MIC สำหรับอนุภาคนาโนชนิดไขมันแข็งที่บรรจุในชินร่วมกับ กรดแลคติกจะมีประสิทธิภาพในการยับยั้งเชื้อทดสอบได้ประมาณร้อยละ 70 เมื่อเทียบกับชุดควบคุม แสดงให้เห็นว่าไนชินและกรดแลคติกถูกปลดปล่อยออกจากอนุภาคนาโนชนิดไขมันแข็งอย่างช้าๆ และต่อเนื่อง ตั้งแสดงในรูปที่ 4.14g.

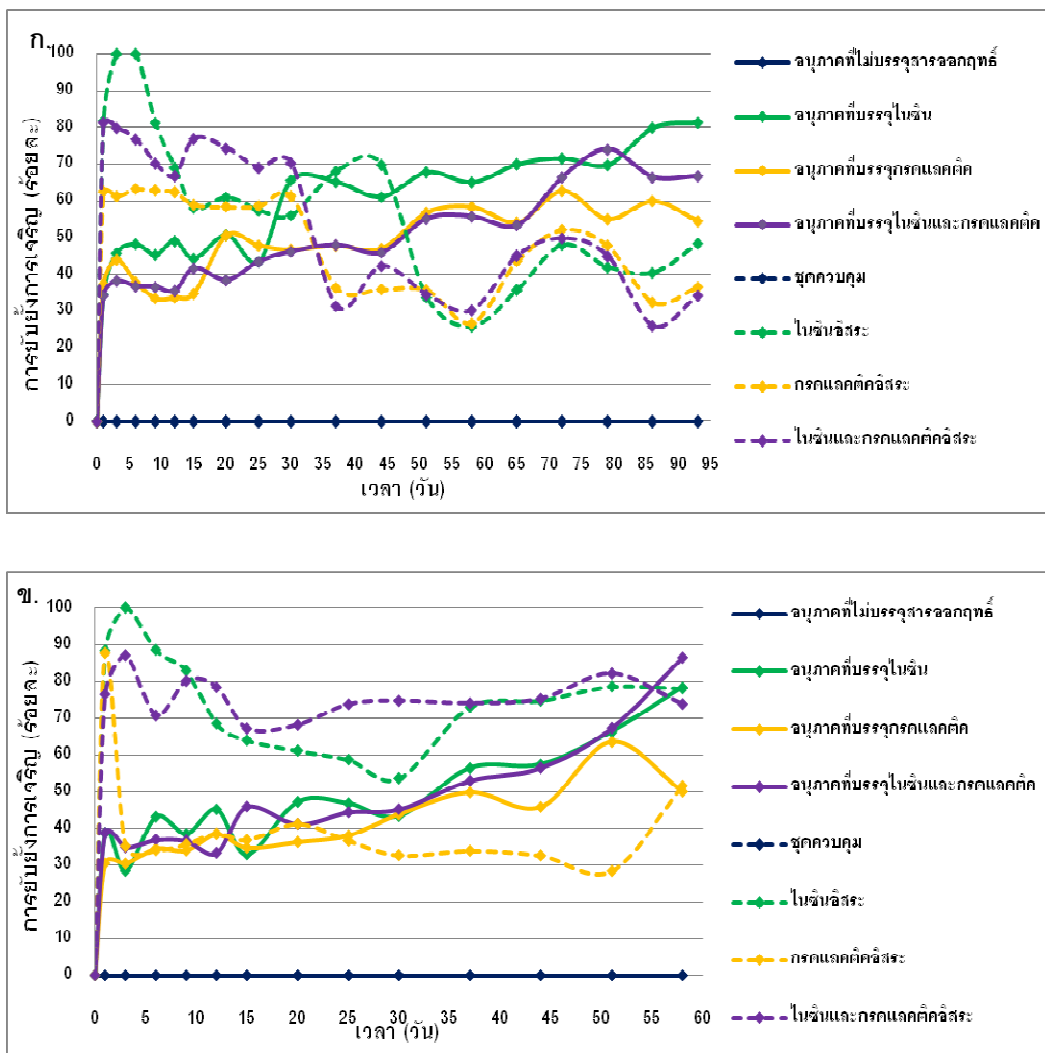
สำหรับเอกสารที่วิธีชีวภาพในการยับยั้ง *L. monocytogenes* DMST 17303 ที่อุณหภูมิห้องพบว่าในช่วง 1 ถึง 7 วันของการทดลองไนชินอิสระ และไนชินร่วมกับกรดแลคติกในรูปแบบอิสระนั้น จะให้ผลการยับยั้งเชื้อทดสอบได้ดีกว่าการใช้ออนุภาคนาโนชนิดไขมันแข็งที่บรรจุในชิน กรดแลคติก และไนชินร่วมกับกรดแลคติก ยกเว้นการใช้กรดแลคติกอิสระที่ให้ผลการยับยั้งที่ใกล้เคียงกับอนุภาคนาโนทั้ง 3 ชนิด ในขณะที่อนุภาคนาโนชนิดไขมันแข็งที่บรรจุในชิน กรด แลคติก และไนชินร่วมกับกรดแลคติกในช่วง 30 วันแรกของการทดลองจะให้ผลการยับยั้งเชื้อที่ใกล้เคียงกัน คืออนุภาคนาโนทั้ง 3 ชนิด สามารถยับยั้ง *L. monocytogenes* DMST 17303 ประมาณร้อยละ 40 เมื่อเทียบกับชุดควบคุม แต่หลังจากวันที่ 30 ของการทดลองเป็นต้นไป จะเห็นได้ว่าสามารถยับยั้งเชื้อทดสอบได้อย่างมีประสิทธิภาพ และสามารถแยกออกทิศทางการยับยั้งเชื้อได้นานตลอดระยะเวลาที่ใช้ในการทดลอง 58 วัน แสดงให้เห็นว่าไนชินและกรดแลคติกถูกปลดปล่อยออกจากอนุภาคนาโนชนิดไขมันแข็งอย่างช้าๆ และสะสมเพิ่มมากขึ้นจนสามารถยับยั้งเชื้อทดสอบได้อย่างมีประสิทธิภาพ ตั้งแสดงในรูปที่ 4.14 ฯ.

สำหรับผลการทดลองที่ใช้ *E. coli* ATCC 25922 ที่ 4 องศาเซลเซียส พบร้าไนชิน กรดแลคติก หรือไนชินร่วมกับกรดแลคติกอิสระ จะสามารถยับยั้ง *E. coli* ATCC 25922 ตีก่าไว้ในชิน กรดแลคติก หรือไนชินร่วมกับกรดแลคติกบรรจุในอนุภาคนาโนชนิดไขมันแข็ง โดยพบว่าการใช้ไนชินอิสระจะสามารถยับยั้ง *E. coli* ATCC 25922 ได้เพียงเล็กน้อย คือทำให้เชื้อลดปริมาณลงได้ประมาณร้อยละ 30 เมื่อเทียบกับชุดควบคุม แต่หลังจากวันที่ 30 ของการทดลองเป็นต้นไป ในชินอิสระจะมีประสิทธิภาพในการยับยั้งเชื้อทดสอบลดลง จะเห็นได้ว่าปริมาณเชื้อจะเพิ่มมากขึ้นเรื่อยๆ จนถึงวันที่ 75 ของการทดลอง ในขณะที่การใช้ออนุภาคนาโนชนิดไขมันแข็งที่บรรจุในชินร่วมกับกรดแลคติก จะสามารถเพิ่มประสิทธิภาพยับยั้งการเชื้อทดสอบได้ดีที่สุดคือสามารถยับยั้งเชื้อทดสอบได้ตั้งแต่วันที่ 35 ของการทดลอง และคงแยกทิวิธีชีวภาพในการยับยั้งเชื้อทดสอบได้ตลอดระยะเวลา 93 วัน ซึ่งไนชินและกรดแลคติกจะถูกปลดปล่อยออกจากอนุภาคนาโนชนิดไขมันแข็งอย่างต่อเนื่องจนสะสมในปริมาณที่มากพอที่ยับยั้งเชื้อทดสอบ โดยค่า MIC ของไนชินคือ 1,000 IU ต่อมิลลิลิตร และค่า MIC ของกรดแลคติกคือ 500 ไมโครลิตรต่อมิลลิลิตร (หยกฤทธิ์ กุลวัฒนาล, 2551) โดยไนชินและกรดแลคติกจะคงความสามารถในการยับยั้งเชื้อทดสอบได้ตั้งแต่วันที่ 35 ของการทดลองจนถึงวันที่ 93 ตามที่แสดงในรูปที่ 4.14h.

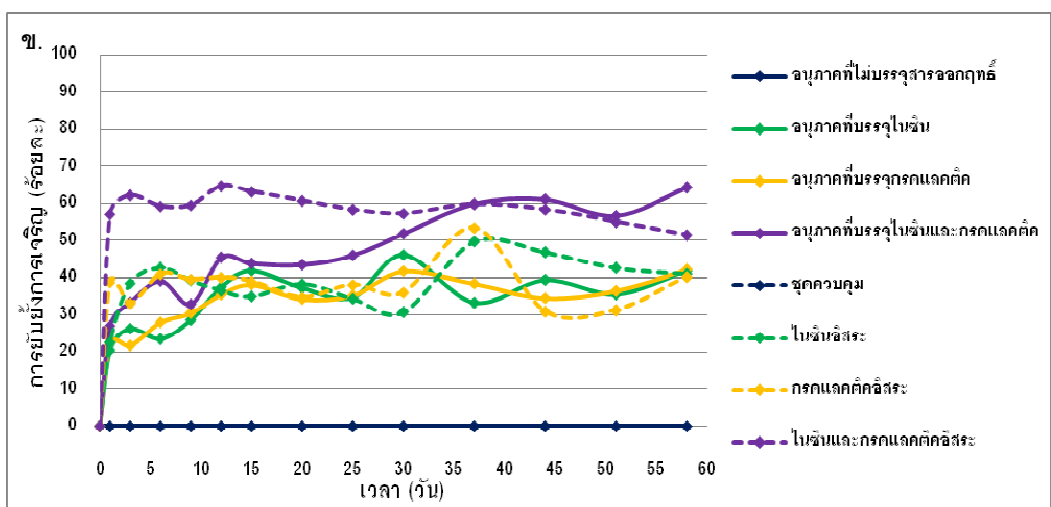
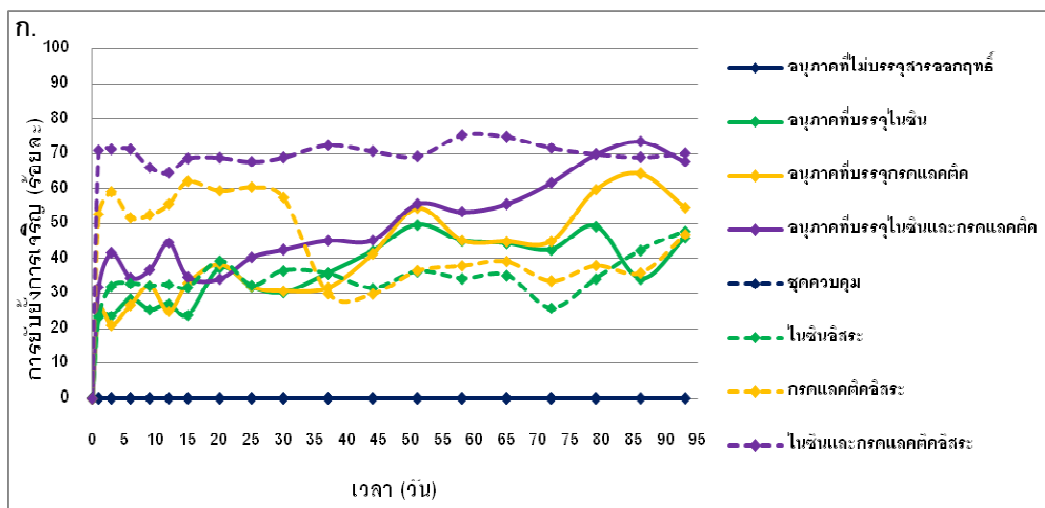
คติคณาจารย์กับผลปล่อยออกจากการอนุภาคนาโนชนิดไขมันแข็งอย่างข้าว จนสะสมในปริมาณมากพอที่ใกล้เคียงกับค่า MIC ส่วนอนุภาคนาโนชนิดไขมันแข็งที่บรรจุในชิ้นเพียงอย่างเดียวจะสามารถยับยั่งเชื้อทดสอบได้เพียงร้อยละ 50 เมื่อเทียบกับชุดควบคุม ซึ่งค่า MIC ของในชิ้นต่อ *E. coli* ATCC 25922 คือ 10,000 IU ต่อมิลลิลิตร ซึ่งเป็นความเข้มข้นที่สูง จึงทำให้สามารถยับยั่งเชื้อทดสอบได้เพียงบางส่วนเท่านั้น ดังแสดงในรูปที่ 4.15ก.

สำหรับเอกสารหิวตีชีวภาพในการยับยั่ง *E. coli* ATCC 25922 ที่อุณหภูมิห้องนั้น พบร่วมกับกรดแลคติก และในชิ้นร่วมกับกรดแลคติกในรูปแบบอิสระ ให้ผลการยับยั่งเชื้อได้เมื่อตักเมื่อเทียบกับการทดลองที่ 4 องศาเซลเซียส และในชิ้นร่วมกับกรดแลคติกอิสระคือสามารถลดปริมาณเชื้อทดสอบได้มากประมาณร้อยละ 60 เมื่อเทียบกับชุดควบคุม ตั้งแต่วันที่ 1 ของการทดลอง และสามารถแยกหิวตีการยับยั่งเชื้อได้นานตลอดระยะเวลาที่ใช้ในการทดลอง 93 วัน เมื่อเทียบกับชุดควบคุม แต่หลังจากวันที่ 30 เป็นต้นไป พบร่วมสิทธิภาพการยับยั่งเชื้อของอนุภาคนาโนชนิดไขมันแข็งบรรจุในชิ้นร่วมกับกรดแลคติกมีประสิทธิภาพในการยับยั่งเชื้อเพิ่มขึ้นเรื่อยๆ โดยในช่วงวันที่ 1 ถึง 15 ของการทดลอง จะกดการเจริญของเชื้อทดสอบ ส่วนวันที่ 15 ถึง 30 ของการทดลองเชื้อทดสอบจะมีการลดปริมาณอย่างข้าว และต่อเนื่อง และในช่วงส่วนวันที่ 30 ถึง 60 ของการทดลอง พบร่วมสามารถยับยั่งเชื้อทดสอบได้ประมาณร้อยละ 60 เมื่อเทียบกับชุดควบคุม แสดงให้เห็นในชิ้นและกรดแลคติกถูกปลดปล่อยออกจากอนุภาคนาโนชนิดไขมันแข็ง จนสะสมมากขึ้นและใกล้เคียงกับค่า MIC จึงทำให้มีประสิทธิภาพในการยับยั่ง *E. coli* ATCC 25922 ดังแสดงในรูปที่ 4.15خ.

สำหรับเมื่อพิจารณาเอกสารหิวตีชีวภาพในการยับยั่งเชื้อทดสอบของอนุภาคนาโนชนิดไขมันแข็งบรรจุในชิ้น พบร่วมสามารถยับยั่ง *L. monocytogenes* DMST 17303 ได้ดีกว่า *E. coli* ATCC 25922 ทั้งใน 4 องศาเซลเซียส และที่อุณหภูมิห้อง โดยเฉพาะอย่างยิ่งที่ 4 องศาเซลเซียส ส่วนอนุภาคนาโนชนิดไขมันแข็งที่บรรจุกรดแลคติก พบร่วมสามารถยับยั่งเชื้อทดสอบได้เพียงเล็กน้อยเท่านั้น ทั้งใน 4 องศาเซลเซียส และที่อุณหภูมิห้อง สำหรับอนุภาคนาโนชนิดไขมันแข็งที่บรรจุในชิ้นร่วมกับกรดแลคติก พบร่วม สามารถยับยั่ง *L. monocytogenes* DMST 17303 และ *E. coli* ATCC 25922 ได้ดีและสามารถประสิทธิภาพการยับยั่งเชื้อทดสอบได้ดีกว่าการใช้ในรูปแบบอิสระ โดยเฉพาะหลังจากวันที่ 30 ของการทดลองเป็นต้นไป พบร่วมอนุภาคนาโนชนิดไขมันแข็งบรรจุทั้ง 3 ชนิดจะให้ผลการยับยั่งเชื้อทดสอบได้ดีขึ้น คือทำให้เชื้อมีปริมาณค่อนข้างลดลง นั่นแสดงให้เห็นถึงในชิ้นและกรดแลคติกถูกปลดปล่อยออกจากอนุภาคอย่างข้าว และอย่างต่อเนื่อง จนสะสมในปริมาณใกล้เคียงกับค่า MIC จึงทำให้สามารถยับยั่งเชื้อทดสอบได้อย่างมีประสิทธิภาพ



รูปที่ 4.14 ระยะเวลาที่ในเชื้อและกากแอลกอฮอล์ติดต่อภูเขาปลดปล่อยออกจากอนุภาคนาโนชนิดที่มันแข็งบราวน์
สารออกฤทธ์ที่ียบกับสารออกฤทธ์อิสระ ทดสอบกับ *L. monocytogenes* DMST 17303
ก. ที่ 4 องศาเซลเซียส และ ข. ที่อุณหภูมิห้อง



รูปที่ 4.15 ระยะเวลาที่ในน้ำแข็งและกรดแลคติกออกฤทธิ์ต้านทานเชื้อ E. coli ATCC 25922 ที่ 4 องศาเซลเซียส และ ข. ที่คุณหกมินห้อง

4.5 ทดสอบประสิทธิภาพในการยับยั้งแบคทีเรียของอนุภาชนะในชนิดไขมันแข็งที่บรรจุในชิน กรดแลคติก หรือในชินร่วมกับกรดแลคติกในอาหารเลี้ยงเชื้อ PYG

นำอนุภาชนะในชนิดไขมันแข็งที่บรรจุในชิน กรดแลคติก ในชินร่วมกับกรดแลคติก ในชินอิสระ กรดแลคติกอิสระ และกรดแลคติกร่วมกับกรดแลคติกอิสระผสมกับอาหารเลี้ยงเชื้อ PYG เติม *L. monocytogenes* DMST 17303 หรือ *E. coli* ATCC 25922 ในอาหาร PYG จากนั้นแบ่งใส่หลอดทดลองป้องปลดล็อกเชื้อ หลอดละ 2.5 มิลลิลิตร แบ่งการทดลองเป็น 2 ชุด ชุดที่ 1 บ่มที่อุณหภูมิ 4 องศาเซลเซียส และชุดที่ 2 บ่มที่อุณหภูมิห้อง เป็นระยะเวลา 60 วัน

ผลการทดสอบประสิทธิภาพในการยับยั้ง *L. monocytogenes* DMST 17303 หรือ *E. coli* ATCC 25922 ของอนุภาชนะในชนิดไขมันแข็งที่ไม่บรรจุสารออกฤทธิ์ที่บรรจุในชิน กรดแลคติก หรือ ในชินร่วมกับกรดแลคติก เปรียบเทียบกับการใช้ในชิน กรดแลคติก หรือในชินร่วมกับกรดแลคติกอิสระ เป็นเวลา 60 วัน ที่ 4 องศาเซลเซียส และอุณหภูมิห้อง ซึ่งชุดควบคุม คือ ชุดการทดลองที่ไม่ได้เติมอนุภาชนะในชนิดไขมันแข็งที่ไม่บรรจุสารออกฤทธิ์ที่เติม *L. monocytogenes* DMST 17303 หรือ *E. coli* ATCC 25922

พบว่าเอกสารที่ชี้วิธีการทดสอบประสิทธิภาพในการยับยั้ง *L. monocytogenes* DMST 17303 ในวันที่ 1 ถึง 7 วัน ของการทดลองที่ 4 องศาเซลเซียส ของในชิน และในชินร่วมกับกรดแลคติกอิสระ พบว่าสามารถยับยั้งการเจริญของ *L. monocytogenes* DMST 17303 ได้เป็นอย่างรวดเร็ว คือ ไม่สามารถตรวจพบเชื้อทดสอบได้ แต่สามารถยับยั้งเชื้อได้นานถึง 15 วันของการทดลอง เมื่อเทียบกับชุดควบคุม ส่วนกรดแลคติกอิสระและอนุภาชนะในชนิดไขมันแข็งที่บรรจุกรดแลคติกนั้น สามารถยับยั้งเชื้อทดสอบได้เพียงเล็กน้อย ประมาณ 2 ถึง 4 logCFU ต่อมิลลิลิตร เมื่อเทียบกับชุดควบคุม สำหรับการทดสอบที่ใช้อนุภาชนะในชนิดไขมันแข็งที่บรรจุในชิน และในชินร่วมกับกรดแลคติก พบว่า ในระยะเวลา 1 ถึง 45 วันของการทดลองนั้นสามารถยับยั้งเชื้อทดสอบได้โดยเชื้อจะลดปริมาณลงอย่างช้าๆ ประมาณ 4 logCFU ต่อมิลลิลิตร เมื่อเทียบกับชุดควบคุมแต่วันที่ 45 ถึง 55 วันของการทดลอง พบว่าอนุภาชนะในชนิดไขมันแข็งที่บรรจุในชิน และในชินร่วมกับกรดแลคติกสามารถยับยั้งเชื้อทดสอบได้ โดยปริมาณเชื้อทดสอบจะค่อยๆ ลดจำนวนลงจนไม่สามารถตรวจพบได้ ในวันที่ 56 ถึง 60 วันของการทดลองดังแสดงในรูปที่ 4.16 ก.

สำหรับเอกสารที่ชี้วิธีการทดสอบประสิทธิภาพในการยับยั้ง *L. monocytogenes* DMST 17303 ที่อุณหภูมิห้องนั้น พบว่า ในชิน และในชินร่วมกับกรดแลคติกอิสระสามารถยับยั้งเชื้อทดสอบได้เป็นอย่างดี โดยลดปริมาณ *L. monocytogenes* DMST 17303 จนไม่สามารถตรวจพบได้ภายในวันที่ 3 และ 7 ของการทดลองตามลำดับ จากนั้นเชื้อทดสอบจะเพิ่มปริมาณขึ้นประมาณ 4 logCFU ต่อมิลลิลิตร จนถึงวันที่

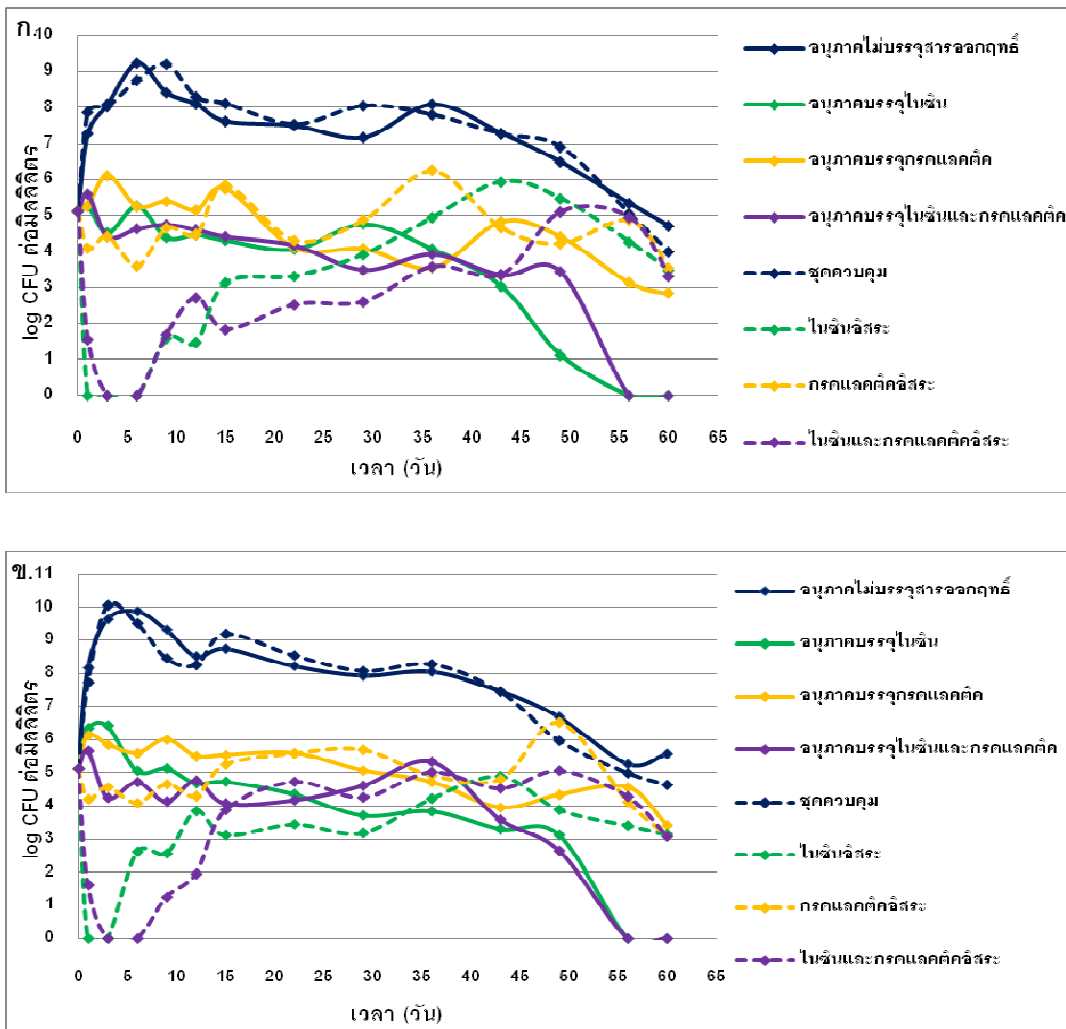
60 วันของการทดลอง และการดแลคติกอิสระและอนุภาคนาโนชนิดไขมันแข็งที่บรรจุกรดแลคติกจะให้ผลการทดสอบคล้ายกับที่ 4 องคชาเซลเชียส คือ สามารถยับยั้งเชื้อทดสอบได้เพียงเล็กน้อย ส่วนการทดสอบที่ใช้ออนุภาคนาโนชนิดไขมันแข็งที่บรรจุในชิน และในชินร่วมกับกรดแลคติกนั้น พบร่วางวันที่ 1 ถึง 15 วันของการทดลองไม่สามารถยับยั้งเชื้อได้เท่ากับในชิน และในชินร่วมกับกรดแลคติก อิสระได้แต่หลังจากวันที่ 15 วันของการทดลองเป็นต้นไปเชื้อทดสอบจะค่อยๆ ลดปริมาณลงประมาณ 5 logCFU ต่อมิลลิตร และลดลงจนไม่สามารถตรวจพบได้ ในวันที่ 56 ถึง 60 ของการทดลอง ดังแสดงในรูปที่ 4.16x.

สำหรับแบคทีเรียชีวภาพในการยับยั้ง *E. coli* ATCC 25922 ที่ 4 องคชาเซลเชียสนั้น พบร่วางวัน การดแลคติกอิสระ และในชินร่วมกับกรดแลคติกอิสระ สามารถยับยั้งเชื้อทดสอบได้ดีในวันที่ 1 ถึง 3 วันของการทดลอง โดยเชื้อมีชีวิตродประมาณ 4 logCFU ต่อมิลลิลิตร สำหรับในชิน และกรดแลคติก อิสระ และประมาณ 2.5 logCFU ต่อมิลลิลิตร สำหรับในชินร่วมกับกรดแลคติก และคงแบคทีเรียชีวภาพในการยับยั้งได้ถึงวันที่ 15 ของการทดลอง แต่จะยับยั้ง *L. monocytogenes* DMST 17303 ได้อย่างมีประสิทธิภาพมากกว่า *E. coli* ATCC 25922 จากนั้นเชื้อทดสอบจะเพิ่มปริมาณขึ้นจนถึงวันที่ 50 ของการทดลอง แต่อย่างไรก็ตามพบว่าการใช้ในชินอิสระเพียงหรือกรดแลคติกอิสระจะไม่สามารถยับยั้ง *E. coli* ATCC 25922 ได้ เมื่อใช้ในชินร่วมกับกรดแลคติกจะสามารถลดปริมาณเชื้อทดสอบได้ดีขึ้น เมื่อเปรียบเทียบกับในชิน และกรดแลคติกอิสระ สำหรับอนุภาคนาโนชนิดไขมันแข็งที่บรรจุในชิน กรดแลคติก และในชินร่วมกับกรดแลคติก พบร่วางวันซึ่งทางของกราฟทดลองจะสามารถยับยั้งเชื้อทดสอบได้เพียงเล็กน้อย เมื่อเทียบกับในรูปอิสระ ส่วนซึ่งหลังของการทดลองเชื้อทดสอบจะลดปริมาณลงประมาณ 5 logCFU ต่อมิลลิลิตร แต่อนุภาคนาโนชนิดไขมันแข็งที่บรรจุในชินร่วมกับกรดแลคติก ในช่วงหลังของการทดลองสามารถยับยั้ง *E. coli* ATCC 25922 ได้อย่างประสิทธิภาพ และสามารถคงแบคทีเรียชีวภาพในการยับยั้ง *E. coli* ATCC 25922 ได้ตลอดการทดลอง ดังแสดงในรูปที่ 4.17g.

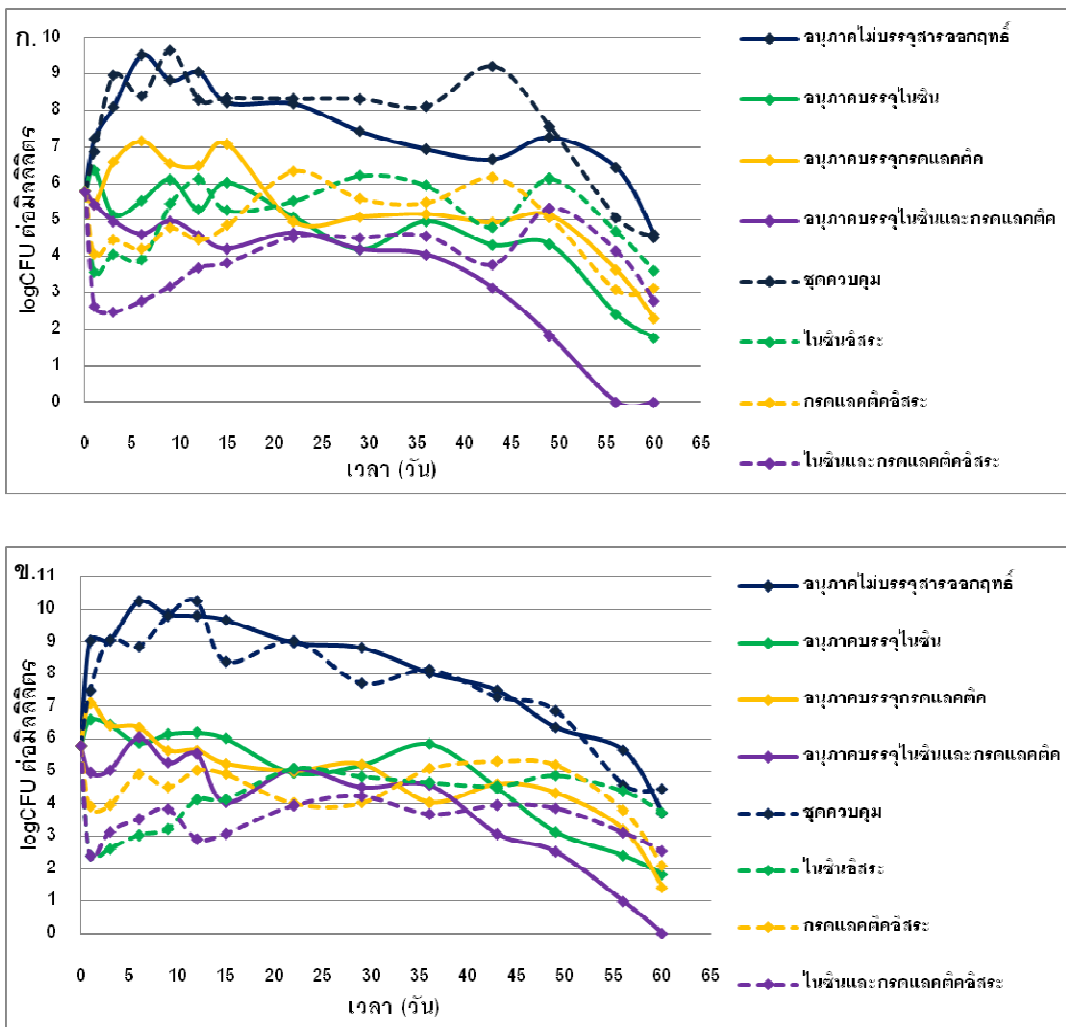
ส่วนแบคทีเรียชีวภาพในการยับยั้ง *E. coli* ATCC 25922 ที่อุณหภูมิห้องนั้น ผลการทดลองจะคล้ายกับแบคทีเรียชีวภาพที่ 4 องคชาเซลเชียส คือ ในชิน กรดแลคติกอิสระ และในชินร่วมกับกรดแลคติกอิสระ จะยับยั้งเชื้อทดสอบได้ดีในช่วงวันที่ 1 ถึง 5 ของการทดสอบ หลังจากวันที่ 5 ของการทดลองเป็นต้นไป เชื้อทดสอบจะค่อยๆ เพิ่มปริมาณขึ้นจนถึงวันที่ 60 ของการทดลอง ส่วนอนุภาคนาโนชนิดไขมันแข็งที่บรรจุในชิน และในชินร่วมกับกรดแลคติกนั้น พบร่วางวันที่ 1 ถึง 35 วันของการทดลองจะสามารถยับยั้งเชื้อทดสอบได้เพียงเล็กน้อยเมื่อเปรียบเทียบกับในรูปอิสระ ส่วนหลังจากวันที่

35 วันของการทดลอง พบร่วม เชื้อทดสوبค่ออย่างลดจำนวนลง จนไม่สามารถตรวจพบได้ แสดงให้เห็นถึงประสิทธิภาพการยับยั้ง *E. coli* ATCC 25922 ดังแสดงในรูปที่ 4.17ฯ.

จากการทดลองจะพบว่า例外ที่วิตีชีวภาพในการยับยั้งเชื้อทดสوبทั้ง 2 ชนิดของอนุภาคนาโนชนิดไขมันแข็งบรรจุในซินร่วมกับกรดแลคติก พบร่วม จะมีประสิทธิภาพในการยับยั้ง *L. monocytogenes* DMST 17303 และ *E. coli* ATCC 25922 ได้ดี ทั้งที่ 4 องศาเซลเซียส และอุณหภูมิห้อง และสามารถคงประสิทธิภาพการยับยั้งเชื้อทดสอบได้ดี ในขณะที่กรดแลคติกอิสระอนุภาคนาโนชนิดไขมันแข็งที่บรรจุกรดแลคติกนั้น สามารถยับยั้งเชื้อทดสอบได้เพียงเล็กน้อยเท่านั้น ส่วนอนุภาคนาโนชนิดไขมันแข็งที่บรรจุในซิน พบร่วม สามารถยับยั้ง *L. monocytogenes* DMST 17303 ได้ดีกว่า *E. coli* ATCC 25922 ทั้งใน 4 องศาเซลเซียส และที่อุณหภูมิห้อง



รูปที่ 4.16 การยับยั้ง *L. monocytogenes* DMST 17303 ของอนุภาคนาโนชนิดไขมันแข็งบรรจุสารออกฤทธิ์
เทียบกับสารออกฤทธิ์อ่อน化 ก. ที่ 4 องศาเซลเซียส และ ๖. ที่อุณหภูมิห้อง



รูปที่ 4.17 การยับยั้ง *E. coli* ATCC 25922 ของอนุภาคนาโนชนิดไขมันแข็งบรรจุสารออกฤทธิ์เทียบกับสารอออกฤทธิ์ชีสรา ก. ที่ 4 องศาเซลเซียส และ ข. ที่ อุณหภูมิห้อง

4.6 ทดสอบประสิทธิภาพในการยับยั้งแบคทีเรียของอนุภาชนะในชนิดไขมันแข็งที่บรรจุ

ในชิ้น กรดแลคติก หรือในชิ้นร่วมกับกรดแลคติกในนม UHT ชนิดจีดหรือนมพร่องมันเนย นำอนุภาชนะในชนิดไขมันแข็งที่บรรจุในชิ้น กรดแลคติก ในชิ้นร่วมกับกรดแลคติก ในชิ้นอิสระ กรดแลคติกอิสระ และกรดแลคติกร่วมกับกรดแลคติกอิสระ ผสมกับนม UHT จากนั้นเติม *L. monocytogenes* DMST 17303 หรือ *E. coli* ATCC 25922 ในนม UHT และแบ่งใส่หลอดทดลอง ปลดล็อก เชือก หลอดละ 2.5 มิลลิลิตร แบ่งการทดลองเป็น 2 ชุด ชุดที่ 1 บ่มที่อุณหภูมิ 4 องศาเซลเซียส และชุดที่ 2 บ่มที่อุณหภูมิห้อง เป็นระยะเวลา 60 วัน

ผลการทดสอบประสิทธิภาพในการยับยั้ง *L. monocytogenes* DMST 17303 หรือ *E. coli* ATCC 25922 ของอนุภาชนะในชนิดไขมันแข็งที่ไม่บรรจุสาร ในชิ้น กรดแลคติก หรือในชิ้นร่วม กับกรดแลคติก เปรียบเทียบกับการใช้ในชิ้น กรดแลคติก หรือในชิ้นร่วมกับกรดแลคติกอิสระ เป็นเวลา 60 วัน ที่ 4 องศาเซลเซียส ในนม UHT ชนิดจีด หรือพร่องมันเนย ซึ่งชุดควบคุม คือ นม UHT ชนิดจีด หรือพร่องมันเนยที่เติม *L. monocytogenes* DMST 17303 หรือ *E. coli* ATCC 25922

ผลการทดสอบ พบร่วมเอกทิวิตี้ชีวภาพในการยับยั้ง *L. monocytogenes* DMST 17303 วันที่ 1 ถึง 7 ของการทดลองในนม UHT ชนิดจีด ของในชิ้น และในชิ้นร่วมกับกรดแลคติกอิสระ พบร่วม สามารถยับยั้งการเจริญของ *L. monocytogenes* DMST 17303 ได้เป็นอย่างดี จนไม่สามารถตรวจพบได้เมื่อเทียบกับชุดควบคุม จากนั้นจะพบว่า เชือกทดสอบจะเพิ่มปริมาณขึ้นอย่างรวดเร็ว และต่อเนื่อง จนถึงวันที่ 50 ของการทดลอง สำหรับอนุภาชนะในชนิดไขมันแข็งที่บรรจุกรดแลคติกนั้น สามารถ ยับยั้งเชือกทดสอบได้เพียงเล็กน้อย ประมาณ 2 ถึง 3 logCFU ต่อมิลลิลิตร ส่วนอนุภาชนะในชนิดไขมัน แข็งที่บรรจุในชิ้น และในชิ้นร่วมกับกรดแลคติก พบร่วม ในระยะเวลา 1 ถึง 40 วันของการทดลองนั้น สามารถยับยั้งเชือกทดสอบได้โดยเชือกจะลดปริมาณลงอย่างช้าๆ แต่วันที่ 45 ถึง 55 วันของการทดลอง พบร่วมว่าสามารถยับยั้งเชือกทดสอบได้ โดยปริมาณเชือกทดสอบจะค่อยๆ ลดจำนวนลงจนไม่สามารถตรวจพบได้ ในวันที่ 56 ถึง 60 วันของการทดลองดังแสดงในรูปที่ 4.18ก.

ส่วนแยกทิวิตี้ชีวภาพในการยับยั้ง *L. monocytogenes* DMST 17303 ในนม UHT ชนิดพร่อง มันเนยจะให้ผลการทดลองในลักษณะเดียวกับการทดลองในนม UHT ชนิดจีด คือในช่วงแรกของการ ทดลองนั้น ในชิ้น และในชิ้นร่วมกับกรดแลคติกอิสระ สามารถยับยั้งเชือกทดสอบได้ตีกว่าอนุภาชนะ ในชนิดไขมันแข็งที่บรรจุในชิ้น และในชิ้นร่วมกับกรดแลคติก แต่เมื่อช่วงหลังของการทดลองพบว่า อนุภาชนะในชนิดไขมันแข็งที่บรรจุในชิ้น และในชิ้นร่วมกับกรดแลคติก สามารถยับยั้ง *L. monocytogenes* DMST 17303 ได้อย่างมีประสิทธิภาพดังแสดงในรูปที่ 4.19ก.

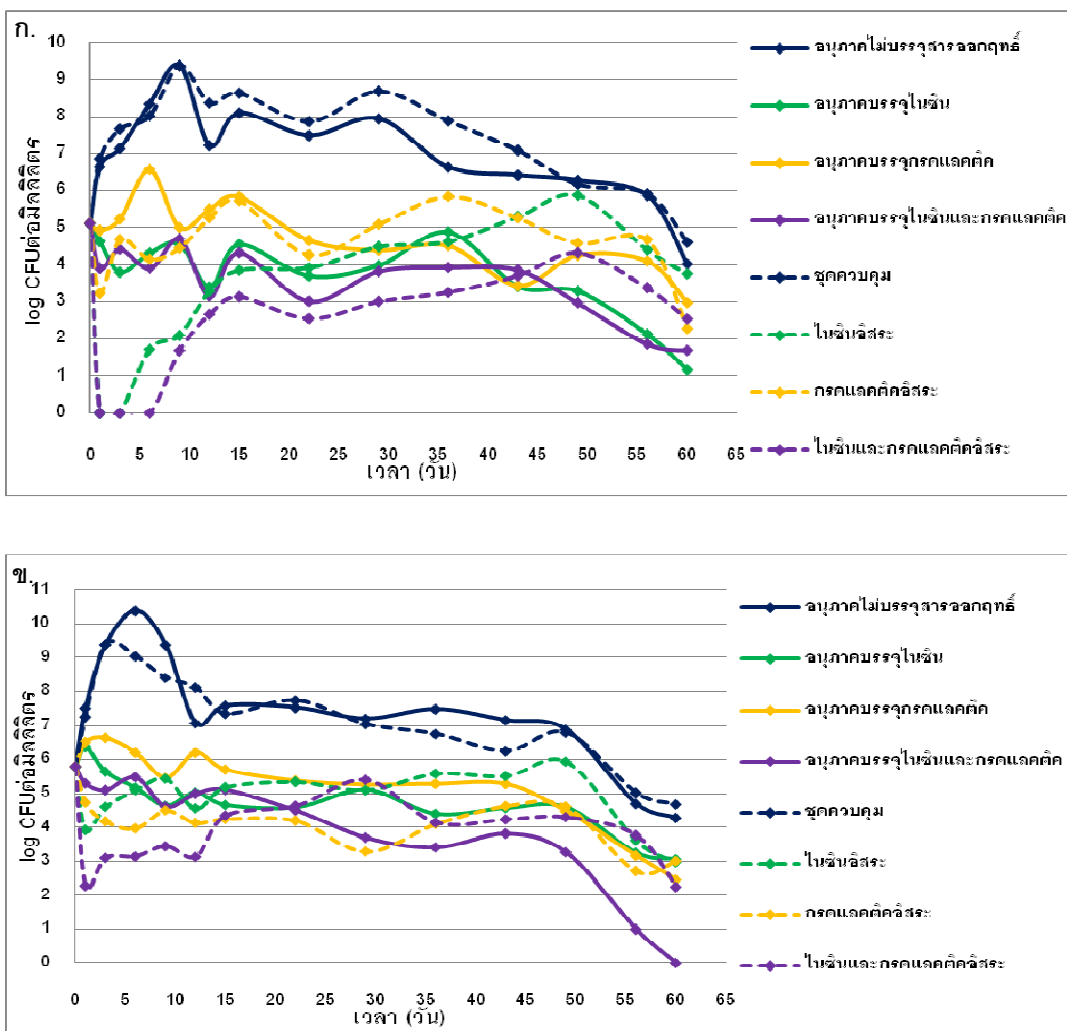
สำหรับผลการทดสอบ พบว่าแยกทิวตีชีวภาพในการยับยั้ง *E. coli* ATCC 25922 ในนม UHT ชนิดจีด จะให้ผลการทดลองคล้ายในการทดลองในอาหารเลี้ยงเชื้อ PYG คือ ในชิน และในชินร่วมกับกรดแอลกอติกอิสระ สามารถยับยั้งเชื้อทดสอบได้ดีแต่ประสิทธิภาพการยับยั้ง *L. monocytogenes* DMST 17303 จะดีกว่า กล่าวคือ ในวันที่ 1 ของการทดลอง สามารถลดปริมาณเชื้อลงประมาณ 4.0 และ 5.5 log CFUต่อมิลลิลิตร ตามลำดับ ส่วนในการยับยั้ง *L. monocytogenes* DMST 17303 จะเห็นได้ว่าสามารถยับยั้งเชื้อทดสอบนี้ไม่สามารถตรวจพบได้ หลังจากวันที่ 1 ของการทดลองเป็นต้นไป เชื้อทดสอบจะเพิ่มปริมาณขึ้นเรื่อยๆ จนถึงวันที่ 50 ของการทดลอง สำหรับกรดแอลกอติกอิสระ พบว่าสามารถยับยั้งเชื้อทดสอบได้ดีกว่าในชินอิสระ สามารถลดปริมาณเชื้อได้ลดคระยะเวลาของ การทดลอง ได้ประมาณ 4 ถึง 5 log CFUต่อมิลลิลิตร ส่วนอนุภาคนาโนชนิดไนโมันแข็งที่บรรจุในชิน กรดแอลกอติก และในชินร่วมกับกรดแอลกอติก พบว่า ในช่วงแรกของการทดลอง สามารถยับยั้งเชื้อทดสอบได้เพียงเล็กน้อย ส่วนช่วงวันที่ 45 ถึง 60 ของการทดลอง พบว่าเชื้อทดสอบลดปริมาณลง จนไม่สามารถตรวจพบได้ ดังแสดงในรูปที่ 4.18ฯ.

สำหรับแยกทิวตีชีวภาพในการยับยั้ง *E. coli* ATCC 25922 ในนม UHT ชนิดพร่องมันเนย จะให้ผลการทดลองคล้ายกับการทดลองในนม UHT ชนิดจีด พบว่าในชิน และกรดแอลกอติก ในระยะเวลา ทั้งหมดของการทดลองพบว่า สามารถยับยั้งเชื้อทดสอบได้เพียงเล็กน้อย ลดลงประมาณ 2 ถึง 3 log CFUต่อมิลลิลิตร ในขณะที่ในชินร่วมกับกรดแอลกอติกอิสระ สามารถยับยั้ง *E. coli* ATCC 25922 ได้ในช่วงวันที่ 1 ถึง 3 วันแรกของการทดลอง สามารถลดปริมาณเชื้อทดสอบได้ถึง 5 log CFUต่อมิลลิลิตร และหลังจากวันที่ 3 ของการทดลองเป็นต้นไป เชื้อทดสอบจะเพิ่มปริมาณขึ้นเรื่อยๆ จนถึงวันที่ 50 ของการทดลอง ส่วนอนุภาคนาโนชนิดไนโมันแข็งที่บรรจุในชิน และในชินร่วมกับกรดแอลกอติก พบว่าในช่วง 1 ถึง 5 วันแรกของการทดลอง เชื้อทดสอบจะลดปริมาณลงอย่างช้าๆ แต่เมื่อหลังจากวันที่ 15 ของการทดลอง พบว่าเชื้อทดสอบจะเพิ่มปริมาณขึ้นอย่างรวดเร็ว โดยเฉพาะวันที่ 20 ของการทดลอง ปริมาณของ *E. coli* ATCC 25922 ที่นับได้ คือ 4 ถึง 6 log CFUต่อมิลลิลิตร และหลังจากวันที่ 50 ของการทดลองสามารถยับยั้งเชื้อทดสอบได้อよ่างมีประสิทธิภาพ ขึ้นดังแสดงในรูปที่ 4.19ฯ.

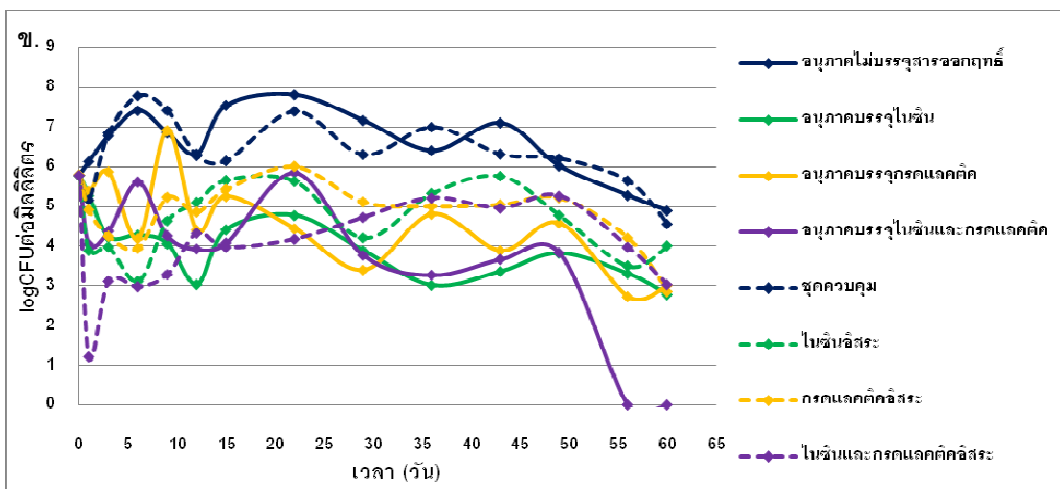
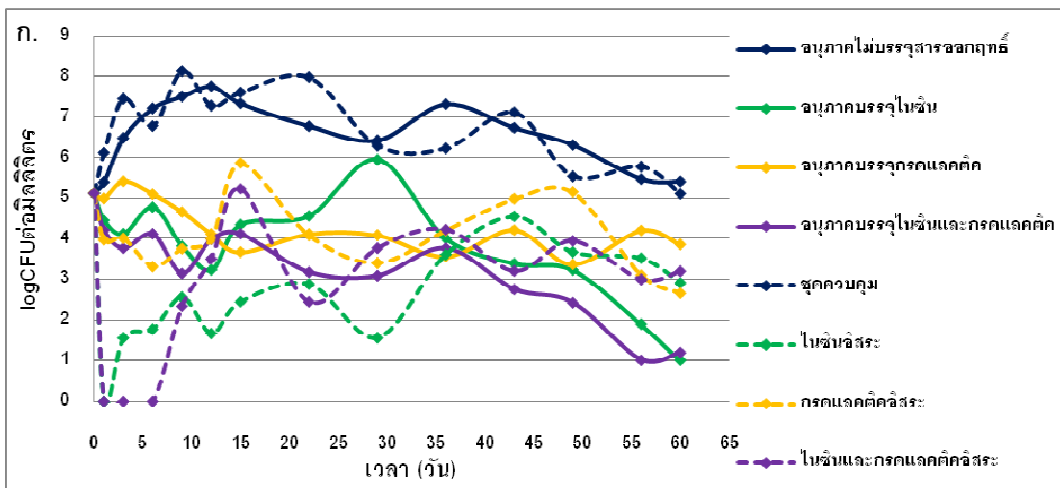
สำหรับแยกทิวตีชีวภาพในการยับยั้ง *L. monocytogenes* DMST 17303 และ *E. coli* ATCC 25922 ในนม UHT ชนิดจีด และพร่องมันเนย ของอนุภาคนาโนชนิดไนโมันแข็งที่บรรจุในชินร่วมกับกรดแอลกอติก พบว่า จะมีประสิทธิภาพในการยับยั้ง *L. monocytogenes* DMST 17303 และ *E. coli* ATCC 25922 ได้ดี โดยเฉพาะ *E. coli* ATCC 25922 ทั้งในนมจีด และนมพร่องมันเนย ในขณะที่อนุภาคนาโนชนิดไนโมันแข็งที่บรรจุกรดแอลกอติกนั้น สามารถยับยั้งเชื้อทดสอบได้เพียงเล็กน้อยเท่านั้น ส่วนอนุภาค

นาโนชนิดไขมันแข็งที่บรรจุในชิ้น พบร่วมกับความสามารถยับยั้ง *L. monocytogenes* DMST 17303 ได้ดีกว่า *E. coli* ATCC 25922 ในnmทั้ง 2 ชนิด

สำหรับการทดลองอนุภาคนาโนชนิดไขมันแข็งที่ไม่บรรจุสาร ไม่สามารถยับยั้ง *L. monocytogenes* DMST 17303 หรือ *E. coli* ATCC 25922 ที่ 4 องศาเซลเซียส หรืออุณหภูมิห้อง ได้ และคงให้เห็นว่าไขมันแข็งชนิดอิมิเตอร์ 900 ที่เป็นส่วนประกอบหลักของอนุภาคนาโนชนิดไขมันแข็ง ไม่ลดต่อแยกทิวติชีวภาพในการยับยั้งเชื้อทดสอบทั้ง 2 ชนิด



รูปที่ 4.18 การยับยั้ง ก. *L. monocytogenes* DMST 17303 และ ข. *E. coli* ATCC 25922 ของอนุภาคนา
ในชนิดไข่มันเขี๊ยบบรรจุสารออกฤทธิ์เทียบกับสารออกฤทธิ์อิสระในนม UHT ชนิดจีด



รูปที่ 4.19 การยับยั้ง ก. *L. monocytogenes* DMST 17303 และ ข. *E. coli* ATCC 25922 ของอนุภาคนาโนในชิปด้วยมันแข็งบรรจุสารออกฤทธิ์เทียบกับสารออกฤทธิ์อิสระในนม UHT ชนิดพร่องมันเนย

บทที่ 5

สรุปและวิจารณ์ผลการทดลอง

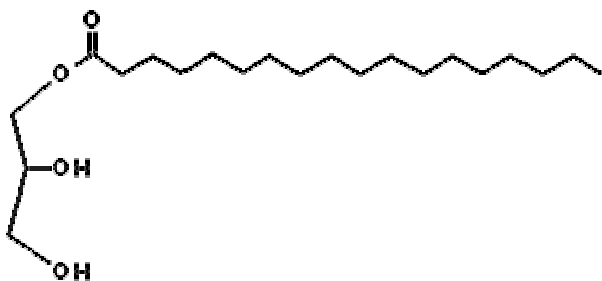
ในชินเป็นวัตถุกันเสียชีวภาพที่ได้รับความสนใจอย่างมาก เนื่องจากเป็นสารที่มีฤทธิ์เหมือนสารปฏิชีวนะ ผลิตมาจากธรรมชาติ และได้รับอนุญาตให้ใช้เป็นวัตถุกันเสียในอาหาร ซึ่งได้รับรองว่ามีความปลอดภัย และอนุญาตให้ใช้เติมในอาหารเพื่อถนอมอาหาร จากองค์กรอนามัยโลก (WHO) และองค์กรอาหารและยาแห่งสหราชอาณาจักร (US FDA) ในปัจจุบันในชินได้ถูกนำมาใช้อย่างแพร่หลายในอุตสาหกรรมอาหาร ซึ่งมากกว่า 50 ประเทศทั่วโลกให้การยอมรับ (Federal Register, 1988)

แต่อย่างไรก็ตาม แม้ว่าจะมีการเติมในชินลงในอาหารหลายประเภทเพื่อใช้เป็นวัตถุกันเสีย แต่ในชินมีความสามารถในการยับยั้งแบคทีเรียที่จำกัด กล่าวคือ ในชินสามารถยับยั้งแบคทีเรีย แกรมบวกเท่านั้น ทำให้การเติมในชินลงในอาหารไม่สามารถแก้ปัญหาการปนเปื้อนแบคทีเรียแกรมลบ ซึ่งเป็นกลุ่มแบคทีเรียสำคัญที่มีการปนเปื้อนในอุตสาหกรรมอาหารหลายประเภท เช่น อุตสาหกรรมเนื้อแข็ง และอุตสาหกรรมอาหารกระป๋อง (Helander และ Mattila, 2000) และในชินสามารถทำอันตรกิริยากับเอนไซม์และองค์ประกอบต่างๆ ของอาหารทำให้สูญเสียแอกทิวิตี้ในการยับยั้งแบคทีเรีย (Antonio และคณะ, 2007) ดังนั้นงานวิจัยนี้มีจุดมุ่งหมายในการนำอนุภาคนาโนชนิดใหม้มันเข็นมาประยุกต์ใช้เพื่อเพิ่มความสามารถสตีริวของในชินร่วมกับการใช้กรดแลคติกที่สามารถเสริมฤทธิ์ทางชีวภาพให้สามารถยับยั้งแบคทีเรียแกรมลบได้ และเพิ่มแอกทิวิตี้ชีวภาพของในชินและกรดแลคติกที่บรรจุในอนุภาค เทียบกับในชินและกรดแลคติกอิสระเพื่อให้แอกทิวิตี้ชีวภาพของในชินคงอยู่ได้นานในอาหาร

ในงานวิจัยนี้ได้เลือกใช้สารเสริมฤทธิ์ทำงานร่วมกับในชิน เพื่อเพิ่มประสิทธิภาพของในชินให้สามารถยับยั้งแบคทีเรียแกรมลบได้ และแก้ไขข้อจำกัดดังกล่าว โดยทำการทดสอบเพื่อหาสารออกฤทธิ์ที่สามารถทำงานเยื่อหุ้มชั้นนอกของแบคทีเรียแกรมลบได้มาทำงานร่วมกับในชิน โดยคาดว่าเมื่อยื่อหุ้มชั้นนอกของแบคทีเรียแกรมลบถูกกำจัดออกจากเป็นการเปิดโอกาสให้ในชินเข้าถึงบริเวณเป้าหมาย และสามารถทำงานได้ในเซลล์ ทำให้ในชินสามารถออกฤทธิ์ยับยั้งแบคทีเรียแกรมลบได้ (Kalchayanand และคณะ, 1992) โดยสารออกฤทธิ์ที่ถูกเลือกนำมาใช้ในการทดสอบร่วมกับ ในชิน คือ กรดแลคติก

(Gogus และคณะ, 2006) เนื่องจากกรดแลคติก มีรายงานการทดสอบประสิทธิภาพการทำงานร่วมกับไนซิน ว่าสามารถเสริมฤทธิ์การทำงานของไนซินได้บางส่วน (หยกฤทธิ์ กล่าว et al., 2551)

ผลงานวิจัยนี้ได้เลือกเทคโนโลยีการเตรียมอนุภาคนาโนแบบอนุภาคนาโนชนิดไขมันแข็ง (Solid lipid nanoparticles) เนื่องจากอนุภาคนาโนชนิดนี้มีความคงตัวสูง สามารถกักเก็บสารออกฤทธิ์ได้ปริมาณมาก มีการควบคุมการปลดปล่อยสารออกจากอนุภาคนาโนชนิดไขมันแข็งคือ อิมิวิเตอร์ และพอลลอกชาเมอร์ เป็นสารที่มีความปลดภัยสำหรับผู้บริโภคเนื่องจากถูกย่อยสลายได้ในร่างกายมนุษย์ และไม่มีการใช้ตัวทำละลายอินทรีย์ในขั้นตอนการเตรียมอนุภาคนาโนชนิดไขมันแข็งคือ อิมิวิเตอร์ ทำให้อนุภาคนาโนชนิดไขมันแข็งมีความสามารถเหมาะสมที่จะนำมาใช้ในงานวิจัยนี้ เพราะสามารถนำไปประยุกต์ใช้ในอุตสาหกรรมอาหารที่ต้องคำนึงถึงความปลอดภัยของผู้บริโภคได้เป็นอย่างดี (Pardeike และคณะ, 2009)



รูปที่ 5.1 โครงสร้างโมเลกุลของไขมันแข็งชนิดอิมิวิเตอร์ 900 หรือกลีเซอริลไมโนสเตียเรต

ขั้นตอนแรกของงานวิจัย คือ การขึ้นรูปอนุภาคนาโนชนิดไขมันแข็งชนิดอิมิวิเตอร์ 900 โดยการใช้เครื่องขยมอิจิโนเซอร์ที่ความดันสูง 1,500 บาร์ 3 รอบ (เพื่อให้อนุภาคนาโนชนิดอิมิวิเตอร์ 900 โดยใช้พอลลอกชาเมอร์ 188 ร้อยละ 5.0 (น้ำหนัก/ปริมาตร) เป็นสารลดแรงตึงผิว และโซเดียมดีออกซีโคเลต ร้อยละ 0.125 (น้ำหนัก/ปริมาตร) เป็นสารลดแรงตึงผิวรวม ตามลำดับ สารผสมจะถูกอัดด้วยแรงดันสูงให้เคลื่อนที่ผ่านช่องเปิดของเครื่องขยมอิจิโนเซอร์ ซึ่งอนุภาคนาโนชนิดอิมิวิเตอร์ 900 ได้แก่ อนุภาคนาโนไขมันแข็งที่ไม่มีการบรรจุสารออกฤทธิ์ อนุภาคนาโนที่บรรจุอนุภาคนาโนที่

บรรจุกรดแลคติด และอนุภาคนาโนที่บรรจุในชิ้นร่วมกับกรดแลคติดจะมีขนาดอนุภาคนโดยเฉลี่ยเท่ากับ 52.27 ± 0.43 , 113.80 ± 1.63 , 528.53 ± 7.19 และ 362.86 ± 28.05 นาโนเมตร ตามลำดับ โดยมีค่า PDI ของอนุภาคนาโนชนิดไขมันแข็งทั้ง 4 แบบมีค่าเท่ากับ 0.30 , 0.23 , 0.49 และ 0.01 ตามลำดับ ($PDI < 0.5$) สำหรับค่าความต่างศักย์ไฟฟ้าที่ผิวของอนุภาคนาโนชนิดไขมันแข็งทั้ง 4 ชนิดจะมีค่า เท่ากับ -15.56 ± 0.81 , -6.12 ± 0.11 , -3.83 ± 0.30 และ -2.07 ± 0.02 มิลลิโวลต์ ตามลำดับ (รูปที่ 4.3) ซึ่งจะเห็นได้ว่าขนาดของอนุภาคนาโนชนิดไขมันแข็งที่บรรจุกรดแลคติดจะมีขนาดใหญ่ที่สุด เนื่องจากเครื่องนาโนไซเซอร์ที่ใช้ในการวัดขนาดของอนุภาคนาโนชนิดไขมันแข็งที่บรรจุกรดแลคติดที่เตรียมได้มีหลายขนาด และเมื่อพิจารณาจากลักษณะภายนอกของอนุภาคนาโนชนิดไขมันแข็งด้วยกล้องจุลทรรศน์อิเล็กตรอนแบบส่องกราด พบร้า อนุภาคนาโนชนิดไขมันแข็งที่บรรจุกรดแลคติดมีหลายขนาด และอาจจะเกิดการจับกลุ่มกัน จึงทำให้อนุภาคนาโนชนิดไขมันแข็งที่บรรจุกรดแลคติดมีขนาดใหญ่ที่สุด มีรายงานว่าการใช้เครื่องย้อมอัลไนเซอร์ที่ระดับความดันที่สูงกว่า 1,500 บาร์ ในกระบวนการเตรียมอนุภาคนาโนชนิดไขมันแข็งเพื่อบรรุทธานออกซิเจน พบร้าอนุภาคนี้ได้นำมายังพบร้า อนุภาคนี้ได้ จมูกชัณประร่างไกล์เดียงกัน คือมีรูปร่างคล้ายเม็ดเลือด (platelet shaped) เป็นผลึกไขมัน ผิวเรียบ ซึ่งลักษณะดังกล่าวเป็นผลมาจากการใช้ไขมันแข็งในการเตรียมอนุภาคน

ประสิทธิภาพในการบรรจุสารออกฤทธิ์ลงในอนุภาคนาโนชนิดไขมันแข็งจะขึ้นอยู่กับความสามารถในการละลายของสารออกฤทธิ์ในไขมันที่หลอมเหลว พบร้าการบรรจุในชิ้น ลงในอนุภาคนะจะมีประสิทธิภาพดีกว่าเมื่อเปรียบเทียบกับการบรรจุกรดแลคติด โดยอนุภาคนาโนชนิดไขมันแข็งที่เตรียมได้นั้น มีประสิทธิภาพการบรรจุในชิ้นได้ร้อยละ 66.20 ของปริมาณในชิ้นเริ่มต้นที่ใช้ในการบรรจุ เมื่อเปรียบเทียบงานวิจัยที่ผ่านมา พบร้าประสิทธิภาพการบรรจุในชิ้นได้ร้อยละ 73.6 (พินิต พล พรหมบุตร, 2550) และร้อยละ 67.86 ของปริมาณในชิ้นเริ่มต้นที่ใช้ในการบรรจุ (หยกฤทัย กุลวัฒนา, 2551) ซึ่งประสิทธิภาพในการบรรจุในชิ้นนั้นมีค่าไกล์เดียงกัน ในขณะที่อนุภาคนี้ทำการบรรจุกรดแลคติดมีประสิทธิภาพการบรรจุกรดแลคติดได้เพียงร้อยละ 58.62 ของปริมาณกรดแลคติด เริ่มต้นที่ใช้ในการบรรจุ ส่วนอนุภาคนาโนชนิดไขมันแข็งที่บรรจุในชิ้นร่วมกับกรดแลคติกได้ผลในลักษณะเดียวกัน คือ อนุภาคนาโนชนิดไขมันแข็งที่บรรจุในชิ้นร่วมกับกรดแลคติก มีประสิทธิภาพในการบรรจุในชิ้นสูงกว่าการบรรจุกรดแลคติด โดยสามารถบรรจุในชิ้น และกรดแลคติดได้ร้อยละ 65.86

และ 59.57 ของปริมาณสารเริ่มต้นที่ใช้ในการบรรจุในอนุภาคนาโน ตามลำดับ (ตารางที่ 4.1) ซึ่งผลการทดลองที่ได้ข้างต้น อาจเป็นผลเนื่องมาจากว่าประสิทธิภาพในการบรรจุสารออกฤทธ์ลงในอนุภาคนาโนชนิดไขมันแข็งนั้นจะขึ้นอยู่กับความสามารถในการละลายของสารออกฤทธ์ในไขมันที่ถูกหลอมเหลว ทำให้ในชินซึ่งเป็นเพปไทด์ที่มีทั้งส่วนที่มีข้าว และไม่มีข้าวภายในโมเลกุล สามารถละลายได้ดีกว่ากรดแอลค็อกติกซึ่งเป็นสารที่มีสมบัติละลายน้ำได้ดีนั่นคือมีข้าวสูงเพียงอย่างเดียว ส่งผลให้ในชินมีประสิทธิภาพในการบรรจุในอนุภาคนาโนชนิดไขมันแข็งได้ดีกว่ากรดแอลค็อกติก อย่างไรก็ตามการทดลองนี้ได้เลือกใช้ปริมาณไขมันแข็งอินวิเตอร์ 900 เพียงร้อยละ 10 (น้ำหนัก/ปริมาตร) เท่านั้น ในขณะที่มีการเติมสารลดแรงตึงผิวในปริมาณมากถึงร้อยละ 5 ทำให้มีสัดส่วนของปริมาณไขมันแข็งต่อปริมาณสารลดแรงตึงผิวค่อนข้างต่ำ จึงอาจส่งผลให้ในชินและกรดแอลค็อกติกบางส่วนไม่ได้ถูกบรรจุลงในอนุภาคน แต่จะแยกตัวอยู่ในชั้นน้ำหรือเกาะอยู่บริเวณสารลดแรงตึงผิวที่ล้อมรอบอนุภาคน ส่งผลให้ประสิทธิภาพการบรรจุสารต่ำลง ดังนั้นหากต้องการเพิ่มประสิทธิภาพการบรรจุในชิน และกรดแอลค็อกติก อาจทำได้โดยการทดลองปรับปริมาณสัดส่วนของไขมันแข็งกับสารลดแรงตึงผิวเพื่อหาค่าสัดส่วนที่เหมาะสม โดยเพิ่มปริมาณของไขมันแข็งอินวิเตอร์ 900 ให้มากขึ้น ซึ่งอาจจะสามารถทำให้ในชินและกรดแอลค็อกติกละลายในไขมันแข็งได้มากขึ้น ส่งผลต่อการเพิ่มประสิทธิภาพการบรรจุสารในอนุภาคนให้เพิ่มสูงขึ้นได้ ดังตัวอย่างการวิจัย การเพิ่มปริมาณร้อยละของไขมันแข็งไดนาเซน (dynasan) เชเทล พาลเมตเต (cetyl palmitate) และคอมพริทอล (compritol) ในการบรรจุอีโตเมดิต (etomidate) ลงในอนุภาคนาโนจะทำให้ค่าประสิทธิภาพการบรรจุเพิ่มสูงขึ้น (Schwarz และ Mehnert, 1999)

ศึกษาผลของ pH ความเข้มข้นของเกลือ และอุณหภูมิต่อลักษณะทางสัณฐานวิทยาและความคงตัวของอนุภาคนาโนชนิดไขมันแข็งที่ไม่บรรจุสารออกฤทธ์ ที่บรรจุในชิน กรดแอลค็อกติก หรือในชินร่วมกับกรดแอลค็อกติก พบว่า การเก็บอนุภาคนาโนชนิดไขมันแข็งทั้ง 4 ชนิดในสารละลายฟอสเฟตบัฟเฟอร์ 0.02 มิลาร์ ที่มี pH ความเข้มข้นของเกลือ และอุณหภูมิที่แตกต่างกัน พบว่า อนุภาคนาโนชนิดไขมันแข็งที่ไม่บรรจุสารออกฤทธ์ ที่บรรจุในชิน กรดแอลค็อกติก หรือในชินร่วมกับกรดแอลค็อกติก ในทุกค่า pH ความเข้มข้นเกลือ และอุณหภูมิ อนุภาคนาโนชนิดไขมันแข็งทั้ง 4 ชนิด จะมีขนาดใหญ่ขึ้น และมีค่าประจุที่ผิวอนุภาคนาโนชนิดไขมันแข็งที่ 0 ของกรดทดลอง ยิ่งบ่มเป็นระยะเวลานานขึ้น อนุภาคนาโนชนิดไขมันแข็งที่มีขนาดใหญ่ขึ้นส่งผลทำให้ค่าความต่างศักยไฟฟ้าที่ผิวเพิ่มขึ้นนั้น จะทำให้เกิดแรงผลักกันระหว่างอนุภาคลดลง จึงเป็นสาเหตุทำให้ออนุภาคนับกลุ่มกันมากขึ้น Reddy และคณะ (2006) ได้ทำการศึกษาผลของอุณหภูมิและแสงต่อการเปลี่ยนแปลงขนาดของอนุภาคนาโนชนิดไขมันแข็ง เมื่อเก็บอนุภาคนาโนชนิดไขมันแข็งไว้ที่อุณหภูมิ 50 องศาเซลเซียส เป็นเวลา 30 วัน พบว่าขนาดของ

อนุภาคนาโนชนิดไนโมันແเข็งมีขนาดใหญ่ขึ้นจากวันแรกที่เตรียมอนุภาคนาโนชนิดไนโมันແเข็ง คือ 235 นาโนเมตรเป็น 539 นาโนเมตร ส่วนเมื่อเก็บอนุภาคนาโนชนิดไนโมันແเข็งที่อุณหภูมิ 4 องศาเซลเซียส เป็นเวลา 30 วัน พบร่วมกับอนุภาคนาโนชนิดไนโมันແเข็งจะมีขนาดใหญ่ขึ้นจาก 235 นาโนเมตรเป็น 304 นาโนเมตร สำหรับผลของแสง พบร่วมกับอนุภาคนาโนชนิดไนโมันແเข็งจะมีขนาดใหญ่ขึ้นจาก 235 นาโนเมตรเป็น 1,235 นาโนเมตร ส่วนก็ปไวในที่มีดอนอนุภาคนาโนชนิดไนโมันແเข็งมีขนาดใหญ่ขึ้น คือ 235 นาโนเมตรเป็น 382 นาโนเมตร ที่เป็นเช่นนี้เนื่องจากอนุภาคนาโนชนิดไนโมันແเข็งได้รับพลังงานจาก ภายนอกเข้ามา ทำให้ได้รับพลังงานจนถึงสูงขึ้น จึงมีการวิ่งชนกันมากขึ้น ทำให้มีการรวมตัวของอนุภาค และยังมีผลต่ออัตราลดลงตึงผิวของอนุภาคนาโนชนิดไนโมันແเข็ง จึงทำให้ค่าความต่างศักย์ไฟฟ้า เพิ่มสูงขึ้น

ผลของการศึกษาจะระบุถ้าที่ในชิ้นและกรดแลคติกถูกปลดปล่อยออกจากอนุภาคนาโนชนิดไนโมันແเข็ง ซึ่งจากการยับยั้ง *L. monocytogenes* DMST 17303 และ *E. coli* ATCC 25922 ที่ อุณหภูมิ 4 องศาเซลเซียส และอุณหภูมิห้องของอนุภาคนาโนชนิดไนโมันແเข็งที่บรรจุในชิ้น กรดแลคติก และในชิ้นร่วมกับกรดแลคติก พบร่วมกับการทดสอบทั้ง 2 ชนิดจะเริ่มถูกยับยั้งประมาณร้อยละ 40 ในวันที่ 30 ของการทดลองเป็นต้นไป จากผลการทดลองแสดงให้เห็นว่าอนุภาคนาโนชนิดไนโมันແเข็งสามารถ ควบคุมการปลดปล่อยในชิ้น และกรดแลคติกออกจากอนุภาคนาโนชนิดไนโมันແเข็งได้อย่างต่อเนื่อง และสะสมในปริมาณที่มากพอก โดยมีค่าไกล์เดียงกับค่า MIC และสามารถคงประสิทธิภาพการยับยั้ง เขือทดสอบได้ สำหรับในการทดลองที่อุณหภูมิ 4 องศาเซลเซียสและอุณหภูมิห้องนั้น พบร่วมกับการใช้ อนุภาคนาโนชนิดไนโมันແเข็งบรรจุสารออกฤทธิ์ ทั้งบรรจุในชิ้น กรดแลคติก และในชิ้นร่วมกับกรด แลคติกในการยับยั้ง *L. monocytogenes* DMST 17303 และ *E. coli* ATCC 25922 ในช่วงวันที่ 1 ถึง 30 วันของการทดลองนั้นไม่สามารถยับยั้งเขือทดสอบทั้ง 2 ชนิด ได้ดีเท่ากับการใช้สารออกฤทธิ์ใน รูปแบบอิสระ ส่วนการใช้ในชิ้นอิสระพบว่าให้ผลการยับยั้ง *L. monocytogenes* DMST 17303 ได้ ดีกว่า *E. coli* ATCC 25922 เมื่อเทียบกับมาตรฐานควบคุม ที่ผลการทดลองเป็นเช่นนี้เนื่องจากฤทธิ์ทาง ชีวภาพของในชิ้นไม่สามารถยับยั้งแบคทีเรียแกรมลบได้ดีเท่ากับแบคทีเรียแกรมบวก ส่วนการยับยั้ง *E. coli* ATCC 25922 ต้องใช้ในชิ้นที่ความเข้มข้นสูง แต่เมื่อใช้ในชิ้นความเข้มข้นต่ำจะสามารถยับยั้ง *E. coli* ATCC 25922 ได้แบบไม่จำเพาะ (Delves และคณะ, 2005)

สำหรับผลการทดสอบประสิทธิภาพในการยับยั้ง *L. monocytogenes* DMST 17303 และ *E. coli* ATCC 25922 ในอาหาร PYG ซึ่งจากการทดลอง พบร่วมกับการทดสอบที่ 1 ถึง 25 วัน ของการ ทดลอง อนุภาคนาโนบรรจุสารออกฤทธิ์ทั้ง 3 แบบ จะให้ผลการยับยั้งเขือทดสอบที่ไกล์เดียงกัน คือจะ

ทำให้ปริมาณเชื้อลดลงเล็กน้อย เมื่อเทียบกับชุดควบคุม โดยที่อุณหภูมิ 4 องศาเซลเซียส สามารถลดปริมาณ *L. monocytogenes* DMST 17303 ได้ประมาณ 3.5 log CFU ต่อมิลลิลิตรและลดปริมาณเชื้อทดสอบที่อุณหภูมิห้องลงได้ประมาณ 3.0 log CFU ต่อมิลลิลิตรหลังวันที่ 30 ถึง 95 วันของการทดลอง จะเห็นว่าอนุภาคนาโนชนิดไขมันแข็งที่บรรจุสารออกฤทธิ์จะให้ผลการยับยั้ง *L. monocytogenes* DMST 17303 โดยสามารถลดปริมาณเชื้อทดสอบเพิ่มขึ้นได้ประมาณ 5.0 ถึง 7.0 log CFU ต่อมิลลิลิตรเมื่อเทียบกับชุดควบคุม ในขณะที่อุณหภูมิห้องให้ผลการยับยั้งเชื้อทดสอบหลังจากวันที่ 30 ถึง 58 วันของการทดลอง ลดปริมาณเชื้อได้ประมาณ 4.0 ถึง 7.0 log CFU ต่อมิลลิลิตรสำหรับผลการทดลองการยับยั้ง *E. coli* ATCC 25922 ที่ 4 องศาเซลเซียสและที่อุณหภูมิห้อง การใช้สารออกฤทธิ์รูปแบบอิสระ จะให้ผลการยับยั้งเชื้อได้ดีกว่าในระยะแรกของการทดลอง โดยในชินร่วมกับกรดแลคติกอิสระก็ยังคงมีประสิทธิภาพยับยั้งเชื้อได้ดีที่สุด คือสามารถลดปริมาณเชื้อทดสอบได้ประมาณ 6.0 log CFU ต่อมิลลิลิตร ตั้งแต่วันที่ 1 ของการทดลอง และสามารถคง效ที่ต่อไปได้นานตลอดระยะเวลาที่ใช้ในการทดลอง เมื่อเทียบกับชุดควบคุม แต่หลังจากวันที่ 30 เป็นต้นไป พบร่วมประสิทธิภาพการยับยั้งเชื้อของกรดแลคติกอิสระจะลดลง ส่วนการใช้อนุภาคนาโนชนิดไขมันแข็งบรรจุในชินร่วมกับกรดแลคติกกลับมีประสิทธิภาพในการยับยั้งเชื้อเพิ่มขึ้นเรื่อยๆ และทำให้ปริมาณเชื้อลดลงได้มากกว่าในชินร่วมกับกรดแลคติกในรูปแบบอิสระ จากการทดลองจะเห็นได้ว่า อุณหภูมิมีส่วนในการยับยั้งเชื้อทดสอบทั้ง 2 ชนิด คือ ที่อุณหภูมิ 4 องศาเซลเซียส สามารถยับยั้งการเจริญของ *E. coli* ATCC 25922 ได้ทั้งที่ผลการทดลองที่ 25 องศาเซลเซียส ที่ใช้อนุภาคชนิดเดียวกันไม่สามารถยับยั้งการเจริญได้ เนื่องจากการใช้อุณหภูมิต่ำกว่าหรือเท่ากับ 6.5 องศาเซลเซียส นั้นจะสามารถเสริมฤทธิ์ทางชีวภาพของเนื้อหุ้มชั้นนอกเสียสภาพได้ ทำให้ในชินเข้าสู่บริเวณเป้าหมายได้ (Boziaris และ Adams, 2000; Elliason และ Tatini, 1999) ซึ่งผลการทดลองที่ได้มีความสอดคล้องกับงานวิจัยของ หยกฤทธิ์ ภูลวัฒนาศล (2551) ศึกษาผลการยับยั้ง *L. monocytogenes* DMST 17303 และ *E. coli* ATCC 25922 ของทั้งแบบไม่บรรจุสารออกฤทธิ์บรรจุในชิน บรรจุเซทิลโพลีเมอร์คลอไครด์ และบรรจุในชินร่วมกับเซทิลโพลีเมอร์คลอไครด์ พบร่วมการใช้อนุภาคนาโนชนิดไขมันแข็งบรรจุบรรจุสารออกฤทธิ์ทั้งแบบบรรจุในชิน บรรจุเซทิลโพลีเมอร์คลอไครด์ หรือบรรจุในชินร่วมกับเซทิลโพลีเมอร์คลอไครด์ ใน การยับยั้งการเจริญ *L. monocytogenes* นั้น ในการทดลองที่อุณหภูมิ 4 พบร่วมสารออกฤทธิ์อิสระสามารถยับยั้งเชื้อทดสอบได้อย่างมีประสิทธิภาพ ส่วนอนุภาคนาโนทั้ง 3 ชนิด สามารถยับยั้งเชื้อทดสอบได้อย่างมีประสิทธิภาพหลังจากวันที่ 20 ของการทดลองเป็นต้นไป ส่วนผลการยับยั้ง *E. coli* ATCC 25922 พบร่วมให้ผลการยับยั้งในลักษณะ

เดียวกันกับ *L. monocytogenes* DMST 17303 แต่ในชิ้นอิสระสามารถยับยั้ง *E. coli* ATCC 25922 ได้เพียงเล็กน้อยเท่านั้น

สำหรับผลการทดสอบประสิทธิภาพในการยับยั้ง *L. monocytogenes* DMST 17303 และ *E. coli* ATCC 25922 ในน้ำนม UHT ชนิดจีด และนมพร่องมันเนย ของอนุภาคนาโนชนิดไขมันแข็งบรรจุในชิ้น กรดแลคติก หรือในชิ้นร่วมกับกรดแลคติกิสระ เป็นเวลา 60 วัน ที่อุณหภูมิ 4 องศาเซลเซียส พบว่า สารออกฤทธิ์ในชิ้นอิสระ สามารถยับยั้งเชื้อ *L. monocytogenes* DMST 17303 ได้อย่างมีประสิทธิภาพในช่วง 7 วันแรกของการทดลอง จากนั้นเชื้อมีปริมาณเพิ่มมากขึ้น ทั้งนี้เนื่องจากสารออกฤทธิ์มีปริมาณไม่มาก พอที่จะยับยั้งเชื้อทดสอบ ที่เพิ่มมากขึ้นอย่างรวดเร็ว ผลการทดลองที่ได้มีความสอดคล้องกับงานวิจัยของ Mantovani และ Russell (2000) ศึกษาการยับยั้ง *Streptococcus bovis* JB1 โดยใช้ ในชิ้นอิสระ ความเข้มข้น 1 ไมโครโมลาร์ ทดสอบเป็นเวลา 8 ชั่วโมง พบว่าในช่วง 1 ถึง 2 ชั่วโมงแรก ในชิ้นอิสระ สามารถยับยั้งเชื้อทดสอบได้ร้อยละ 99 และหลังจากชั่วโมงที่ 2 เป็นต้นไปพบว่า *Streptococcus bovis* JB1 เพิ่มปริมาณขึ้นอย่างรวดเร็ว เนื่องจากร้อยละ 1 ของเชื้อที่เหลือนั้นเกิดการดื้อต่อในชิ้น จึงเพิ่มปริมาณอย่างรวดเร็วและต่อเนื่อง และพบว่าการใช้ในชิ้นอิสระ สามารถออกฤทธิ์ในการยับยั้งเชื้อ *L. monocytogenes* DMST 17303 ได้ดีกว่าการยับยั้งใน *E. coli* ATCC 25922 ทั้งนี้เนื่องจากฤทธิ์ทางชีวภาพของในชิ้นไม่สามารถยับยั้งแบคทีเรียแกรมลบได้ดีเท่ากับแบคทีเรียแกรมบวก และจากการทดลองทดสอบเมื่อใช้กรดแลคติกิสระ ในการยับยั้งเชื้อทดสอบ พบว่า สามารถยับยั้งได้ทั้ง *L. monocytogenes* DMST 17303 และ *E. coli* ATCC 25922 ได้ เมื่อเปรียบเทียบกับชุดควบคุมลบในขณะที่เมื่อมีการใช้ในชิ้นร่วมกับกรดแลคติก จะสามารถยับยั้งทั้งเชื้อ *L. monocytogenes* DMST 17303 และ *E. coli* ATCC 25922 ได้ดีขึ้น และรายงานกว่าการใช้ในชิ้น หรือกรดแลคติกเพียงอย่างเดียว ทั้งนี้เนื่องจากการใช้กรดแลคติก จะสามารถเพิ่มประสิทธิภาพในการออกฤทธิ์ยับยั้งของในชิ้นต่อ *E. coli* ATCC 25922 ซึ่งเป็นแบคทีเรียแกรมลบได้มากขึ้น และสามารถเสริมฤทธิ์ในการยับยั้งของในชิ้นต่อ *L. monocytogenes* DMST 17303 ได้อย่างมีประสิทธิภาพและรายงานมากขึ้น แสดงให้เห็นว่า การใช้ในชิ้นเป็นสารออกฤทธิ์เพียงชนิดเดียวตนั้น จะไม่สามารถลดปริมาณแบคทีเรียแกรมลบที่ปนเปื้อนในอาหารได้อย่างมีประสิทธิภาพได้ จากผลการทดสอบอนุภาคนาโนชนิดไขมันแข็งบรรจุในชิ้นร่วมกับกรดแลคติก พบว่าหลังจากวันที่ 45 ถึง 60 วันของการทดลองสามารถยับยั้ง *L. monocytogenes* DMST 17303 และ *E. coli* ATCC 25922 ได้อย่างมีประสิทธิภาพเมื่อเปรียบเทียบกับชุดควบคุม ซึ่งในการทดลองนี้จะพบว่าในนม UHT ชนิดจีดมีปริมาณของเชื้อทดสอบ

ทั้ง 2 ชนิดสูงในนมพร่องมันเนย เนื่องจากในนม UHT ชนิดจีดเมี่ยวสารอาหาร เช่น ไขมัน และโปรตีนสูงกว่าในนม UHT ชนิดพร่องมันเนย (Malheiros และคณะ, 2010) และยังพบว่าการทดลองการยับยั้งเชื้อทดสอบในนม UHT ชนิดจีดและชนิดพร่องมันเนย ของอนุภาคนาโนชนิดไขมันแข็งที่บรรจุในชินกรดแอลกอติก หรือในชินร่วมกับกรดแอลกอติก พบร่วง สามารถยับยั้ง *L. monocytogenes* DMST 17303 และ *E. coli* ATCC 25922 ได้ อย่างมีประสิทธิภาพ แสดงให้เห็นว่าปริมาณไขมัน ไม่มีผลต่อการทำางานของอนุภาคนาโนชนิดไขมันแข็งทั้ง 3 ชนิด ส่วนในชินอิสระสามารถยับยั้งเชื้อทดสอบทั้ง 2 ชนิด ได้เพียงเล็กน้อย เนื่องจากปริมาณไขมันในนมจีดมีผลต่อแยกทิวิติของในชิน คือ ไขมันสามารถจับกับในชิน ส่งผลให้ในชินสูญเสียแยกทิวิติทางชีวภาพต่อเชื้อทดสอบทั้ง 2 ชนิด (Inga และคณะ, 2003) ซึ่งผลกระทบของที่ได้มีความสอดคล้องกับงานวิจัยของ

Malheiros และคณะ (2010) ศึกษาการยับยั้ง *L. monocytogenes* ในจีดหรือนมพร่องมันเนย ที่อุณหภูมิตู้เย็นประมาณ 6-8 องศาเซลเซียส ด้วยอนุภาคลิปโซมบราวน์ชิน 0.5 มิลลิกรัมต่อ มิลลิลิตร เปรียบเทียบกับในชินอิสระ 0.1 และ 0.5 มิลลิกรัมต่อ มิลลิลิตร ตามลำดับ ทำการทดลอง 14 วัน พบร่วงว่าในนมจีดในชินอิสระ 0.1 มิลลิกรัมต่อ มิลลิลิตร สามารถยับยั้ง *L. monocytogenes* ได้เพียงเล็กน้อยเมื่อเทียบกับชุดควบคุม ส่วนในชินอิสระ 0.5 มิลลิกรัมต่อ มิลลิลิตร สามารถยับยั้งเชื้อทดสอบได้อย่างมีประสิทธิภาพตลอดการทดลอง ส่วนอนุภาคลิปโซมบราวน์ชิน 0.5 มิลลิกรัมต่อ มิลลิลิตร ในช่วง 5 วันแรกของการทดลอง สามารถยับยั้งเชื้อทดสอบได้เพียงเล็กน้อย แต่หลังจากวันที่ 5 ของการทดลองเป็นต้นไป จะสามารถยับยั้งเชื้อทดสอบได้อย่างมีประสิทธิภาพ ส่วนในนมพร่องมันเนย พบร่วงว่าอนุภาคลิปโซมบราวน์ชิน และในชินอิสระ สามารถยับยั้ง *L. monocytogenes* ได้อย่างมีประสิทธิภาพ ตั้งแต่วันที่ 5 ของการทดลองเป็นต้นไป

จากการทดลองแสดงให้เห็นว่า การนำนาโนเทคโนโลยีมาประยุกต์ใช้ร่วมกับสารออกฤทธิ์ชีวภาพ โดยการสร้างอนุภาคนาโนชนิดไขมันแข็งที่มีสารออกฤทธิ์ทั้ง 3 ชนิด คือ อนุภาคนาโนชนิดไขมันแข็งที่บรรจุในชิน กรดแอลกอติก และในชินร่วมกับกรดแอลกอติก เป็นการเพิ่มประสิทธิภาพให้กับสารออกฤทธิ์มีประสิทธิภาพ และยาวนานมากขึ้น ซึ่งจากการทดลองจะสังเกตพบว่า ในช่วงแรกของการทดลอง เชื้อทดสอบมีการเพิ่มจำนวนขึ้น เนื่องจากการปลดปล่อยสารออกฤทธิ์ของอนุภาคนาโนนั้น ยังไม่มากพอที่จะสามารถยับยั้งเชื้อที่มีปริมาณมากได้ จากการทดลองก็ยังพบว่า อนุภาคนาโนชนิดไขมันแข็งทั้ง 3 ชนิด มีแนวโน้มในการยับยั้งเชื้อได้นานขึ้น เมื่อเปรียบเทียบกับสารออกฤทธิ์อิสระถ้าหากมีการเพิ่มระยะเวลาในการทดลอง

การนำไปประยุกต์ใช้ อนุภาคนาโนชนิดไนมันแข็งบรรจุในชิ้นร่วมกับกรดแอลกอติกสามารถนำไปใช้ในการยึดอยู่ของผลิตภัณฑ์อาหารได้ทุกชนิด เช่น นม ชีส อาหารกระป๋อง เป็นต้น โดยสามารถช่วยเสริมฤทธิ์การทำงานได้ดีขึ้นในการเพิ่มประสิทธิภาพการยับยั้งแบคทีเรียแกรมลบ (Nykanen และคณะ, 1998) ที่มักก่อให้เกิดปัญหาการปนเปื้อนในอาหาร รวมทั้งผลของการประยุกต์ใช้ออนุภาคนาโนที่ส่งผลให้มีการควบคุมการปลดปล่อยสารออกฤทธิ์ที่ละน้อย ทำให้สารตังกล่าวสามารถออกฤทธิ์ได้ในระยะเวลาที่ยาวนานขึ้น ไม่สูญเสียแอกทิวิตี้ทางชีวภาพไป เนื่องจาก การจับของไนมันกับโปรตีน และการถูกทำลายโดยเอนไซม์ที่มีอยู่ในอาหาร หากใช้ในรูปแบบไนชิน อิสระ นอกจากนี้ เนื่องจากส่วนประกอบต่างๆ ที่ใช้ในการเตรียมอนุภาคนาโนนั้น ล้วนแล้วแต่มีความปลดภัยต่อผู้บริโภค โดยทั้งไนมันแข็งอิมิเตอร์ 900 และพอลีออกซามเออร์ 188 ต่างได้รับการรับรองให้เป็นสารที่มีความปลอดภัย ให้สามารถใช้เป็นสารเติมแต่งในอาหารได้ ซึ่งทั้งนี้ต้องมีการทดสอบประสิทธิภาพขององุภาคนาโนชนิดไนมันแข็งบรรจุในชิ้นร่วมกับกรดแอลกอติกในอาหารต่อไป เพื่อเป็นการยืนยันว่าอนุภาคนาโนชนิดดังกล่าวที่สามารถนำไปใช้เป็นสารถนอมอาหารได้จริง และสามารถนำผลที่ได้ไปประยุกต์โดยการหาสารออกฤทธิ์อื่นๆ ที่มีสมบัติใกล้เคียงกับกรดแอลกอติก หรือมีสมบัติที่ดี และเหมาะสมกว่าในการยับยั้งแบคทีเรียแกรมลบ โดยนำมาใช้ร่วมกับไนชินที่บรรจุในอนุภาคนาโนชนิดไนมันแข็งเพื่อเสริมฤทธิ์ และขยายระยะเวลาการทำงานของไนชินในการยับยั้งจุลทรรศ์ในอาหารได้ดียิ่งขึ้นต่อไปในอนาคต

รายการอ้างอิง

ภาษาไทย

- นวพร ถ้าเดลิศสกุล. 2549. จุลชีววิทยาทางอาหาร. กรุงเทพมหานคร: โรงพิมพ์พิทักษ์การพิมพ์ พินิจพล พรหมบุตร. 2550. การสร้างอนุภาคนาโนชนิดไอกำเน็งที่บรรจุในเชิงเพื่อคงแอกทิวิตี้ยังชั้งจุลทรรศ์. วิทยานิพนธ์ปริญญาบัณฑิต ภาควิชาจุลชีววิทยา คณะวิทยาศาสตร์ จุฬาลงกรณ์มหาวิทยาลัย.
- หยกฤทธิ์ กลวัฒนา. 2551. การเตรียมไนซินในรูปอนุภาคนาโนชนิดไอกำเน็งเพื่อเพิ่มประสิทธิภาพของการยับยั้งแบคทีเรียแกรมลบ. วิทยานิพนธ์ปริญญาบัณฑิต ภาควิชาจุลชีววิทยา คณะวิทยาศาสตร์ จุฬาลงกรณ์มหาวิทยาลัย.
- สมณฑา วัฒนสินธุ. 2545. จุลชีววิทยาทางอาหาร. กรุงเทพมหานคร: โรงพิมพ์มหาวิทยาลัยธรรมศาสตร์
- สมາลี เหลืองสกุล. 2541. จุลชีววิทยาทางอาหาร. กรุงเทพมหานคร: โรงพิมพ์ชัยเจริญ.

ภาษาอังกฤษ

- Aasen, I. M., Markussen, S., Moretro, T., Katla, T., Axelsson, L., and Naterstad, K. 2003. Interactions of the bacteriocins sakacin P and nisin with food constituents. Int J Food Microbiol. 87: 35-43.
- Allgaier, H., Jung, G., Werner, G. G., Schneider, U., and Zahner, H. 1986. Epidermin: sequencing of a heterodettetracyclic 21-peptide amide antibiotic. Eur. J. Biochem. 160: 9-22.
- Allison, G. E., Fremaux, C., and Klaenhammer, T. R. 1994. Expansion of bacteriocin activity and host range upon complementation of 2 peptides encoded within the lactacin F operon. J. Bacteriol. 176: 2235-41.
- Altena, K., Guder, A., Cramer, C., and Bierbaum, G. 2000. Biosynthesis of the lantibiotic mersacidin: organization of a type B lantibiotic gene cluster. Appl. Environ. Microbiol. 66: 2565-71.

- Anderssen, E. L., Diep, D. B., Nes, I.F., Eijsink, V. G. H., and Nissen-Meijer, J. 1998. Antagonistic activity of *Lactobacillus plantarum* C11: 2 new 2-peptide bacteriocins, plantaricins EF and JK, and the induction factor plantaricin A. *Appl. Environ. Microbiol.* 6: 2269-72.
- Antonio, G., Hikmate, A., Rosario, L. L., and Nabil, B. O. 2007. Bacteriocin-based strategies for food biopreservation. *Int. J. Food. Microbiol.* 120: 51-70
- Aymerich, T., Holo, H., Håvarstein, L. S., Hugas, M., Garriga, M., and Nes, I.F. 1996. Biochemical and genetic characterization of enterocin A from *Enterococcus faecium*, a new antilisterial bacteriocin in the pediocin family of bacteriocins. *Appl. Environ. Microbiol.* 62: 1676-82.
- Benecha, R. O., Laridia, R, Kheadra, E. E., Vuillemarda, J. C., and Lacroix F. C. 2003. Liposome encapsulated nisin Z: optimization, stability and release during milk fermentation. *Int. J. Dairy.* 13: 325–336.
- Brewer, R., Adams, M. R., and Park, S. F. 2002. Enhanced inactivation of *Listeria monocytogenes* by nisin in the presence of ethanol. *Lett Appl Microbiol.* 34: 18-21.
- Boziaris, I. S., Humpheson, L., and Adams, M. R. 1998. Effect of nisin on heat injury and Inactivation of *Salmonella Enteritidis* PT4. *Int. J. Food. Microbiol.* 43:7-13.
- Boziaris, I. S., and Adams, M. R. 2000. Transient sensitivity to nisin in cold-shocked gram negative. *Lett. Appl. microbiol.* 31:233-237.
- Budu-Amoako, E., Ablett, R. F., Harris, J., and Delves-Broughton, J. 1999. Combined effect of nisin and moderate heat on destruction of *Listeria monocytogenes* in cold-pack lobster meat. *J. Food. Prot.* 62:46-50.
- Buncic, S., Fitzgerald C. M., Bell R. G., and Hudson J. A. 1995. Individual and combined listericidal effects of sodium lactate, potassium sorbate, nisin and curing salts at refrigeration temperature. *J Food Safety* 15:247-64.
- Chen, H., and Hoover, D. G. 2003. Bacteriocins and their food applications. *Comprehensive Rev. Food. Sci. Food. safe.* 2: 82-100.

- Chikindas, M. L., and Montville, T. J. 2002. Perspectives for application of bacteriocins as food preservatives. In: Juneja, VK, Sofos, JN, editors. Control of foodborne microorganisms. New York: Marcel Dekker, Inc. pp 303-21.
- Choi, H. J., and Park, Y. H. 2000. Selective control of *Lactobacilli* in kimchi with nisin. Lett. Appl. Microbiol. 30: 173-177.
- Cintas, L. M., Casaus, M. P., Herranz, C., Nes, I. F., and Hernandez, P. E. 2001. Review: bacteriocins of lactic acid bacteria. Food Sci. Tech. Int. 7: 281-305.
- Cleveland, J., Montville, T. J., Nes, I. F., and Chikindas, M. L. 2001. Bacteriocins: Safe, natural antimicrobials for food preservation. Int. J. Food Microbiol. 71:1-20.
- Cutter, C. N., and Siragusa, G. 1995. Population reductions of Gram negative pathogens following treatments with nisin and chelators under various conditions. J. Food Prot. 58: 977-83.
- Cutter, C. N., Willett, J. L., and Siragusa, G. R. 2001. Improved antimicrobial activity of nisin-incorporated polymer films by formulation change and addition of food grade chelator. Lett Appl Microbiol. 33: 325-328.
- Davies, E. A., Bevis, H. E., and Delves, B. J. 1997. The use of the bacteriocin, nisin as a preservative in ricotta-type cheeses to control the food-borne pathogen *Listeria monocytogenes*. Lett. Appl. Microbiol. 24: 343-346.
- Davies, E. A., Milne, C. F., Bevis, H. E., Potter, R. W., Harris, J. M., Williams, G.C., Thomas, L. V. and Delves, B. J., 1999. Effective use of nisin to control lactic acid bacterial spoilage in vacuum-packed bologna-type sausage. J. Food Prot. 62: 1004-1010.
- Delves, B. J. 1993. The use of EDTA to enhance the efficacy of nisin towards gram-negative bacteria. Int. Biodet. Biodeg. 32: 87-97.
- Delves, B. J. 2005. Nisin as a Food Preservative. Food Australia 12: 525-527.
- De Vuyst, L., and Vandamme, E. J. 1994. Nisin, a lantibiotic produced by *Lactococcus lactis* subsp. *lactis*: properties, biosynthesis, fermentation and applications. In De Vuyst, L., and Vandamme, E. J. (eds.), Bacteriocins of lactic acid bacteria , pp. 152-199. United Kingdom: Chapman & Hall, The Alden Press.

- Dongsun, J., Bodyfelt, W. F., and Daechel, A. M. 1991. Influence of Fat and in Inhibiting *Listeria monocytogenes* Emulsifiers on the Efficacy of Nisin in Fluid Milk. Department of Food Science and Technology and Western Dairy Foods Research & Center Oregon State University Corvallis 97331.
- Driesssen, A. J. M., van den Hooven, H. W., Kuiper, W., van de Kamp, M., Sahl, H-G., Konings, R. N. H., and Konings,W. N. 1995. Mechanistic studies of lantibiotic-induced permeabilization of phospholipid vesicles. Biochemistry. 34: 1606-1614.
- Elezi, O., Kourkoutas, Y., Koutinas, A. A., Kanellaki, M., Bezirtzoglou, E., Batnett, Y. A. and Nigam, P. 2003. Food additive lactic acid production by immobilized cells of *Lactobacillus brevis* on delignified cellulosic material. J. Agric. Food Chem. 51 : 5285-5289
- FDA (U.S. Food & Drug Administration)/Federal Register. 1988. Nisin preparation: Affirmation of GRAS status as a direct human food ingredient. 21 CFR Part 184, Fed Reg. 53:11247-51.
- Herchichi, M., Frère, J., Mabrouk, K., and Manai, M. 2001. Lactococcin MMFII, a novel class IIa bacteriocin produced by *Lactococcus lactis* MMFII, isolated from a Tunisian dairy product. FEMS. Microbiol. Lett. 205:49-55.
- Ferreira, M. A., and Lund, B. M. 1996. The effect of nisin on *Listeria monocytogenes* in culture medium and long-life cottage cheese. Lett. Appl. Microbiol. 22: 433-438.
- Flores, S. H., Braga, A. L. D. M., and Alegre, R. M. 2003. A modified method for the turbidimetric assay of nisin. Braz. arch. biol. technol. 46: 479-481.
- Gill, A. O., and Holley, R. A. 2003. Interactive inhibition of meat spoilage and pathogenic bacteria by lysozyme, nisin and EDTA in the presence of nitrite and sodium chloride at 24 degrees C. Int J Food Microbiol. 80: 251-259.
- Gogus, U., Bozoglu, F., and Yurdugul, S. 2006. Comparative effects of lactic acid, nisin, coating combined and alone applications on some postmortem quality criteria of refrigerated *Sardina pilchardus*. J. of Food Quality 29: 658-671.

- Hastings, J. W., Sailer, M., Johnson, K., Roy, K. L., Vederas, J. C., and Stiles, M. E. 1991. Characterization of leucocin A-UAL 187 and cloning of the bacteriocin gene from *Leuconostoc gelidum*. *J. Bacteriol.* 173: 7491-500.
- Hawley, H. B. 1957. Nisin in food technology. *Food manuf.* 32-370
- Hechard, Y., Derijard, B., Letellier, F., and Cenatiempo, Y. 1992. Characterization and purification of mesentericin Y105, an anti- *Listeria* bacteriocin from *Leuconostoc mesenteroides*. *J. Gen. Microbiol.* 138: 2725-31.
- Helander, I. M., and Mattila S. T. 2000. Permeability barrier of the Gram-negative bacterial outer membrane with special reference to nisin. *Int. J. Food Microbiol.* 60 : 153-161.
- Holck, A. L., Axelsson, L., Birkeland, S., Aukrust, T., and Blom, H. 1992. Purification and amino acid sequence of sakacin A, a bacteriocin from *Lactobacillus sake* Lb706. *J. Gen. Microbiol.* 138:2715-20.
- Hoover, D. and Steenson, L. 1993. Bacteriocins of Lactic Acid Bacteria. New York: Academic Press.
- Hurst, A., and Hoover, D. G. 1993. Nisin. In Davidson, P.M., and Branen, A.L. (eds.), *Antimicrobials in foods*, pp 369-407: New York: Marcel Dekker, Press.
- Hurst, A. 1981. Nisin. *Adv. Appl. Microbiol.* 27:85-123.
- Inga, M. A., and others. 2003. Interactions of the bacteriocins sakacin P and nisin with food constituents. *Int. J. Food Microbiol.* 8:35– 43.
- Jeevaratnam, K., Jamuna, M. and Bawa, A. S. 2005. Biological preservation of food-bacteriocin of lactic acid bacteria. *J. Biotech.* 4: 446-456
- Jimenez-Diaz, R., and others. 1995. Purification and partial amino acid sequence of plantaricin S, a bacteriocin produced by *Lactobacillus plantarum* LPCO10, the activity of which depends on the complementary action of 2 peptides. *Appl. Environ. Microbiol.* 61: 4459-63.
- Kalchayanand, N., Hanlin, M. B., and Ray, B. 1992. Sublethal injury makes gram-negative and resistant gram-positive bacteria sensitive to the bacteriocins, pediocin acf and nisin. *Lett. Appl. Microbiol.* 15:239-243.

- Kellner, R., Jung, G., Horner, T., Zahner, H., Schnell, N., Entian, K. D. and Götz, F. 1988. Gallidermin: a new lanthionine-containing polypeptide antibiotic. *Eur. J. Biochem.* 177: 53-9.
- Laridi, R., Kheadr, E. E., Benech, R. O. Vuillemand, J. C. Lacroix, C., and Fliss, I. 2002. Liposome encapsulated nisin Z: optimization stability and release during milk fermentation. *Int. Dairy J.* 13: 325-336.
- Leer, R. J., Van der Vossen, J. M. B. M., Van Giezen, M., Van Noort, J. M., and Pouwels, P. H. 1995. Genetic analysis of acidocin B, a novel bacteriocin produced by *Lactobacillus acidophilus*. *Microbiol.* 141:1629-35.
- Letchford, K., and Burt, H. 2007. A review of the formation and classification of amphiphilic block copolymer nanoparticulate structures: micelles, nanospheres, nanocapsules and polymersomes. *Eur. J. Pharm. Biopharm.* 65: 259–269.
- Liu, W., and Hansen, J. N. 1990. Some chemical and physical properties of nisin, a small-protein antibiotic produced by *Lactococcus lactis*. *Appl. Environ. Microbiol.* 56: 2551-2558.
- Malheiros, P. S., Daroit, D. J., Silveira N. P. and Brandeli, A. 2010. Effect of nanovesicle-encapsulated nisin on growth of *Listeria monocytogenes* in milk. *Food. Microbiol.* 27: 175-178
- Mansour, M., and Millière, J. B. 2001. An inhibitory synergistic effect of a nisin-monolaurin combination on *Bacillus* spp. vegetative cells in milk. *Food. Microbiol.* 18:87-94.
- Mantovani, H. C. and Russell, J. B. 2000. Nisin resistance of *Streptococcus bovis*. *App. and Environ. Microbiol.* 67: 808-813
- McEntire, J. C., Montville, T. J., and Chikindas, M. L. 2003. Synergy between nisin and select lactates against *Listeria monocytogenes* is due to the metal cations. *J Food Prot.* 66: 1631-1636.
- Metivier, A., and others. 1998. Divercin V41, a new bacteriocin with 2 disulphide bonds produced by *Carnobacterium divergens* V41: primary structure and genomic organization. *Microbiol.* 144: 2837-44.

- Mortvedt, C. I., Nissen-Meyer, J., Sletten, K., and Nes, I. F. 1991. Purification and amino acid sequence of lactocin S, a bacteriocin produced by *Lactobacillus sake* L45. *Appl. Environ. Microbiol.* 57:1829-34.
- Motlagh, A. M., Bhunia, A. K., Szostek, F., Hansen, T. R., Johnson, M. G., and Ray, B. 1992. Nucleotide and amino acid sequence of pap-gene (pediocin AcH production) in *Pediococcus acidilactici* H. *Lett. Appl. Microbiol.* 15: 45-8.
- Muller, H. R., Runge, S. A., Ravelli, V., Thunemann, A. F., Mehnert, W., and Souto, E. B. 2007. Cyclosporine loaded solid lipid nanoparticles (SLN) Drug-lipid physicochemical interaction and characterization of drug incorporation. *Eur. J. Pharm. Biopharm.* 68: 535-544.
- Murdock, C. A., Cleveland, J., Matthews, K. R., and Chikindas, M. L. 2007. The synergistic effect of nisin and lactoferrin of *Listeria monocytogenes* and *Escherichia coli* O157:H7. *Lett. Appl. microbiol.* 44:225-261.
- Nes, I. F., and Holo, H. 2000. Class II antimicrobial peptides from lactic acid bacteria. *Biopolymers.* 55:50-61.
- Nissen-Meyer, J., Holo, H., Hávarstein, L. S., Sletten, K., and Nes, I. F. 1992. A novel lactococcal bacteriocin whose activity depends on the complementary action of 2 peptides *J. Bacteriol.* 174: 5686-92.
- Nissen-Meyer, J., Larsen, G. A., Sletten, K., Daeschel, M., and Nes, I. F. 1993a. Purification and characterization of plantaricin A, a *Lactobacillus plantarum* bacteriocin whose activity depends on the action of 2 peptides. *J. Gen. Microbiol.* 139:1973-8.
- Nissen-Meyer, J., Havarstein, L. S., Holo, H., Sletten, K., and Nes, I. F. 1993b. Association of the lactococcin A immunity factor with the cell membrane: purification and characterization of the immunity factor. *J. Gen. Microbiol.* 139:1503-9.
- Nykanen, A., Vesalanen, S., and Kallio, H. 1998. Synergistic antimicrobial effect of nisin whey permeate and lactic acid on microbes isolated from fish. *Lett Appl Microbiol.* 27: 345-348.
- Oscariz, J. C., and Pisabarro, A. G. 2001. Classification and mode of action of membrane-active bacteriocins produced by gram-positive bacteria. *Int. Microbiol.* 4:13-19.

- Pardeike, J., Hommoss, A., and Muller, H. R. 2009. Lipid nanoparticles (SLN, NLC) in cosmetic and pharmaceutical dermal products. Int. J. Pharm. 366: 170-184
- Periago, P. M., and Moezelaar, R. 2001. Combined effect of nisin and carvacrol at different pH and temperature levels on the viability of different strains of *Bacillus cereus*. Int. J. Food. Microbiol. 68:141-8.
- Phillips, C. A. 1999. The effect of citric acid, lactic acid, sodium citrate and sodium lactate, alone and in combination with nisin, on the growth of Arcobacter butzleri. Lett. in Appl. Microbiol. 29: 424–428
- Piard, J. C., Muriana, P. M., Desmazeaud, P. J., and Klaenhammer, T. R. 1992. Purification and partial characterization of lacticin 481, a lanthionine-containing bacteriocin produced by *Lactococcus lactis* subsp. *lactis* CNRZ 481. Appl. Environ. Microbiol. 58: 279-84.
- Pongtharangkul, T., and Demirci, A. 2004. Evaluation of agar diffusion bioassay for nisin quantification. Appl. Microbiol. Biotechnol., 65: 268-72.
- Ray, B. 1992. Nisin of *Lactococcus lactis* spp. *lactis* as a food preservative. In B. Ray, M. Daeschel (eds). Food Biopreservatives of Microbial Origin. 207-264 .
- Reddy, L. H., Vivek, K., Bakshi, N., and Murthy, R. S. R. 2006. Tamoxifen citrate loaded solid lipid nanoparticles (SLNs): preparation, characterization, in vitro drug release, and pharmacokinetic evaluation. Pharm. Dev. Tech. 11: 167-177
- Rose, N. L., Sporns, P., and McMullen, L. M. 1999. Detection of bacteriocins by matrix-assisted laser desorption/ionization time-of-flight mass spectrometry. Appl. Environ. Microbiol., 65: 2238-2242.
- Sahl, H. G., and Bierbaum, G. 1998. Lantibiotics: biosynthesis and biological activities of uniquely modified peptides from Gram-positive bacteria. Annu. Rev. Microbiol. 52:41-79.
- Salmaso, S., Elavassore, N., Bertucco, A, A., and Caliceti, P. 2004. Nisin-loaded poly-L-lactide nano-particles produced by CO₂ anti-solvent precipitation for sustained antimicrobial activity. Int. J. Pharm. 287: 163-173.

- Schwarz, C., and Mehnert, W., 1999. Solid lipid nanoparticle (SLN) for controlled drug delivery II. Drug incorporation and physicochemical characterization. J. Microencapsulation. 16:205-213.
- Shirazinejad, A. R., Noryati, I., Rosma, A. and Darah, I. 2010. Inhibitory effect of lactic acid and nisin on bacterial spoilage of chilled shrimp. World Academy of Science Engineering and Technology. 65: 163-167.
- Stevens, K. A., Sheldon, B. W., Klapes, N. A., and Klaenhammer, T. R. 1991. Nisin treatment for inactivation of *Salmonella* species and other Gram-negative bacteria. Appl. and Environmental Microbiol. 57: 3613–3615.
- Thomas, L. V., Davies, E. A., Delves-Broughton, J., and Wimpenny, J. W. 1998. Synergist effect of sucrose fatty acid esters on nisin inhibition of gram-positive bacteria. J. Appl. Microbiol. 85:1013-22.
- Thongbaia, B., Gasalucka, P., and Waites, W.M. 2006. Morphological changes of temperature- and pH-stressed *Salmonella* following exposure to cetylpyridinium chloride and nisin. Food Science and Technology. 39 :1180–1188.
- Tichaczek, P.S., Nissen-Meyer, J., Nes, I.F., Vogel, R.F., and Hammes, W.P. 1992. Characterization of the bacteriocins curvacin A from *Lactobacillus curvatus* LTH1174 and sakacin P from *L. sake* LTH673. Syst. Appl. Microbiol. 15: 460-8.
- Van Belkum, M. J., Hayema, B. J., Geis, A., Kok, J., and Venema, G. 1991. Organization and nucleotide sequences of 2 lactococcal bacteriocin operons. Appl. Environ. Microbiol. 57:492-8.
- Vaughan, E. E., Daly, C., and Fitzgerald, G. F. 1992. Identification and characterization of helveticin V-1829, a bacteriocin produced by *Lactobacillus helveticus* 1829. J. Appl. Bacteriol. 73:299-308.
- Wanding, L. R., Sheldon, B. W., and Foegeding, P. M. 1999. Nisin in milk sensitizes *Bacillus* spores to heat and prevents recovery of survivors. J. Food protect. 62 : 492-498.
- Wiedemann, E., and others. 2001. Specific binding of nisin to the peptidoglycan precursor lipid II combines pore formation and inhibition of cell wall biosynthesis for potent antibiotic activity. J. Biol. Chem. 3: 1772-1779.

- Wolfgang, M., and Karsten, M. 2001. Solid lipid nanoparticles Production, characterization and applications. Advanced Drug Delivery Rev. 47:165–196.
- Worobo, R. W., VanBelkum, M. J., Sailer, M., Roy, K. L., Vederas, J. C., and Stiles, M. E. 1995. A signal peptide secretion-dependent bacteriocin from *Carnobacterium divergens*. J. Bacteriol. 177: 3143-9.
- Zendo, T., Fukao, M., Ueda, K., Higuchi, T., Nakayama, J., and Sonomoto, K. 2003. Identification of the lantibiotic nisin Q, a new natural nisin variant produced by *Lactococcus lactis* 61-14 isolated from a river in Japan. Biosci. Biotechnol. Biochem. 67: 1616-1619.

ภาคผนวก

ภาคผนวก ก

สูตรอาหารและวิธีการเตรียมอาหารสำหรับเลี้ยงเชื้อ

1. สูตรอาหาร PYG (Peptone Yeast extract Glucose) (Murdock และคณะ, 2007)

เพปตโอน (Bacto Peptone)	10.0	กรัม
ผงสกัดจากเยลลี่สต์ (Yeast extract)	0.25	กรัม
น้ำตาลกลูโคส	10.0	กรัม
น้ำกลั่น	1.0	ลิตร

ปรับ pH เริ่มต้น 7.0 นึ่งฟอง เชื้อที่ภาวะมาตราฐาน 121 องศาเซลเซียส ความดัน 15 ปอนด์ ต่อ ตารางนิ้ว เป็นเวลา 15 นาที

2. สูตรอาหารแข็ง PYG (Peptone Yeast extract Glucose agar) (Murdock และคณะ, 2007)

เพปตโอน (Bacto Peptone)	10.0	กรัม
ผงสกัดจากเยลลี่สต์ (Yeast extract)	0.25	กรัม
น้ำตาลกลูโคส	10.0	กรัม
วุ้นผง (agar)	18.0	กรัม
น้ำกลั่น	1.0	ลิตร

ปรับ pH เริ่มต้น 7.0 นึ่งฟอง เชื้อที่ภาวะมาตราฐาน 121 องศาเซลเซียส ความดัน 15 ปอนด์ ต่อ ตารางนิ้ว เป็นเวลา 15 นาที

ภาคผนวก ๖

สารเคมีที่ใช้ในการทดลอง

1. สารละลายนอกสเปต บัฟเฟอร์ ความเข้มข้น 0.1 มิลลิาร์ ค่าความเป็นกรด-เบส เท่ากับ 4.0 ที่มีโซเดียมคลอไรด์ร้อยละ 0.5

ในสารละลายน้ำบัฟเฟอร์ 1 ลิตร ประกอบด้วย

กรดฟอฟอเริก (H_3PO_4)	0.16	มิลลิลิตร
โซเดียมไดไฮโดรเจนฟอฟอเริก (NaH_2PO_4)	14.0	กรัม
โซเดียมคลอไรด์ ($NaCl$)	5.0	กรัม

ปรับ pH เท่ากับ 4.0 ด้วยสารละลายน้ำโซเดียมไฮดรอกไซด์

2. สารละลายนอกสเปต บัฟเฟอร์ ความเข้มข้น 0.1 มิลลิาร์ ค่าความเป็นกรด-เบส เท่ากับ 4.0 ที่มีโซเดียมคลอไรด์ร้อยละ 1.0

ในสารละลายน้ำบัฟเฟอร์ 1 ลิตร ประกอบด้วย

กรดฟอฟอเริก (H_3PO_4)	0.16	มิลลิลิตร
โซเดียมไดไฮโดรเจนฟอฟอเริก (NaH_2PO_4)	14.0	กรัม
โซเดียมคลอไรด์ ($NaCl$)	10.0	กรัม

ปรับ pH เท่ากับ 4.0 ด้วยสารละลายน้ำโซเดียมไฮดรอกไซด์

3. สารละลายนอกสเปต บัฟเฟอร์ ความเข้มข้น 0.1 มิลลิาร์ ค่าความเป็นกรด-เบส เท่ากับ 7.0 ที่มีโซเดียมคลอไรด์ร้อยละ 0.5

ในสารละลายน้ำบัฟเฟอร์ 1 ลิตร ประกอบด้วย

โซเดียมไดไฮโดรเจนฟอฟอเริก (NaH_2PO_4)	5.49	กรัม
ไนโตรโซเดียมไฮโดรเจนฟอฟอเริก (Na_2HPO_4)	8.55	กรัม
โซเดียมคลอไรด์ ($NaCl$)	5.0	กรัม

ปรับ pH เท่ากับ 7.0 ด้วยสารละลายน้ำโซเดียมไฮดรอกไซด์

4. สารละลายนอกสเปต บัฟเฟอร์ ความเข้มข้น 0.1 มิลลาร์ ค่าความเป็นกรด-เบส เท่ากับ 7.0
ที่มีโซเดียมคลอไรด์ร้อยละ 1.0

ในสารละลายน้ำบัฟเฟอร์ 1 ลิตร ประกอบด้วย

โซเดียมไนโตรเจนฟอสฟे�ต (NaH_2PO_4)	5.49	กรัม
ไดโซเดียมไนโตรเจนฟอสฟे�ต (Na_2HPO_4)	8.55	กรัม
โซเดียมคลอไรด์ (NaCl)	10.0	กรัม

ปรับ pH เท่ากับ 7.0 ด้วยสารละลายน้ำโซเดียมไฮดรอกไซด์

5. สารละลายกรดไทรฟลูโโรอะซิติกกรั่วอยละ 0.05 (บริมาตราต่อปริมาตร) ในน้ำ

ในสารละลายน้ำ 1 ลิตร ประกอบด้วย

กรดไทรฟลูโโรอะซิติก (Trifluoroacetic acid)	0.5	มิลลิลิตร
น้ำปัลลดปะจุ (Double Distillation of Deionized Water) 999.5		มิลลิลิตร
นำไปกรองด้วยชุดกรองสำเร็จรูปชนิดเซลลูโลสอะซิเตต ขนาดความกว้างรู 0.45 ไมโครเมตร เส้นผ่านศูนย์กลาง 47 มิลลิเมตร		

6. สารละลายกรดไทรฟลูโโรอะซิติกกรั่วอยละ 0.05 (บริมาตราต่อปริมาตร) ในอะซิตรีโนไตริล

ในสารละลายน้ำ 1 ลิตร ประกอบด้วย

กรดไทรฟลูโโรอะซิติก (Trifluoroacetic acid)	0.5	มิลลิลิตร
อะซิตรีโนไตริล (Acetonitrile)	999.5	มิลลิลิตร
นำไปกรองด้วยชุดกรองสำเร็จรูปชนิดเซลลูโลสอะซิเตต ขนาดความกว้างรู 0.45 ไมโครเมตร เส้นผ่านศูนย์กลาง 47 มิลลิเมตร		

7. สารละลายกรดแลคติกกรั่วอยละ 90 (บริมาตราต่อปริมาตร) ในน้ำ

เตรียมเป็น 10,000 มิลลิกรัมต่อลิตร

กรดแลคติก (Lactic acid)	5.9	มิลลิลิตร
น้ำปัลลดปะจุ (Double Distillation of Deionized Water) 44.1		มิลลิลิตร
นำไปกรองด้วยชุดกรองสำเร็จรูปชนิดเซลลูโลสอะซิเตต ขนาดความกว้างรู 0.45 ไมโครเมตร เส้นผ่านศูนย์กลาง 47 มิลลิเมตร		

ภาคผนวก ค

การวิเคราะห์ปริมาณไนซินและกรดแลคติกด้วย HPLC

วิเคราะห์ปริมาณไนซินด้วยเครื่องแยกสารโดยรวมที่กราฟิฟิสมรรถนะสูงแบบบรีเวิร์สเฟส
(Revese phase HPLC)

โดยมี คอลัมน์เป็นตัวยึดภาวะ: C-18

ตัวชี้ช่วงคอลัมน์ตัวที่หนึ่ง (สารละลายน A) : กรดไทรฟลูโโรอะซีติก (TFA) ร้อยละ 0.05
(ปริมาตร/ปริมาตร) ซึ่งละลายนในน้ำ

ตัวชี้ช่วงคอลัมน์ตัวที่สอง (สารละลายน B) : กรดไทรฟลูโโรอะซีติก (TFA) ร้อยละ 0.05
(ปริมาตร/ปริมาตร) ซึ่งละลายนในอะซีโตอินไตรอล

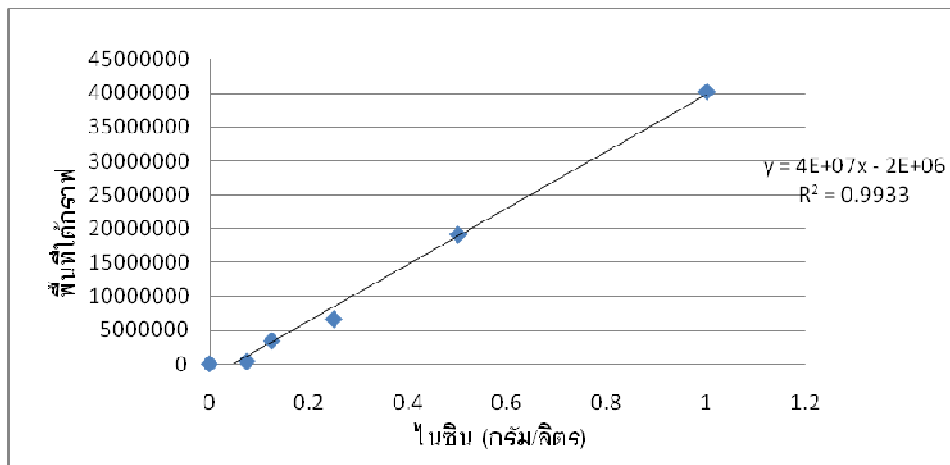
นำสารละลายน A และสารละลายน B ไปกำจัดแก๊สออกจากการของเหลว (degas) ด้วยระบบกำจัดแก๊สในตัวเครื่อง HPLC ก่อนนำมาใช้

ในช่วง 5 นาทีแรกของการวิเคราะห์ ทำการจะคอลัมน์ด้วยสารละลายน A และสารละลายน B ในปริมาณเท่ากับร้อยละ 20 และร้อยละ 80 ตามลำดับ จากนั้นที่เวลา 5-20 นาที ค่อยๆปรับให้ความเข้มข้นของสารละลายน A เพิ่มขึ้นจากร้อยละ 20 ไปจนถึงร้อยละ 80 และสารละลายน B ค่อยๆลดลงจากร้อยละ 80 ไปจนถึงร้อยละ 20 โดยใช้อัตราไฟล 1 มิลลิลิตรต่อนาที วิเคราะห์ปริมาณไนซิน และเซทิลไพริดินียมคลอไรด์ โดยการวัดค่าการดูดกลืนแสงที่ 220 และ 258 นาโนเมตรตามลำดับ ด้วยเครื่องวัดการดูดกลืนแสงขั้ลตราไวโอลेट โดยโดยรวมแสดงค่าเวลาที่คงอยู่ (retention time; R_t)

ภาคผนวก ง

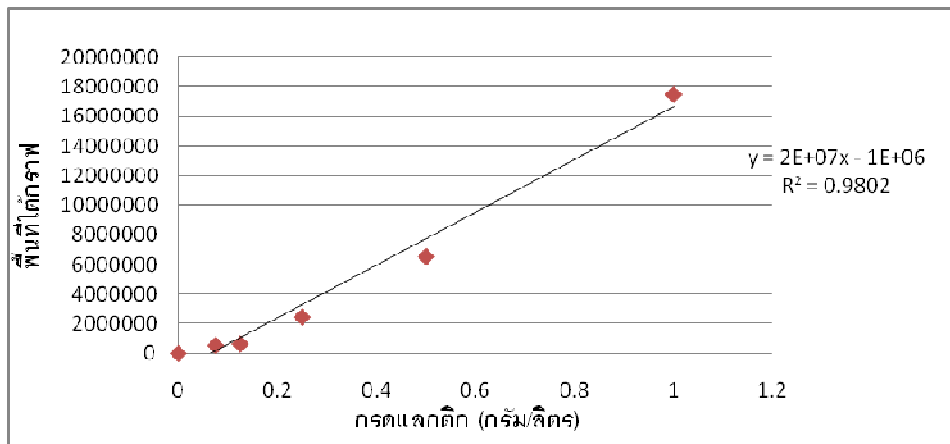
กราฟมาตราฐาน

1. กราฟมาตราฐานไนซิน



รูปที่ 6.1 กราฟมาตราฐานของไนซินความเข้มข้น 0-1 กรัมต่อลิตร

2. กราฟมาตราฐานกรดแลคติก



รูปที่ 6.2 กราฟมาตราฐานของกรดแลคติกความเข้มข้น 0-1 กรัมต่อลิตร

ภาคผนวก จ

วิธีการคำนวณ

ตารางที่ 6.1 การคำนวณค่าต่างๆ

ชุดการทดลอง	ปริมาณสารที่ต้องการทดสอบ (มิลลิลิตร)						
	ไนเชิน (กรัม)	กรดแลคติก (มิลลิลิตร)	อนุภาคนาโนชนิดไขมันแข็งอิม วิตเตอร์ 900				
			ไม่มีการ บรรจุ	บรรจุ ไนเชิน	บรรจุ กรดแลคติก	บรรจุ กรดแลคติก และ กรดแลคติก	
ชุดควบคุม	-	-	-	-	-	-	-
ชุดการทดลองไนเชิน อิสระ	ไนเชิน 1 mg = 1,168 IU 1,000 IU = <u>1,168</u> 1,000 = 0.856 mg 0.856 g	-	-	-	-	-	-
ชุดการทดลอง กรดแลคติกอิสระ	-	จากกรดแลคติก 10,000 mg/L เตรียมเป็น 500 µg/L = 50 µl	-	-	-	-	-
ชุดการทดลองไนเชิน และ กรดแลคติกอิสระ	ไนเชิน 1 mg = 1,168 IU 1,000 IU = <u>1,168</u> 1,000 = 0.856 mg 0.856 g	จากกรดแลคติก 10,000 mg/L เตรียมเป็น 500 µg/L = 50 µl	-	-	-	-	-

ตารางที่ 6.1 การคำนวณค่าต่างๆ (ต่อ)

ชุดการทดลอง	ปริมาณสารที่ต้องการทดสอบ (ไมโครลิตร)					
	อนุภาคนาโนชนิดไอกัมเม็งอิมิเวทอร์ 900					
	ไนโตรเจน (กรัม)	กรดแอลกอติก (มิลลิลิตร)	ไม่มีการ บรรจุ	บรรจุไนโตรเจน	บรรจุ กรดแอลกอติก	บรรจุไนโตรเจน และ กรดแอลกอติก
ชุดควบคุมดับ	-	-	เตรียมร้อยละ 5 ของ ปริมาตร ห้าหมด = 25 ml	-	-	-
ชุดการทดลอง อนุภาคนาโนบรรจุไนโตรเจน	-	-	-	อนุภาคนาโน 500 ml มีไนโตรเจน 2,920,000 IU ถ้าไนโตรเจน 1,000 IU 0.169 ml = 169 μ l	-	-
ชุดการทดลอง อนุภาคนาโนบรรจุ กรดแอลกอติก	-	-	-	-	จากการทดลอง 10,000 mg/L เตรียมเป็น 500 μ g/L = 50 μ l	-
ชุดการทดลอง อนุภาคนาโนบรรจุ ไนโตรเจน ร่วมกับกรด แอลกอติก	-	-	-	-	-	อนุภาคนาโน 500 ml มีไนโตรเจน 1,950,560 IU 1,000 IU = 2.56 ml มีกรดแอลกอติก 41.8 μ l ใช้หั้งสิ่ง = 21.09 μ l

ประวัติผู้เขียนวิทยานิพนธ์

นางสาวพิมลพร ศรีราชา เกิดเมื่อวันที่ 11 ตุลาคม พ.ศ.2527 ที่จังหวัดร้อยเอ็ด สำเร็จปริญญาตรีวิทยาศาสตร์บัณฑิต สาขาวิชากุหลชีววิทยา ภาควิชาจุลชีววิทยา คณะวิทยาศาสตร์ มหาวิทยาลัยขอนแก่น ในปีการศึกษา 2550 และเข้ารับการศึกษาต่อในระดับปริญญามหาบัณฑิต สาขาวิชากุหลชีววิทยาอุดสาหกรรม ภาควิชาจุลชีววิทยา คณะวิทยาศาสตร์ จุฬาลงกรณ์มหาวิทยาลัย ในปี การศึกษา 2551

